

7
2 Gen.



UNIVERSIDAD NACIONAL AUTONOMA DE MEXICO

FACULTAD DE INGENIERIA

**PAQUETE DE PROGRAMAS PARA
PROCESADO DE DATOS
MAGNETOMETRICOS**

TESIS PROFESIONAL

QUE PARA OBTENER EL TITULO DE:

INGENIERO GEOFISICO

P R E S E N T A :

ROGELIO RAMOS CARRANZA

MEXICO, D. F.

1985



Universidad Nacional
Autónoma de México



UNAM – Dirección General de Bibliotecas Tesis Digitales Restricciones de uso

DERECHOS RESERVADOS © PROHIBIDA SU REPRODUCCIÓN TOTAL O PARCIAL

Todo el material contenido en esta tesis está protegido por la Ley Federal del Derecho de Autor (LFDA) de los Estados Unidos Mexicanos (México).

El uso de imágenes, fragmentos de videos, y demás material que sea objeto de protección de los derechos de autor, será exclusivamente para fines educativos e informativos y deberá citar la fuente donde la obtuvo mencionando el autor o autores. Cualquier uso distinto como el lucro, reproducción, edición o modificación, será perseguido y sancionado por el respectivo titular de los Derechos de Autor.

INDICE

PAGINA.

RESUMEN.

I. INTRODUCCIÓN	1
A. ANALISIS DE LA CALIDAD DE LOS DATOS MAGNETICOS PARA LA INTERPRETACIÓN.	1
B. ELIMINACIÓN DE LOS EFECTOS MAGNÉTICOS REGIONALES PARA AISLAR LA ANOMALÍA DE INTERES.	1
B.1. CAMPO NORMAL TERRESTRE.	1
B.2. OPERADORES MATEMÁTICOS.	1
Q. REDUCCIÓN AL POLO.	2
b. DERIVADAS E INTEGRALES.	3
C. FILTROS PASA-BANDAS.	3
d. CONTINUACIÓN HACIA ARRIBA Y HACIA ABAJO.	4
C. ANALISIS DE ANOMALIA RESIDUAL.	4
C.1. EFECTOS LOCALES DE INCLINACIÓN Y DECLINACIÓN MAGNETICAS.	5
C.2. ANALISIS CUALITATIVO.	5
C.3. ESTIMACIÓN DE LA PROFUNDIDAD.	5
C.4. MODELADO DE ESTRUCTURAS.	7
II. ALGORITMOS PARA PROCESADO DE DATOS MAGNETOMETRICOS	8
A. ALGORITMO DE REMOCIÓN DEL CAMPO GEOMAGNETICO INTERNACIONAL DE REFERENCIA.	9
A.1. REQUERIMIENTOS PARA LA ELIMINACIÓN DE TENDENCIAS.	9
A.2. MÉTODOS DE ESTIMA DE TENDENCIAS A PARTIR DEL LEVANTAMIENTO.	10
A.3. MÉTODOS PARA LA ELIMINACIÓN DE TENDENCIAS A PARTIR DE DATOS MUNDIALES.	11
A.4. ALGORITMO QUE SINTETIZA EL CAMPO GEOMAGNETICO.	16
A.5. MÉTODO DE CÁLCULO.	18
A.6. DEFINICIONES Y CONCEPTOS COMPLEMENTARIOS.	24
B. ALGORITMO DE ENREJILLADO.	26
B.1. ANTECEDENTES.	26
B.2. MÉTODOS DE ENREJILLADO.	28
B.3. ANALISIS DE MÉTODOS DE ENREJILLADO.	30

	PAGINA
B.4. DISCUSIÓN.	35
C. ALGORITMO DE AJUSTE CUBICO POR MINIMOS CUADRADOS. (SPLINE).	38
C.1. CONCEPTOS Y DEFINICIONES DEL TÉRMINO "SPLINE"	38
C.2. DERIVACIÓN.	39
C.3. DISCUSIÓN.	42
C.4. CONCLUSIÓN.	43
D. ALGORITMO DE REDUCCIÓN AL POLO.	45
D.1. CONSIDERACIONES Y ANTECEDENTES.	45
D.2. DISCUSIÓN.	47
D.3. OPTIMIZACIÓN.	51
E. ALGORITMO DE FILTRADO Y TRANSFORMACIÓN DE FUNCIONES POTENCIALES.	56
E.1. ANALISIS DE TRANSFORMACIONES EN GEOFÍSICA APLICADA.	56
E.2. FILTRADO	58
a. COEFICIENTES DEL FILTRO.	60
E.3. CONTINUACIÓN DE FUNCIONES ARMÓNICAS.	61
a. CÁLCULO DE LOS COEFICIENTES.	61
E.4. DERIVADAS DE FUNCIONES ARMÓNICAS.	65
a. UTILIDAD DE LAS DERIVADAS VERTICALES.	65
b. DERIVADA VERTICAL.	65
c. PRIMERA DERIVADA VERTICAL COMO UNA FUNCIÓN DE LA SEGUNDA.	68
F. ALGORITMO PARA EL CÁLCULO DEL EFECTO MAGNÉTICO DE CUERPOS	69
F.1. RESUMEN.	69
F.2. INTRODUCCIÓN.	69
F.3. CONSIDERACIONES GENERALES.	70
F.4. APROXIMACIÓN POR POLO PUNTUAL.	72
F.5. LINEA DE POLOS.	77
F.6. DIPOLO PUNTUAL.	80
F.7. LINEA DE DIPOLOS.	83
F.8. COMPONENTES MAGNÉTICAS PARA ALGUNOS MODELOS.	86
a. DIPOLO PUNTUAL.	86
b. LINEA DE DIPOLOS.	87
c. CUERPOS DE FORMA PRISMÁTICA.	89

	PAGINA
G. ALGORITMO PARA EL MODELO DE TALWANI (2-D)	92
G.1. CONSIDERACIONES.	92
G.2. FORMULACIÓN.	93
H. ALGORITMO PARA EL MODELO DE TALWANI (3-D)	98
H.1. ENUNCIADO DEL PROBLEMA.	98
H.2. ANOMALIAS DE INTENSIDAD TOTAL.	103
I. ALGORITMO PARA EL MODELO DE BHATTACHARYA (2-D)	107
I.1. RESUMEN	107
I.2. INTRODUCCIÓN.	107
I.3. PRISMA CON LADOS VERTICALES INFINITOS.	108
J. ALGORITMO PARA EL MODELO DE BHATTACHARYA (3-D)	112
J.1. INTRODUCCIÓN.	112
J.2. CAMPO TOTAL DEBIDO A UN BLOQUE RECTANGULAR.	115
J.3. ROTACIÓN DEL BLOQUE RECTANGULAR.	117
J.4. MASA DE ROCA CON MAGNETIZACIÓN INHOMOGENEA.	118
J.5. PROCEDIMIENTO PARA EL ANALISIS DE DATOS.	121
J.6. RUMBO DE LA MASA DE ROCA.	123
J.7. SUPERFICIES DE LA BASE Y CIMA DE LOS BLOQUES.	123
J.8. ITERACIONES ADICIONALES.	124
J.9. ANALISIS DE ANOMALIAS EN SUPERFICIES CUBIERTAS.	126
J.10. ANOMALIAS MODELO.	127
J.11. CÁLCULO DEL RUMBO.	128
J.12. CÁLCULO DE LAS PROFUNDIDADES DE LA CIMA Y LA BASE DE LOS BLOQUES.	130
J.13. CONCLUSIONES.	132
III. DIAGRAMAS DE FLUJO.	133
A. INTRODUCCIÓN.	133
A.1. SIMBOLOGIA.	133
IV. LISTADOS DE PROGRAMAS Y EXPLICACIÓN DE SU FUNCIONAMIENTO.	167
A. PROGRAMA MAGSYN.	168

	PAGINA
A.1. DATOS REQUERIDOS Y RESULTADOS.	168
B. PROGRAMA ENREJILLADO.	168
B.1. DATOS REQUERIDOS Y RESULTADOS.	168
C. PROGRAMA ACMC.	169
C.1. DATOS REQUERIDOS Y RESULTADOS.	169
D. PROGRAMA REDPOL.	169
D.1. DATOS REQUERIDOS Y RESULTADOS.	169
E. PROGRAMA DERVER.	170
E.1. DATOS REQUERIDOS Y RESULTADOS.	170
F. PROGRAMA FILTRADO.	170
F.1. DATOS REQUERIDOS Y RESULTADOS.	170
G. PROGRAMA CONTINUACION.	171
G.1. DATOS REQUERIDOS Y RESULTADOS.	171
H. PROGRAMA DIPOLO.	171
H.1. DATOS REQUERIDOS Y RESULTADOS.	171
I. PROGRAMA LINEDP.	171
I.1. DATOS REQUERIDOS Y RESULTADOS.	171
J. PROGRAMA PRISMV.	172
J.1. DATOS REQUERIDOS Y RESULTADOS.	172
K. PROGRAMA TALWANI.	172
K.1. DATOS REQUERIDOS Y RESULTADOS.	172
L. PROGRAMA MPRISM.	173
L.1. DATOS REQUERIDOS Y RESULTADOS.	173
M. LISTADOS SIMBOLICOS EN FORTRAN.	174
V. EJEMPLOS.	218
A. EJEMPLO DE MAGSYN.	219
B. EJEMPLO DE ENREJILLADO.	221
C. EJEMPLO DE REDPOL.	223
D. EJEMPLO DE FILTRADO.	225
E. EJEMPLO DE DIPOLO.	226
F. EJEMPLO DE LINEDP.	227
G. EJEMPLO DE PRISMV.	228
H. EJEMPLO DE TALWANI.	229

J. EJEMPLO DE MARISM.

230

VI. CONCLUSIONES Y RECOMENDACIONES.

231

BIBLIOGRAFIA

233

APENDICE.

235

RESUMEN

EN EL TRABAJO QUE AQUI PRESENTAMOS, PRETENDEMOS MOSTRAR DE UNA FORMA CLARA Y ACCESIBLE UN GRUPO DE PROGRAMAS PARA PROCESAR LA INFORMACION MAGNETOMETRICA, HACIENDO NOTAR QUE SON APLICABLES TANTO EN PROSPECCION TERRESTRE COMO EN LA AEREA Y LA MARITIMA.

ES IMPORTANTE DEJAR CLARO EL HECHO DE QUE PARA OBJETIVOS ESPECIFICOS O PARTICULARES, HABRA QUE COMPLEMENTAR CON ALGUN OTRO PROCESO; SIN EMBARGO, EL CONJUNTO DE PROGRAMAS ESTA CONSTITUIDO DE LAS ETAPAS FUNDAMENTALES QUE SE DEBEN SEGUIR EN LA INTERPRETACION DE LA INFORMACION MAGNETOMETRICA.

ASI, PRESENTAMOS EL PAQUETE DE PROGRAMAS, DANDO UN PANORAMA GENERAL DE LO QUE SE REQUIERE EN LA INTERPRETACION MAGNETICA (CAPITULO I); A CONTINUACION SE DESCRIBEN LOS ALGORITMOS (CAPITULO II), ACLARANDO QUE NO SE PRETENDE DEMOSTRAR SU VALIDEZ, SINO MAS BIEN BUSCAMOS DAR UNA DESCRIPCION A MANERA DE CONTAR CON LA INFORMACION QUE FUNDAMENTA CADA UNO DE LOS PROGRAMAS PRESENTES. EN LOS CAPITULOS III Y IV PRESENTAMOS RESPECTIVAMENTE LOS DIAGRAMAS DE FLUJO Y LA SIMBOLOGIA UTILIZADA EN ESTOS, ASI COMO LOS LISTADOS DE PROGRAMAS POR COMPUTADORA QUE LES CORRESPONDEN. DICHS LISTADOS SE OBTUVIERON A TRAVES DEL SISTEMA BURROUGHS 7800 INSTALADO EN EL PROGRAMA UNIVERSITARIO DE COMPUTO, A EXCEPCION DEL PROGRAMA DE MREJILLADO QUE FUE PROCESADO POR MEDIO DEL SISTEMA NOVA 4/X DE LA DGC. TODOS LOS PROGRAMAS SIN EXCEPCION SE ENCUENTRAN EN LENGUAJE DE PROGRAMACION FORTRAN.

FINALMENTE EN EL CAPITULO V SE PRESENTAN EJEMPLOS DE LA CORRIDA POR COMPUTADORA DE LOS PROGRAMAS FUNDAMENTALES Y EN EL CAPITULO VI LAS CONCLUSIONES Y RECOMENDACIONES.

I. INTRODUCCION

LA INTERPRETACIÓN EN PROSPECCIÓN MAGNETOMÉTRICA ES BASICAMENTE UN PROCESO DE TRES ETAPAS:

- A. ANALISIS DE LA CALIDAD DE LOS DATOS MAGNÉTICOS PARA LA INTERPRETACIÓN.
- B. ELIMINACIÓN DE LOS EFECTOS MAGNÉTICOS REGIONALES PARA AISLAR LA ANOMALIA DE INTERES.
- C. ANALISIS E INTERPRETACIÓN GEOLÓGICA DE LA ANOMALIA.

ESTAS TRES ETAPAS ESTAN INTERRELACIONADAS. A CONTINUACIÓN EXPLICAMOS DE QUE TRATAN:

A. ANALISIS DE LA CALIDAD DE LOS DATOS.

ANTES DE INTERPRETAR CUALQUIER SERIE DE DATOS MAGNÉTICOS ES NECESARIO EXAMINARLOS PARA VER SI SON ADECUADOS PARA LA SOLUCIÓN DEL PROBLEMA DE EXPLORACIÓN.

LOS CRITERIOS SIGUIENTES SON IMPORTANTES:

1. CONTROL DE LA SEPARACIÓN Y DIRECCIÓN DE LA LINEA DE VUELO.
2. ALTURA DEL VUELO.
3. CALIDAD DE NIVELACIÓN DEL LEVANTAMIENTO.
4. CALIDAD DEL MAPEO (¿EXISTE DEFORMACIÓN EN LA CONFIGURACIÓN?).
5. CALIDAD DE PERFILES DEL LEVANTAMIENTO.
6. TIPO DE MAGNETOMETRO

B. ELIMINACIÓN O SEPARACIÓN DEL EFECTO MAGNÉTICO REGIONAL.

1. CAMPO NORMAL TERRESTRE

ESTE CAMPO VARIA EN FUNCIÓN DE LA LONGITUD, LATITUD Y EL TIEMPO. EL CAMPO MAGNÉTICO REGIONAL O PROMEDIO SE DENOMINA CAMPO NORMAL.

EL CAMPO MAGNÉTICO NORMAL SE PUEDE ELIMINAR CON PROGRAMAS DE COMPUTADORA, LOS QUE APROXIMAN EL CAMPO GEOMAGNÉTICO NORMAL POR AJUSTE DE ARMÓNICAS ESFÉRICAS DEL CAMPO MAGNÉTICO DERIVADO DE LAS OBSERVACIONES DE SATELITE. CON FRECUENCIA, PARA PEQUEÑAS ÁREAS DEL CAMPO TERRESTRE PUEDE SER APROXIMADO POR UN PLANO Y SIMPLEMENTE ELIMINADO POR SUSTRACCIÓN.

2. OPERADORES MATEMÁTICOS.

MUCHOS OPERADORES MATEMÁTICOS SON USADOS PARA FILTRAR O RESOLVER ANOMALIAS RESIDUALES A PARTIR DE MAPAS MAGNÉTICOS. EL FILTRADO PUEDE HACERSE EN EL DOMINIO DEL ESPACIO POR MEDIO DE OPERADORES DE CONVOLUCIÓN O EN EL DOMINIO DE LA FRECUENCIA USANDO LA TEORÍA DE LA TRANSFORMADA DE FOURIER. EL FILTRADO POR CONVOLUCIÓN SE EXPRESA COMO SIGUE:

CONSIDERANDO:

$\Delta t(x,y)$ \equiv SERIE DE DATOS

$F(u,v)$ \equiv FILTRO

$\Delta R(x,y)$ \equiv SALIDA RESIDUAL

1. FILTRO EN EL DOMINIO DEL ESPACIO

a. POR CONVOLUCIÓN

$$\Delta t(x,y) * F(u,v) = \Delta R(x,y)$$

2. EN EL DOMINIO DE LA FRECUENCIA

a. POR TRANSFORMADA DE FOURIER

$$\Delta t(x,y) \longrightarrow \bar{\Delta t}(f_x, f_y)$$

$$F(u,v) \longrightarrow F(f_u, f_v)$$

b. POR MULTIPLICACIÓN DE LAS TRANSFORMADAS ANTERIORES

$$\bar{\Delta t}(f_x, f_y) \cdot F(f_u, f_v) = \bar{\Delta R}(f_x, f_y)$$

c. POR TRANSFORMADA INVERSA

$$\bar{\Delta R}(f_x, f_y) \longrightarrow \Delta R(x,y)$$

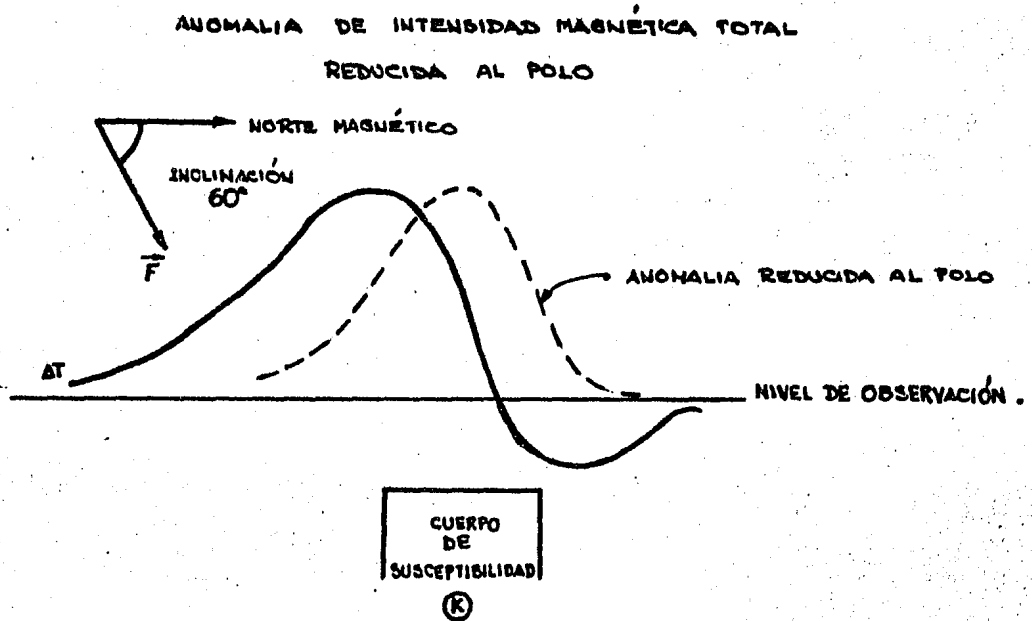
LOS OPERADORES MATEMÁTICOS TÍPICOS SON:

- a. REDUCCIÓN AL POLO.
- b. DERIVADAS E INTEGRALES.
- c. FILTROS PASA BANDAS.
- d. CONTINUACIÓN HACIA ARRIBA Y HACIA ABAJO.
- e. FILTROS DIRECCIONALES.

a. REDUCCIÓN AL POLO

EL OPERADOR DE REDUCCIÓN AL POLO ELIMINA EL DESPLAZAMIENTO DE LA ANOMALIA MAGNÉTICA DEBIDA A UN CUERPO DE POLARIZACIÓN INCLINADA (NO VERTICAL). LA REDUCCIÓN AL POLO HACE QUE LA ANOMALIA MAGNÉTICA

APAREZCA COMO SI ESTUVIERA EN EL POLO MAGNÉTICO CON LA ANOMALIA POSITIVA DIRECTAMENTE SOBRE EL CUERPO CAUSANTE. EL PROCESO DE REDUCCIÓN AL POLO AYUDA A MOSTRAR LA EXTENSIÓN DE LA FUENTE DE ANOMALÍA MAGNÉTICA. LOS FILTROS DE REDUCCIÓN AL POLO SE CORREN ANTES DEL FILTRADO.



b. DERIVADAS E INTEGRALES

LOS OPERADORES DE DERIVADA AYUDAN A RESOLVER COMPONENTES DE ALTA FRECUENCIA DEL CAMPO MAGNÉTICO; POR EJEMPLO, LA SEGUNDA DERIVADA VERTICAL MUESTRA LA CURVATURA DE LA INTENSIDAD TOTAL. LAS OPERACIONES DE INTEGRACIÓN, EN CONTRASTE, ENFATIZAN LAS BAJAS FRECUENCIAS.

c. FILTROS PASA BANDAS.

LOS FILTROS PASA BANDAS (INCLUYENDO PASA ALTAS Y PASA BAJAS), PERMITEN ANALIZAR CIERTAS COMPONENTES DE FRECUENCIA DEL CAMPO MAGNÉTICO. LOS FILTROS PASA ALTAS TIENDEN GENERALMENTE A ENFATIZAR LOS CUERPOS POCO PROFUNDOS. NO OBTANTE, DEBE RECORDARSE QUE, MUCHAS VECES, LOS CUERPOS SOMEROS TIENEN ALGUNAS COMPONENTES EN BAJA FRECUENCIA LAS CUALES SERÁN DISTORSIONADAS EN EL PROCESO SIMPLE DE PASA

ALTAS. POR CONSIGUIENTE, LOS FILTROS PASA BANDAS NO SEPARARÁN PERFECTAMENTE LAS FUENTES SOMERAS, INTERMEDIAS O PROFUNDAS. SIN EMBARGO, LOS FILTROS PASA BANDAS REALZAN LAS ANOMALIAS DE LAS FUENTES CUALITATIVAMENTE EN CIERTOS INTERVALOS DE PROFUNDIDAD.

d. CONTINUACIÓN HACIA ARRIBA Y HACIA ABAJO.

TEORICAMENTE SI UN CAMPO MAGNÉTICO ES CONOCIDO SOBRE UN NIVEL, ESTE PUEDE SER CALCULADO A UN NIVEL POR DEBAJO O POR ENCIMA DEL NIVEL DE MEDICIÓN, PREVINIENDO QUE EL CAMPO MAGNÉTICO NO PUEDE SER CONTINUADO AL ENCONTRAR LA FUENTE MAGNÉTICA. LA CONTINUACIÓN HACIA ARRIBA ACTUA COMO UN FILTRO PASA BAJAS Y TIENDE A ELIMINAR LAS ANOMALIAS SOMERAS. SI EL CAMPO MAGNÉTICO ES EXACTAMENTE CONOCIDO EN UN MAPA SOBRE UN NIVEL, ESTE CAMPO MAGNÉTICO PUEDE SER CONTINUADO TOTALMENTE CON EXACTITUD POR ENCIMA DEL NIVEL DE REFERENCIA. POR OTRA PARTE LA CONTINUACIÓN HACIA ABAJO, ES UN FILTRAJE PASA ALTAS Y TIENDE A SER TOTALMENTE INESTABLE EN EL SENTIDO DE QUE EL RUIDO DE ALTA FRECUENCIA PUEDE SER AMPLIFICADO. TAMBIEN, SE DEBE TENER CUIDADO PARA CONTINUAR HACIA ABAJO A TRAVÉS DE FUENTES MAGNÉTICAS. LA CONTINUACIÓN HACIA ABAJO PROPIAMENTE HECHA PUEDE SER DEL TODO ÚTIL PORQUE LOS MAPAS MAGNÉTICOS EN NIVELES BAJOS MOSTRARÁN MÁS DETALLE QUE EL MAPA DE INTENSIDAD TOTAL.

e. FILTROS DIRECCIONALES.

LOS FILTROS QUE PASAN FRECUENCIAS DIRECCIONALES, SON LLAMADOS FILTROS DIRECCIONALES. POR CONSIGUIENTE, SI UN GRADIENTE FUERTE NORTE-SUR SE PRESENTA Y ENMASCARA LA TENDENCIA ESTE-OESTE, UN FILTRO LINEAL ESTE-OESTE PUEDE SER APLICADO PARA VISUALIZAR UNA MEJORA EN LAS TENDENCIAS ESTE-OESTE.

f. ANALISIS DE ANOMALIA RESIDUAL

UNA VEZ QUE UN MAPA DE INTENSIDAD MAGNÉTICA TOTAL HA SIDO OBTENIDO JUNTO CON OTROS MAPAS QUE SE NECESITEN, LA ESTRUCTURA GEOLÓGICA QUE CAUSA LA ANOMALÍA MAGNÉTICA PUEDE SER INTERPRETADA.

PARA ANALIZAR UNA ANOMALÍA SE DEBE TOMAR EN CUENTA:

1. EFECTOS LOCALES DE INCLINACIÓN Y DECLINACIÓN MAGNÉTICAS.

LAS ANOMALÍAS MAGNÉTICAS ESTAN RELACIONADAS CON LA SUSCEPTIBILIDAD Y GEOMETRIA DEL CUERPO CAUSANTE Y LA INCLINACIÓN Y DECLINACIÓN MAGNÉTICAS LOCALES. ES IMPORTANTE ESTUDIAR LAS CURVAS DE ANOMALÍA PARA CUERPOS TEÓRICOS EN UNA LOCALIDAD, EN CUALQUIER INTERPRETACIÓN PARA OBTENER UN SENTIDO PARA LA LOCALIZACIÓN DEL CUERPO CAUSANTE RELACIONADO CON LA ANOMALÍA Y LA FORMA APROXIMADA DE ÉSTE.

2. ANALISIS CUALITATIVO.

EN MUCHOS CASOS, LOS MAPAS MAGNÉTICOS PUEDEN SER INTERPRETADOS CUALITATIVAMENTE PARA DETERMINAR LA LOCALIZACIÓN DE FALLAS, LA SITUACIÓN GENERAL DEL BASAMENTO Y SU COMPOSICIÓN. DEBE SER RECORDADO QUE: LOS MAPAS MAGNÉTICOS, NO SON POR SI MISMOS, MAPAS DE LA ESTRUCTURA DEL BASAMENTO, Y QUE LAS GRANDES ANOMALÍAS NO SE DEBEN A LA ESTRUCTURA DEL BASAMENTO Y QUE ALGUNAS DE LAS ANOMALÍAS PEQUEÑAS PUEDEN SER LAS MÁS SIGNIFICATIVAS A PARTIR DE UN PUNTO DE VISTA ESTRUCTURAL.

3. ESTIMACIÓN DE LA PROFUNDIDAD.

UN USO DE LOS DATOS MAGNÉTICOS ES LA ESTIMACIÓN DE LA PROFUNDIDAD DEL BASAMENTO MAGNÉTICO. ESTAS PROFUNDIDADES MAGNÉTICAS SON CONFIGURADAS PARA HACER UN MAPA DEL BASAMENTO. SIN EMBARGO DEBE RECORDARSE QUE LAS PROFUNDIDADES MAGNÉTICAS TENDRAN INCERTIDUMBRE CONSIDERABLE, USUALMENTE $\pm 10. \%$ O MÁS.

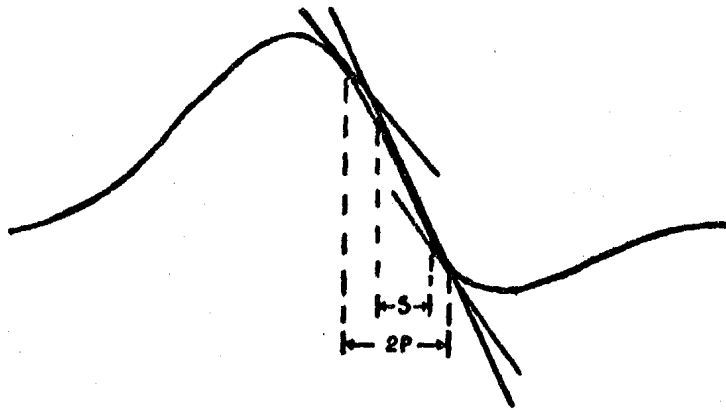
LAS ESTIMAS DE PROFUNDIDAD SON HECHAS POR MÉTODOS QUE UTILIZAN INCLINACIONES DE ANOMALÍAS, ANCHOS DE ANOMALIA Y FILTRADO DE CURVAS.

TODAS LAS TÉCNICAS DE ESTIMACIÓN DE LA PROFUNDIDAD MAGNÉTICA ESTABLECEN SUPOSICIONES ACERCA DE LA GEOMETRIA PROBABLE DEL CUERPO DEL SUBSUELO. LA PROFUNDIDAD MAGNÉTICA ESTIMADA, DERIVADA A PARTIR DE LA TÉCNICA DADA SERÁ EXACTA SIEMPRE QUE LAS SUPOSICIONES HECHAS EN CADA TÉCNICA SEAN, EN REALIDAD, LOCALMENTE VALIDAS.

LA SIGUIENTE FIGURA MUESTRA EL MÉTODO DE ESTIMACIÓN DE PROFUNDI

DAD DE LA MITAD DE LA PENDIENTE DE LA RECTA TANGENTE, UNA DE LAS TÉCNICAS DE ESTIMACIÓN DE PROFUNDIDAD GRÁFICA MÁS COMUN.

MÉTODO
DE
ESTIMACIÓN DE PROFUNDIDAD MAGNÉTICA.
(EMPIRICO)



DONDE:

S = PENDIENTE DE LA RECTA

P = MITAD DE LA PENDIENTE

CON LAS QUE SE HACE POSIBLE QUE:

(1) CUANDO:

$S \approx P \Rightarrow$ INTRABASAMENTO

$Y: Z \approx \frac{S+P}{2}$; Z = PROFUNDIDAD POR DEBAJO DE LA ALTURA DE VUELO.

(2) CUANDO:

$S \approx 2P \Rightarrow$ SUPRABASAMENTO

$Y: Z \approx 1.45$

(3) CUANDO:

$S \ll P \Rightarrow$ EXISTE TRASLAPSE O CUERPO COMPLEJO.

ES NECESARIO CORREGIR POR:

(1) ALTURA DE VUELO

(2) AZIMUT (PERPENDICULAR A LA LINEA)

(3) LATITUD.

II. ALGORITMOS

PARA INICIAR ESTE CAPÍTULO DIREMOS QUE PARA EL DESARROLLO DE CADA UNO DE LOS ALGORITMOS SEGUIREMOS EL DIAGRAMA PRESENTADO AL FINAL DEL CAPÍTULO PRIMERO, CON EXCEPCIÓN DEL INCISO A.

CADA UNO DE LOS ALGORITMOS SE FUNDAMENTARÁ EN BASE A CONCEPTOS, DEFINICIONES, ANTECEDENTES MATEMÁTICOS Y DISCUSIÓN DEL PROCEDIMIENTO.

EL ALGORITMO ASÍ DEFINIDO SE REDUCIRÁ FINALMENTE A UNOS CUANTOS PASOS QUE LO DESCRIBEN DE ACUERDO A SU APLICACIÓN EN EL PROGRAMA POR COMPUTADORA EN CADA CASO.

UNA VEZ ACLARADO LO ANTERIOR DAREMOS PASO A LA DEFINICIÓN DE LOS ALGORITMOS.

ALGORITMO DE REMOCION DEL CGIR

ANTES DE COMENZAR LA DESCRIPCIÓN DE ESTE ALGORITMO DEBEMOS - ACLARAR QUE PARA TAL EFECTO TOMAMOS EN CUENTA EL ANTECEDENTE PUBLICADO POR E.C. BULLARD (1967), ASI COMO EL ARTÍCULO PUBLICADO POR S. R.C. MALIN Y D.R. BARBACLOUGH (1980). DEL PRIMER ARTÍCULO SOLO MENCIONAREMOS LAS IDEAS FUNDAMENTALES E INCLUIREMOS LAS REFERENCIAS EN LA BIBLIOGRAFIA DE ESTA TESIS. ASI, FUNDAMENTAREMOS EL ALGORITMO DE ESTE PROGRAMA PRINCIPALMENTE DEL SEGUNDO ARTICULO.

PARA LA ELIMINACIÓN DE TENDENCIAS SE HAN USADO UNA GRAN VARIEDAD DE MÉTODOS, EXPERIMENTANDO INCONVENIENTES EN EL AJUSTE DE LOS RESULTADOS EN LOS QUE SE HAN SEGUIDO DIFERENTES PROCEDIMIENTOS. POR EJEMPLO, UN LEVANTAMIENTO MAGNÉTICO EN FRANCIA FUE PUBLICADO SIN ELIMINACIÓN DE NINGUNA TENDENCIA, EN UN LEVANTAMIENTO EN INGLATERRA SE USO UNA FUNCIÓN LINEAL PARA REMOVER TENDENCIAS REGIONALES; Y EL TRABAJO DE LA UNIVERSIDAD DE CAMBRIDGE EN EL ATLANTICO HA USADO UNA FUNCIÓN LINEAL DE LATITUD Y LONGITUD Y SEIS TÉRMINOS SENOS Y COSENO PARA ELIMINAR ESTAS.

REQUERIMIENTOS PARA LA ELIMINACIÓN DE TENDENCIAS

LAS PRINCIPALES CONDICIONES SON:

- 1a. QUE EL MÉTODO PUEDA SER APLICADO EN CUALQUIER PARTE DEL MUNDO PARA CUALQUIER COMPONENTE DEL CAMPO, PERO PARTICULARMENTE PARA LA COMPONENTE VERTICAL Y PARA LA COMPONENTE TOTAL.
- 2a. QUE SE ASEGURE QUE EL PUNTO ANTERIOR SEA POSIBLE.
- 3a. QUE EL PROCEDIMIENTO SEA SENCILLO EN SU APLICACIÓN, AUN PARA AQUELLOS QUE NO CUENTEN CON UNA COMPUTADORA.
- 4a. QUE LOS RASGOS GEOLÓGICOS DE INTERES NO SEAN ELIMINADOS O DISTORSIONADOS POR LOS RASGOS DEL CAMPO A GRAN ESCALA.

AHORA BIEN, SI ACEPTAMOS QUE EL CAMPO PRINCIPAL ES PRODUCIDO EN EL NÚCLEO TERRESTRE Y DISTORSIONADO POR EL MAGNETISMO INDUCIDO O REMANENTE DE LAS ROCAS CERCANAS A LA SUPERFICIE, DE-

DEMOS ELIMINAR LA PARTE DEL CAMPO DEBIDA A CORRIENTES ELÉCTRICAS EN EL NÚCLEO Y DEJAR EL PRODUCIDO POR LA MAGNETIZACIÓN DE LAS ROCAS QUE SE ENCUENTRAN A UNA PROFUNDIDAD MENOR QUE LA QUE CORRESPONDE AL PUNTO CURIE.

SE HAN USADO PARA ESTO MUCHOS MÉTODOS, LOS CUALES CAEN DENTRO DE DOS CLASIFICACIONES GENERALES:

- 1a. MÉTODOS EN LOS QUE SE UTILIZAN LOS DATOS MUNDIALES. Y
- 2a. MÉTODOS EN LOS QUE LA TENDENCIA ES ESTIMADA A PARTIR DEL LEVANTAMIENTO MISMO.

MÉTODOS DE ESTIMA DE TENDENCIAS A PARTIR DEL LEVANTAMIENTO.

MÉTODO GRÁFICO.

CONSISTE EN GRAFICAR LAS OBSERVACIONES DE CAMPO SOBRE UN MAPA TOMANDO EN CUENTA DOS CONFIGURACIONES, UNA MOSTRANDO LOS DETALLES Y OTRA MOSTRANDO UNA VERSIÓN SUAVIZADA DEL CAMPO. LA SEGUNDA ES SUSTRAYDA DE LA PRIMERA Y EL RESULTADO ES GRAFICADO COMO UN MAPA DE ANOMALÍAS MAGNÉTICAS. ESTE MÉTODO TIENE BASTANTE DEL JUICIO PERSONAL DE QUIEN LO EFECTUA, ADEMÁS LOS TRABAJOS ADYACENTES NO QUEDAN UNIDOS. NO ES RECOMENDABLE PARA USO GENERAL.

MÉTODO DE ELIMINACIÓN POR FUNCIÓN SIMPLE.

EN MUCHOS LEVANTAMIENTOS SE HA ELIMINADO LA TENDENCIA POR EL AJUSTE DE UNA FUNCIÓN SIMPLE TAL COMO UN POLINOMIO O POR SERIES DE FOURIER EN LATITUD Y LONGITUD CON COEFICIENTES DETERMINADOS POR MÍNIMOS CUADRADOS.

LAS OBJECIONES PRINCIPALES DEL MÉTODO SON QUE LOS MAPAS DE LEVANTAMIENTOS VECINOS NO QUEDAN UNIDOS Y QUE LA TENDENCIA NO PUEDE SER EXTENDIDA FUERA DEL ÁREA USADA PARA EL AJUSTE.

MÉTODO POR SUAVIZADO.

ES POSIBLE ELIMINAR LA TENDENCIA DE UN TRABAJO POR CONVOLUCIÓN BIDIMENSIONAL CON UN FILTRO PASA ALTAS ADECUADO.

SUS PRINCIPALES DESVENTAJAS SON QUE LOS VALORES SE PIERDEN EN LOS BORDES AL REDEDOR DEL LEVANTAMIENTO Y QUE ESTO ES DIFÍCIL DE APLICAR PARA UN LEVANTAMIENTO INCOMPLETO O PARA DATOS ESPACIADOS IRREGULARMENTE.

MÉTODOS PARA LA ELIMINACIÓN DE TENDENCIAS

A PARTIR DE DATOS MUNDIALES.

ES POSIBLE USAR LOS RESULTADOS DE LAS OBSERVACIONES MUNDIALES PARA DAR "UN CAMPO DE REFERENCIA" SUAVIZADO, EL CUAL PUEDE SER SUSTRADO A LEVANTAMIENTOS LOCALES PARA ELIMINAR SU TENDENCIA. EL MÉTODO MÁS SIMPLE DE PRODUCIR UN CAMPO SUAVIZADO ES AJUSTAR A UNA SERIE DE ARMÓNICOS ESFERICOS TRUNCANDO EN UN GRADO Y ORDEN DEPENDIENDO DE LA IMPORTANCIA DEL SUAVIZAMIENTO REQUERIDO.

POR OTRA PARTE SE PUEDE PREPARAR UNA TABLA DANDO LAS COMPONENTES DEL CAMPO DERIVADO DE LAS SERIES SOBRE ALGUNA REJILLA REGULAR. ASI COMO DICHA TABLA PUEDE SER INTERPOLADA Y USADA PARA ELIMINAR LA TENDENCIA A PARTIR DE LAS OBSERVACIONES DE UN LEVANTAMIENTO. EL RESULTADO SE OBTIENE FACILMENTE Y ES ÚNICO.

EL EFECTO AL CORTAR UNA SERIE DE ARMÓNICAS NO ES MUY OBVIO.

SUPONGASE QUE UNA ANOMALIA LOCAL DEBIDA A CAUSAS GEOLOGICAS SE EXPANDE EN SERIES TRUNCADA DE FOURIER EN UNA PEQUEÑA PARTE DE LA TIERRA LA CUAL PUEDE CONSIDERARSE PLANA. ¿ QUE TANTO SE PODRÍA REPRESENTAR POR UNA EXPANSIÓN EN ARMÓNICAS ESFERICAS SOBRE TODA LA TIERRA, CORTADAS A UN ORDEN Y GRADO DADOS ?

O VISTO DE OTRA MANERA.

SUPONGA QUE EL CAMPO SOBRE TODA LA TIERRA SERÁ EXPANDIDO EN UNA SERIE DE ARMÓNICOS ESFERICOS CORTADOS A UN GRADO Y ORDEN DADO.

EL CAMPO CALCULADO AL SUMAR ESTAS SERIES SERÁ EN ALGUN SENTIDO, EL EQUIVALENTE DEL CAMPO OBSERVADO PASADO A TRAVÉS DE UN FILTRO BIDIMENSIONAL PASA BAJAS. ¿ DONDE ESTARÁ EL CORTE DEL FILTRO ?

CONSIDERE LA ARMÓNICA $P_n^m(\cos \theta) \sin m\phi$, DONDE θ Y ϕ SON LA COLATITUD Y LONGITUD RESPECTIVAMENTE; LA CUAL VARIA A LO LARGO DEL ECUADOR COMO $\sin m\phi$ Y POR TANTO TIENE UNA LONGITUD DE ONDA

c/n , DONDE c ES LA CIRCUNFERENCIA DE LA TIERRA. LA LONGITUD DE ONDA MÁS CORTA A LO LARGO DEL ECUADOR PARA UNA SUMA DE ARMÓNICAS ESFÉRICAS ARRIBA DEL ORDEN Y GRADO n SERÁ ENTONCES, c/n . AHORA, LA POSICIÓN DEL POLO ES ARBITRARIA; LA EXPANSIÓN EN ARMÓNICAS ESFÉRICAS PUEDE SER TRANSFORMADA PARA CUALQUIER OTRO POLO - TAMBIEN CORTADO EN ORDEN Y GRADO n . LAS DOS EXPANSIONES SON EQUIVALENTES. POR TANTO EL LÍMITE INFERIOR DE LA LONGITUD DE ONDA - c/n , PUEDE SER APLICADO EN CUALQUIER PUNTO Y EN CUALQUIER DIRECCIÓN Y NO SOLAMENTE A LO LARGO DEL ECUADOR.

LA GEOMETRIA DE LOS CEROS DE $P_n^m(\cos \theta) \sin m\phi$, QUE CONVERGEN HACIA ABAJO DEL POLO SUGIEREN QUE LA LONGITUD DE ONDA MÁS CORTA PUEDE SER REPRESENTADA AQUI COMO EN EL ECUADOR.

TOMANDO LOS EJES CARTESIANOS X, Y CON ORIGEN EN EL POLO, LA EXPRESIÓN:

$$(1) \dots \dots \quad \theta \sin X \sin Y \sin(X+Y) \sin(X-Y)$$

TIENE CEROS A LO LARGO DE 4 LINEAS QUE SE INTERSECTAN EN EL POLO Y ES EQUIVALENTE A LA SERIE DE FOURIER:

$$(2) \dots \dots \quad -\cos(X+Y) + \cos(3X+Y) - \cos(3X-Y) - \cos(X+3Y) + \cos(X-3Y)$$

CERCA DEL POLO (1) Y (2) SE COMPORTAN COMO $8XY(X^2-Y^2)$ Y SI EL EJE X ESTA A LO LARGO DE LA LONGITUD CERO:

$$X = \theta \cos \phi, \quad Y = \theta \sin \phi$$

ENTONCES LA EC. (1) QUEDA COMO $2\theta^4 \cos 4\phi$ LA CUAL ES PROPORCIONAL A $P_4^4(\cos \theta) \cos 4\phi$, CERCA DEL POLO.

LA SERIE DE FOURIER BIDIMENSIONAL SOBRE UN PEQUEÑO CUADRADO DE DIMENSIONES $(L \times L)$ PUEDE SER ESCRITA COMO:

$$\sum_{p=0}^P \sum_{q=0}^Q a_{pq} \cos \frac{2\pi}{L} (px+qy)$$

ESTA TIENE UNA LONGITUD DE ONDA MÍNIMA DE $L/(p^2+q^2)^{1/2}$. ENTONCES LA ARMÓNICA ESFÉRICA TRUNCADA EN GRADO Y ORDEN n TENDRÁ EL MISMO LÍMITE DE ONDA CORTA QUE UNA SERIE DE FOURIER CONTENIENDO TODOS LOS TÉRMINOS PARA LOS CUALES:

$$(p^2+q^2)^{1/2} \leq nL/c$$

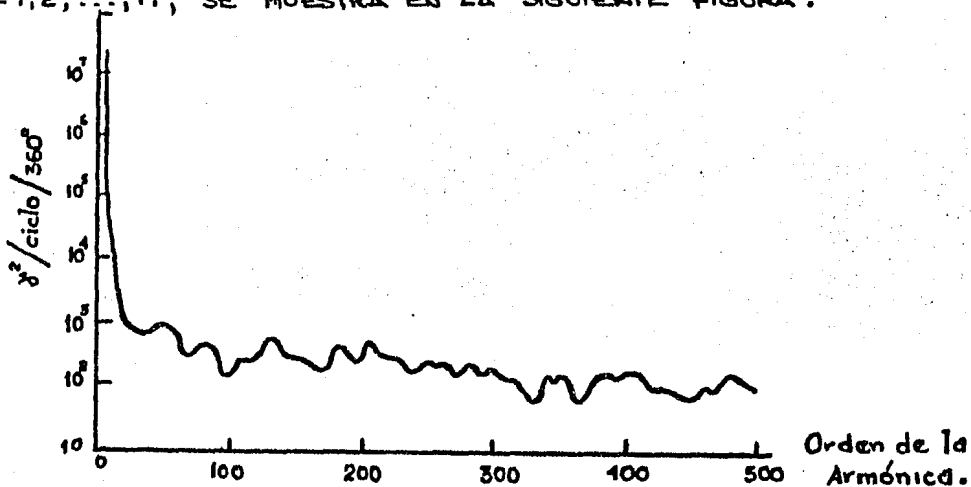
AHORA TENEMOS UNA CONEXIÓN ENTRE LA LONGITUD DE ONDA LARGA λ , QUE DESEAMOS SEGUIR EN EL MAPA DE ANOMALÍA Y LA MÁS ALTA ARMÓNICA n , QUE PODEMOS RETENER EN EL CAMPO SUAVIZADO USADO PARA DE-MOVER LA TENDENCIA. LA RELACIÓN ES $n = c/\lambda$.

LO CUAL DA

λ (km)	n
3000	13
2000	20
1000	40
500	80
200	200

EL CORTE ES ELEGIDO DE MODO QUE LOS RASGOS DEBIDOS A LAS CORRIENTES EN EL NUCLEO SON INCLUIDAS EN LA TENDENCIA, PERO LOS RASGOS GEOLOGICOS SON EXCLUIDOS. PODRIA ESPERARSE QUE EL ESPECTRO DE POTENCIA DEL CAMPO COMO UNA FUNCIÓN DEL NÚMERO DE ONDA DE-BIERA MOSTRAR UNA SEPARACIÓN EN DOS PARTES CON BAJA POTENCIA ENTRE ELLAS, DICHA SEPARACIÓN HA SIDO REPORTADA EN LA BIBLIOGRAFÍA POR ALLDREDGE Y VAN VOORHIS, Y POR GULLARD, HILL Y MASON, Y APARENTE-MENTE CONFIRMADO POR UN ANALISIS DE FOURIER EN UN CINTURÓN EN-TORNO AL MUNDO POR ALLDREDGE, VAN VOORHIS Y DAVIS.

EN EL PRESENTE CASO LA PRESENTACIÓN CORRESPONDIENTE DEBE DE USAR PROMEDIADO SOBRE INTERVALOS IGUALES DEL NÚMERO DE ONDA O SOBRE IGUAL NÚMERO DE ARMÓNICAS. EL RESULTADO DEL SUAVIZAMIENTO DEL ESPECTRO DE ALLDREDGE POR CONVOLUCIÓN CON $\frac{1}{4} (1 - \cos \frac{2\pi n}{20})$, DONDE $n = 1, 2, \dots, 19$, SE MUESTRA EN LA SIGUIENTE FIGURA:



ESTE MUESTRA UNA RAPIDA CAIDA ARRIBA DEL 25º TERMINO SEGUIDO - POR UNA MUY BAJA TENDENCIA HACIA ABAJO.

AUNQUE NO HAY MÍNIMO EN EL ESPECTRO ES CLARAMENTE DIVIDIDO EN - DOS PARTES: UNA CAIDA RAPIDA ARRIBA DEL TÉRMINO 25º Y UNA MUY BA - JA DECLINACIÓN POSTERIORMENTE. PUEDE SER QUE LA PRIMERA PARTE RE - PRESENTE EL EFECTO DE FUENTES EN EL NÚCLEO Y DESPUES LA PARTE - GEOLÓGICA. SI ASI ES, LA SEPARACIÓN ESTA EN UNA LONGITUD DE ONDA DE 1600 Km.

EL ANALISIS DE ARMÓNICAS ESFERICAS DE HURWITZ, KNOPP, NELSON Y WATSON, DA ARMÓNICAS PARA ORDEN Y GRADO 12. SI ESTE ANALISIS DE PO - TENCIAL GEOMAGNÉTICO V , ES EXPRESADO COMO:

$$(3) \dots \dots V = a (g_{nm} \cos m\varphi + h_{nm} \sin m\varphi) P_n^m(\cos \theta)$$

DONDE θ ES LA COLATITUD, φ LA LONGITUD Y a EL RADIO DE LA TIE - RRA Y LAS ARMÓNICAS SON LAS FUNCIONES DE SCHMIDT PARCIALMENTE NOR - MALIZADAS, ENTONCES LA CONTRIBUCIÓN DE TODAS LAS ARMÓNICAS DE GRA - DO n A LA VARIACIÓN DEL CAMPO VERTICAL ES:

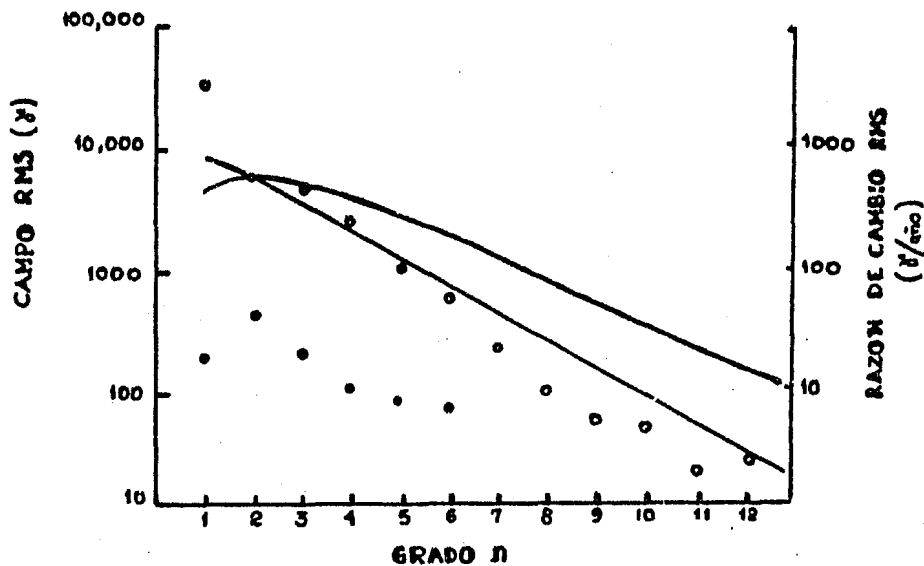
$$\sum_m \frac{(n+1)^2}{2n+1} (g_{nm}^2 + h_{nm}^2)$$

LA RAIZ CUADRADA DE ESTA EXPRESIÓN ES DADA COMO UNA FUNCIÓN DE n ; EN LA TABLA 1 Y FIGURA SIGUIENTES, LAS CANTIDADES CORRESPON - DIENTES PARA LA RAZÓN DE CAMBIO DE LAS ARMÓNICAS ARRIBA DEL OR - DEN Y GRADO 6 SON TAMBIEN DADAS. LA ESTIMACIÓN USADA PARA LAS RAZONES DE CAMBIO ES EL PRINCIPIO DE AQUELLO DADO POR LEATON, MAUN Y EVANS, Y POR NAGATA Y OGUTI.

Tabla 1.

n	1	2	3	4	5	6	7	8	9	10	11	12
$Z(\%)$	35800	5710	1250	2430	985	581	221	97	56	47	20	25
$\dot{Z}(\%/n)$	18.8	44.0	20.0	10.1	8.3	6.8						

CONTRIBUCION DE LAS ARMÓNICAS DE GRADO n AL RMS. DEL CAMPO VERTICAL Z Y SU RAZÓN DE CAMBIO \dot{Z} .



LA FIGURA 2 MUESTRA LA EXTENSIÓN ESPERADA VARIANDO SUAVEMENTE EN EL TÉRMINO DE PRIMER GRADO. DESDE EL GRADO 2º HASTA EL 12º LA CONTRIBUCIÓN - RMS AL CAMPO DECRECE POR UN FACTOR DE 250.

TAMBIEN MUESTRA EL VALOR RMS DEL CAMPO VERTICAL Z_1 , DEL CAMPO DEBIDO A UN DIPOLO EN LA SUPERFICIE DEL NUCLEO Y DE UN CAMPO Z_2 , EN EL CUAL TODAS LAS ARMÓNICAS TIENEN EL MISMO VALOR RMS EN LA SUPERFICIE DEL NUCLEO. SI a ES EL RADIO DE LA TIERRA Y b EL RADIO DEL NUCLEO, ESOS CAMPOS ES TAN DADOS POR:

$$Z_1 = \frac{n(n+1)}{(2n+1)^{1/2}} \left(\frac{b}{a}\right)^{n-1} \quad \text{Y} \quad Z_2 = (2n+1)^{1/2} \cdot \left(\frac{b}{a}\right)^{n-1}$$

EN LA FIGURA ELLOS HAN SIDO NORMALIZADOS AL IGUAL QUE EL CAMPO - OBSERVADO EN LA 2ª ARMÓNICA. COMO DEBERÍA ESPERARSE EL CAMPO OBSERVADO CAE MÁS RAPIDAMENTE, CON EL GRADO QUE LOS CAMPOS DE LAS HIPÓTESIS.

ASI DESDE EL PUNTO DE VISTA DE LA ELIMINACIÓN DE CAMPOS PRODUCIDOS EN EL NUCLEO, PARECE QUE EL CORTE EN ORDEN Y GRADO 8 PODRIA - SER ACEPTABLE.

EN REALIDAD HAY GRANDES DISCREPANCIAS EN ANALISIS RECIENTES, POR EJEMPLO AQUELLOS DE CAIN, LEATON Y MALIN (NO PUBLICADO) PARA - 1960 DIFIEREN EN CERCA DE 25 % SOBRE UNA GRAN PARTE DEL ATLANTICO NORTE.

DESDE EL PUNTO DE VISTA GEOLÓGICO UN CORTE DEL CAMPO DE REFERENCIA EN UNA LONGITUD DE ONDA DE 2000 Km DEBERIA SER ACEPTABLE, ESTE CORRESPONDE AL GRADO 20.

POR TANTO PARECE QUE UN CAMPO DE REFERENCIA CORTADO EN GRADO 8 DEBE CLARAMENTE SATISFACER LA ELIMINACIÓN DE LOS EFECTOS DE CORRIENTES EN EL NUCLEO Y DEBERIA, POR UN GRAN MARGEN, NO TENER EFECTO SOBRE LAS ANOMALIAS DE ORIGEN GEOLÓGICO.

EL USUARIO DEL CAMPO DE REFERENCIA REQUERIRÁ SUSTRARLO A PARTIR DE OBSERVACIONES EN POSICIONES CONOCIDAS. SI ESTO SE HACE A MANO, EL NECESITARÁ UN MAPA DEL ÁREA CON CONTORNOS A INTERVALOS DE CERCA DE 100', TAL COMO AQUELLOS DADOS POR BULLARD, HILL Y MASON (1962) Y BULLARD. TALES MAPAS PUEDEN SER PRODUCIDOS A PARTIR DE VALORES EN LOS PUNTOS DE UNA REJILLA, ESOS VALORES PUEDEN SER OBTENIDOS TANTO POR COMPUTACIÓN A PARTIR DE LA SERIE DE ARMÓNICAS ESFÉRICAS, COMO POR INTERPOLACIÓN EN UNA TABLA. SI SE USA LA INTERPOLACIÓN ES DESEABLE QUE EL INTERVALO DE LA TABLA SEA BASTANTE PEQUEÑO PARA QUE LA INTERPOLACIÓN LINEAL SEA POSIBLE, PUESTO QUE LA INTERPOLACIÓN CUADRÁTICA O DE ALTO ORDEN EN DOS DIMENSIONES ES UN PROCESO TEDIOSO.

ALGORITMO QUE SINTETIZA EL CAMPO GEOMAGNETICO.

HACIENDO A UN LADO LAS VARIACIONES PERIODICAS Y TRANSITORIAS, EL CAMPO MAGNÉTICO TERRESTRE PUEDE SER CONSIDERADO COMO LA SUMA DE 2 PARTES:

EL CAMPO GEOMAGNÉTICO PRINCIPAL Y EL CAMPO ANOMALO.

EL CAMPO PRINCIPAL SE ORIGINA EN EL NUCLEO FLUIDO DE LA TIERRA Y MUESTRA RASGOS A GRAN ESCALA EN LA SUPERFICIE DE LA TIERRA. EL CAMPO ANOMALO TIENE SUS FUENTES EN LA CORTEZA Y TIENE RASGOS QUE VAN HASTA LOS 1000 Km. O MENOS.

EL CONOCIMIENTO DEL CAMPO GEOMAGNÉTICO PRINCIPAL Y SU RAZÓN DE CAMBIO ANUAL (VARIACIÓN SECULAR) ES NECESARIO PARA PROPÓSITO DE EXPLORACIÓN MAGNÉTICA. POR EJEMPLO EN EL ESTUDIO DE ANOMALIAS LOCALES, ES NECESARIO REMOVER LAS TENDENCIAS REGIONALES (BULLARD, 1967).

SÍ LAS TENDENCIAS SUPERFICIALES ESTAN BASADAS EN UN MODELO GLOBAL MÁS QUE EN UN POLINOMIO LOCAL, NO HABRÁ DISCONTINUIDADES ENTRE MAPAS DE ANOMALÍAS PARA ZONAS ADYACENTES.

LA ASOCIACIÓN INTERNACIONAL DE GEOMAGNETISMO Y AERONOMIA (IAGA) ADOPTO UN CAMPO GEOMAGNÉTICO INTERNACIONAL DE REFERENCIA (IGRF). EL CAMPO (IGRF) ORIGINAL CONSISTE DE COEFICIENTES ARMÓNICOS ESFÉRICOS PARA EL CAMPO PRINCIPAL EN 1965 Y PARA SU VARIACIÓN SECULAR, AMBOS CONJUNTOS DE COEFICIENTES SE EXTIENDEN HASTA EL OCTAVO ORDEN Y GRADO. A MEDIADOS DE LOS AÑOS 70'S EL MODELO NO ERA YA UNA DESCRIPCIÓN EXACTA, DEBIDO A LOS CAMBIOS EN LA VARIACIÓN SECULAR Y LA IAGA (1975) ADOPTO UNA VERSIÓN REVISADA QUE SE DENOTA IGRF(1975). PARA PRESERVAR LA CONTINUIDAD DE LOS VALORES DE CAMPO PRINCIPAL, LA REVISIÓN SE LIMITÓ A LA ADICIÓN DE UN NUEVO CONJUNTO DE 80 COEFICIENTES QUE DESCRIBEN LA VARIACIÓN SECULAR PARA EL PERIODO DE 1975 A 1980. EL IGRF(1975) ENTONCES CONSISTE DE TRES CONJUNTOS DE 80 COEFICIENTES DE ARMÓNICOS ESFÉRICOS:

a) UNO PARA EL CAMPO PRINCIPAL EN 1975 (LOS COEFICIENTES DE CAMPO PRINCIPAL DE 1965 CORREGIDOS A 1975 USANDO LOS COEFICIENTES DE VARIACIÓN SECULAR ORIGINALES), b) LOS COEFICIENTES DE VARIACIÓN SECULAR USADOS PARA DERIVAR VALORES DE CAMPO PARA FECHAS ANTES DE 1975 Y c) LOS NUEVOS COEFICIENTES DE VARIACIÓN SECULAR SERÁN USADOS PARA FECHAS POSTERIORES A 1975.

LOS ALGORITMOS Y PROGRAMAS PARA LA EVALUACIÓN DEL IGRF ORIGINAL HAN SIDO PUBLICADOS PREVIAMENTE, AUNQUE NO EN FORMA ACCESIBLE (CAIN Y OTROS, 1968; FABBIANO Y PEDDIE, 1969; MALIN, 1969; KUGE, 1970, b; BARRA-CLOUGH Y MALIN, 1971; STASSINOPULOS, Y MEAD, 1972); TAMBIÉN ESTÁN DISPONIBLES EN LOS CENTROS DE DATOS MUNDIALES.

AQUI PRESENTAMOS UN ALGORITMO QUE SIRVE PARA CALCULAR LOS VALORES DE CAMPO GEOMAGNÉTICO PARA CUALQUIER FECHA ESPECÍFICA Y PUNTO EN EL ESPACIO DE LOS COEFICIENTES DE IGRF.

EN LA PRÁCTICA LOS VALORES DE CAMPO SINTETIZADO SERÁN REALES EN EL INTERVALO DE LA SUPERFICIE DEL NÚCLEO EXTERNO DE LA TIERRA (radio = 3500 Km. APROXIMADAMENTE) A UNA DISTANCIA DE 4 RADIOS TE

RESTRES. EL RANGO TEMPORAL DE LOS COEFICIENTES ES DESDE 1965 AL PRESENTE (ZHUDA, 1971).

METODO DE CALCULO

ANTES DE CALCULAR LAS COMPONENTES DE CAMPO GEOMAGNETICO, DEBEMOS CORREGIR LOS COEFICIENTES ARMÓNICOS ESFÉRICOS PARA LA FECHA REQUERIDA (FECHA ESPECIFICADA EN AÑOS DESPUES DE CRISTO), USANDO LAS RELACIONES

$$g_n^m = g_n^m(1975) + t \dot{g}_n^m (< 1975),$$

$$h_n^m = h_n^m(1975) + t \dot{h}_n^m (< 1975); \quad (t < 0),$$

$$g_n^m = g_n^m(1975) + t \dot{g}_n^m (> 1975),$$

$$h_n^m = h_n^m(1975) + t \dot{h}_n^m (> 1975); \quad (t \geq 0)$$

DONDE:

$$t = \text{FECHA} - 1975$$

$\left\{ \begin{array}{l} g_n^m(1975) \\ h_n^m(1975) \end{array} \right\}$ DENOTAN LOS COEFICIENTES DEL CAMPO PRINCIPAL IGRF PARA 1975;

$\left\{ \begin{array}{l} \dot{g}_n^m(< 1975) \\ \dot{h}_n^m(< 1975) \end{array} \right\}$ DENOTAN LOS COEFICIENTES DE VARIACIÓN SECULAR DEL IGRF PARA FECHAS < 1975;

$\left\{ \begin{array}{l} \dot{g}_n^m(> 1975) \\ \dot{h}_n^m(> 1975) \end{array} \right\}$ DENOTAN AQUELLOS QUE SE USAN CUANDO LA FECHA SEA > 1975.

LAS COMPONENTES NORTE (X)
ESTE (Y)
VERTICAL HACIA ABAJO (Z)

DEL CAMPO GEOMAGNETICO ESTAN DADAS POR:

$$X = \sum_{n=1}^8 \left\{ g_n^0 \left(\frac{a}{r} \right)^{n+2} \cdot X_n^0 + \sum_{m=1}^n \left[(g_n^m \cos m\lambda + h_n^m \sin m\lambda) \left(\frac{a}{r} \right)^{n+2} \cdot X_n^m \right] \right\}$$

$$Y = \sum_{n=1}^{\infty} \sum_{m=1}^n \left[(g_n^m \sin m\lambda - h_n^m \cos m\lambda) \left(\frac{\bar{a}}{r}\right)^{n+2} \cdot Y_n^m \right]$$

$$Z = -\sum_{n=1}^{\infty} \left\{ g_n^0 \left(\frac{\bar{a}}{r}\right)^{n+2} \cdot Z_n^0 + \sum_{m=1}^n \left[(g_n^m \cos m\lambda + h_n^m \sin m\lambda) \left(\frac{\bar{a}}{r}\right)^{n+2} \cdot Z_n^m \right] \right\}$$

DONDE:

\bar{a} = RADIO DE LA ESFERA DE REFERENCIA

r = DISTANCIA RADIAL DESDE EL CENTRO DE LA TIERRA.

λ = LONGITUD ESTE

$m, n \equiv$ ENTEROS

X_n^m, Y_n^m, Z_n^m = COMPONENTES DEFINIDAS EN TÉRMINOS DE POLINOMIOS DE LEGENDRE.

LA FORMA CUASINORMALIZADA DE SCHMIDT DEL POLINOMIO DE LEGENDRE ASOCIADO ESTA DEFINIDA POR

$$P_n^m(x) = \frac{1}{2^n \cdot n!} \left[\frac{(2 - \delta_{0m})(n-m)! (1-x^2)^m}{(n+m)!} \right]^{1/2} \cdot \frac{d^{n+m}}{dx^{n+m}} (x^2-1)^n,$$

DONDE:

δ_{ij} = DELTA DE KROENEKER, ($\delta_{ij} = 1$; $\delta_{ij} = 0$ para $i \neq j$)

Y : $X = \cos \theta$; DONDE θ DENOTA LA COLATITUD GEOCENTRICA*

FINALMENTE:

$$X_n^m = \frac{d P_n^m}{d \theta}$$

$$Y_n^m = \frac{m P_n^m}{\sin \theta}$$

(EXCEPTO EN LOS POLOS DONDE:
 $Y_n^m = X_n^m \cos \theta$)

$$Z_n^m = (n+1) P_n^m$$

NOTE QUE LAS DEFINICIONES DE X_n^m, Y_n^m USADAS AQUI DIFIEREN POR UN FACTOR n DE AQUELLOS FRECUENTEMENTE USADOS EN OTRAS PARTES.

* AL FINAL DE LA DISCUSIÓN DEL MÉTODO DE CÁLCULO SE INCLUYEN ALGUNAS DEFINICIONES QUE COMO LAS QUE AQUI MARCAMOS CONSIDERAMOS NECESARIAS.

LOS COEFICIENTES IGRF ESTAN REFERIDOS A UNA ESFERA DE RADIO \bar{a} IGUAL A 6371.2 Km, EN TANTO QUE LA SUPERFICIE TERRESTRE CORRESPONDE A UN ELIPSOIDE. ENTONCES, SI UN PUNTO ES DEFINIDO EN RELACION A LA SUPERFICIE TERRESTRE, ESTO ES EN COORDENADAS GEODESICAS $\theta = \text{COLA}$ TIND, $\lambda = \text{LONGITUD ESTE}$ Y $h = \text{ALTURA ORTOMETRICA}$ ARRIBA DEL NIVEL MEDIO DEL MAR, ESTAS DEBEN DE SER PRIMERO CONVERTIDAS A COORDENADAS GEOCENTRICAS θ, λ, r . ESTA CONVERSION SE REALIZA POR MEDIO DE UNA SUBROUTINA SI ITYPE SE ESPECIFICA COMO 1. EL ELIPSOIDE DE LA UNION INTERNACIONAL ASTRONOMICA, EL CUAL TIENE UN RADIO ECUATORIAL, a DE 6378.16 Km Y UN RECIPROCO DEL ACHATAMIENTO $1/f$ DE 298.25, ES RECOMENDADO PARA USARLO CON EL IGRF Y ES EMPLEADO EN ESA SUBROUTINA; h ES TOMADA COMO LA ALTURA ARRIBA DE ESTE ELIPSOIDE MEDIDO EN LA DIRECCION NORMAL. ALTERNATIVAMENTE, EL PUNTO PUEDE ESTAR DADO DIRECTAMENTE EN COORDENADAS GEOCENTRICAS, EN EL CASO DE ITYPE=2.

LA CONVERSION DE COORDENADAS GEODESICAS A GEOCENTRICAS ES:

$$r = \left[h(h+2) + (a^2 \sin^2 \theta' + b^2 \cos^2 \theta') / f^2 \right]^{1/2}$$

DONDE:

$$f = (a^2 \sin^2 \theta' + b^2 \cos^2 \theta')^{1/2}$$

$$\cos \delta = \frac{(h+f)}{r}$$

$$\sin \delta = (a^2 - b^2) \cdot \cos \theta' \cdot \sin \theta' / fr$$

$$\cos \theta = \cos \theta' \cos \delta - \sin \theta' \sin \delta$$

$$\sin \theta = \sin \theta' \cos \delta + \cos \theta' \sin \delta$$

AQUI a DENOTA EL RADIO ECUATORIAL Y b EL RADIO POLAR ($= a(1-f)$). Y $\delta = \theta - \theta'$.

LAS CANTIDADES $\cos \delta$ Y $\sin \delta$ SON USADAS MAS TARDE PARA CONVERTIR X Y Z AL SISTEMA DE COORDENADAS GEODESICAS, SI ESTO ESTA ESPECIFICADO POR LOS DATOS DE ENTRADA AL PROGRAMA DERIVADO DE ESTE ALGORITMO (CUANDO ITYPE = 1).

SI LAS COORDENADAS GEOCENTRICAS SON EMPLEADAS, $\delta = 0$.

CUATRO VALORES DE P_n^m Y X_n^m SON ESPECIFICADOS.

$$P_0^0 = 1$$

$$P_1^1 = \text{sen } \theta$$

$$X_0^0 = 0$$

$$X_1^1 = \text{cos } \theta$$

Y LOS VALORES RESTANTES SON CALCULADOS USANDO LAS RELACIONES DE RECURRENCIA

$$P_n^n = \left(1 - \frac{1}{2n}\right)^{1/2} \cdot \text{sen } \theta \cdot P_{n-1}^{n-1},$$

$$X_n^n = \left(1 - \frac{1}{2n}\right)^{1/2} \cdot (\text{sen } \theta \cdot X_{n-1}^{n-1} + \text{cos } \theta \cdot P_{n-1}^{n-1}),$$

$$P_n^m = \left\{ (2n-1) \text{cos } \theta \cdot P_{n-1}^m - [(n-1)^2 - m^2]^{1/2} \cdot P_{n-2}^m \right\} / (n^2 - m^2)^{1/2},$$

$$X_n^m = \left\{ (2n-1) [\text{cos } \theta \cdot X_{n-1}^m - \text{sen } \theta \cdot P_{n-1}^m] - [(n-1)^2 - m^2]^{1/2} \cdot X_{n-2}^m \right\} / (n^2 - m^2)^{1/2}$$

AL MISMO TIEMPO, $\text{cos } m\lambda$ Y $\text{sen } m\lambda$ SON CALCULADAS POR:

$$\text{cos } m\lambda = \text{cos } (m-1)\lambda \cdot \text{cos } \lambda - \text{sen } (m-1)\lambda \cdot \text{sen } \lambda$$

$$\text{sen } m\lambda = \text{sen } (m-1)\lambda \cdot \text{cos } \lambda + \text{cos } (m-1)\lambda \cdot \text{sen } \lambda$$

FINALMENTE, X Y Z SON AJUSTADAS AL SISTEMA DE COORDENADAS APROPIADO Y F , LA MAGNITUD DEL CAMPO TOTAL ES CALCULADO.

$$X_{\text{geodésica}} = X \text{cos } \delta + Z \text{sen } \delta$$

$$Z_{\text{geodésica}} = Z \text{cos } \delta - X \text{sen } \delta$$

$$Y \quad F = (X^2 + Y^2 + Z^2)^{1/2}$$

LOS ELEMENTOS MAGNÉTICOS RESTANTES PUEDEN SER CALCULADOS DE AQUELLOS SUMINISTRADOS POR LA SUBROUTINA COMO SIGUE:

$$H = (X^2 + Y^2)^{1/2}$$

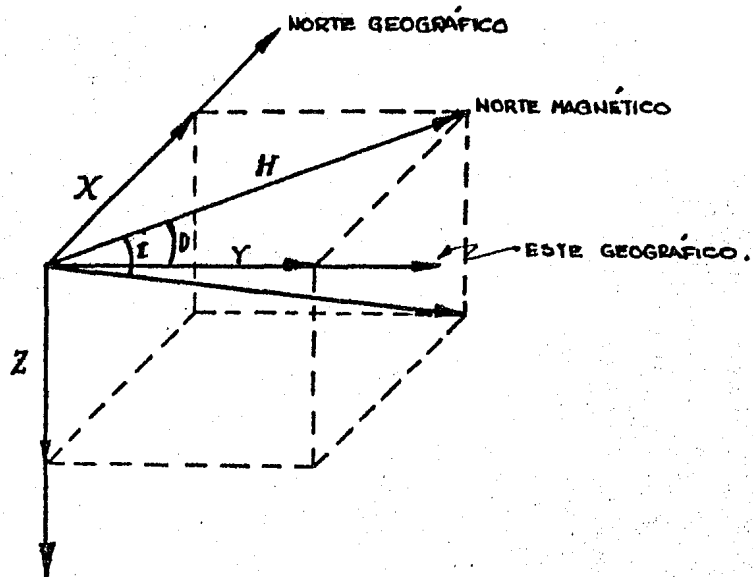
$$D = \text{ang } \tan \left(\frac{Y}{X} \right)$$

$$I = \text{ang } \tan \left(\frac{Z}{H} \right)$$

DONDE: H DENOTA LA COMPONENTE HORIZONTAL DEL CAMPO

D DENOTA LA DECLINACION HACIA EL ESTE DEL CAMPO DEL NORTE GEOGRAFICO.

I DENOTA LA INCLINACION DEL CAMPO RESPECTO A LA HORIZONTAL.



LA SUBROUTINA ES LLAMADA POR LA PROPOCION "CALL MAGSYN".

X, Y, Z SON SUMINISTRADOS POR LA SUBROUTINA LOS OTROS VALORES EN LA PROPOCION "CALL" PERMANECEN INALTERABLES.

LA SUBROUTINA SE EXPLICA EN LOS COMENTARIOS O ES EVIDENTE, SIN EMBARGO LAS SIGUIENTES NOTAS PUEDEN AYUDAR A ENTENDER EL PROCEDIMIENTO.

LOS PRINCIPALES COEFICIENTES DEL CAMPO* SON ALMACENADOS EN EL ARREGLO: GH(L), L = 1 a 80, DONDE L = $n^2 + 2m$ para g_n^0 Y h_n^m
 Y: L = $n^2 + 2m - 1$ para g_n^m ; (m ≠ 0)

* VER APENDICE A.

LOS COEFICIENTES DE VARIACION SECLAR ANTERIORES A 1975 SON ALMACENADOS EN EL ARREGLO

$$SV(L), (L = 1 \text{ a } 80)$$

LOS COEFICIENTES POSTERIORES A 1975 EN

$$SV(80+L), (L = 1 \text{ a } 80)$$

LAS CANTIDADES

$$P_n^m \text{ Y } X_n^m$$

SON ALMACENADAS EN LOS ARREGLOS $P(k)$ Y $Q(k)$.

CON: $k = 1 \text{ a } 45$

$$k = \frac{n(n+1)}{2} + m + 1$$

EMPEZANDO CON: P_0^0 Y X_0^0 .

LAS CANTIDADES DE PUNTO FLOTANTE INTERMEDIAS SON ALMACENADAS EN: ONE, TWO, THREE.

LAS CANTIDADES ENTERAS I, J, LL

LAS VARIABLES FORTRAN QUE CORRESPONDAN A AQUELLAS EMPLEADAS EN LAS FÓRMULAS PREVIAS SON:

$$ALT \equiv h$$

$$COLAT \equiv \theta' \text{ (SI } ITYPE = 1)$$

$$ALT \equiv \gamma; COLAT \equiv \theta, \text{ (SI } ITYPE = 2)$$

$$ELONG \equiv \lambda$$

$$CL(M) \equiv \cos m\lambda$$

$$SL(M) \equiv \sin m\lambda$$

$$T \equiv t; R \equiv r; CT \equiv \cos \theta; ST \equiv \sin \theta$$

$$CD \equiv \cos \delta; SD \equiv \sin \delta; A2 \equiv a^2$$

$$B2 \equiv b^2; RHO \equiv \rho; RATIO \equiv \bar{a}/r$$

$$RR \equiv (\bar{a}/r)^{m+2}$$

$$FM \text{ Y } M \equiv m$$

$$FN \text{ Y } N \equiv n$$

$$GM \equiv m^2$$

$$GN \equiv n-1$$

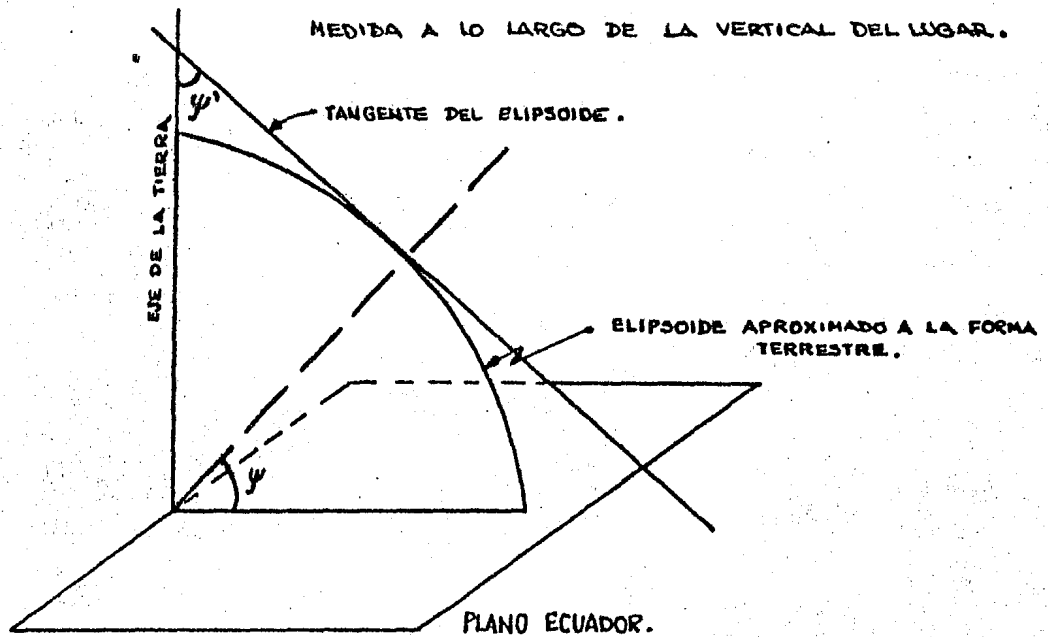
*

DEFINICIONES Y CONCEPTOS COMPLEMENTARIOS

COLATITUD GEOCÉNTRICA = COMPLEMENTO DE LA LATITUD GEOCÉNTRICA.

LATITUD GEOCÉNTRICA \equiv ÁNGULO FORMADO POR UNA LÍNEA QUE PASA POR EL CENTRO DE LA TIERRA Y EL PLANO DEL ECUADOR.

ALTURA ORTOMÉTRICA \equiv DISTANCIA DEL PUNTO CON RESPECTO AL GEOIDE - MEDIDA A LO LARGO DE LA VERTICAL DEL LUGAR.



$\psi \equiv$ ÁNGULO DE LATITUD GEOCÉNTRICA.

$\psi' \equiv$ ÁNGULO DE LATITUD GEODÉSICA.

LATITUD GEODESICA \equiv LATITUD ORDINARIA, ÁNGULO FORMADO POR LA TANGENTE AL ELIPSOIDE QUE APROXIMA LA FORMA DE LA TIERRA Y EL EJE TERRESTRE
LA LATITUD GEODÉSICA ψ' DIFIERE DE LA LATITUD GEOCÉNTRICA ψ DEBIDO A LA ELIPTICIDAD TERRESTRE, POR LA RELACIÓN

$$\psi = 11.7 \operatorname{sen} 2\psi' \quad [\text{EN MINUTOS DE ARCO}]$$

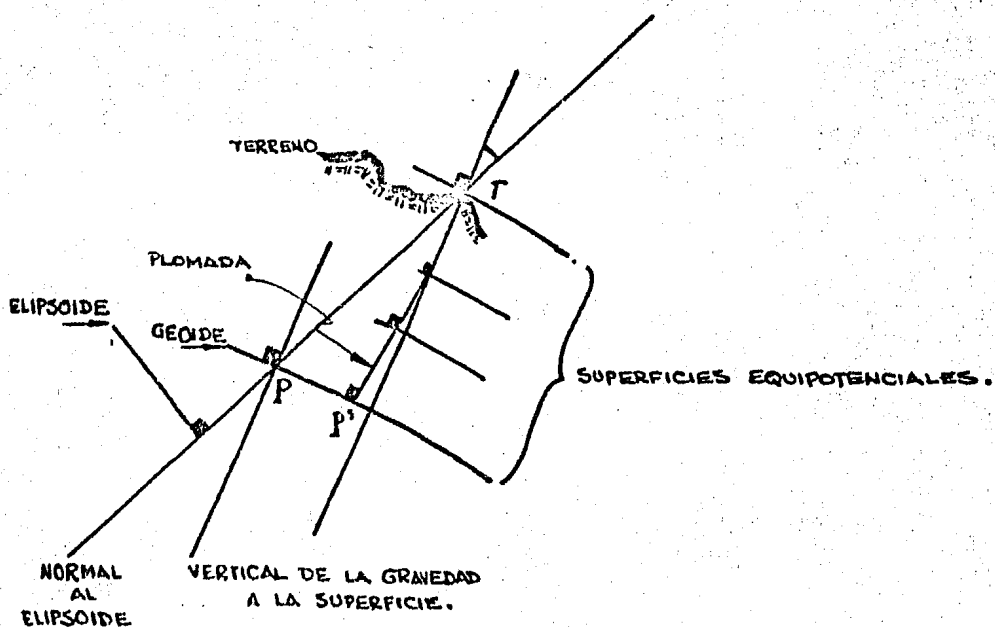
ALTURA GEODAL $\xi (N^g)$. LA DISTANCIA ENTRE EL ELIPSOIDE Y EL GEOIDE MEDIDA A TRAVÉS DE LA NORMAL AL ELIPSOIDE ($\bar{Q}P$).

ALTURA ELIPSOIDAL $\xi (h)$. LA DISTANCIA ENTRE EL ELIPSOIDE Y EL TERRENO MEDIDO A TRAVÉS DE LA NORMAL DEL ELIPSOIDE - ($\bar{Q}T$).

ALTURA ORTOMÉTRICA $\xi (H)$. LA DISTANCIA ENTRE EL GEOIDE Y EL TERRENO MEDIDO A TRAVÉS DE LA PLOMADA ($P'T$).

SÍ LA CURVATURA DE LA PLOMADA ES IGNORADA; $h = N^g + H$.

ORIENTACION DEL ELIPSOIDE AL GEOIDE. -



ALGORITMO DE ENREJILLADO

LOS DATOS GEOLÓGICOS Y GEOFÍSICOS GENERALMENTE SE OBSERVAN EN LOCALIDADES ALEATORIAS SOBRE SUPERFICIES BIDIMENSIONALES Y SON INTERPOLADOS POSTERIORMENTE SOBRE UNA REJILLA CUADRADA O RECTANGULAR. ESTA REJILLA ALEATORIA, O PROCESO DE ENREJILLADO, FACILITA EL ANALISIS DE MAPA YA QUE LOS DATOS ENREJILLADOS PUEDEN SER USADOS PARA APLICACIÓN DE TÉCNICAS DE PROCESADO: COMO EL FILTRAJE, COMPARACIÓN CON OTROS DATOS, Y CONFIGURACIÓN CON MAQUINA O A MANO.

LAS TÉCNICAS DE ENREJILLADO QUE HAN SIDO DESCRITAS EN LA LITERATURA, ESTAN BASADAS EN MÉTODOS DE INTERPOLACIÓN EN NODOS DE REJILLA, USANDO DATOS IRREGULARMENTE ESPACIADOS EN UN ENTORNO. GENERALMENTE LA INTERPOLACIÓN SE EFECTUA EN CADA NODO DE LA REJILLA, USANDO UN PROMEDIO PESADO, UN AJUSTE LINEAL O CUADRÁTICO, DAVIS (1974) DESCRIBIÓ Y PRESENTÓ UN PROGRAMA PARA UN MÉTODO DE PROMEDIO SENCILLO EN EL CUAL, EL VALOR EN UN NODO DE REJILLA ESTÁ DADO POR EL PROMEDIO PESADO DE LOS n PUNTOS CERCANOS, DONDE n ES SELECCIONADO POR EL USUARIO. LA FUNCIÓN DE "PESO" ES SELECCIONADA COMO EL INVERSO DE LA DISTANCIA DEL NODO DE LA REJILLA. ESTA TÉCNICA ES LA BASE PARA UNO DE LOS PROGRAMAS UTILIZADOS EN ESTE ARTÍCULO, DESIGNADO MÉTODO II. PALMER (1969) Y WALTERS (1969) PRESENTAN MÉTODOS DE ENREJILLADO BASADOS EN EL AJUSTE DE UNA SUPERFICIE LINEAL A LOS PUNTOS DADOS EN LA REGIÓN DE NODOS DE REJILLA. UN FACTOR DE PESO DE DISTANCIA PUEDE SER INCLUIDO EN EL PROCESO DE AJUSTADO LINEAL. McINTYRE, POLLARD Y SMITH (1969) PRESENTAN UN PROGRAMA QUE EMPLEA UN AJUSTE CUADRÁTICO DE DATOS DENTRO DE UN RADIO ESPECÍFICO DE UN NODO DE REJILLA. SWAIN (1976) EMPLEO UNA TÉCNICA DE ECUACIÓN DE DIFERENCIA, SIGUIENDO A BRIGGS (1974) EL CUAL USA UNA CURVATURA MÍNIMA DE LA SUPERFICIE COMO UN CONTRASTE ADICIONAL EN EL PROCEDIMIENTO DE AJUSTE. LA MAYORÍA DE TÉCNICAS DE ENREJILLADO USAN UNA ESTRATEGIA LOCAL EN LA CUAL EL VALOR EN UN NODO ES DETERMINADO A PARTIR DE MUESTRAS RESTRINGIDAS A UN RANGO PEQUEÑO DE DISTANCIAS DE LOS NODOS DE REJILLA. TODAS LAS TÉCNICAS EN GENERAL USAN LOS PUNTOS

DATO PARA LA INTERPOLACIÓN DEL VALOR EN CADA UNO DE LOS NODOS DE REJILLA. EL ANALISIS DE TENDENCIAS DE SUPERFICIES UTILIZA POLINOMIOS (WATSON, 1971), SERIES DE FOURIER (JAMES, 1966) O INTERPOLACIÓN AJUSTADA (WHITTEN Y KOELLING, 1973), PUEDEN SER USADOS COMO MÉTODOS GLOBALES DE ENREJILLADO. TIPPER (1977) HA PRESENTADO UNA DISCUSIÓN DEL USO DE MÉTODOS LOCALES Y GLOBALES PARA UNA REPRESENTACIÓN TRIDIMENSIONAL. LA SELECCIÓN DEL MÉTODO DE ENREJILLADO DEPENDE DEL CONCEPTO QUE EL USUARIO TENGA SOBRE UNA REPRESENTACIÓN ÓPTIMA O INTERPOLACIÓN, LA CUAL ESTA CONTROLADA POR MUCHOS FACTORES INCLUYENDO LAS CARACTERÍSTICAS DE LOS DATOS, LA APLICACIÓN DESEADA Y LOS JUICIOS DEL USUARIO. UNA DISCUSIÓN DE UTILIDAD Y CONCEPTOS IMPORTANTES EN PROCESOS DE ENREJILLADO ESTAN DADOS POR DAVIS (1973, 1975), PALMER (1969), WALTERS (1969), WREN (1975) Y CRAIN Y BHATTACHARYA (1967).

EN ESTE ARTÍCULO SE COMPARAN CUATRO PROCEDIMIENTOS DE ENREJILLADO DIFERENTES Y UN NUEVO MÉTODO ES EL QUE PRESENTAMOS COMO PROGRAMA PARA COMPUTADORA EN FORTRAN. ESTA NUEVA TÉCNICA ESTA BASADA EN EL AJUSTE DE UNA SUPERFICIE POLINOMIAL DE CUALQUIER ORDEN A UNA REGION PEQUEÑA DEL ÁREA DE LA REJILLA. ESTE MÉTODO ES SIMILAR EN VARIOS ASPECTOS A LAS TÉCNICAS DISCUTIDAS PERO TIENE UNA DIFERENCIA IMPORTANTE. EL USO DE UN POLINOMIO DE CUALQUIER ORDEN PERMITE PRECISAR LA SUPERFICIE DE AJUSTE AUN EN LA SITUACIÓN DE UNA SUPERFICIE ALTAMENTE IRREGULAR. UN CONTROL CONSIDERABLE DEL PROCEDIMIENTO DE ENREJILLADO PUEDE SER EJERCIDO POR EL USUARIO APLICANDO UN JUICIO DE SELECCIÓN EN LOS PARAMETROS DE ENREJILLADO. ESTO AYUDA EN MINIMIZAR LOS EFECTOS LATERALES, INCREMENTAR LA EXACTITUD DEL AJUSTE, PERMITE EL USO DE POLINOMIOS DE DIFERENTE ORDEN EN REGIONES DISTINTAS DE LA REJILLA, LA CUAL PROVEE UN ENREJILLADO ÓPTIMO EN REGIONES DE ALTA Y BAJA DENSIDAD DE DATOS Y PROVEE UN PROCESO DE ENREJILLADO VERSÁTIL EL CUAL HA SIDO DETERMINADO PARA ADAPTARSE A CARACTERÍSTICAS DE DATOS Y DISTRIBUCIÓN DE MUESTRAS DIVERSAS.

LA FUNCIONALIDAD DE MÉTODOS ALEATORIOS DE REJILLA, DEPENDE DE LA COMPLEJIDAD DE LOS DATOS OBSERVADOS, LAS LOCALIDADES DE LOS PUNTOS MUESTREADOS Y LAS CARACTERÍSTICAS DE LA TÉCNICA DE ENREJILLADO.

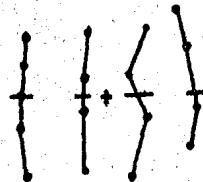
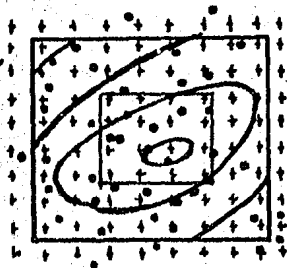
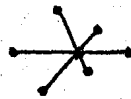
LOS PROBLEMAS COMUNES, INHERENTES A MÉTODOS AUTOMÁTICOS DE ENREJILLADO SON:

- OBTENCIÓN DE EXACTITUD EN REGIONES DE DATOS DISPERSOS.
- REPRESENTACIÓN DE LOS RASGOS DE LA LONGITUD DE ONDA CORTA DE LOS DATOS SUPERFICIALES, PUESTO QUE TAMBIEN EVITAN LA INTRODUCCIÓN DE RASGOS INDESEABLES EN LA SUPERFICIE DE ENREJILLADO.
- INTERPOLACIÓN CERCA DE LOS LADOS DEL ÁREA MUESTREADA

EL OBJETIVO DE ESTA PARTE ES PRESENTAR UNA COMPARACIÓN DE LA FUNCIONALIDAD DE LOS CUATRO MÉTODOS DE ENREJILLADO ALEATORIO. LOS 4 MÉTODOS SON USADOS PARA REJILLAS POR COMPUTADORA PARA UNA SERIE DE 200 LOCALIDADES OBSERVADAS ALEATORIAMENTE SOBRE LA SUPERFICIE DE DATOS. LA FUNCIONALIDAD DE CADA UNO DE LOS MÉTODOS DE ENREJILLADO ES EVALUADA POR COMPARACIÓN DE LA SUPERFICIE ENREJILLADA POR COMPUTADORA CON UNA REJILLA DIGITIZADA A MANO.

MÉTODOS DE ENREJILLADO

LOS CUATRO MÉTODOS DE ENREJILLADO SE MUESTRAN ESQUEMATICAMENTE EN LA SIGUIENTE FIGURA.



EN EL MÉTODO II, EL VALOR DE LA SUPERFICIE INTERPOLADA EN CADA NODO DE LA REJILLA ES DETERMINADO POR EL PROMEDIO PESADO DE LOS PUNTOS CERCANOS - MUESTREADOS ALEATORIAMENTE. EN CADA NODO DE LA REJILLA, LOS DATOS ALEATORIOS DEBEN SER OBSERVADOS PARA LOCALIZAR, LOS n PUNTOS CERCANOS, DONDE n PUEDE SER CUALQUIER NÚMERO AUNQUE USUALMENTE ES ESCOGIDO ENTRE 3 Y 9. LOS VALORES DE LOS n PUNTOS CERCANOS SON PESADOS POR EL INVERSO DE LA DISTANCIA ENTRE EL NODO DE LA REJILLA Y LOS PUNTOS MUESTREADOS Y ASÍ PROMEDIADOS. EL PROCESO ES REPETIDO PARA CADA NODO DE LA REJILLA. DEBIDO A QUE LA BÚSQUEDA DE TODO EL ARCHIVO DE DATOS ES REQUERIDO PARA CADA PUNTO, EL PROCESO CONSUME MUCHO TIEMPO PARA UN GRAN NÚMERO DE MUESTRAS ALEATORIAS, Y REJILLAS GRANDES, AUNQUE PODRÍA SER DESARROLLADO UN PROCEDIMIENTO DE REGISTRO MÁS EFICIENTE. DEBIDO AL PROMEDIO DE PUNTOS CERCANOS, ESTE MÉTODO SUBESTIMA LAS AMPLITUDES DEL MÁXIMO Y EL MÍNIMO EN LA SUPERFICIE.

EL MÉTODO I ES SIMILAR AL MÉTODO II EN QUE ESTE ESTIMA EL VALOR DE LA SUPERFICIE EN LOS NODOS DE LA REJILLA POR PROMEDIADO DE LOS VALORES DE LOS PUNTOS CERCANOS. SIN EMBARGO EL MÉTODO I REQUIERE QUE SEAN USADOS 3 PUNTOS Y QUE LOS 3 PUNTOS MUESTREADOS FORMEN UN TRIÁNGULO CON EL NODO DE LA REJILLA ENCERRADO EN EL TRIÁNGULO. ESTA RESTRICCIÓN PROPORCIONA ALGUN CONTROL AZIMUTAL EL CUAL MEJORA EL ENREJILLADO EN SITUACIONES DONDE LAS LOCALIDADES MUESTREADAS SON IRREGULARMENTE ESPACIADAS.

EL MÉTODO III EMPLEA UN AJUSTE DE UN POLINOMIO SUPERFICIAL DE n -ÉSIMO ORDEN PARA REGIONES PEQUEÑAS DEL ÁREA MUESTRA Y CALCULANDO LOS VALORES DE SUPERFICIE EN LOS NODOS DE LA REJILLA A PARTIR DE LA SUPERFICIE POLINOMIAL. EN ESTE MÉTODO EL ÁREA DE ENREJILLADO ES DEFINIDA POR UN NÚMERO PEQUEÑO DE NODOS DE REJILLA EN AMBAS DIRECCIONES X, Y , Y UNA ÁREA DE AJUSTE DE SUPERFICIE ES DELINEADA EN TORNO AL ÁREA DE ENREJILLADO.

LOS DATOS MUESTREADOS SON BUSCADOS PARA LOCALIZAR TODOS LOS PUNTOS DENTRO DEL ÁREA DE LA SUPERFICIE DE AJUSTE Y ESOS PUNTOS SON USADOS PARA CALCULAR UNA SUPERFICIE POLINOMIAL A PARTIR DE LA CUAL LOS VALORES EN LOS NODOS DE REJILLA SON INTERPOLADOS

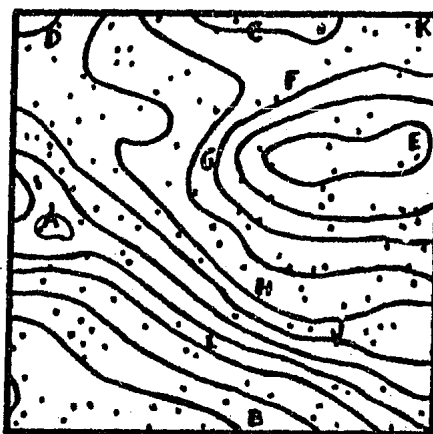
EL ÁREA DE ENREJILLADO, ENTONCES ES MOVIDA SUCESIVAMENTE CERCA DE LA REJILLA COMPLETA Y EL POLINOMIO LOCAL ES AJUSTADO REPETIDAMENTE HASTA COMPLETAR EL ENREJILLADO. LOS CONCEPTOS INVOLUCRADOS EN LA UNIÓN DE ÁREAS DE REJILLA PARA PRODUCIR UNA REPRESENTACIÓN SENCILLA DE LA SUPERFICIE ES DISCUTIDO POR TIPPER (1977). LAS CARACTERÍSTICAS DE LA OPERACIÓN DE ENREJILLADO PUEDEN SER CONTROLADAS POR LA SELECCIÓN DEL TAMAÑO DEL RECTÁNGULO DE ENREJILLADO, Y EL TAMAÑO DEL ÁREA DE SUPERFICIE DE ENREJILLADO Y EL ORDEN DEL POLINOMIO. EL MÉTODO DE INTERPOLACIÓN DENTRO DEL RECTÁNGULO DE ENREJILLADO QUE SE EMPLEÓ, FUE EL DE AJUSTE DE SUPERFICIE POLINOMIAL. SIN EMBARGO, SE PUEDE VER QUE, OTRAS TÉCNICAS PUEDEN SER EMPLEADAS INCLUYENDO SPLINES* (BHATTACHARYYA 1969; WHITTEN Y KOELING, 1973) O POLINOMIOS CONTINUOS POR TRAMOS (ACIMA, 1970, 1974; HESSING Y OTROS, 1972). LAS OPCIONES Y PARÁMETROS DE LA REJILLA SON DESCRITOS EN EL CAPÍTULO IV.

EN EL MÉTODO IV EL USUARIO REQUIERE ADREGLAR LOS DATOS MUESTREADOS EN PERFILES, LOS CUALES NECESITAN NO SER RECTOS Y NO TENER ESPACIOS PAREJOS DE LOS PUNTOS MUESTREADOS. PARA CADA NODO DE REJILLA LOS DOS PERFILES SOBRE CADA LADO DEL NODO SON LOCALIZADOS Y CUATRO PUNTOS ENTORNO A CADA PERFIL SON DEFINIDOS. UN POLINOMIO CÚBICO ES AJUSTADO PARA CADA UNA DE LAS SECCIONES DE 4 PUNTOS, DE LOS PERFILES Y LOS VALORES INTERPOLADOS SON DETERMINADOS EN LOS 4 PUNTOS DE INTERSECCIÓN DE UNA LÍNEA PERPENDICULAR AL NODO DE REJILLA EN LA DIRECCIÓN DEL PERFIL Y LOS 4 PERFILES. LOS 4 PUNTOS DE INTERSECCIÓN SON, ASI, AJUSTADOS POR UN POLINOMIO CÚBICO, Y EL VALOR EN LA REJILLA INTERPOLADO. EN LOS LADOS DEL ÁREA MUESTRA, LOS DATOS DEBEN SER EXTEAPOLADOS PARA DETERMINAR LOS PUNTOS DE INTERSECCIÓN.

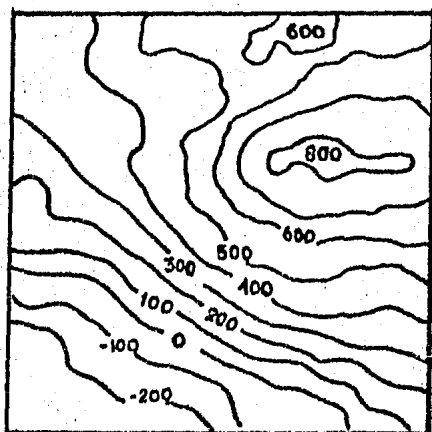
ANÁLISIS DE METODOS DE ENREJILLADO.

PARA FACILITAR LA COMPARACIÓN DE LOS 4 MÉTODOS DE ENREJILLADO UNA SECCIÓN DEL MAPA AEROMAGNÉTICO DEL SUROESTE DE ILLINOIS (HEIGOLD, 1976) FUE SELECCIONADO PARA SER USADO COMO SUPERFICIE DE

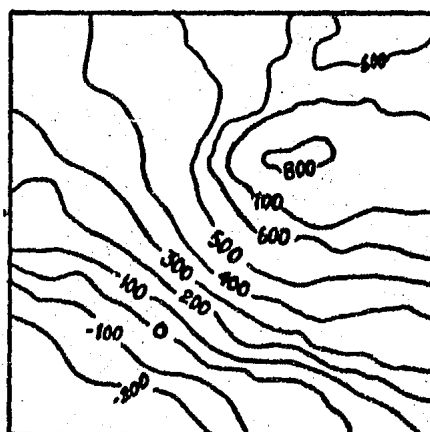
PRUEBA. LA SECCIÓN ES MOSTRADA EN LA FIGURA SIGUIENTE:



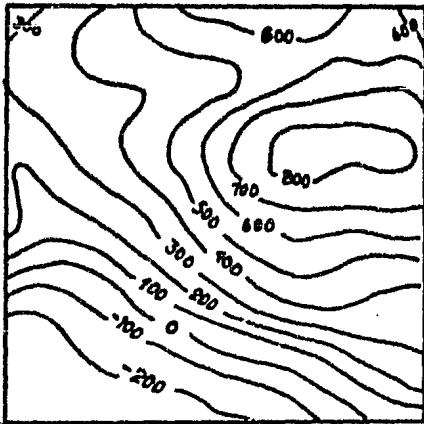
Y FUE SELECCIONADA PORQUE CONTIENE MUCHAS DE LAS CARACTERÍSTICAS DE GEOLOGIA TÍPICAS Y DATOS GEOFÍSICOS QUE INCLUYEN: REGIONES DE ALTO Y BAJO GRADIENTE Y TANTO RASGOS DE ALTAS Y BAJAS LONGITUDES DE ONDA. ESTE SUPERFICIE FUE MUESTREADA ALEATORIAMENTE EN 200 LOCALIDADES, FIGURA ANTERIOR, Y LAS MUESTRAS DE DATOS FUERON USADAS COMO ENTRADA PARA LOS 4 PROGRAMAS DE ENREJILLADO. LOS RESULTADOS DEL ENREJILLADO DE ESTOS DATOS SE MUESTRAN EN LA FIGURA SIGUIENTE:



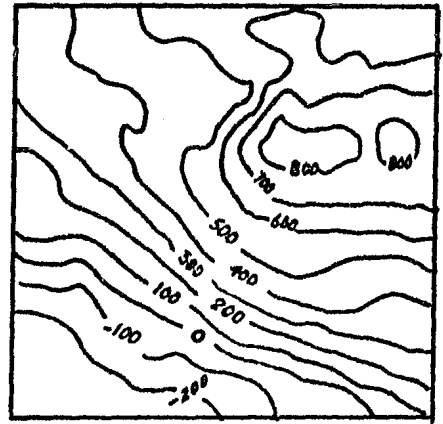
METODO I



METODO II

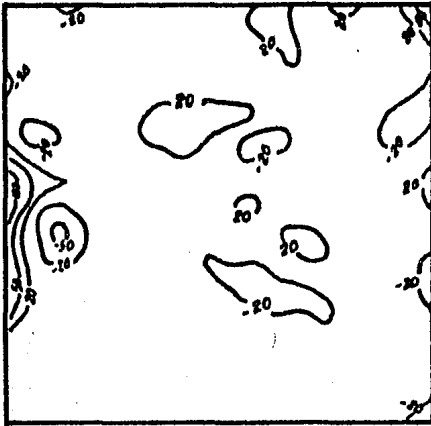


METODO III



METODO IV

LA SIMILITUD Y DIFERENCIA DE LOS RESULTADOS EN LAS SUPERFICIES DE REJILLA SON INMEDIATAMENTE OBVIOS. NINGUNO DE LOS MÉTODOS FUE CAPAZ DE REPRODUCIR EXACTAMENTE LA LONGITUD DE ONDA CORTA, EN LA PARTE OESTE (LOCALIDAD A) DEL MAPA. ESTO ES DEBIDO INUDUDABLEMENTE POR UN NÚMERO INSUFICIENTE DE PUNTOS MUESTREADOS EN ESTA REGIÓN PARA DEFINIR EL ALTO. EL MÉTODO III PRODUCE UN SUAVIZADO GENERAL DE LA SUPERFICIE DE ENREJILLADO LO CUAL REPRODUCE JUSTAMENTE CON EXACTITUD TODOS LOS RASGOS ESCENCIALES DE LA SUPERFICIE ORIGINAL. LAS COMPARACIONES DE LOS MÉTODOS DE REJILLA ESTAN BASADAS POR EL CÁLCULO DE DIFERENCIAS ENTRE LAS SUPERFICIES ENREJILLADAS POR COMPUTADORA (MÉTODOS I O IV) Y UNA REJILLA DIGITIZADA A MANO. LAS DIFERENCIAS SON LOCALIZADAS EN LOS NÚDOS DE REJILLA. ESTE NO ES CIERTAMENTE EL UNICO MÉTODO POSIBLE DE COMPARAR LA EXACTITUD DEL ENREJILLADO. POR EJEMPLO, LAS DIFERENCIAS PUEDEN SER CALCULADAS EN LOS PUNTOS MUESTREADOS. DAVIS (1975) HA EMPLEADO DIFERENCIAS EN LOS PUNTOS MUESTREADOS COMO UNA MEDIDA DE LA EXACTITUD Y DEMOSTRADO QUE UN MÉTODO LOCAL DE ENREJILLADO (TAL COMO I) ES MÁS EXACTO QUE EL PROCEDIMIENTO QUE EMPLEA UN GRAN NÚMERO DE PUNTOS DATO. ADEMAS LA COMPARACIÓN DE LOS MÉTODOS DE REJILLA QUE UTILIZAN DIFERENCIAS CALCULADAS EN LOS NODOS DE REJILLA ESTA LIMITADO A ESTUDIOS EMPÍRICOS DE INTERPOLACIÓN, TAL COMO EL PRESENTADO AQUI. LUEGO ENTONCES, YA QUE LOS VALORES ENREJILLADOS SERÁN USADOS EN ANALISIS SUBSECUENTES, PROCESA



LAS ÁREAS DE ENREJILLADO INEXACTO (DEFINIDAS POR LETRAS EN LA FIGURA) SON RELATIVAS A LAS CARACTERÍSTICAS DE LOS MÉTODOS DE ENREJILLADO. LA EXTRAPOLACIÓN INADECUADA COLOCADA CERCA DE LOS BORDES DE LOS DATOS Y LOS EFECTOS LATERALES SON LOS RASGOS MÁS PROMINENTES DE LA DIFERENCIA DE SUPERFICIES (ÁREAS B, C, D, E Y K). SIN EMBARGO, LOS EFECTOS LATERALES SON PEQUEÑOS PARA EL MÉTODO III PORQUE ESTE MÉTODO PROPORCIONA PARA LA INTERPOLACIÓN Y EXTRAPOLACIÓN UN POLINOMIO DE BAJO ORDEN. LAS ÁREAS DE MÁXIMO Y MÍNIMO (ÁREAS E Y F) SON INTERPOLADAS INEXACTAMENTE POR LOS MÉTODOS I Y II. LA INEXACTITUD DEBIDA AL MUESTREO INADECUADO DE LAS REGIONES DE LONGITUD DE ONDA CORTA TAMBIÉN ES EVIDENTE EN LA DIFERENCIA DE MAPAS (ÁREA A).

LA TABLA SIGUIENTE RESUME UNA COMPARACIÓN ENTRE LOS 4 MÉTODOS DE ENREJILLADO ANALIZADOS EN ESTE ARTÍCULO. PARA CADA UNO DE LOS DIFERENTES MAPAS EN LA FIGURA ANTERIOR, UN ERROR RMS (ERROR CUADRÁTICO MEDIO) FUE CALCULADO.

METODO	TIEMPO DE COMPUTADORA (SEG)	ERROR RMS (GAMMAS)
I	14.0	28.5
II	13.8	31.3
III	10.4	21.2
IV	2.7	29.3

EL ERROR RMS PARA EL MÉTODO III ES SIGNIFICATIVAMENTE MÁS BAJO QUE PARA LOS OTROS MÉTODOS. LA COMPARACIÓN DEL TIEMPO DE COMPUTADORA TAMBIÉN INDICA QUE EL MÉTODO III ES ALTAMENTE EFICIENTE. EN CONCRETO, EL MÉTODO III SERÁ MÁS EFICIENTE CON RESPECTO A LOS MÉTODOS SIMILARES I Y II PARA UNA SERIE DE DATOS GRANDE, PORQUE PARA EL MÉTODO III SE USÓ UN PROCEDIMIENTO DE BÚSCUDA SIMPLE Y UN PROCEDIMIENTO DE AJUSTE SIMPLE PARA UNA REGIÓN DE LA REJILLA MÁS BIEN QUE PARA CADA UNO DE LOS NODOS INDIVIDUALES DE REJILLA. EL TIEMPO DE COMPUTADORA PARA EL MÉTODO IV ES CORTO PORQUE NO SE REQUIERE EL PROCESO DE BÚSCUDA Y POR TANTO LA COMPARACIÓN DEL TIEMPO DE COMPUTADORA PARA EL MÉTODO IV NO ES POSIBLE.

LOS DIFERENTES MAPAS Y LOS DATOS DE LA TABLA INDICAN CLARAMENTE LA SUPERIORIDAD DE REJILLA DEL MÉTODO III, RESPECTO A LOS OTROS EXAMINADOS, EN BASE A LA COMPARACIÓN DE LA EXACTITUD DE LA INTERPOLACIÓN EN LOS NODOS DE REJILLA.

SIN EMBARGO, LA EXACTITUD ES SÓLO UN ATRIBUTO DESEADO DE UN MÉTODO DE ENREJILLADO Y UN MÉTODO DE ENREJILLADO PARTICULAR PUEDE SER ESTIMADO COMO SUPERIOR A OTRO DEPENDIENDO DE LA APLICACIÓN Y CARACTERÍSTICAS DE LOS DATOS DISPONIBLES.

DISCUSION

EL MÉTODO CONSISTE DE LA MINIMIZACIÓN DE UNA FUNCIÓN OBJETO POR MÍNIMOS CUADRADOS, S , DE LA FORMA:

$$S = \sum_{i=1}^N (Y_i - \hat{Y}_i)^2$$

DONDE Y_i SON LOS VALORES EXPERIMENTALES DE LA VARIABLE DEPENDIENTE. ASÍ PODEMOS DESCRIBIR EL ALGORITMO DE LA SIGUIENTE FORMA:

1. LAS ECUACIONES NORMALES SON OBTENIDAS HACIENDO:

$$\frac{\partial S}{\partial \hat{\lambda}_j} = 0, \quad j = 0, 1, 2, \dots, M$$

Y ELIMINANDO LA ECUACIÓN:

$$\frac{\partial S}{\partial \hat{A}_0} = 0 ;$$

EN:

$$(\underline{F}^t \underline{F}) \hat{A} = \underline{F}^t \underline{Y}$$

DONDE:

$$\underline{F} = \begin{bmatrix} (F_{1,1} - \bar{F}_1) & (F_{1,2} - \bar{F}_2) & \dots & (F_{1,M} - \bar{F}_M) \\ (F_{2,1} - \bar{F}_1) & (F_{2,2} - \bar{F}_2) & \dots & (F_{2,M} - \bar{F}_M) \\ \vdots & \vdots & \dots & \vdots \\ (F_{N,1} - \bar{F}_1) & (F_{N,2} - \bar{F}_2) & \dots & (F_{N,M} - \bar{F}_M) \end{bmatrix}$$

$$\underline{Y} = \begin{bmatrix} (Y_1 - \bar{Y}) \\ (Y_2 - \bar{Y}) \\ \vdots \\ (Y_N - \bar{Y}) \end{bmatrix}$$

$$\hat{A} = \begin{bmatrix} \hat{A}_1 \\ \hat{A}_2 \\ \hat{A}_3 \\ \vdots \\ \hat{A}_M \end{bmatrix}$$

CON:

\underline{F}^t = TRANSPUESTA DE LA MATRIZ \underline{F} .

\hat{Y} Y \hat{F}_j = VALORES PRINCIPALES.

2. PARA EL MODELO DE REGRESIÓN LINEAL, LAS ECUACIONES NORMALES SERÁN LINEALES, CON LAS INCOGNITAS EN EL VECTOR \hat{A} . ASÍ, CUALQUIER ECUACIÓN ALGEBRAICA LINEAL APROPIADA COMO ESQUEMA DE SOLUCIÓN PUEDE SER USADA PARA RESOLVER PARA LOS COEFICIENTES DESCONOCIDOS, \hat{A}_1 A \hat{A}_M . \hat{A}_0 ES OBTENIDO A PARTIR DE:

$$\hat{A}_0 = \bar{Y} - \sum_{J=1}^M \hat{A}_J \bar{F}_J$$

3. DOS PRUEBAS SE OBTIENEN, REALIZADAS PARA DETERMINAR LA VALIDEZ DEL MODELO. PRIMERO, LA FUNCIÓN OBJETO POR MÍNIMOS CUADRADOS, S , ES EVALUADA. PARA UN AJUSTE PERFECTO ESTE VALOR DEBERÁ SER CERO. SEGUNDO, EL COEFICIENTE DE CORRELACIÓN MÚLTIPLE, R^2 , PUEDE SER CALCULADO COMO:

$$R^2 = \frac{\text{SUMA DE CUADRADOS DEBIDA A LA REGRESIÓN (SUMSR)}}{\text{SUMA DE CUADRADOS DE CORRECCIÓN TOTAL (SUMST)}}$$

DONDE:

$$\text{SUMSR} = \underline{A}^t (\underline{F}^t \underline{Y}) = \sum_{i=1}^N (\hat{Y}_i - \bar{Y})^2$$

$$\text{SUMST} = \underline{Y}^t \underline{Y} = \sum_{i=1}^N (Y_i - \bar{Y})^2$$

EL VALOR DE R^2 ESTARÁ ENTRE 0 Y 1 CON $R^2 = 1$ CORRESPONDIENTE A UN AJUSTE PERFECTO.

ALGORITMO DE AJUSTE CUBICO POR MINIMOS CUADRADOS (ACMC)

ANTES DE PROCEDER AL TEMA DE ESTE ALGORITMO CONSIDERAMOS PERTINENTE DAR ALGUNOS CONCEPTOS O DEFINICIONES DEL TÉRMINO "SPLINE".

1. CUERDA FLEXIBLE Y LARGA USADA AL DIBUJAR UNA CURVA SUAVE.
2. LA CUERDA LARGA Y FLEXIBLE Y EL CURVIGRAFO ANALITICO SON USADOS ALGUNAS VECES EN LA RESIDUALIZACIÓN, LA CURVA SUAVE REPRESENTA AL REGIONAL, Y LA DIFERENCIA ENTRE LA CURVA SUAVE Y EL PERFIL DE ANOMALIA DE CAMPO REPRESENTA EL RESIDUAL.
3. UN ESQUEMA DE AJUSTE DE CURVAS QUE ASEGURA UN GRADO DE SUAVIDAD DESEADO A LA CURVA AJUSTADA.

UN "SPLINE" DE n -ÉSIMO ORDEN TIENE TODAS SUS DERIVADAS HASTA $(n-1)$ CONTINUAS.

EN CONSECUENCIA UN "SPLINE" CUADRÁTICO TIENE UNA PRIMERA DERIVADA CONTÍNUA Y UN "SPLINE" CÚBICO TIENE SU PRIMERA Y SEGUNDA DERIVADAS CONTÍNUAS.

UNA VEZ CONSIDERADO EL SIGNIFICADO DEL TÉRMINO "SPLINE", ASÍ COMO EL CONCEPTO QUE SE TIENE DE ÉSTE, DIREMOS QUE AQUÍ LO ENTENDEMOS COMO UN AJUSTE.

UN ASPECTO IMPORTANTE DEL AJUSTE CÚBICO ORDINARIO RESULTA DE LAS CONDICIONES DE CONTINUIDAD DE LA FUNCIÓN Y SU PRIMERA Y SEGUNDA DERIVADAS EN CADA DATO (AHLBERG, J.H., 1967). CONSIGUIENTEMENTE, CUANDO ÉSTE MÉTODO ES EMPLEADO PARA EL AJUSTE DE UNA CURVA, LA FUNCIÓN PASA A TRAVÉS DE CADA DATO. ESTA PROPIEDAD NO ES DESEABLE CUANDO UNO TRATA CON DATOS EXPERIMENTALES, LOS CUALES GENERALMENTE REPRESENTAN LA SUMA DEL VALOR "VERDADERO" DE ALGUNA FUNCIÓN Y ALGUN RUIDO ALEATORIO.

EL MÉTODO CLÁSICO PARA LA DETERMINACIÓN DE UNA FUNCIÓN DEFINIDA POR DATOS RUIDOSOS ES REALIZAR UN AJUSTE POR MÍNIMOS CUADRADOS (DANIEL, C., 1971). ÉSTE MÉTODO MINIMIZA EL CUADRADO DE LA DESVIACIÓN DE LA FUNCIÓN CALCULADA A PARTIR DE LOS DATOS ORIGINALES. ENTONCES DECIMOS QUE ESTE MÉTODO

TRABAJA BIEN CUANDO LA FUNCIÓN PUEDE SER EXPRESADA COMO UN POLINOMIO DE BAJO ORDEN O COMO UNA FUNCIÓN LINEAL EN EL AJUSTE DE PARÁMETROS.

EN ESTE ALGORITMO LAS CONDICIONES DEL AJUSTE CÚBICO HAN SIDO COMBINADAS CON EL CRITERIO DE MÍNIMOS CUADRADOS PARA OBTENER ECUACIONES, LAS CUALES PERMITEN QUE UN CONJUNTO DE DATOS SEA APROXIMADO POR UN AJUSTE CÚBICO EN EL SENTIDO DE LOS MÍNIMOS CUADRADOS.

DERIVACION.

EL PROBLEMA A RESOLVER ES LA DERIVACIÓN DE UN CONJUNTO DE ECUACIONES QUE PERMITEN USAR FUNCIONES DE AJUSTE CÚBICO PARA APROXIMAR UN CONJUNTO DE DATOS EN EL SENTIDO DE MÍNIMOS CUADRADOS. ESTO ES, EN CADA REGIÓN DEL AJUSTE SERÁN APROXIMADOS LOS DATOS DE ACUERDO AL CRITERIO DE MÍNIMOS CUADRADOS.

CUANDO APLICAMOS EL CRITERIO DE MÍNIMOS CUADRADOS A UNA PORCIÓN DE DATOS DONDE SE DESEA AJUSTAR UNA FUNCIÓN CÚBICA DE UN ARGUMENTO, SE DEBEN SATISFACER LAS SIGUIENTES CONDICIONES:

$$\frac{\partial Q_j}{\partial a_j} = \frac{\partial Q_j}{\partial b_j} = \frac{\partial Q_j}{\partial c_j} = \frac{\partial Q_j}{\partial d_j} = 0 \quad ; \text{ DONDE } j = 1$$

SÍ HAY UN NÚMERO DE REGIONES O PORCIONES DE DATOS, EN TORNO A LOS QUE SE APLICA EL CRITERIO DE MÍNIMOS CUADRADOS Q ESTA DEFINIDA POR:

$$1 \dots \dots \dots Q = \sum_{j=1}^M Q_j = \sum_{j=1}^M \left\{ \sum_{i=1}^{N_j} \left[Y_{ji} - a_j F_0(x_{ji}) - b_j F_1(x_{ji}) - c_j F_2(x_{ji}) - d_j F_3(x_{ji}) \right]^2 \right\}$$

DONDE M ES EL NÚMERO DE REGIONES, N_j ES EL NÚMERO DE PUNTOS EN LA REGIÓN j Y LAS F_k 'S SON LAS FUNCIONES EMPLEADAS PARA APROXIMAR LOS DATOS Y_{ji} .

CUANDO LAS CONDICIONES DE CONTINUIDAD SON APLICADAS EN LOS PUNTOS FRONTERA X_j , LAS SIGUIENTES RELACIONES ENTRE LOS COEFICIENTES EN CADA REGIÓN SON OBTENIDAS:

$$2. \dots \quad a_j F_0(x_j) + b_j F_1(x_j) + c_j F_2(x_j) + d_j F_3(x_j) = \\ = a_{j+1} F_0(x_j) + b_{j+1} F_1(x_j) + c_{j+1} F_2(x_j) + d_{j+1} F_3(x_j)$$

$$3. \dots \quad a_j F_0'(x_j) + b_j F_1'(x_j) + c_j F_2'(x_j) + d_j F_3'(x_j) = \\ = a_{j+1} F_0'(x_j) + b_{j+1} F_1'(x_j) + c_{j+1} F_2'(x_j) + d_{j+1} F_3'(x_j)$$

$$4. \dots \quad a_j F_0''(x_j) + b_j F_1''(x_j) + c_j F_2''(x_j) + d_j F_3''(x_j) = \\ = a_{j+1} F_0''(x_j) + b_{j+1} F_1''(x_j) + c_{j+1} F_2''(x_j) + d_{j+1} F_3''(x_j)$$

LAS ECUACIONES ANTERIORES PUEDEN SER RESUELTAS PARA a_{j+1} , b_{j+1} , c_{j+1} EN TÉRMINOS DE a_j , b_j , c_j , d_j Y d_{j+1} . ENTONCES, LAS ECUACIONES 2, 3 Y 4 PUEDEN SER REESCRITAS COMO:

$$5. \dots \quad a_{j+1} = a_j + (d_j - d_{j+1})A_j$$

$$6. \dots \quad b_{j+1} = b_j + (d_j - d_{j+1})B_j$$

$$7. \dots \quad c_{j+1} = c_j + (d_j - d_{j+1})C_j$$

DONDE:

$$8. \dots \quad A_j = \frac{(F_3'F_1' - F_3''F_1'')(F_2'F_1'' - F_2''F_1') - (F_3'F_1'' - F_3''F_1')(F_2'F_1' - F_2''F_1'')}{(F_0'F_1' - F_0''F_1'')(F_2'F_1'' - F_2''F_1') - (F_0'F_1'' - F_0''F_1')(F_2'F_1' - F_2''F_1'')}$$

$$9. \dots \quad B_j = \frac{(F_3'F_0' - F_3''F_0'')(F_2'F_0'' - F_2''F_0') - (F_3'F_0'' - F_3''F_0')(F_2'F_0' - F_2''F_0'')}{(F_1'F_0' - F_1''F_0'')(F_2'F_0'' - F_2''F_0') - (F_1'F_0'' - F_1''F_0')(F_2'F_0' - F_2''F_0'')}$$

$$10. \dots \quad C_j = \frac{(F_3'F_0' - F_3''F_0'')(F_1'F_0'' - F_1''F_0') - (F_3'F_0'' - F_3''F_0')(F_1'F_0' - F_1''F_0'')}{(F_1'F_0' - F_1''F_0'')(F_1'F_0'' - F_1''F_0') - (F_1'F_0'' - F_1''F_0')(F_1'F_0' - F_1''F_0'')}$$

CUANDO LAS ECUACIONES 5, 6, 7 SON SUSTITUIDAS EN LA ECUACIÓN 1, Q ES OBTENIDA EN TÉRMINOS DE a_1 , b_1 , c_1 , d_1 , d_2 , \dots , d_M .

TOMANDO LAS DERIVADAS PARCIALES DE Q CON RESPECTO A LOS COEFICIENTES E IGUALANDO LAS ECUACIONES RESULTANTES A CERO, TENEMOS UN CONJUNTO DE ECUACIONES SIMULTANEAS, LAS CUALES PUEDEN SER RESUELTAS PARA OBTENER LOS COEFICIENTES QUE MINIMIZAN EL ERROR EN EL SENTIDO DE MINIMOS CUADRADOS PARA LAS FRONTERAS SELECCIONADAS. CUANDO LAS ECUACIONES SE EXPRESAN EN NOTACIÓN MATRICIAL, RESULTA UN

ARREGLO CUADRADO Y SIMÉTRICO DE ORDEN 3+M. (EC. 11) :

$\sum_{j=1}^M \left(\sum_{i=1}^{N_j} F_0^2 \right)$	$\sum_{j=1}^M \left(\sum_{i=1}^{N_j} F_0 F_1 \right)$ $\sum_{i=1}^{N_M} F_0 D_{M-1}$	
$\sum_{j=1}^M \left(\sum_{i=1}^{N_j} F_0 F_1 \right)$	$\sum_{j=1}^M \left(\sum_{i=1}^{N_j} F_1^2 \right)$ $\sum_{i=1}^{N_M} F_1 D_{M-1}$	
$\sum_{j=1}^M \left(\sum_{i=1}^{N_j} F_0 F_2 \right)$	$\sum_{j=1}^M \left(\sum_{i=1}^{N_j} F_1 F_2 \right)$ $\sum_{i=1}^{N_M} F_2 D_{M-1}$	
11 {	$\sum_{i=1}^{N_1} F_0 D_0 + \sum_{j=2}^M \left(\sum_{i=1}^{N_j} F_0 E_0 \right)$	$\sum_{i=1}^{N_1} F_1 D_0 + \sum_{j=2}^M \left(\sum_{i=1}^{N_j} F_1 E_0 \right)$ $\sum_{i=1}^{N_M} E_0 D_{M-1}$
	$\sum_{i=1}^{N_2} F_0 D_1 + \sum_{j=3}^M \left(\sum_{i=1}^{N_j} F_0 E_1 \right)$	$\sum_{i=1}^{N_2} F_1 D_1 + \sum_{j=3}^M \left(\sum_{i=1}^{N_j} F_1 E_1 \right)$ $\sum_{i=1}^{N_M} E_1 D_{M-1}$
⋮	⋮	⋮	
$\sum_{i=1}^{N_{M-1}} F_0 D_{M-2} + \sum_{i=1}^{N_M} F_0 E_{M-2}$	$\sum_{i=1}^{N_{M-1}} F_1 D_{M-2} + \sum_{i=1}^{N_M} F_1 E_{M-2}$ $\sum_{i=1}^{N_M} E_{M-2} D_{M-1}$	
$\sum_{i=1}^{N_M} F_0 D_{M-1}$	$\sum_{i=1}^{N_M} F_1 D_{M-1}$ $\sum_{i=1}^{N_M} D_{M-1}^2$	

DONDE D_j Y E_j SON DEFINIDOS COMO SIGUE :

12..... $D_j = F_3(X_{ji}) - A_j F_0(X_{ji}) - B_j F_1(X_{ji}) - C_j F_2(X_{ji})$

13..... $E_j = (A_{j+1} - A_j) F_0(X_{ji}) + (B_{j+1} - B_j) F_1(X_{ji}) + (C_{j+1} - C_j) F_2(X_{ji})$

PARA LAS CUALES: $A_0 = B_0 = C_0 = 0$

DISCUSION.

CUANDO $M=1$ Y $F_j = X^j$, LA MATRIZ EN LA ECUACION 11 SE REDUCE A LA MATRIZ OBTENIDA POR UN POLINOMIO CÚBICO DE MINIMOS CUADRADOS QUE APROXIMA AL CONJUNTO DE DATOS. SI $M=N-1$ EL PROCEDIMIENTO AJUSTA LOS DATOS CON UN AJUSTE CÚBICO ORDINARIO CON AMARRES EN CADA DATO. ESTE RESULTADO PUEDE SER VISTO COMO SIGUE: SI TENEMOS TRES PUNTOS DATO Y QUEREMOS AJUSTAR UN POLINOMIO CÚBICO ENTRE LOS DATOS, SE OBTIENEN LAS ECUACIONES SIGUIENTES, PARA LOS PUNTOS EXTREMOS:

$$14 \dots \dots \quad a_1 F_0(x_1) + b_1 F_1(x_1) + c_1 F_2(x_1) + d_1 F_3(x_1) = Y_1$$

$$15 \dots \dots \quad a_2 F_0(x_3) + b_2 F_1(x_3) + c_2 F_2(x_3) + d_2 F_3(x_3) = Y_3$$

LOS COEFICIENTES SE RELACIONAN POR LAS SIGUIENTES ECUACIONES OBTENIDAS A PARTIR DE LAS ECUACIONES 5, 6 Y 7:

$$16 \dots \dots \quad a_2 = a_1 + (d_1 - d_2) A_1(x_2)$$

$$17 \dots \dots \quad b_2 = b_1 + (d_1 - d_2) B_1(x_2)$$

$$18 \dots \dots \quad c_2 = c_1 + (d_1 - d_2) C_1(x_2)$$

LAS ECUACIONES 14, 15 Y LA ECUACION PARA Y_2 SON RESUELTAS AL CONSIDERARLAS EN LA FORMA DE LA ECUACION 1 Y TOMANDO LAS DERIVADAS PARCIALES CON RESPECTO A LOS COEFICIENTES a_1, b_1, c_1, d_1 Y d_2 . LAS ECUACIONES RESULTANTES PUEDEN SER PUESTAS EN LA MISMA FORMA QUE EN LA ECUACION 11, EXCEPTO QUE AHORA LA SUMATORIA ES HECHA SOBRE j . ESTE ANÁLISIS PUEDE SER EXTENDIDO A MÁS DE TRES PUNTOS.

EXAMINANDO LA MATRIZ, LA CUAL DEBE SER INVERTIDA PARA EL AJUSTE CÚBICO POR MINIMOS CUADRADOS (ACMC), VIENE A ACLARAR QUE HAY $M+3$ INCOGNITAS, ENTONCES UN ACMC CUANDO $F_k = X^k$, DEBERIA SER APROXIMADAMENTE IGUAL A UN POLINOMIO DE ORDEN $M+2$. LA FIGURA 1 ES UNA COMPARACION DEL ACMC CON CINCO REGIONES Y UN POLINOMIO DE ORDEN SIETE. PARECE QUE AMBOS AJUSTES SON LOS MISMOS. SUS DERIVADAS (FIGURA 2) MUESTRAN SOLAMENTE POCAS DISCREPANCIAS EXCEPTO EN LOS VALORES MÁS BAJOS DE X . LA APROXIMACION POLINOMIAL FUE OBTENIDA APLICANDO UN AJUSTE DE POLINOMIO ORTOGONAL USANDO EL MÉTODO DESCRITO POR FORSYTHE, G. E. (1957).

LA FIGURA 3 ES LA GRAFICA DE LOS DATOS DE LA FIGURA 1, CON DOS ACMC, UNO DE LOS CUALES TIENE DOS REGIONES Y EL OTRO CINCO

REGIONES. AUNQUE LAS FUNCIONES NO APARECEN DIFERENTES, LAS DERIVADAS (FIGURA 4) MUESTRAN UNA DIFERENCIA APRECIABLE CUANDO EL AJUSTE DE FUNCIONES FUE CALCULADO, LA DESVIACIÓN ESTÁNDAR FUE PEQUEÑA Y EL COEFICIENTE DE CORRELACIÓN MÚLTIPLE FUE GRANDE CON EL ACME DE LAS CINCO REGIONES.

OTRA MANERA DE MEJORAR EL AJUSTE DEL MISMO NÚMERO DE REGIONES ES EMPLEAR OTRA FUNCIÓN PARA F_k TAL COMO LOS POLINOMIOS DE LEGENDRE O CHEVYSHEV. CUALQUIER ECUACIÓN QUE SATISFAGA LAS CONDICIONES EXPRESADAS EN LA ECUACIÓN 5 PUEDE SER USADA CON ESTA FORMULACIÓN. UNA SELECCIÓN PARTICULAR DE F_k PARA UNA SERIE DE DATOS PUEDE CONDUCIR A UNA MATRIZ DE COEFICIENTES MÁS ESTABLE.

LOS RESULTADOS DE ESTOS CÁLCULOS PUEDEN SER MEJORADOS MOVIENDO LAS FRONTERAS. LA ADECUADA UBICACIÓN DE LAS FRONTERAS PUEDE AUMENTAR LA EXACTITUD DEL AJUSTE SIN AUMENTAR EL NÚMERO DE REGIONES. UNA REGLA GENERAL EN LA DETERMINACIÓN DE LAS FRONTERAS ES RECORDAR QUE EL MÉTODO AJUSTA UNA FUNCIÓN CÚBICA ENTRE CADA CONJUNTO DE DATOS FRONTERA, ENTONCES LAS FRONTERAS DEBERÁN SER SELECCIONADAS EN TAL FORMA QUE LOS DATOS EN CADA REGIÓN PUEDEN SER APROXIMADOS POR UNA FUNCIÓN CÚBICA.

PARA LOS CASOS QUE HAN SIDO CALCULADOS CON EL ACME EL MÉTODO ES ESTABLE. AUNQUE LA MATRIZ EN LA ECUACIÓN 11 NO ES DIAGONALMENTE DOMINANTE EN LOS CASOS QUE HAN SIDO CALCULADOS NO HA SIDO PROBLEMA CON LA INVERSIÓN DE MATRIZ, AUNQUE FUERAN USADAS DIEZ REGIONES. EL DESPLAZAMIENTO DE LAS FRONTERAS NO CAUSA UNA INESTABILIDAD EN EL MÉTODO, Y SOLO HAY CAMBIOS MENORES EN EL AJUSTE.

CONCLUSION.

LA EXACTITUD Y FACILIDAD DEL ACME ES DE UTILIDAD EN MUCHOS CASOS DONDE LAS MEDICIONES DEBEN SER DIFERENCIADAS. EL AJUSTE CÚBICO ORDINARIO TAMBIÉN PROPORCIONA DERIVADAS SUAVES, PERO CON DATOS RUIDOSOS EL AJUSTE EN CADA DATO ES IRREAL, Y ESTO PRODUCE FLUCTUACIONES DE PENDIENTE NO DESEADAS. SI MUCHAS EVALUACIONES DE LA FUNCIÓN SON EJECUTADAS EL NÚMERO DE CÁLCULOS POR EVALUA -

CIÓN SE REDUCE, DADO QUE UNA FUNCIÓN CÚBICA, TIENE QUE SER EVALUADA. ENTONCES, BAJO CIERTAS CONDICIONES, EL ACME ES UN MÉTODO ADECUADO PARA APROXIMAR Y DIFERENCIAR UNA SERIE DE DATOS EXPERIMENTALES.

ALGORITHMO DE REDUCCION AL POLO

AUN CONSIDERANDO UN CUERPO UNIFORMEMENTE MAGNETIZADO, LA FORMA DE LA ANOMALIA DEPENDE NO SOLO DE LAS DIMENSIONES FISICAS DEL CUERPO, SINO TAMBIEN DEL VECTOR DEL CAMPO TOTAL TERRESTRE Y DEL VECTOR DE POLARIZACION ASOCIADO AL CUERPO MAGNETICO. LA MARCADA INFLUENCIA DE ESTOS VECTORES PROVOCA QUE LA ANOMALIA NO SEA SIMETRICA CON RESPECTO A LA FUENTE QUE LA PROVOCA HACIENDO EL TRABAJO DE INTERPRETACION MAS DIFICIL. ESTAS CONSIDERACIONES NOS MUESTRAN QUE CUANDO NOS ENFRENTAMOS AL PROBLEMA DE LA INTERPRETACION MAGNETOMETRICA, SERA VENTAJOSO EMPEZAR CON UNA TRANSFORMACION QUE NOS PERMITA SUPRIMIR LA DISTORSION Y HACER LA ANOMALIA MAGNETICA TAN CLARA COMO UNA ANOMALIA GRAVIMETRICA. ALGUNOS ESTUDIOS HAN DEMOSTRADO QUE LOS VALORES DEL CAMPO MAGNETICO TOTAL CAUSADOS POR UN CUERPO MAGNETIZADO SITUADO A UNA LATITUD MAGNETICA DADA PUEDEN SER TRANSFORMADOS MATEMATICAMENTE PARA OBTENER LOS VALORES DEL CAMPO MAGNETICO TOTAL QUE TENDRIA ESTE MISMO CUERPO LOCALIZADO EN EL POLO NORTE MAGNETICO (BARANOV, 1957 Y 1964; BHATTACHARYYA, 1965).

LA INTERPRETACION CUALITATIVA DE LAS ANOMALIAS REDUCIDAS AL POLO MAGNETICO ES MAS FACIL Y RAPIDA DEBIDO A QUE LAS ANOMALIAS NO ESTAN ALTERADAS POR LA OBLICUIDAD DEL VECTOR DEL CAMPO MAGNETICO TERRESTRE NI POR LA DEL VECTOR DE POLARIZACION ASOCIADO AL CUERPO MAGNETICO. DEBIDO A ESTO, LA CORRELACION DE LOS RESULTADOS DE UNA EXPLORACION MAGNETOMETRICA REDUCIDOS AL POLO CON LA INFORMACION GEOLOGICA DISPONIBLE ES MUCHO MAS FACIL, SIMPLIFICA LA INTERPRETACION CANTITATIVA Y LA EVALUACION DE LA PROFUNDIDAD DEL CUERPO MAGNETIZADO.

EL CAMPO MAGNETICO TOTAL REDUCIDO AL POLO MAGNETICO EQUIVALE HASTA CIERTO PUNTO AL MAPA DE GRADIENTE VERTICAL DEL CAMPO GRAVITACIONAL.

UNA ANOMALIA GRAVIMETRICA REPRESENTA EL EFECTO COMBINADO DE LA DENSIDAD DEL MATERIAL MAGNETICO Y NO MAGNETICO. LA ANOMA

LA MAGNETOMÉTRICA REDUCIDA AL POLO MAGNÉTICO EN SI NO ES UNA ANOMALIA GRAVIMÉTRICA; ES UNA ANOMALIA MAGNETOMÉTRICA CALCULADA - CONSIDERANDO QUE EL VECTOR DE MAGNETIZACIÓN ES VERTICAL. DEBIDO A LO ANTES EXPUESTO, LAS ANOMALIAS REDUCIDAS AL POLO MAGNÉTICO SON LLAMADAS TAMBIEN "PSEUDOGRAVIMÉTRICAS".

LA INTERPRETACIÓN DE LAS ANOMALIAS MAGNETOMÉTRICAS SE COMPLICA POR TRES CAUSAS. PRIMERA, EL CAMPO MAGNÉTICO TIENE TANTO FUERZAS DE ATRACCIÓN COMO DE REPULSIÓN. SEGUNDA, UNA ANOMALIA MAGNÉTICA PUEDE SER GENERADA TANTO POR INDUCCIÓN EN LA DIRECCIÓN DEL CAMPO TERRESTRE, COMO POR MAGNETISMO REMANENTE, EL CUAL PUEDE ESTAR ORIENTADO EN OTRA DIRECCIÓN. MUCHOS AUTORES HAN DEMOSTRADO QUE EL MAGNETISMO REMANENTE PUEDE SER UN CONTRIBUYENTE SIGNIFICATIVO O DOMINANTE PARA EL CAMPO ANOMALO (HAYES Y SCHARON, 1963); (PARK, 1968). SIN EMBARGO, YA QUE NO SE DISPONE DE INFORMACIÓN CONFIABLE SOBRE EL MAGNETISMO REMANENTE, SE SUPONE QUE LAS ANOMALIAS SON CAUSADAS COMPLETAMENTE POR INDUCCIÓN. LA TERCERA COMPLICACIÓN SON LA INCLINACIÓN Y DECLINACIÓN DEL CAMPO TERRESTRE INDUCIDO. ESTAS PRODUCEN LA DISTORSIÓN DE LA ANOMALIA MAGNÉTICA, SIENDO EL GRADO DE DISTORSIÓN UNA FUNCIÓN DE LA LATITUD MAGNÉTICA.

BARANOV (1957) Y BARANOV Y NAUDY (1964) DESARROLLARON UNA TÉCNICA PARA VENCER ESTE PROBLEMA POR TRANSFORMACIÓN MATEMÁTICA DE LA INTENSIDAD DE CAMPO TOTAL A UN CAMPO VERTICAL EQUIVALENTE. NO OBSTANTE QUE EL DESCUBRIMIENTO DE BARANOV FUE DE SIGNIFICADO TEÓRICO CONSIDERABLE, ESTA APLICACIÓN PRÁCTICA NO FUE GENERALMENTE SATISFACTORIA.

BHATTACHARYYA (1965) PROPUSO UNA FORMULACIÓN ALTERNATIVA QUE ELIMINABA MUCHAS DE LAS RESTRICCIONES DEL METODO DE BARANOV. EXPRESÓ PRIMERO LA INTENSIDAD DE CAMPO TOTAL COMO UNA DOBLE SERIE DE FOURIER SOBRE UNA REJILLA RECTANGULAR. LA INTEGRACIÓN DOBLE PUEDE SER HECHA ENTONCES ANALITICAMENTE, Y EL MAGNETISMO REMANENTE, SI SE CONOCE, PUEDE SER INCLUIDO FACILMENTE. EL METODO ES APLICABLE PARA DATOS DE CUALQUIER LATITUD MAGNÉTICA.

DISCUSION

LA SIGUIENTE DISCUSION PRESENTA UN ALGORITMO SIMPLE QUE REDUCE EL TIEMPO DE COMPUTACION PARA EL CALCULO DEL CAMPO REDUCIDO AL PO LO USANDO LA DOBLE SERIE DE FOURIER.

LAS DOBLES SERIES DE FOURIER FORMULADAS PARA REJILLAS RECTANGULARES USADAS AQUI SON:

$$1... \quad T_{ij} = \sum_{m=0}^M \sum_{n=0}^N \left(A_{mn} \cos(2\pi mi/\kappa) \cos(2\pi nj/L) + \right. \\ \left. + B_{mn} \sin(2\pi mi/\kappa) \cos(2\pi nj/L) + \right. \\ \left. + C_{mn} \cos(2\pi mi/\kappa) \sin(2\pi nj/L) + \right. \\ \left. + D_{mn} \sin(2\pi mi/\kappa) \sin(2\pi nj/L) \right)$$

DONDE:

T_{ij} \equiv EL CAMPO MAGNÉTICO EN EL PUNTO (i, j)

K \equiv NÚMERO DE RENGLONES EN LA REJILLA (DIRECCIÓN i)

L \equiv NÚMERO DE COLUMNAS EN LA REJILLA (DIRECCIÓN j)

M \equiv MÁXIMO NÚMERO DE ARMÓNICAS EN LA DIRECCIÓN i .

N \equiv MÁXIMO NÚMERO DE ARMÓNICAS EN LA DIRECCIÓN j .

A, B, C, D \equiv COEFICIENTES DE LA SERIE.

LOS COEFICIENTES ESTAN DADOS POR (JAMES, 1966):

$$A_{mn} = (w/\kappa L) \sum_{i=0}^{K-1} \sum_{j=0}^{L-1} T_{ij} \cos a \cos b$$

$$B_{mn} = (w/\kappa L) \sum_{i=0}^{K-1} \sum_{j=0}^{L-1} T_{ij} \sin a \cos b$$

2....

$$C_{mn} = (w/\kappa L) \sum_{i=0}^{K-1} \sum_{j=0}^{L-1} T_{ij} \cos a \sin b$$

$$D_{mn} = (w/\kappa L) \sum_{i=0}^{K-1} \sum_{j=0}^{L-1} T_{ij} \sin a \sin b$$

DONDE:

$$a = 2\pi m_i / \kappa ; \quad b = 2\pi n_j / L$$

$$W = 1, \text{ si } m = 0, M \text{ y } n = 0, N$$

$$W = 2, \text{ si } m = 0, M \text{ ó } n = 0, N$$

$$W = 4, \text{ si } m \neq 0, M \text{ y } n \neq 0, N$$

LA ECUACIÓN 1 ES UNA REPRESENTACIÓN DEL CAMPO EN EL PLANO DE DATOS. ANTES QUE EL CAMPO PUEDA SER REDUCIDO AL POLO, LA DOBLE SERIE DEBE SER MULTIPLICADA POR EL TÉRMINO DE ATENUACIÓN:

$$\exp \left\{ - (d-z)(k_m^2 + k_n^2) \right\}^{1/2}$$

DONDE:

d ES LA PROFUNDIDAD DE LA FUENTE.

Z ES EL PLANO DE OBSERVACIÓN (MEDIDO POSITIVAMENTE HACIA ABAJO).

$$k_m = 2\pi m / \kappa (\Delta x) ; \quad k_n = 2\pi n / \kappa (\Delta y)$$

Δx Y Δy SON LOS INTERVALOS DE LA REJILLA EN LAS DIRECCIONES i, j , RESPECTIVAMENTE.

PUESTO QUE d ES INCOGNITA, CONSTANTE Y SEPARABLE, ES INCLUIDA COMO PARTE DE LOS COEFICIENTES DE LA SERIE, DEJANDO UN FACTOR DE ATENUACIÓN DE:

$$\exp \left\{ z(k_m^2 + k_n^2) \right\}^{1/2}$$

SÍ LAS ANOMALÍAS MAGNÉTICAS ESTAN LIMITADAS A FUENTES DE INDUCCIÓN SOLAMENTE, LA ECUACIÓN DE BHATTACHARYYA PARA EL CAMPO REDUCIDO AL POLO ES EQUIVALENTE A:

$$\begin{aligned} 3 \dots \dots T_{ij} = & \left(\frac{1}{2} \sin^2 \theta \right) \sum_{m=0}^M \sum_{n=0}^N (k_m^2 + k_n^2) \left(P_{mn} (\cos a \cos b - \sin a \sin b) + \right. \\ & + Q_{mn} (\sin a \cos b + \cos a \sin b) + \\ & + R_{mn} (\cos a \cos b + \sin a \sin b) + \\ & \left. + S_{mn} (\sin a \cos b - \cos a \sin b) \right) \end{aligned}$$

DONDE:

$$P_{mn} = \left\{ 1 / (G_{mn}^2 + Y_3^2) \right\} \left\{ (G_{mn}^2 - Y_3^2)(A_{mn} - D_{mn}) + 2G_{mn} Y_3 (B_{mn} + C_{mn}) \right\}$$

$$Q_{mn} = \left\{ 1 / (G_{mn}^2 + Y_3^2) \right\} \left\{ -2 G_{mn} Y_3 (A_{mn} - D_{mn}) + (G_{mn}^2 - Y_3^2) (B_{mn} + C_{mn}) \right\}$$

$$R_{mn} = \left\{ 1 / (G_{mn}^2 + Y_4^2) \right\} \left\{ (G_{mn}^2 - Y_4^2) (A_{mn} + D_{mn}) + 2 G_{mn} Y_4 (B_{mn} - C_{mn}) \right\}$$

$$S_{mn} = \left\{ 1 / (G_{mn}^2 + Y_4^2) \right\} \left\{ -2 G_{mn} Y_4 (A_{mn} - D_{mn}) + (G_{mn}^2 - Y_4^2) (B_{mn} - C_{mn}) \right\}$$

$$G_{mn}^2 = k_m^2 + k_n^2$$

$$Y_3 = \text{ctn } \theta (k_m \cos \phi + k_n \sin \phi)$$

$$Y_4 = \text{ctn } \theta (k_m \cos \phi - k_n \sin \phi)$$

$\phi \equiv$ DECLINACIÓN DEL CAMPO INDUCIDO

$\theta \equiv$ INCLINACIÓN DEL CAMPO INDUCIDO

m, n NO SON AMBAS CERO. PARA ABREVIAR, LAS ECUACIONES MODIFICADAS PARA $\theta = 0^\circ$ Ó 180° NO SON INCLUIDOS EN ESTA DISCUSIÓN.

EL ARGUMENTO DE LA FUNCIÓN TRIGONOMÉTRICA ASOCIADO CON EL EJE i EN LAS ECUACIONES 2 Y 3 ES $(2\pi m_i / k)$, DONDE $m = 0, 1, \dots, k/2$ Y $i = 0, 1, \dots, (k-1)$. EL PRODUCTO m_i CONTIENE REDUNDANCIAS QUE PUEDEN SER ELIMINADAS REEMPLAZANDO m_i CON UN ÍNDICE SIMPLE, $h = 0, 1, \dots, k/2(k-1)$ QUE CUBRE EL RANGO COMPLETO DE LOS POSIBLES VALORES DE m_i . AUNQUE ESTO ELIMINA REDUNDANCIAS, CREA UN IGUAL NÚMERO DE VALORES DE ÍNDICE INTERMEDIOS NO REQUERIDOS. POR EJEMPLO, SÍ $k = 8$, ONCE ES UN VALOR LEGÍTIMO DE h , PERO ESTE NO ES UN PRODUCTO DE m_i . ENTONCES m_i ES UNA SUBSERIE DEL ÍNDICE MÁS GENERAL h , O ALTERNATIVAMENTE $\text{sen}(2\pi m_i / k)$ ES UNA SUBSERIE DE $\text{sen}(2\pi h / k)$. POR TANTO, UN INCREMENTO LINEAL DE h NO PUEDE SER SUSTITUIDO DIRECTAMENTE PARA LA DOBLE SUMATORIA DE m E i . ENTONCES, h ES UNA SERIE ÚNICA Y COMPLETA DE ÍNDICES QUE PUEDEN SER USADOS PARA DEFINIR UN ARREGLO QUE CONTENGA TODAS LAS EVALUACIONES POSIBLES DE LA FUNCIÓN TRIGONOMÉTRICA.

LA FUNCIÓN SEÑO ES PERIÓDICA EN h CON PERIODO k .

SÍ $pk \leq h < (p+1)k$, DONDE p ES UN ENTERO, ASÍ SÍ $h_q = h - pk$, DE MODO QUE:

$$\text{sen}(2\pi h / k) = \text{sen}(2\pi h_q / k)$$

ENTONCES, TODOS LOS VALORES DEL ÍNDICE h DESPUÉS DEL PRIMER PERIODO DE LA FUNCIÓN PUEDEN SER REDUCIDOS A UN ÍNDICE EQUIVA

LENTE h_q DENTRO DEL PRIMER PERIODO. POR LO TANTO, $h_q = 0, 1, \dots, (k-1)$, ES OTRA SUBSERIE DE h Y DEFINE UNA SERIE COMPLETA DE EVALUACIONES DE $\text{sen}(2\pi h/k)$ Y POR CONSIGUIENTE DE $\text{sen}(2\pi m_i/k)$. CONSECUENTEMENTE, DEBIDO A QUE EL SENO ES SIEMPRE CERO EN $h_q = 0$, SOLAMENTE $(k-1)$ FUNCIONES TRIGONÓMÉTRICAS NECESITAN SER EVALUADAS PARA DEFINIR UNA TABLA COMPLETA DE SENOS PARA LA DIRECCIÓN i .

LOS TÉRMINOS DEL COSENO PUEDEN SER OBTENIDOS POR EXPANSIÓN, DANDO:

$$\cos(2\pi h/k) = \text{sen}(\pi/2 + 2\pi h/k) = \text{sen}(2\pi h'/k)$$

DONDE:

$$h' = k/2\pi (\pi/2 + 2\pi h/k) = k/4 + h$$

SI k ES REQUERIDO PARA SER UN MULTIPLO DE 4, h' ES UN ENTERO Y LA MAGNITUD DEL COSENO PARA EL INDICE h ES IGUAL A LAS MÁXIMAS POSICIONES COMPLETAS EN LA TABLA DEL SENO. CONSECUENTEMENTE, UNA TABLA QUE CONTIENE $(k-1)$ CÁLCULOS TRIGONÓMÉTRICOS REQUERIDOS, ES SUFICIENTE PARA EVALUAR TODOS LOS TÉRMINOS DEL SENO Y COSENO EN LA DIRECCIÓN i PARA AMBAS ECUACIONES 2 Y 3.

RELACIONES SIMILARES SE APLICAN EN LA DIRECCIÓN j . SI EL ARREGLO ES CUADRADO, ESTO ES $k=l$, LA MISMA TABLA PUEDE SER USADA PARA AMBAS DIRECCIONES. POR TANTO, LAS 105,580,200 EVALUACIONES TRIGONÓMÉTRICAS PARA UN ARREGLO DE 100×100 HAN SIDO REDUCIDAS A 99, UTILIZANDO LA PERIODICIDAD DE LAS FUNCIONES TRIGONÓMÉTRICAS PARA CONSTRUIR UNA TABLA DE MAPEO. LA TABLA SIGUIENTE ES UNA REPRESENTACIÓN DIAGRAMÁTICA DE LAS RELACIONES DE INDICES.

<u>Seno</u>		<u>Coseno</u>		<u>h_q, h'</u>			
h^p	<u>0</u> <u>1</u> <u>2</u> ...	h^p	<u>0</u> <u>1</u> <u>2</u> ...				
	0	k	$2k$	$3k/4$	$k+3k/4$	0	sen(0)
	1
	2

$k/4-1$	$k+k/4-1$	0	$k-1$	$2k-1$	$k/4-1$	$\text{sen}\left(\frac{2\pi}{k}\left(\frac{k}{4}-1\right)\right)$
.
.
.
$k/2-1$	$k+k/2-1$	$k/4-1$	$k+k/4-1$		$k/2-1$	$\text{sen}\left(\frac{2\pi}{k}\left(\frac{k}{2}-1\right)\right)$
.
.
.
$3k/4-1$	$k+3k/4-1$	$k/2-1$	$k+k/2-1$		$3k/4-1$	$\text{sen}\left(\frac{2\pi}{k}\left(\frac{3k}{4}-1\right)\right)$
.
.
.
$k-1$	$2k-1$	$3k/4-1$	$k+3k/4-1$		$k-1$	$\text{sen}\left(\frac{2\pi}{k}(k-1)\right)$

OPTIMIZACION

CON ALGUNOS CAMBIOS HA SIDO POSIBLE DISMINUIR EL TIEMPO DE UCP (UNIDAD CENTRAL DE PROCESO) EN UN 43% APROXIMADAMENTE A 399 SEGUNDOS DE UCP PARA LA MISMA SERIE DE DATOS DE ENTRADA. LA PRIMER CORRIDA HECHA CON EL PROGRAMA COMO FUE PUBLICADA, REQUIRIO 694 SEGUNDOS DE ACTIVIDAD DE LA UCP; LA SEGUNDA HECHA CON LA MISMA SERIE DE DATOS DESPUES DE LAS MODIFICACIONES QUE SE DETALLAN AQUI, REQUIRIO 399 SEGUNDOS DE UCP. AMBAS CORRIDAS FUERON HECHAS BAJO EL SISTEMA OPERATIVO SCOPE 3.4.3 DESPUES DE LA COMPILACION CON NIVEL 2 DE OPTIMIZACION.

EFICIENCIA EN LA TRANSFERENCIA DE DATOS

SE NOTO QUE EN EL PROGRAMA ORIGINAL TODAS LAS TRANSFERENCIAS DE DATOS HACIA Y DESDE LAS SUBROUTINAS FUE HECHA VIA UNA LISTA DE ARGUMENTOS DE SUBROUTINA. ESTO ES GENERALMENTE MENOS EFICIENTE QUE LA TRANSFERENCIA VIA BLOQUES COMMON Y CON UNA GRAN CANTIDAD DE TRANSFERENCIA DE DATOS, COMO SE REQUIERE POR ESTE PRO-

GRAMA PUEDE CONTRIBUIR SIGNIFICATIVAMENTE EN EL TIEMPO DE PROCESAMIENTO. CAMBIANDO EL PROGRAMA PARA COLOCAR TODOS LOS ARGUMENTOS DE LAS SUBROUTINAS EN COMMON RESULTO UN DECREMENTO INMEDIATO DEL 10% EN TIEMPO DE UCP PARA ESTE PROGRAMA.

EFICIENCIA DEL "DO LOOP"

EN EL PROGRAMA, LAS SUBROUTINAS COFIT Y VRTIC AMBAS CONTIENEN 4 "DO" PROFUNDOS, ANIDADOS INTERIORMENTE. EL NÚMERO DE PASOS A TRAVÉS DEL CIRCUITO INTERNO ES, EN CADA CASO DADO POR:

$$KXN * (KXN / 2 + 1) + LYE * (LYE / 2 + 1)$$

DONDE KXN Y LYE SON LA DIMENSIÓN DEL RENGLÓN Y COLUMNA DE LOS DATOS DE ENTRADA DE REJILLA. PARA UNA REJILLA DE 84 x 84, ESTE DIÓ APROXIMADAMENTE 13×10^6 PASOS A TRAVÉS DEL MÁS INTERIOR CIRCUITO PARA CADA UNA DE LAS SUBROUTINAS, ENTONCES LA EFICIENCIA DE LAS RUTINAS DE ESOS CIRCUITOS INTERNOS DEBEN SER LOS FOCOS DE ATENCIÓN SI LA EFICIENCIA QUIERE SER MEJORADA.

SUBROUTINA COFIT

EL CIRCUITO INTERIOR DE LA SUBROUTINA COFIT COMIENZA CON LA DECLARACION: "DO 50 J=1,LYE" Y TERMINA EN "50 CONTINUE".

ESTE CONTIENE ESCENCIALMENTE DOS PARTES: LA PRIMERA CONSISTE DE LAS CUATRO DECLARACIONES; (DESDE "KN=KN+NA" HASTA "NCOSI=KC - ((KC-1)/LYE) * LYE" INCLUSIVE). ESTOS CÁLCULOS DE LOS INDICES NCOSI Y NSINE LOS CUALES SON ESCENCIALMENTE FUNCIONES DE J, LA VARIABLE ITERADA. LA SEGUNDA PARTE CONSISTE DE LAS CUATRO DECLARACIONES:

$$\begin{aligned} \text{ALPH1} &= \text{ALPH1} + \text{VERTF}(I,J) * \text{SK}(\text{NCOSI}) * \text{SL}(\text{NCOSI}) \\ \text{BETA1} &= \text{BETA1} + \text{VERTF}(I,J) * \text{SK}(\text{NSINE}) * \text{SL}(\text{NCOSI}) \\ \text{GAMA1} &= \text{GAMA1} + \text{VERTF}(I,J) * \text{SK}(\text{NCOSI}) * \text{SL}(\text{NSINE}) \\ \text{DELT1} &= \text{DELT1} + \text{VERTF}(I,J) * \text{SK}(\text{NSINE}) * \text{SL}(\text{NSINE}) \end{aligned}$$

COMO I, NCOSI Y NSINE NO CAMBIAN DENTRO DEL CIRCUITO INTERIOR, EL EFECTO DEL CIRCUITO ABIERTO PUEDE SER EXPRESADO COMO:

$$iC \dots \dots \text{ALPH1} = \sum_{j=1}^{\text{LYE}} V_j * S_j * C1$$

$$2C \dots \dots \quad \text{BETA1} = \sum_{j=1}^{\text{LYE}} V_j * S1_j * C2$$

$$3C \dots \dots \quad \text{GAMA1} = \sum_{j=1}^{\text{LYE}} V_j * S2_j * C1$$

$$4C \dots \dots \quad \text{DELTA1} = \sum_{j=1}^{\text{LYE}} V_j * S2_j * C2$$

DONDE:

$$V_j = \text{VERTF}(I, J)$$

$$S1_j = SL(\text{NCOSI})$$

$$S2_j = SL(\text{NSINE})$$

$$C1 = SK(\text{NCOSI})$$

$$C2 = SK(\text{NSINE})$$

COMO C1 Y C2 NO CAMBIAN DENTRO DEL CIRCUITO, LAS ECUACIONES 1C A 4C PUEDEN SER REESCRITAS COMO:

$$5C \dots \dots \quad \text{ALPHA1} = C1 * \sum_{j=1}^{\text{LYE}} V_j * S1_j$$

$$6C \dots \dots \quad \text{BETA1} = C2 * \sum_{j=1}^{\text{LYE}} V_j * S1_j$$

$$7C \dots \dots \quad \text{GAMA1} = C1 * \sum_{j=1}^{\text{LYE}} V_j * S2_j$$

$$8C \dots \dots \quad \text{DELTA1} = C2 * \sum_{j=1}^{\text{LYE}} V_j * S2_j$$

COMO RESULTADO DE ESTA ETAPA, LA SUMATORIA EN LAS ECUACIONES 5 Y 6 AHORA, SON IDENTICAS, COMO SON AQUELLAS EN LAS ECUACIONES 7 Y 8, ESTO PERMITE LA REDUCCIÓN POSTERIOR DEL ALGORITMO A:

$$9C \dots \dots \quad A = \sum_{j=1}^{\text{LYE}} V_j * S1_j \quad 10C \dots \dots \quad G = \sum_{j=1}^{\text{LYE}} V_j * S2_j$$

$$\begin{array}{ll}
 11C \dots\dots & \text{ALPH1} = A * C1 \\
 12C \dots\dots & \text{BETA1} = A * C2 \\
 13C \dots\dots & \text{GAMA1} = G * C1 \\
 14C \dots\dots & \text{DELTA1} = G * C2
 \end{array}$$

LAS ECUACIONES 9C Y 10C REPRESENTAN AHORA, EL EFECTO DEL CIRCUITO INTERNO Y REEMPLAZAN LAS ECUACIONES 1C A 4C.

LAS ECUACIONES 11C A 14C REPRESENTAN EL ESTADO DE ALPH1, BETA1, ETC, DESPUES SOLO UNA EXHAUCIÓN DEL CIRCUITO INTERIOR, QUE ESTA DESPUES DE UNA CORRIDA A TRAVÉS DEL SIGUIENTE "LOOP" DE MAYOR ORDEN. EL ALGORITMO COMPLETO PARA EL CÁLCULO DE ESAS VARIABLES DESPUES DE LA EXHAUCIÓN DE AMBOS "LOOPS" (I-1, KXN; J-1, LYE) PUEDE SER EXPRESADA COMO:

$$\text{ALPH1} = \sum_{I=1}^{KXN} C1_I * \sum_{J=1}^{LYE} VR_{(I,J)} * S1_J$$

$$\text{BETA1} = \sum_{I=1}^{KXN} C2_I * \sum_{J=1}^{LYE} VR_{(I,J)} * S1_J$$

$$\text{GAMA1} = \sum_{I=1}^{KXN} C1_I * \sum_{J=1}^{LYE} VR_{(I,J)} * S2_J$$

$$\text{DELTA1} = \sum_{I=1}^{KXN} C2_I * \sum_{J=1}^{LYE} VR_{(I,J)} * S1_J$$

DONDE: $VR_{(I,J)} = \text{VERTF}(I, J)$

SIGUIENDO ESTA LA CODIFICACIÓN FORTRAN PARA EXPRESAR ESTE ALGORITMO.

COMO PODEMOS VER LA ESCENCIA DEL CIRCUITO INTERNO EN SU SEGUNDA PARTE AHORA CONTIENE CUATRO RECALCULOS Y DOS MULTIPLICACIONES EN LUGAR DE LOS 12 RECALCULOS Y 8 MULTIPLICACIONES ORIGINALES. PARA LA SERIE DE DATOS EMPLEADA ESTO REPRESENTA SALVAR UN RECALCULO DE 10^8 Y 8×10^7 MULTIPLICACIONES APROXIMADAMENTE.

SUBROUTINA VRTIC

COMO EN LA SUBROUTINA COFIT, LA ESCENCIA DEL CIRCUITO INTERNO DE LA SUBROUTINA VRTIC (≈ 50 I=1,NNN) CONTIENE DOS PARTES. LA PRIMERA CALCULA LOS DOS INDICES "NSINE" Y "NCOSI", LA SEGUNDA PARTE ESTA COMPUESTA DE LAS DECLARACIONES:

$$XCYC = SK(MCOSI) * SL(NCOSI) \quad \dots (i)$$

$$XSYS = SK(MSINE) * SL(NSINE) \quad \dots (ii)$$

$$XCYS = SK(MCOSI) * SL(NSINE) \quad \dots (iii)$$

$$XSYC = SK(MSINE) * SL(NCOSI) \quad \dots (iv)$$

Y:

$$\begin{aligned} \text{VERTF}(I,J) = & \text{VERTF}(I,J) + A(M,N) * (XCYC - XSYS) + \\ & + B(M,N) * (XSYC + XCYC) + \\ & + C(M,N) * (XCYC + XSYS) + \\ & + D(M,N) * (XSYC - XCYS) \quad \dots (v) \end{aligned}$$

SI LA DECLARACIÓN (V) ES EXPANDIDA SUSTITUYENDO PARA XCYC,XSYS, XCYS, XSYC A PARTIR DE LAS DECLARACIONES (i) A (iv) Y LOS PARAMETROS INVARIANTES EXCLUIDOS A PARTIR DE LA SUMATORIA DE MANERA SIMILAR AL TRATAMIENTO DE LA SUBROUTINA COFIT, ENTONCES LA COMPLEJIDAD DEL CÁLCULO DE ESTA PARTE DE LA ESCENCIA DEL CIRCUITO INTERNO PUEDE SER REDUCIDO POR MÁS DEL 50%, ESTO ES:

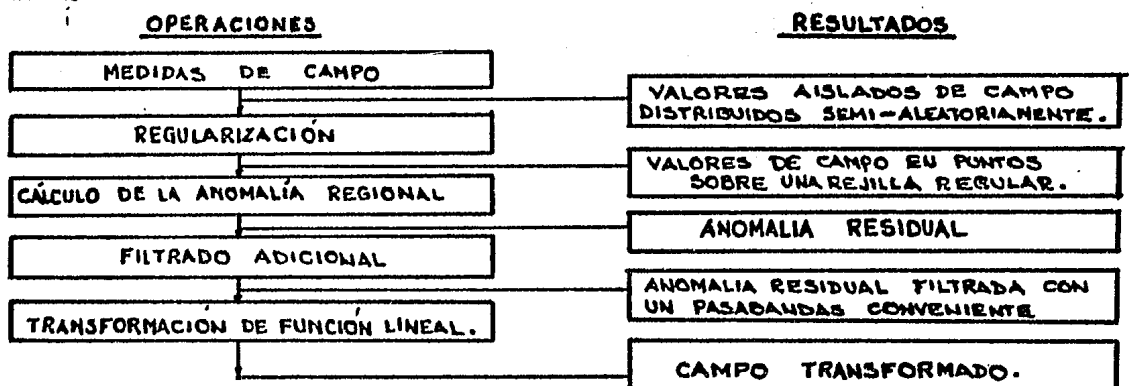
	VERSIÓN ORIGINAL	NUEVA VERSIÓN
RECUPERACIÓN	21	14
SUMA/RESTA	8	8
MULTIPLICACIÓN	8	4
ALMACENAMIENTO	5	2

ALGORITMO DE FILTRADO Y TRANSFORMACION DE FUNCIONES POTENCIALES

1. ANALISIS DE TRANSFORMACIONES EN GEOFISICA APLICADA.

HAY UNA AMPLIA OPINION ACERCA DE LAS TRANSFORMACIONES INTEGRALES QUE SON USADAS EN GEOFISICA APLICADA, TAL COMO LA CONTINUACION Y EL CALCULO DE LAS DERIVADAS PARCIALES VERTICAL U HORIZONTAL CON SOLO FILTROS DE UN TIPO U OTRO. ASI, POR EJEMPLO, UN CAMPO DADO MEDIDO SOBRE EL PLANO XY CONSTITUYE LA ENTRADA A UN FILTRO Y EL CAMPO CALCULADO EN UN NIVEL $+h$ O $-h$ SU SALIDA; EL FILTRO POR SI MISMO ESTA CONSTITUIDO POR UNA FORMULA MATEMATICA O GENERALMENTE POR UN METODO DE CALCULO, PERMITIENDO TRANSFORMACIONES DE UNA FUNCION A OTRA.

ESTA TERMINOLOGIA PUEDE SER JUSTIFICADA CUANDO CONSIDERAMOS EL ENSAMBLE DE OPERACIONES NECESARIAS POR UNA TRANSFORMACION DE CAMPO TAL COMO OCURRE EN LA PRACTICA EN GEOFISICA APLICADA. ESTA TERMINOLOGIA ES MAS NATURAL YA QUE LA COMPUTACION, ESTO ES EL FILTRO MISMO, INCLUYE UNA ETAPA INTERMEDIA, PASANDO A TRAVES DE LA FUNCION ESPECTRAL. UNA TRANSFORMACION DE FUNCION EN UN SENTIDO AMPLIO SE DESCOMPONE EN UNA SERIE DE OPERACIONES PARCIALES. ALGUNAS DE ESTAS OPERACIONES SON FILTRADO EN TANTO QUE OTRAS NO LO SON. ANALIZAMOS ALGUNAS OPERACIONES PARA LO CUAL TOMAMOS COMO GUIA EL DIAGRAMA ESQUEMATICO DE LA SIGUIENTE FIGURA



DOUDE LAS OPERACIONES SUCESIVAS SON INDICADAS A MANO IZQUIERDA Y LOS RESULTADOS DE ESAS OPERACIONES A LA DERECHA.

VEAMOS PRIMERO LAS MEDIDAS DE CAMPO ; ESTA PRIMERA ETAPA PERMITE DEFINIR UNA FUNCIÓN $f(x,y)$ EN UNA CIERTA REGIÓN DEL PLANO XY. GENERALMENTE LAS MEDIDAS SON HECHAS EN PUNTOS AISLADOS MÁS O MENOS REGULARMENTE ESPACIADOS EN UN INTERVALO PROMEDIO DEPENDIENDO DEL ESTUDIO GEOFÍSICO. EL RESULTADO ES QUE LA FUNCIÓN $f(x,y)$ NO ESTÁ PERFECTAMENTE DEFINIDA; Y, PARA DEFINIRLA COMPLETAMENTE EN CADA PUNTO $P(x,y)$, DEBEMOS ADOPTAR LA CONSIDERACIÓN ADICIONAL DE QUE $f(x,y)$ ES UNA FUNCIÓN CON ESPECTRO LIMITADO. SI N ESTACIONES MEDIDAS SON DISTRIBUIDAS SOBRE UNA SUPERFICIE DE S UNIDADES, LA DISTANCIA MEDIA QUE SEPARA A ESTACIONES VECINAS ES $\sqrt{S/N}$. LA SERIE DE MEDIDAS DEFINE UNA FUNCIÓN CUYO ESPECTRO ES CONTENIDO EN UN CUADRADO $\pi \sqrt{N/S}$ POR LADO. ENTONCES LA OPERACIÓN DE MEDICIÓN CONSTITUYE UN FILTRAJE IMPLÍCITO.

EL OBJETIVO DE LA SEGUNDA OPERACIÓN A LA QUE LLAMAMOS "REGULARIZACIÓN" ES SIMPLEMENTE EL CÁLCULO DE LOS VALORES DE LA FUNCIÓN $f(x,y)$ EN PUNTOS CUYO ESPACIAMIENTO EN UNA REJILLA CUADRADA ES AQUEL QUE NOSOTROS HEMOS DEFINIDO.

POR OTRO LADO, LA TERCERA OPERACIÓN QUE ES EL CÁLCULO DE LA ANOMALIA REGIONAL PUEDE SER COMO UN FILTRADO RESTRICTIVO DEL ESPECTRO PARA SUS VALORES DE BAJAS FRECUENCIAS. LA ANOMALIA RESIDUAL ES NATURALMENTE DEFINIDA POR SUSTRACCIÓN DE LA ANOMALIA REGIONAL DEL CAMPO ORIGINAL.

LA OPERACIÓN DE FILTRADO ESTÁ EXPRESADA POR UNA INTEGRAL Y PUEDE SER CONSIDERADA COMO UNA TRANSFORMACIÓN PARTICULAR, PERO ESTO ES LA TRANSFORMACIÓN SOLAMENTE CUYO SOLO PROPÓSITO ES MODIFICAR EL CONTENIDO ESPECTRAL. CONSIDERAREMOS POR CONSIGUIENTE EL FILTRADO COMO UNA OPERACIÓN POR SEPARADO.

EN REALIDAD, SI LA TRANSFORMACIÓN ES EL CÁLCULO DE UNA DERIVADA, NO HAY RAZÓN PARA LLAMARLA FILTRADO; UNA DERIVADA NO CAMBIA EL CONTENIDO DE FRECUENCIA DEL ESPECTRO. SI LA TRANSFORMACIÓN ES UNA INTEGRAL, POR EJEMPLO DE UNA CONTINUACIÓN, LA INTEGRACIÓN DEBE SER SUFICIENTEMENTE PRECISA PARA HACER EL CÁLCULO REVERSIBLE. LA FORMA DE LA FUNCIÓN ESPECTRAL PODRÍA SER MODIFICADA, PERO SU CONTENIDO DE FRECUENCIA NO DEBE VARIAR.

2. FILTRADO

HEMOS VISTO QUE LA CONVOLUCIÓN EXPRESADA POR LA FÓRMULA

$$(1)... \quad f(x) = F(x) * \frac{\text{sen}(\pi x/a)}{\pi x}$$

TIENE EL EFECTO DE REEMPLAZAR LA FUNCIÓN $F(x)$ CON UN ESPECTRO ARBITRARIO POR UNA FUNCIÓN $f(x)$ CUYO ESPECTRO NO EXCEDE A π/a EN VALOR ABSOLUTO. CONSIDEREMOS AHORA FUNCIONES DE DOS VARIABLES. VEREMOS QUE ESTE MISMO PROCESO ES APLICABLE, Y QUE EL RESULTADO DE LA CONVOLUCIÓN CON DOS VARIABLES ES UNA FUNCIÓN $f(x,y)$ CON ESPECTRO LIMITADO APROXIMADA A LA FUNCIÓN DADA $F(x,y)$ EN EL SENTIDO DE MÍNIMOS CUADRADOS.

CONSIDEREMOS

$$(2)... \quad f(x,y) = \sum_k \sum_n X_{kn} E_k(x/a) E_n(y/a)$$

Y TRATEMOS DE DETERMINAR LOS COEFICIENTES DESCONOCIDOS $X_{kn} = f(k/a, n/a)$, TAL QUE LA INTEGRAL

$$I = \iint [f(\xi, \eta) - F(\xi, \eta)]^2 d\xi d\eta$$

SEA MINIMA.

HACIENDO LA DERIVADA DE I CON RESPECTO A X_{kn} IGUAL A CERO, OBTENEMOS:

$$\frac{\partial I}{\partial X_{kn}} = \iint \left[\sum_k \sum_n X_{kn} E_k(\xi/a) E_n(\eta/a) - F(\xi, \eta) \right] E_k(\xi/a) E_n(\eta/a) d\xi d\eta$$

FINALMENTE UTILIZANDO LA ORTOGONALIDAD DE LAS FUNCIONES NUESTRA "E" EXPRESADA POR:

$$\int E_k(x/a) E_n(x/a) dx = \begin{cases} a & \dots k=n \\ 0 & \dots k \neq n \end{cases}$$

ENCONTRAMOS LOS COEFICIENTES DESCONOCIDOS:

$$(3)... \quad X_{kn} = (1/a^2) \iint F(\xi, \eta) E_k(\xi/a) E_n(\eta/a) d\xi d\eta$$

ESTA EXPRESIÓN PUEDE SER SUSTITUIDA EN LA EXPANSIÓN (2) PARA OBTENER :

$$f(x, y) = \frac{1}{q^2} \iint F(\xi, \eta) \sum_k E_k(x/q) E_k(\xi/q) \sum_n E_n(y/q) E_n(\eta/q) d\xi d\eta$$

SABIENDO QUE, LAS SIGUIENTES PROPIEDADES SON VÁLIDAS:

$$\sum_k E_k(x/q) E_k(\xi/q) = E_0((x-\xi)/q)$$

Y

$$\sum_n E_n(y/q) E_n(\eta/q) = E_0((y-\eta)/q)$$

ENTONCES;

$$(4)... \quad f(x, y) = \frac{1}{q^2} \iint F(\xi, \eta) E_0((x-\xi)/q) E_0((y-\eta)/q) d\xi d\eta$$

ESTA EXPRESIÓN ES ANALOGA A LA EC. (1) Y PUEDE SER ESCRITA COMO:

$$(5)... \quad f(x, y) = F(x, y) * \left[\frac{1}{q} E_0(x/q) \frac{1}{q} E_0(y/q) \right]$$

CON REFERENCIA A LA FUNCIÓN $F(x, y)$, ÉSTA PUEDE SER DADA POR LA EXPANSIÓN:

$$(6)... \quad F(x, y) = \sum_k \sum_n F(kq, nq) E_k(x/q) E_n(y/q)$$

SÍ EL INTERVALO q ES DEMASIADO PEQUEÑO, TAL QUE LA FUNCIÓN ESPECTRAL $F(x, \beta)$ PUEDA SER DESPRECIADA PARA VALORES ABSOLUTOS MAYORES QUE π/q . ENTONCES SUSTITUYENDO (6) EN (5), ENCONTRAMOS QUE :

$$f(x, y) = \sum_k \sum_n F(kq, nq) \left\{ E_k(x/q) * E_0(x/q)/q \right\} \left\{ E_n(y/q) * E_0(y/q)/q \right\}$$

LAS CONVOLUCIONES EN ESTA EXPANSIÓN PUEDEN SER CALCULADAS USANDO LAS SIGUIENTES EXPRESIONES:

$$E_k(x/q) * E_0(x/q)/q = (q/q) E_k(q/a)(x/a)$$

$$E_n(y/q) * E_0(y/q)/q = (q/q) E_n(q/a)(y/a)$$

CONSECUENTEMENTE, LA EXPRESIÓN FINAL PARA $f(x, y)$ ES:

$$(7)... \quad f(x, y) = (q/a)^2 \sum_{(k)} \sum_{(n)} F(kq, nq) E_k(q/a)(x/a) E_n(q/a)(y/a)$$

AQUI $F(kq, nq)$ ES UNA FUNCIÓN MUESTRA DADA EN UN INTERVALO q - TAN PEQUEÑO COMO SEA NECESARIO PARA DEFINIRLA BIEN. ESTA ES APROXIMADA EN EL SENTIDO DE LOS MÍNIMOS CUADRADOS POR LA FUNCIÓN $f(x, y)$, LLEGANDO A SUAVIZARSE TANTO CUANDO SE INCREMENTE EL RADIO q/q . CONSECUENTEMENTE, ESTE RADIO PUEDE SER CONSIDERADO COMO UN SUAVIZADOR O UN PARAMETRO DE FILTRO PASA BAJAS. SI HACEMOS $q/q = 1$, LA EC. (7) REGRESA A LA FUNCIÓN DADA $F(x, y)$. LA RELACIÓN q/q ES AL MISMO TIEMPO UN PARAMETRO DE REGIONALIZACIÓN. SI ESTE VALOR ES GRANDE DEFINIENE UNA ANOMALIA REGIONAL.

FINALMENTE DEBEMOS RECORDAR QUE :

$$E_{k(q/a)}(y/a) = \frac{\text{sen}(\pi/a)(x-kq)}{(\pi/a)(x-kq)}$$

3. COEFICIENTES DEL FILTRO

LA ECUACIÓN (7) HACE POSIBLES LOS CÁLCULOS POR SI MISMA RAPIDAMENTE. SIN EMBARGO, LOS CÁLCULOS NUMÉRICOS PUEDEN SER ACELERADOS GRANDEMENTE SI USAMOS UNA MATRIZ DE COEFICIENTES. ESTE MÉTODO ESTA BASADO EN LA REALIDAD DE QUE EL ORIGEN "0" DE COORDENADAS XY ES ARBITRARIO Y PUEDE SER SELECCIONADO COMO SE DESEE PARA CADA CÁLCULO PARCIAL.

POR CONSIGUIENTE LA ECUACIÓN (7) PUEDE SER USADA PARA CALCULAR $f(x, y)$ EN UN PUNTO SIMPLE $x=y=0$. ENTONCES, TRANSLADANDO EL ORIGEN SUCESIVAMENTE A CADA PUNTO EN EL PLANO π , CALCULAREMOS $f(x, y)$ EN CUALQUIER LUGAR, USANDO SOLAMENTE UNA MATRIZ. POR LO TANTO, HACIENDO $x=y=0$, LA ECUACIÓN (7) SE CONVIERTE EN :

$$(8)... \quad f(0,0) = \sum_{(k)} \sum_{(n)} F(kq, nq) \frac{\text{sen } \pi kq/q}{k\pi} \frac{\text{sen } \pi nq/q}{n\pi}$$

DEFINIREMOS LOS COEFICIENTES EN LA REJILLA, HACIENDO :

$$(9)... \quad C(k, n) = \frac{\text{sen } \pi k (q/a)}{k\pi} \frac{\text{sen } \pi n (q/a)}{n\pi}$$

LUEGO ENTONCES LA ECUACIÓN (7) LLEGA A SER :

$$(10) \dots \quad f(0,0) = \sum_{(k)} \sum_{(n)} C(k,n) F(kq, nq)$$

ESTA ÚLTIMA ECUACIÓN MUESTRA QUE EL VALOR $f(0,0)$ EN EL CENTRO RESULTA DEL PRODUCTO DE DOS MATRICES C Y F . LA MATRIZ F ES DADA CUANDO LOS COEFICIENTES SON CALCULADOS UNA VEZ POR TODAS CUALDO EL RADIO Q/q QUEDE FIJO. TODAS LAS TRANSFORMACIONES FUNCIONALES QUE CONSIDERAREMOS PUEDEN SER REDUCIDOS DE MANERA ANALOGA A LA EC. (10).

CONTINUACION DE FUNCIONES ARMONICAS

1. CALCULO DE LOS COEFICIENTES.

EN GEOFÍSICA APLICADA, LA OPERACIÓN DE CONTINUACIÓN ES UNA TRANSFORMACIÓN LINEAL DE INTEGRAL LA CUAL ES APLICADA TANTO AL CAMPO GRAVITACIONAL COMO AL MAGNÉTICO, O LAS DERIVADAS DEL CAMPO. PARA MANTENER LA GENERALIDAD DESIGNAREMOS $U(x,y,0)$ O SIMPLEMENTE $U(x,y)$ COMO UNA FUNCIÓN MUESTRA ARBITRARIA SOBRE EL PLANO $z=0$. ENTONCES LA FUNCIÓN ARMÓNICA $U(x,y,z)$, LA CUAL TOMA EL VALOR $U(x,y)$ PARA $z=0$, ES EXPRESADA COMO :

$$(11) \dots \quad U(x,y,z) = \frac{1}{4\pi^2} \iint_{\pi} \tilde{U}(\alpha, \beta) e^{-\gamma z - i\alpha x - i\beta y} d\alpha d\beta$$

DONDE $\tilde{U}(\alpha, \beta)$ ES LA TRANSFORMADA DE FOURIER

$$(12) \dots \quad \tilde{U}(\alpha, \beta) = \iint e^{i\alpha x + i\beta y} U(x,y) dx dy ; \text{ CON: } \alpha^2 + \beta^2 = \gamma^2$$

RECORDEMOS OTRA VEZ QUE $U(x,y)$ ES UNA FUNCIÓN CON ESPECTRO LÍMITADO, PUESTO QUE ESTE ES DETERMINADO POR MEDICIONES HECHAS EN PUNTOS DISCRETOS. CONSECUENTEMENTE, SE SIGUE QUE TAL FUNCIÓN DEBE SER REPRESENTADA NATURALMENTE POR LA EXPANSIÓN :

$$(3)... \quad U(x, y) = \sum_{(k)} \sum_{(n)} U(kq, nq) E_k(x/q) E_n(y/q)$$

SU TRANSFORMADA DE FOURIER ES EXPRESADA COMO:

$$(4)... \quad U(\alpha, \beta) = q^2 \sum_{(k)} \sum_{(n)} U(kq, nq) e^{kq\alpha i + nq\beta i}$$

EN EL CUADRADO $-\pi/q \leq \alpha$, $\beta \leq \pi/q$

ES POSIBLE SIN EMBARGO, SIMPLIFICAR ESTA ECUACION TOMANDO AL INTERVALO DE REJILLA q COMO LA UNIDAD DE LONGITUD, ENTONCES DEJAMOS A $q=1$. INTRODUCIENDO LA EC. (4) EN LA EC. (1). OBTENEMOS:

$$(5)... \quad U(x, y, z) = \sum_{(k)} \sum_{(n)} U(k, n) \frac{1}{4\pi^2} \iint e^{-yz + (k-x)\alpha i + (n-y)\beta i} d\alpha d\beta$$

ESTA INTEGRACION DEBE SER LLEVADA FUERA CONTENIENDO LOS LIMITES $-\pi < \alpha$, $\beta < \pi$

ESCRIBIENDO ESTA ECUACION, NO HEMOS ESPECIFICADO LA POSICION DEL ORIGEN. PODEMOS TRANSLADAR EL ORIGEN A PUNTOS SUCCESIVOS SEPARADOS POR EL ESPACIAMIENTO $q=1$ EN LA REJILLA CUADRADA. ESTA CANTIDAD EN CADA CASO HACIENDO $x=y=0$, HACE QUE LA EXPRESION (5) LLEGUE A SER

$$(6)... \quad U(0, 0, z) = \sum_{(k)} \sum_{(n)} U(k, n) \cdot \frac{1}{4\pi^2} \iint e^{-yz + k\alpha i + n\beta i} d\alpha d\beta$$

ASI HEMOS LLEGADO A LA MATRIZ DE COEFICIENTES $C(k, n)$ POR LA CUAL DEBEMOS MULTIPLICAR LOS VALORES DADOS $U(k, n)$ EN PUNTOS DE LA REJILLA, PARA OBTENER LOS VALORES $U(0, 0, z)$ DE LA FUNCION CONTINUADA A LA ALTITUD z . ENTONCES, TENEMOS

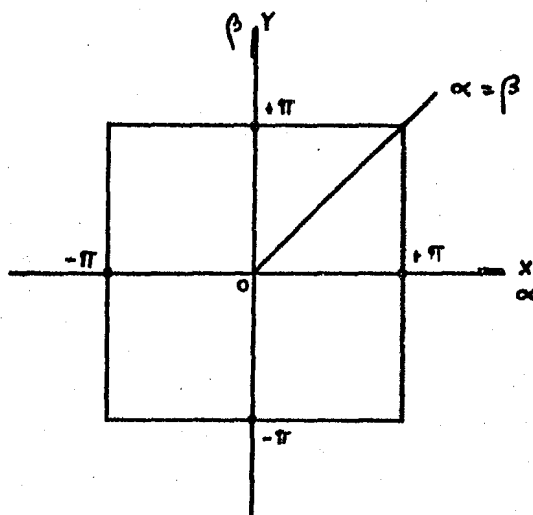
$$(7)... \quad U(0, 0, z) = \sum_k \sum_n C(k, n) U(k, n)$$

CON:

$$(8)... \quad C(k, n) = \frac{1}{4\pi^2} \iint_{-\pi < \alpha < \pi} e^{-yz + k\alpha i + n\beta i} d\alpha d\beta$$

PODEMOS CONSIDERAR QUE LA REGION DE INTEGRACION CONSISTE DE CUATRO

CUADRADOS SIMÉTRICOS CON RESPECTO AL ORIGEN COMO SE MUESTRA EN LA SIGUIENTE FIGURA



YA QUE DE ÉSTA SIMETRÍA ES SUFICIENTE INTEGRAR SOLAMENTE SOBRE UNO DE ESTOS CUADRADOS ENTRE LOS LÍMITES $0 < \alpha, \beta < \pi$. LA INTEGRAL (8) SE CONVIERTE EN:

$$\begin{aligned}
 (9)... \quad C(k, n) &= \frac{1}{4\pi^2} \iint e^{-kz} (e^{kx + n\beta i} + e^{-kx + n\beta i} + e^{kx - n\beta i} + e^{-kx - n\beta i}) dx d\beta = \\
 &= \frac{1}{4\pi^2} \iint_{0 < \alpha, \beta < \pi} e^{-kz} \cos k\alpha \cos n\beta d\alpha d\beta
 \end{aligned}$$

DIVIDIMOS ESTE PEQUEÑO CUADRO EN DOS TRIANGULOS COMO SE MUESTRA EN LA FIGURA ANTERIOR, DIBUJANDO EL BISECTOR $\alpha = \beta$. ENTONCES LA INTEGRAL LLEGA A SER LA SUMA DE DOS INTEGRALES CADA UNA SOBRE UNO DE LOS TRIANGULOS:

$$C(k, n) = \frac{1}{\pi^2} \int_0^\pi \cos k\alpha d\alpha \int_0^\alpha e^{-kz} \cos n\beta d\beta + \frac{1}{\pi^2} \int_0^\pi \cos n\beta d\beta \int_0^\beta e^{-kz} \cos k\alpha d\alpha$$

DADO QUE ES VÁLIDO INTERCAMBIAR LAS VARIABLES DE INTEGRACIÓN α Y β , HAREMOS ÉSTE CAMBIO EN LA SEGUNDA INTEGRAL PARA QUE TENGA LOS MISMOS LÍMITES. ESTO CONDUCE A LA ECUACIÓN

$$(10)... \quad C(k, n) = \frac{1}{\pi^2} \int_0^\pi d\alpha \int_0^\pi e^{-\alpha z} (\cos k\alpha \cos n\beta + \cos n\alpha \cos k\beta) d\beta$$

AHORA CAMBIEMOS VARIABLES SUSTITUYENDO α U POR β PARA HACER QUE LA EC. (10) LLEGUE A SER:

$$C(k, n) = \frac{1}{\pi^2} \int_0^\pi \alpha d\alpha \int_0^1 e^{-\alpha z \sqrt{1+u^2}} (\cos k\alpha \cos n\alpha u + \cos n\alpha \cos k\alpha u) du$$

AHORA PODEMOS INTERCAMBIAR LAS INTEGRALES

$$C(k, n) = \frac{1}{\pi^2} \int_0^1 du \int_0^\pi e^{-\alpha z \sqrt{1+u^2}} (\cos k\alpha \cos n\alpha u + \cos n\alpha \cos k\alpha u) \alpha d\alpha$$

LA INTEGRACIÓN CON RESPECTO A α ES ELEMENTAL. SIN EMBARGO NOTE NOS QUE LA SUMA EN EL PARENTESIS ES IGUAL A:

$$\frac{1}{2} \cos(k+n)\alpha + \frac{1}{2} \cos(k-n)\alpha + \frac{1}{2} \cos(n+ku)\alpha + \frac{1}{2} \cos(n-ku)\alpha$$

Y QUE CONSECUENTEMENTE LA VARIABLE u RECORRE TODO EL SEGMENTO DE -1 A $+1$. ENTONCES PODEMOS RETENER SOLAMENTE DOS TÉRMINOS DE ESTA SUMA, PERO INTEGRANDO SOBRE u , DESDE -1 A $+1$. ESTA LIEGA A SER:

$$C(k, n) = \frac{1}{2\pi^2} \int_{-1}^{+1} du \int_0^\pi e^{-\alpha z \sqrt{1+u^2}} [\cos(k+n)\alpha + \cos(ku+n)\alpha] \alpha d\alpha$$

UNA FUNCIÓN DESIGNADA POR $Cf(z)$ Y DEFINIDO POR:

$$Cf(z) = \frac{1}{2\pi^2} \int_0^\pi e^{-\alpha z \sqrt{1+u^2}} (\cos \tau \alpha) \alpha d\alpha$$

APARECE DOS VECES: UNA VEZ CON $\tau = k+n$ Y UNA SEGUNDA CON $\tau = ku+n$. SIN EMBARGO, ES MÁS PRÁCTICO DEFINIR UNA FUNCIÓN COMPLEJA

$$\frac{1}{2\pi^2} \int_0^\pi e^{\alpha \tau} \alpha d\alpha \doteq \left(\frac{1}{2\pi^2} - \frac{1}{2\pi^2 \sigma^2} \right) e^{\sigma \tau} + \frac{1}{2\pi^2 \sigma^2} = Cf(\tau) + iSf(\tau)$$

DONDE $\tau = -2\sqrt{1+u^2} + \tau i$ Y USAR UNA CALCULADORA PARA SEPARAR LA PARTE REAL. USANDO ESTA NOTACIÓN, LA EXPRESIÓN PARA LOS COEFICIENTES ES ESCRITA COMO:

$$C(k, n) = \int_{-1}^{+1} [Cf(k+nu) + Cf(n+ku)] du$$

PARA EFECTUAR ÉSTA CUADRATURA HEMOS USADO SUCESIVAMENTE EL MÉTODO DE INTEGRACIÓN DE ROMBERG.

SÍ LA FUNCIÓN DADA $U(x, y)$ ES UNA CONSTANTE, LA CONTINUACIÓN REPRODUCE LA MISMA CONSTANTE. ÉSTA OBSERVACIÓN NOS DA LA RELACIÓN:

$$\sum_k \sum_n C(k, n) = 1$$

FINALMENTE, NOTEMOS LA SIGUIENTE SIMETRÍA, OBVIA:

$$C(+k, +n) = C(-k, n) = C(-k, -n) = C(+n, +k) = \dots$$

DERIVADAS DE FUNCIONES ARMONICAS

1. UTILIDAD DE LAS DERIVADAS VERTICALES

A PRINCIPIO DE LOS AÑOS 40'S, LA CONTINUACIÓN PARECIO, COMPLICADA Y CON RESULTADOS INCIERTOS. PERO SE DESCUBRIO QUE PARA OBTENER ANOMALIAS REDUCIDAS ES SUFICIENTE REEMPLAZAR LAS FUNCIONES POR SUS DERIVADAS VERTICALES, PORQUE ESAS DERIVADAS $\partial/\partial z$, $\partial^2/\partial z^2$, ... SON REDUCIDAS SIN PERDER LA TENDENCIA DE LA ANOMALÍA ORIGINAL. NOSOTROS VERIFICAREMOS QUE, POR DERIVACIÓN CON RESPECTO A Z, IMPLEMENTAMOS EL PODER DE RESOLUCIÓN DEL MAPA DE GRAVEDAD O CAMPO MAGNÉTICO.

HASTA LA SEGUNDA DERIVADA, SU CÁLCULO VIENE A SER FÁCIL. ÉSTO HA SIDO OBJETO DE MUCHOS ESTUDIOS DE LOS QUE HAN RESULTADO DIVERSAS FÓRMULAS. NOS LIMITAREMOS POR SI MISMOS A AQUELLOS QUE JUZGAMOS SON LOS MÁS SIMPLES Y MÁS EXACTOS.

2. DERIVADA VERTICAL.

USANDO LA REPRESENTACIÓN GENERAL PARA FUNCIONES ARMONICAS CONEN-

ZAMOS CON LA ECUACION:

$$(1)... \quad g(x, y, z) = \frac{1}{4\pi^2} \iint \tilde{g}(\alpha, \beta) e^{-\gamma z - i\alpha x - i\beta y} d\alpha d\beta$$

SU DERIVADA VERTICAL ES:

$$(2)... \quad -\frac{\partial g}{\partial z} = \frac{1}{4\pi^2} \iint \tilde{g}(\alpha, \beta) e^{-\gamma z - i\alpha x - i\beta y} \gamma d\alpha d\beta$$

COMPARANDO ESTA EXPRESION CON:

$$-\frac{\partial T}{\partial z} = \frac{1}{4\pi^2} \iint \tilde{T}(\alpha, \beta) e^{-\gamma z - i\alpha x - i\beta y} \frac{\gamma^3}{AB} d\alpha d\beta,$$

DESCUBRIMOS QUE ESAS ECUACIONES LLEGAN A SER IDENTICAS SI HACEMOS $A=B=\gamma$ CUANDO $\lambda_3 = \gamma_3 = 1$ Y $\lambda_1 = \lambda_2 = \gamma_1 = \gamma_2 = 0$. CONSECUENTEMENTE, LA DERIVADA (2) ES UN CASO ESPECIAL DE LA DERIVADA $\partial T / \partial z$ REDUCIDA AL POLO. CON LO QUE OBTENEMOS

$$(3)... \quad c(k, n) = \int_{-1}^{+1} \sqrt{1+u^2} [c g(\tau_1) + c g(\tau_2)] du$$

DONDE LA FUNCION $c g(\tau)$ ESTA DEFINIDA POR:

$$c g(\tau) + i s g(\tau) = \frac{1}{2\pi^2} \int_0^\pi e^{i\alpha\tau} \alpha^2 d\alpha = \pi \left\{ \left(\frac{1}{2\pi\sigma} - \frac{1}{\pi^2\sigma^2} + \frac{1}{\pi^2\sigma^3} \right) e^{i\pi\sigma} - \frac{1}{\pi^2\sigma^3} \right\}$$

LA EXPRESION (3) ADMITE VALORES DE COEFICIENTES PARA CALCULAR LA DERIVADA VERTICAL PARA CUALQUIER VALOR DE z . HACIENDO $z=0$, CALCULAREMOS LA DERIVADA SOBRE EL PLANO DE MEDICIONES. ENTONCES, LA EXPRESION PARA LA FUNCION $c g(\tau)$ ES SIMPLIFICADA Y EN LUGAR DE LA ECUACION ANTERIOR TENEMOS:

$$c g(\tau) = \pi \left\{ \left(\frac{1}{\pi^2} \tau^2 \right) \cos \pi \tau + \left(\frac{1}{2} - \frac{1}{\pi^2} \tau^2 \right) \operatorname{sen} \pi \tau / \pi \tau \right\}$$

DONDE τ TOMA DOS VALORES: $\tau_1 = k + n u$ Y $\tau_2 = n + k u$

EN PARTICULAR, DEBIDO A UNA INTEGRACION ELEMENTAL, PODEMOS CALCULAR EL COEFICIENTE CENTRAL $c(0,0)$. EN REALIDAD, DADO QUE $c g(0) = \pi/6$, ENCONTRAMOS:

$$C(0,0) = (\pi/3) \int_{-1}^{+1} \sqrt{1+u^2} du = (\pi/3) \left[\sqrt{2} + \log(1+\sqrt{2}) \right] = 2.40493$$

FINALMENTE NOTAMOS QUE LOS COEFICIENTES (3) NO DEPENDEN DEL INTERVALO DE REJILLA Q, PERO EL VALOR FINAL DE LA DERIVADA DEPENDE DE ESTE. ESTA EXPRESIÓN ES:

$$(5) \dots - \frac{\partial g}{\partial z} = (1/Q) \sum_k \sum_n C(k,n) g(kQ, nQ)$$

SÍ DIFERENCIAMOS LA EXPRESIÓN (1) DOS VECES CON RESPECTO A Z, OBTENEMOS LA SEGUNDA DERIVADA VERTICAL:

$$(6) \dots \frac{\partial^2 g}{\partial z^2} = \frac{1}{4\pi^2} \iint \tilde{g}(\alpha, \beta) e^{-yz - \alpha xi - \beta yi} \gamma^2 d\alpha d\beta$$

EL MISMO RESULTADO, PERO DE SIGNO OPUESTO, SERÁ OBTENIDO SUMANDO LA SEGUNDA DERIVADA PARCIAL DE (1) CON RESPECTO A "X" Y A "Y". ESTO ES CLARO PORQUE EL CAMPO $g(x,y,z)$ ES ARMÓNICO.

ES INNECESARIO REPETIR UNA VEZ MÁS NUESTRO RAZONAMIENTO USUAL PARA DEDUCIR LA EXPRESIÓN PARA LOS COEFICIENTES. PODEMOS ESCRIBIR DIRECTAMENTE:

$$(7) \dots C(k,n) = \frac{1}{4\pi^2} \iint e^{-yz + k\alpha i + n\beta i} \gamma^2 d\alpha d\beta \quad -\pi < \alpha, \beta < \pi$$

DONDE Z ES LA MEDIDA DE LA ALTURA USANDO EL INTERVALO Q DE REJILLA COMO LA UNIDAD DE LONGITUD. LOS COEFICIENTES (7) NOS PERMITEN COMBINAR EL CÁLCULO DE LA DERIVADA Y DE LA CONTINUACIÓN. SIN EMBARGO, CALCULAREMOS LA DERIVADA EN EL PLANO DE MEDICIÓN HACIENDO $Z=0$. ENTONCES, FACILMENTE ENCONTRAMOS:

$$C(k,n) = (1/\pi) \int_0^\pi \alpha^2 \cos k\alpha d\alpha \cdot (1/\pi) \int_0^\pi \cos n\beta d\beta + (1/\pi) \int_0^\pi \cos k\alpha d\alpha \cdot (1/\pi) \int_0^\pi \beta^2 \cos n\beta d\beta$$

LA INTEGRACIÓN ES ELEMENTAL, Y LOS COEFICIENTES SON:

$$(8) \dots \left\{ \begin{array}{l} C(k,n) = 0, \text{ si } k,n \neq 0 \\ C(k,0) = (-1)^k \cdot \left(\frac{2}{k^2}\right) \\ C(0,n) = (-1)^n \cdot \left(\frac{2}{n^2}\right) \\ C(0,0) = 2\pi^2/3 \end{array} \right.$$

3. PRIMERA DERIVADA VERTICAL COMO UNA FUNCIÓN DE LA SEGUNDA

EL CÁLCULO DE LA SEGUNDA DERIVADA VERTICAL ES FÁCIL. VEREMOS QUE LA DERIVADA ES OBTENIDA COMO UN DOBLE PRODUCTO CUANDO UNO REGULARIZA LOS PUNTOS DE MEDICIÓN PARA OBTENER UNA REJILLA. EL CÁLCULO DE LA PRIMERA DERIVADA NO ES MUY ORTODOXO. PODEMOS TOMAR EN CUENTA EL TRABAJO DE H. ACKERMAN Y H. DIX, PARA EXPRESAR LA PRIMERA DERIVADA COMO UNA FUNCIÓN DE LA SEGUNDA.

PODEMOS INICIAR CON LA ECUACIÓN SIGUIENTE:

$$U(M) = (-1/2\pi) \iint_{\pi} \left(\frac{\partial U}{\partial \xi} \right)_p \frac{ds}{r}$$

LA CUAL ES LA SOLUCIÓN AL PROBLEMA DE HEUMAN PARA EL SEMI-ESPACIO $Z \gg 0$. REEMPLACEMOS LA FUNCIÓN ARMÓNICA U POR LA DERIVADA $\frac{\partial g}{\partial Z}$. LA SEGUNDA DERIVADA SERÁ DESIGNADA POR 'g' PARA ABREVIAR, TENEMOS

$$(10)... \quad -\frac{\partial g}{\partial Z} = (1/2\pi) \iint_{\pi} g''(\xi, \eta) \frac{ds}{r}$$

O EN COORDENADAS CILINDRICAS:

$$(11)... \quad -\frac{\partial g}{\partial Z} = (1/2\pi) \iint_{\pi} g''(\rho, \omega) \rho d\rho d\omega / \sqrt{\rho^2 + Z^2}$$

INTEGRAREMOS PRIMERO SOBRE ω :

$$(12)... \quad g''(\rho) = (1/2\pi) \int_0^{2\pi} g''(\rho, \omega) d\omega$$

ESTO ES UN PROMEDIO SOBRE EL CÍRCULO DE RADIO ρ , FINALMENTE, PARA $Z=0$, DEFINIMOS:

$$\left(-\frac{\partial g}{\partial Z} \right)_0 = \int_0^{\infty} g''(\rho) d\rho$$

NOS VEMOS OBLIGADOS A MENCIONAR ESTA ELEGANTE FÓRMULA, LA CUAL NO DISCUTIREMOS SIN EMBARGO.

ALGORITMO PARA LAS APROXIMACIONES ELEMENTALES EN INTERPRETACION MAGNETICA Y EFECTO MAGNETICO DE CUERPOS

RESUMEN

SE DERIVAN LAS EXPRESIONES DE ANOMALIA DE INTENSIDAD MAGNÉTICA - TOTAL PARA 4 FUENTES SIMPLES: EL POLO PUNTUAL, LINEA DE POLOS, DIPOLO PUNTUAL Y LINEA DE DIPOLOS. SE PRESENTAN LAS CURVAS TIPO PARA EL POLO Y DIPOLO PUNTUALES. PARA TODOS LOS CASOS, LOS FACTORES QUE SON CALCULADOS, PUEDEN SER MULTIPLICADOS DENTRO DE LA DISTANCIA MEDIA-MÁXIMA SOBRE LOS PERFILES DE ANOMALIA PARA ESTIMAR LA PROFUNDIDAD. ESTOS MÉTODOS SIRVEN COMO UNA PRIMERA APROXIMACIÓN EN LA INTERPRETACIÓN DE DATOS AEROMAGNÉTICOS, PERO SE DEBEN TOMAR EN CUENTA SUS LIMITACIONES.

INTRODUCCION

A PESAR DE QUE LOS INSTRUMENTOS DE INTENSIDAD MAGNÉTICA TOTAL TIPO "FLUX-GATE" HAN SIDO USADOS PARA LA PROSPECCIÓN AEROMAGNÉTICA DURANTE 10 AÑOS, SOLAMENTE HA APARECIDO Poca LITERATURA RELATIVA A LA INTERPRETACIÓN DE DATOS. HENDERSON Y ZIETZ (1948) HAN CALCULADO FACTORES PARA DETERMINAR LA PROFUNDIDAD, USANDO APROXIMACIONES CON EL POLO PUNTUAL Y LA LINEA DE POLOS. ESTE TRABAJO ES MODIFICADO EN EL PRESENTE ARTÍCULO. VACQUIER ET. AL. (1951) HA USADO MODELOS DE PRISMAS VERTICALES PARA LA INTERPRETACIÓN DE LA PROFUNDIDAD DE ANOMALIAS. POR OTRO LADO HAN SIDO DESARROLLADOS VARIOS PROCEDIMIENTOS PARA EL TRATAMIENTO DE LOS DATOS, TAL COMO EL CÁLCULO DE LA SEGUNDA DERIVADA VERTICAL (HENDERSON Y ZIETZ, 1949), LA CONTINUACIÓN ANALÍTICA DE ANOMALIAS HACIA ARRIBA (HENDERSON Y ZIETZ, 1949) Y EL CAMPO DE LA ANOMALÍA MAGNÉTICA VERTICAL A PARTIR DE LAS OBSERVACIONES DE CAMPO TOTAL (HUGHES Y PONDROM, 1947). PETERS (1949) HA DESCRITO MÉTODOS ANALÍTICOS PARA LA INTERPRETACIÓN DE DATOS DE INTENSIDAD MAGNÉTICA VERTICAL EN ÁREAS DEL BASAMENTO PROFUNDO LAS CUALES PUEDEN SER EXTENDIDAS RAPIDAMENTE AL CASO DE CAMPO MAGNÉTICO TOTAL. TODOS ESTOS MÉTODOS DEPENDEN DEL CAMPO ANOMALO SIENDO PEQUEÑO COMPARADO CON LA INTENSIDAD TOTAL NORMAL DEL CAMPO TERRESTRE, EN CUYO CASO EL CAMPO ANOMALO ES UNA FUNCIÓN ARMÓNICA.

EN ESTE ARTÍCULO SE PRESENTAN 4 CASOS APROXIMADOS. EL POLO PUNTUAL, LA LINEA DE POLOS, DIPOLO PUNTUAL, Y LINEA DE DIPOLOS. LOS PERFILES DE INTENSIDAD MAGNÉTICA TOTAL SON DADOS PARA LAS FUENTES PUNTALES. PARA LOS 4 TIPOS DE FUENTES EL DESPLAZAMIENTO DEL "PICO" ES DETERMINADO Y LOS FACTORES CALCULADOS PARA LA DETERMINACIÓN DE LA PROFUNDIDAD, USANDO LAS DOS DISTANCIAS DEL VALOR MÁXIMO AL MEDIO-MÁXIMO A LO LARGO DEL PERFIL DE ANOMALIA.

CONSIDERACIONES GENERALES

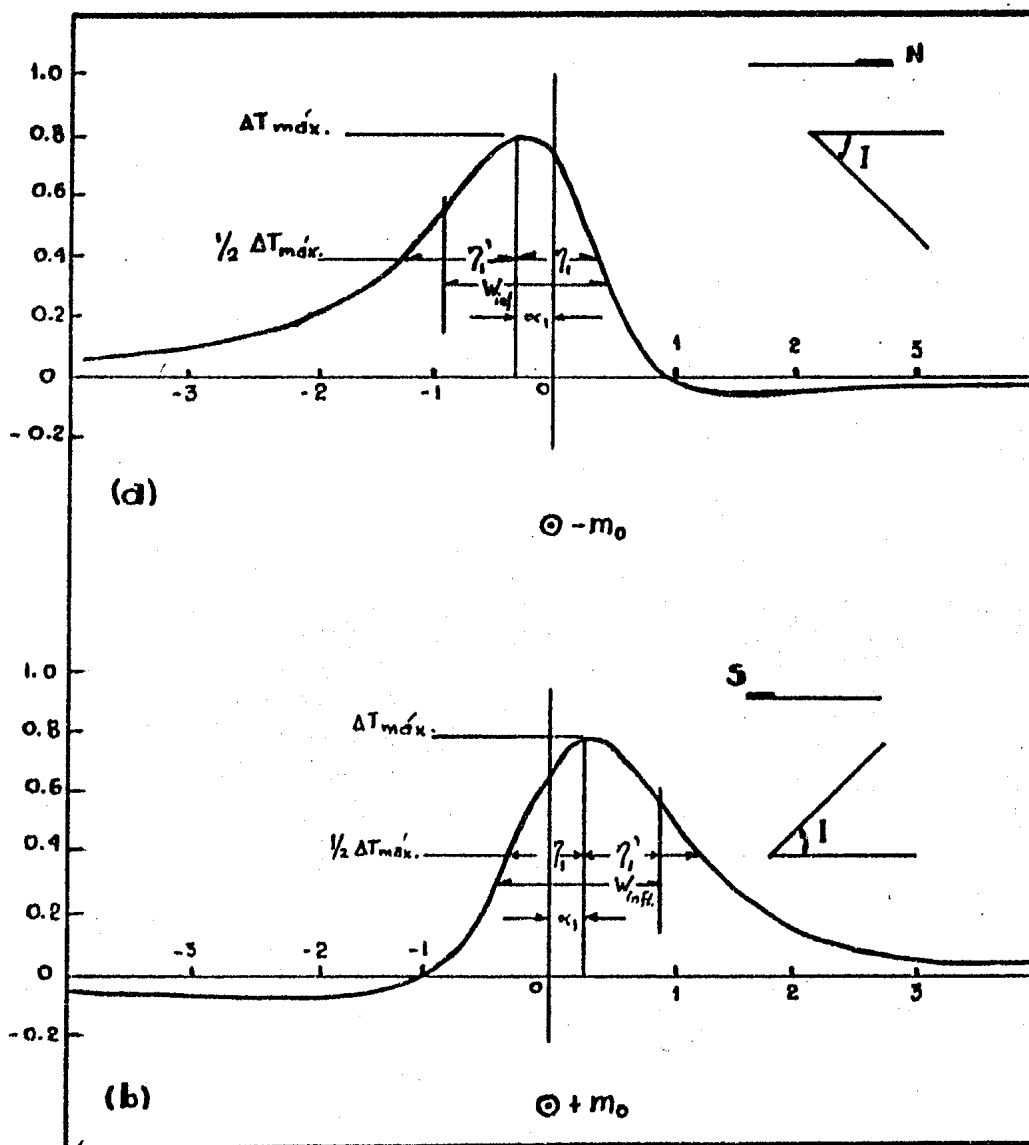
LOS CAMPOS POTENCIALES DE CUALQUIER TIPO SON POR NATURALEZA AMBIGUOS. EN OTRAS PALABRAS, TEÓRICAMENTE PUEDE OBTENERSE UN NÚMERO INFINITO DE SOLUCIONES PARA LA DISTRIBUCIÓN DE PROPIEDADES FÍSICAS DANDO REALCE A UNA ANOMALIA PARTICULAR SEA ELÉCTRICA, GRAVIMÉTRICA O MAGNÉTICA. POR SUPUESTO, SÓLO UN NÚMERO LIMITADO DEBE SER PROBABLE SI NOS APOYAMOS EN RECONOCIMIENTOS GEOLÓGICOS. LOS MODELOS SIMPLIFICADOS INDICAN LA PROFUNDIDAD AL POLO O DIPOLO EQUIVALENTES DE LA FUENTE.

EN RECONOCIMIENTOS AEROMAGNÉTICOS, SE PRESENTAN POR SI MISMOS PROBLEMAS DE DOS CLASES GENERALES. ESTOS SON LOS LEVANTAMIENTOS DE CUENCAS SEDIMENTARIAS DONDE LAS ANOMALIAS MÁS FUERTES SE DEBEN AL CONTRASTE LITOLÓGICO DENTRO DEL BASAMENTO. SI EXISTE CONTRASTE DE SUSCEPTIBILIDAD SUFICIENTE ENTRE LOS SEDIMENTOS Y EL BASAMENTO COMPLEJO, QUE ES REFLEJADO EN UN PERFIL ANCHO EL CUAL REFLEJA LA ESTRUCTURA DEL BASAMENTO. ENTONCES EL BASAMENTO ALTO PRODUCE ANOMALIAS LOCALES, PERO LA INTERPRETACIÓN NO-AMBIGUA DE ESTOS ES DIFÍCIL. LOS MODELOS SIMPLIFICADOS PUEDEN SER ÚTILES COMO UNA PRIMERA APROXIMACIÓN DE LA PROFUNDIDAD ESTIMADA, PERO EL MODELO PRISMÁTICO DE VACQUIER ET AL. (1951) PUEDE OFRECER RESULTADOS MÁS ILUSTRATIVOS. PERFILES DE ESTE TIPO PUEDEN SER VOLADOS A UNA ELEVACIÓN CONSTANTE SOBRE EL NIVEL DEL MAR Y SON DE INTERÉS EN LA INDUSTRIA DEL PETRÓLEO.

EL PROBLEMA DE LA FUENTE-SOMBRA DE INTERÉS EN GEOFÍSICA DE MINAS, TRATA POR OTRO LADO, CON CUERPOS MAGNÉTICOS CERCANOS A LA SUPERFICIE.

TERRESTRE, Y, POR CONSIGUIENTE, LOS PERFILES SON GENERALMENTE CONDUCTIDOS A UN PROMEDIO DE ALTURA FIJO SOBRE EL TERRENO, USUALMENTE 500 PIES. LOS TERRENOS ABRUPTOS PUEDEN INTRODUCIR COMPLEJIDADES EN LOS PERFILES PERO EN EL TERRENO PLANO LOS RESULTADOS SON FACILES DE ANALIZAR. LOS RESULTADOS DE QUE LOS MODELOS SON USADOS SOLAMENTE COMO UNA GUIA PARA LA INTERPRETACION CUALITATIVA.

LA FIGURA SIGUIENTE MUESTRA LA ANOMALIA DE INTENSIDAD TOTAL, SOBRE LA FUENTE PUNTUAL, TANTO EN EL HEMISFERIO NORTE COMO EN EL SUR, LA CUAL ILUSTRA LOS RASGOS DE TIPO NORMAL DE PERFIL ENCONTRADO EN LA PRÁCTICA Y LA CORRESPONDENCIA ENTRE LOS HEMISFERIOS.



LA APLICABILIDAD DE LAS APROXIMACIONES DEPENDE DE LA LATITUD GEOMAGNÉTICA Y LAS DIMENSIONES DE LA FUENTE. CUANDO EL ANCHO DEL CUERPO ES PEQUEÑO COMPARADO CON SU PROFUNDIDAD Y ESTE ES ALARGADO EN LA DIRECCIÓN DE POLARIZACIÓN, LA APROXIMACIÓN POLAR DA LA PROFUNDIDAD EN LA CIMA. EN CONSECUENCIA, EL DIQUE VERTICAL SERÍA APROXIMADO POR UNA LÍNEA DE POLOS EN LATITUDES GEOMAGNÉTICAS ALTAS. SIN EMBARGO, EN LATITUDES GEOMAGNÉTICAS BAJAS EL MOMENTO DIPOLAR DEBE HACER UNA GRAN CONTRIBUCIÓN AL CAMPO OBSERVADO. PARA CUERPOS DE EXTENSIÓN LIMITADA EN PROFUNDIDAD, LA APROXIMACIÓN DIPOLAR DA LA PROFUNDIDAD AL CENTRO, EL DIPOLO PUNTUAL APROXIMARÍA A UNA ESFERA, LA LÍNEA DE DIPOLOS A UN CILINDRO HORIZONTAL. LAS FUENTES QUE SON ANCHAS COMPARADAS CON SU PROFUNDIDAD DARÁN PERFILES ANCHOS, Y LA DETERMINACIÓN DE LA PROFUNDIDAD HECHA A PARTIR DE ESTOS VALORES SERÁN GRANDES. ESTE ES TAMBIÉN EL CASO CON FUENTES COMPLEJAS CONSISTIENDO DE VARIOS CUERPOS ANOMALOS CERCANAMENTE ESPACIADOS, CUYOS EFECTOS SE UNEN PARA DAR UNA ANOMALIA SIMPLE. LA PROFUNDIDAD ESTIMADA SERÁ UN VALOR MÁXIMO, ÚTIL PARA DISTINGUIR LA PROFUNDIDAD SOMERA DE LA FUENTE.

LA INTERPRETACIÓN DE ANOMALIAS CARACTERIZADAS POR CONTORNOS CIRCULARES PUEDE SER APROXIMADO USANDO EL MÉTODO DE UN POLO O DIPOLO, MIENTRAS QUE AQUELLOS CON CONTORNOS SEPARADOS EN UNA DIRECCIÓN REQUIERE UNA LÍNEA DE POLOS O LÍNEA DE DIPOLOS. LA SELECCIÓN ENTRE LAS APROXIMACIONES DEL POLO Y DIPOLO ES MEJOR HECHA, CONSIDERANDO LA INTENSIDAD DEL MÍNIMO EN RELACIÓN AL MÁXIMO. (FIGURAS 11, 23, 32, 42, 52, 62, 72) ENFATIZADO QUE LOS MÉTODOS SIRVEN COMO UNA GUIA PARA LA COMPRENSIÓN DE LA GEOLOGÍA Y LOS MÉTODOS TEÓRICOS MÁS ELABORADOS.

APROXIMACION POR POLO PUNTUAL

LA TEORÍA PARA LA ANOMALIA DE INTENSIDAD TOTAL DEBIDO A UN POLO PUNTUAL EN EL HEMISFERIO NORTE HA SIDO PRESENTADA (HENDERSON Y ZIETZ, 1948), PERO ES MODIFICADO POR EL PRESENTE TRABAJO. EN EL HEMISFERIO NORTE, UN CUERPO LIMITADO DE GRAN EXTENSIÓN EN PROFUNDIDAD CUYO EJE LONGITUDINAL ES CERCANO A LA DIRECCIÓN DE POLARIZACIÓN, SI ES POLARIZADO NORMALMENTE PUEDE SER REPRESENTADO POR UN POLO MAGNÉTICO NEGATIVO EN SU EXTREMO

SUPERIOR.

USANDO UN SISTEMA COORDENADO CARTESIANO ORTOGONAL, CON EL EJE Z VERTICAL HACIA ABAJO Y POLO $-m_0$ EN $Z = \zeta$, EL POTENCIAL MAGNÉTICO ANOMALO ΔV ESTA DADO POR:

$$(1) \dots \Delta V = - \frac{m_0}{[x^2 + y^2 + (z - \zeta)^2]^{3/2}}$$

EN EL PLANO XY, LA ANOMALIA DE INTENSIDAD TOTAL $\Delta T(x, y, 0)$ ES:

$$(2) \dots \Delta T(x, y, 0) = -m_0 \cdot \frac{x \cos I \cos \beta + y \cos I \sin \beta - \zeta \sin I}{(x^2 + y^2 + \zeta^2)^{3/2}}$$

DONDE EL EJE X HACE UN ÁNGULO β CON EL NORTE MAGNÉTICO Y EL EJE Y ESTA EN EL SEMI-PLANO NORTE. I ES LA INCLINACIÓN DEL CAMPO TOTAL T . UN PERFIL A LO LARGO DEL EJE Y ESTA DADO POR:

$$(3) \dots \Delta T(y) = m_0 \sin I \cdot \frac{\zeta - ay}{(y^2 + \zeta^2)^{3/2}}$$

DONDE:

$$(4) \dots a = \cot I \sin \beta$$

EL VALOR PICO $\Delta T_{\text{máx}}$ OCURRE CUANDO $\beta = 90^\circ$ EN EL PUNTO.

$$y = -\zeta \alpha_1$$

DONDE:

$$(5) \dots \alpha_1 = \left[(1 + 8 \cot^2 I)^{1/2} - 3 \right] / 4 \cot I$$

Y SU VALOR ES:

$$(6) \dots \Delta T_{\text{máx}} = m_0 \sin I (1 + \alpha_1 \cot I) / \zeta^2 (\alpha_1^2 + 1)^{3/2}$$

EL MÍNIMO VALOR OCURRE EN

$$y = \zeta \gamma_1$$

DONDE:

$$(7) \dots \gamma_1 = \left[3 + (1 + 8 \cot^2 I)^{1/2} \right] / 4 \cot I$$

Y SU VALOR ES:

$$(8) \dots \Delta T_{\text{mín}} = m_0 \sin I (1 - \gamma_1 \cot I) / \zeta^2 (\gamma_1^2 + 1)^{3/2}$$

ASI,

(9).....

$$\Delta T(Y) = 0, \text{ CUANDO } Y = \zeta \tan I$$

DESEAMOS CALCULAR FACTORES QUE, CUANDO SE MULTIPLICAN POR LA DISTANCIA DE LA INTENSIDAD MÁXIMO A LA INTENSIDAD MEDIO-MÁXIMO A LO LARGO DEL PERFIL MERIDIONAL, DAN LA PROFUNDIDAD DEL POLO PUNTUAL. TRANSFORMAMOS NUESTRO ORIGEN AL PICO DE LA ANOMALIA, TOMANDO AL EJE Y A LO LARGO DEL MERIDIANO MAGNÉTICO, OBTENIENDO

(10)....

$$\Delta T(Y') = m_0 \sin I \cdot \frac{\zeta (1 + \alpha_1 \cot I) - Y' \cot I}{[Y'^2 - 2\alpha_1 \zeta Y' + \zeta^2 (1 + \alpha_1^2)]^{3/2}}$$

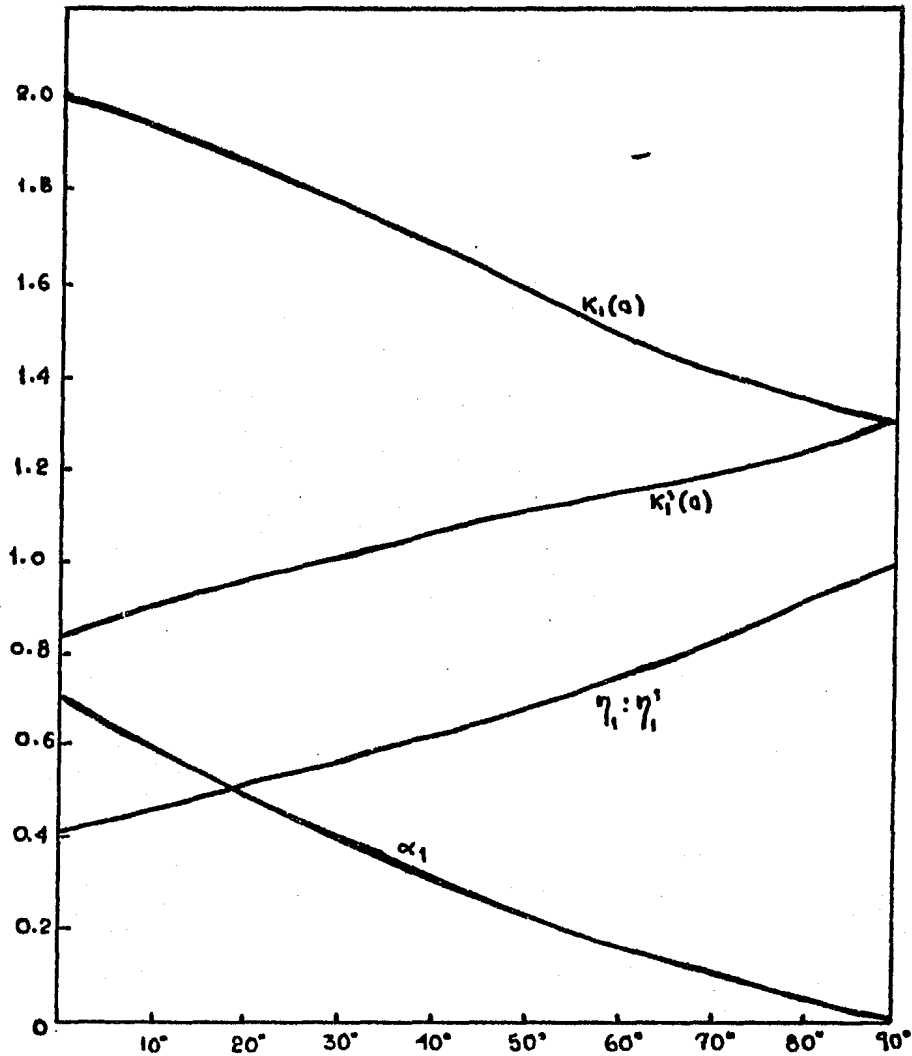
SUSTITUYENDO $Y' = \zeta/K$ EN LA ECUACIÓN (10) E IGUALANDO CON $\frac{1}{2} \Delta T_{\text{máx}}$ A PARTIR DE LA ECUACIÓN (6) OBTENEMOS

(11)....

$$\frac{1 + \alpha_1 \cot I}{2(\alpha_1^2 + 1)^{3/2} K^2} = \frac{K(1 + \alpha_1 \cot I) - \cot I}{[1 - 2\alpha_1 K + K^2(1 + \alpha_1^2)]^{3/2}}$$

ESTA PUEDE SER RESUELTA NUMERICAMENTE PARA DOS RAICES REALES, UNA POSITIVA $K_1(\alpha)$ Y UNA NEGATIVA $-K_1'(\alpha)$. LAS CUALES SE USARAN CON η , LA DISTANCIA DESDE EL MÁXIMO DE ANOMALIA A LA MITAD-MAXIMA EN LA DIRECCIÓN NORTE, Y η' EN LA DIRECCIÓN SUR (EN EL HEMISFERIO NORTE). ESAS DIRECCIONES ESTAN INVERTIDAS EN EL HEMISFERIO SUR DE LA FIGURA PRIMERA.

LA PROFUNDIDAD $\zeta = K_1 \eta = K_1' \eta'$. EL RADIO DE LAS DISTANCIAS MÁXIMA MEDIA $\eta : \eta'$ SOBRE LA ANOMALIA ACTUAL DEBE APROXIMAR EL RADIO TEÓRICO $\eta_1 : \eta_1' = K_1' : K_1$, SI EL POLO PUNTUAL DA UNA REPRESENTACIÓN ADECUADA DE LA SITUACIÓN FÍSICA. EL DESPLAZAMIENTO DEL PICO α_1 , LOS FACTORES $K_1(\alpha)$, $K_1'(\alpha)$ Y EL RADIO $\eta_1 : \eta_1'$ ESTAN DADOS EN LA FIGURA SIGUIENTE:



UNA FAMILIA DE CURVAS EN PERFIL ΔT CORRESPONDIENTES A VARIOS VALORES DE I ES PRESENTADA EN LA FIGURA QUE SIGUE. UNA NOTACIÓN ES USADA SIMILARMENTE EN LOS SUCSECUENTES TRES CASOS, CORRESPONDIENTES A LA LINEA DE POLOS, DIPOLO Y LINEA DE DIPOLOS, RESPECTIVAMENTE.

PUESTO QUE UN MAPA AEROMAGNÉTICO DE CONTORNOS ES HECHO EN LA PRÁCTICA, ESTA FUE UNA IDEA PARA DETERMINAR LOS FACTORES K PARA EL CASO $\beta = 90^\circ$ CORRESPONDIENTES A PERFILES TOMADOS A PARTIR DEL MÁXIMO DE ANOMALIA, A LO LARGO DEL MERIDIANO MAGNÉTICO. EN UN CASO PRÁCTICO DADO, LAS DISTANCIAS η_1 Y η_1' SON MEDIDAS SOBRE UN PERFIL MERIDIONAL. ESOS PUEDEN SER MULTIPLICADOS POR LOS FACTORES $K_1(a)$, $K_1'(a)$, RESPECTIVAMENTE PARA DAR DOS DETERMINACIONES DE PROFUNDIDAD. SI EL MÁXIMO

ES DIFÍCIL DE LOCALIZAR, PODEMOS MEDIR LA DISTANCIA η'' ENTRE LOS PUNTOS DE INTENSIDAD MEDIA-MÁXIMA Y DETERMINAR $\zeta = k_i'' \eta''$ DONDE

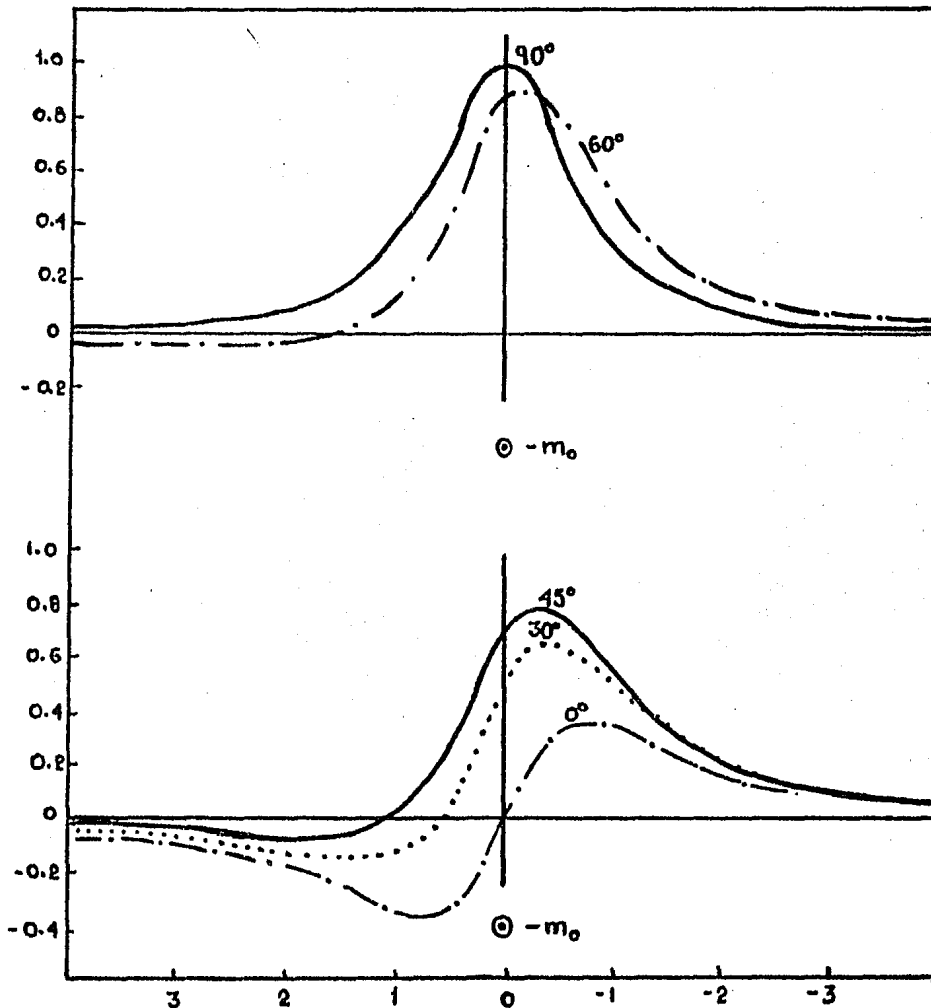
$$(12) \dots \quad k_i(a) = \frac{k_i(a) k_i'(a)}{k_i(a) + k_i'(a)}$$

UN PERFIL TRANSVERSAL ($\beta = 180^\circ$) A TRAVÉS DEL MÁXIMO PUEDE SERVIR PARA CHECAR QUE ESTE ES SIMÉTRICO. EL ANCHO ENTRE LOS PUNTOS DE INTENSIDAD MÁXIMA-MEDIA η_c'' POR UNIDAD DE PROFUNDIDAD ESTA DADA POR:

$$(13) \dots \quad \eta_c'' = 1.533 (1 + \alpha_i^2)^{1/2}$$

Y, POR LO TANTO, EL FACTOR DE PROFUNDIDAD K_c'' ESTA DADO POR:

$$(14) \dots \quad K_c'' = 0.652 (1 + \alpha_i^2)^{-1/2}$$



EL TRABAJO DE HENDERSON Y ZIETZ (1948) DEBE SER TOMADO EN CONSIDERACIÓN. ESTOS AUTORES DEFINEN EL MÁXIMO DE ANOMALIA EN UN PUNTO DE INTENSIDAD MEDIA DEL MÁXIMO SOBRE LINEAS EN CUALQUIER DIRECCIÓN PASANDO DIRECTAMENTE SOBRE EL PUNTO POLO. DE ESAS LINEAS, SOLAMENTE LA QUE PASA POR EL MERIDIANO MAGNÉTICO A TRAVÉS DEL MÁXIMO ABSOLUTO DE LA ANOMALÍA, DANDO LOS RESULTADOS PRESENTADOS AL RESPECTO. PARA LAS OTRAS DIRECCIONES, EL MÁXIMO ABSOLUTO ESTA SITUADO BAJO LA LINEA AL SUR (EN EL HEMISFERIO NORTE).

EN EL HEMISFERIO SUR MAGNÉTICO, NUESTRO CUERPO TIPO DEBE SER REPRESENTADO POR UN POLO MAGNÉTICO POSITIVO. EL POTENCIAL MAGNÉTICO ES AHORA

$$(15) \dots \Delta V = \frac{m_0}{[x^2 + y^2 + (z - \zeta)^2]^{3/2}}$$

Y PARA UN PERFIL A LO LARGO DEL MERIDIANO (EJE Y),

$$(16) \dots \Delta T(Y) = m_0 \operatorname{sen} \left| \frac{\zeta + \sigma Y}{(Y^2 + \zeta^2)^{3/2}} \right|$$

ESTAS EXPRESIONES SON MERAMENTE UNA IMAGEN REFLEJO DE LAS DEL HEMISFERIO NORTE. COMO UN RESULTADO, PODEMOS USAR LOS RESULTADOS DEL HEMISFERIO NORTE EN EL HEMISFERIO SUR, CUIDANDO AL TOMAR NUESTRAS DISTANCIAS DEL MÁXIMO A LA MEDIA-MÁXIMA η EN LA DIRECCIÓN SUR Y η' EN LA DIRECCIÓN NORTE.

LÍNEA DE POLOS

LA TEORÍA PARA ESTA APROXIMACIÓN ES TAMBIÉN DADA POR HENDERSON Y ZIETZ (1948), QUIENES DAN FACTORES

$$(17) \dots K_2(\sigma) = \frac{a}{2b} \left[1 + \left(\frac{3b-1}{b-1} \right)^{1/2} \right]$$

DONDE:

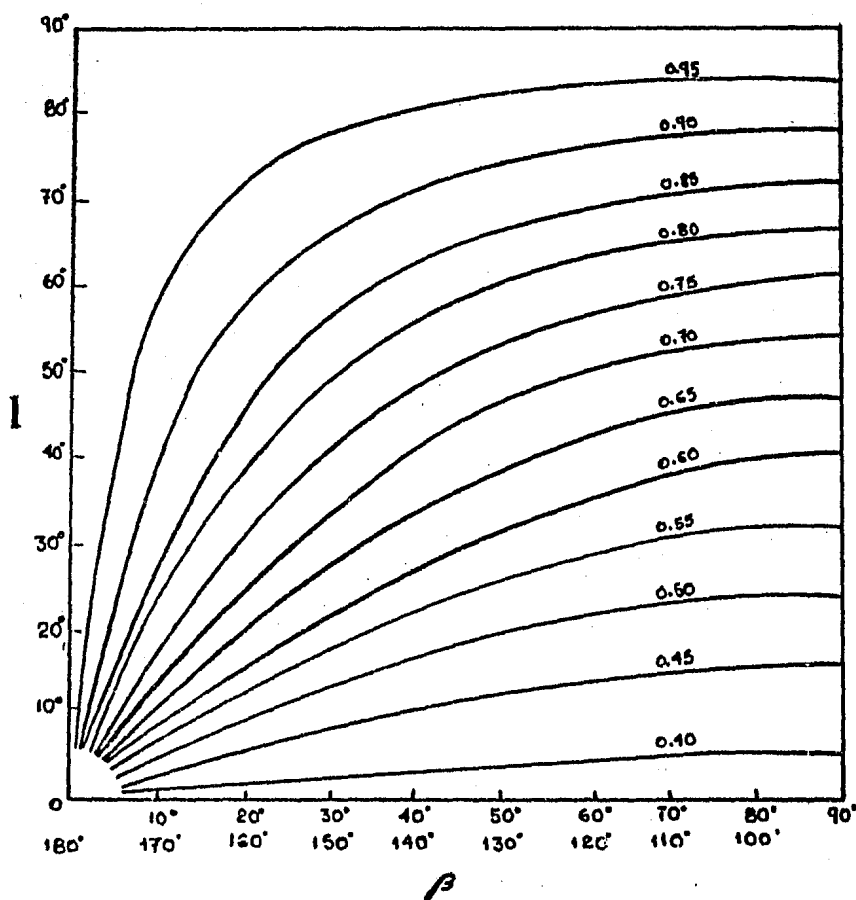
$$(18) \dots b = (a^2 + 1)^{1/2}$$

COMO UNA FUNCIÓN DE LA INCLINACIÓN DEL CAMPO TOTAL Y UN ÁNGULO β ENTRE EL CUERPO Y EL NORTE MAGNÉTICO. ESOS FACTORES SON PARA LA

DETERMINACIÓN DE LA PROFUNDIDAD USANDO PERFILES PERPENDICULARES AL RUMBO DE LA ANOMALÍA. LA DISTANCIA MEDIA-MÁXIMA η DEBE SER TOMADA HACIA EL NORTE EN EL HEMISFERIO NORTE Y HACIA EL SUR EN EL HEMISFERIO SUR. PARA LA OTRA DISTANCIA MEDIA-MÁXIMA

$$(19) \dots -K_2'(a) = \frac{a}{2b} \left[1 - \left(\frac{3b-1}{b-1} \right)^{1/2} \right]$$

LOS VALORES DE $K_2'(a)$ COMO UNA FUNCIÓN DE I Y β ESTAN DADOS EN LA FIGURA SIGUIENTE:



LA RELACION DE LAS DISTANCIAS MEDIA-MÁXIMA ESTA DADA POR

$$(20) \dots \eta_2 : \eta_2' = \left[(3b-1)^{1/2} - (b-1)^{1/2} \right] / \left[(3b-1)^{1/2} + (b-1)^{1/2} \right]$$

Y ESTÁ GRAFICADA EN LA FIGURA SIGUIENTE. ÉSTA NOS PERMITE COMPARAR

EL RADIO MEDIDO CON UN VALOR TEÓRICO Y ASÍ VER EL GRADO DE APROXIMACIÓN OBTENIDO.

LA REFLEXIÓN EN EL ORIGEN PARA LOS PERFILES DE ANOMALIA EN EL HEMISFERIO SUR SE MUESTRA FACILMENTE PARA ESTE CASO.

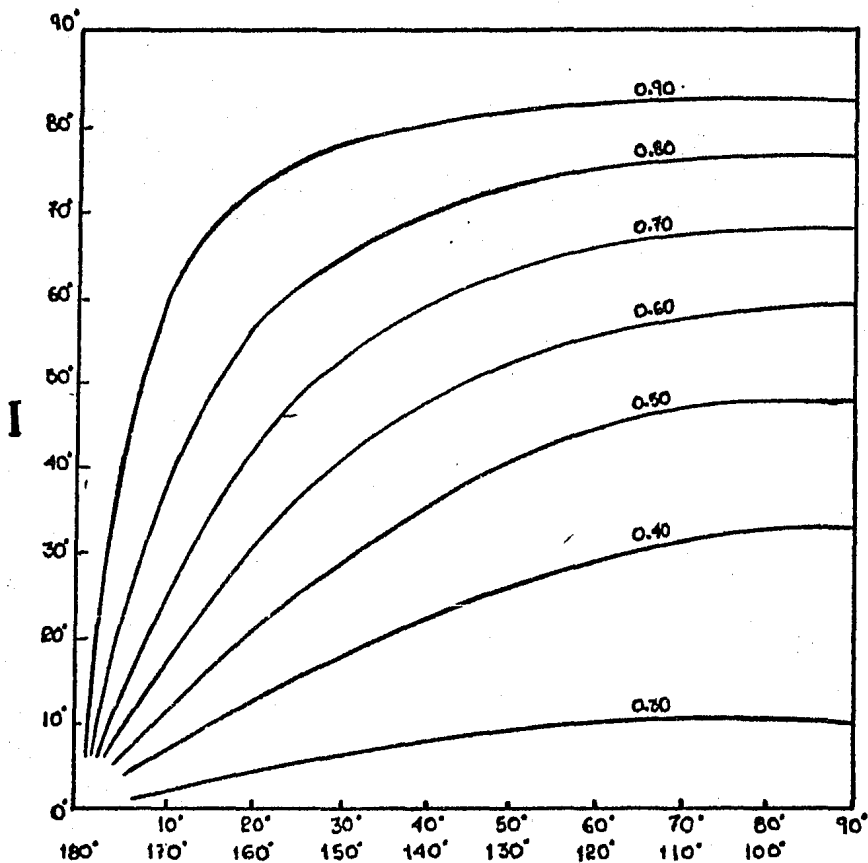
EL DESPLAZAMIENTO DEL PICO DE ANOMALIA DESDE UNA POSICIÓN DIRECTAMENTE SOBRE LA FUENTE ESTA EN LA DIRECCIÓN NEGATIVA Y DE CANTIDAD

$$(21) \dots \alpha_2 = (b-1)/a$$

Y EL VALOR DE PICO

$$(22) \dots \Delta T_{\text{máx}} = \frac{2m_1 \text{sen } I}{\gamma} \cdot \frac{1 - a\alpha_2}{1 + \alpha_2^2}$$

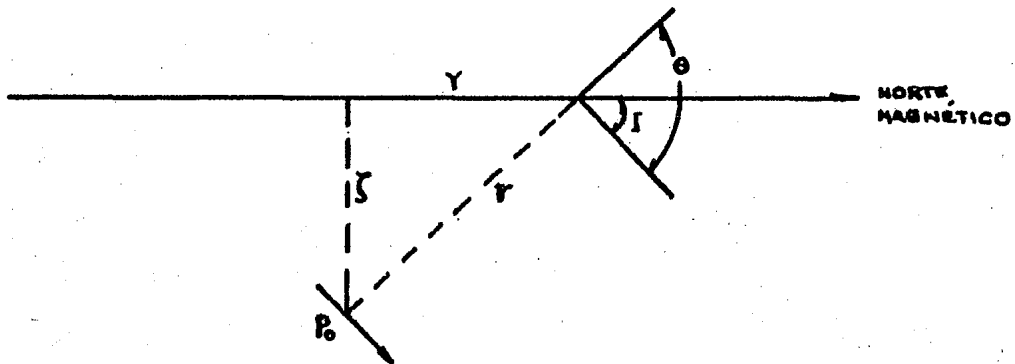
DONDE m_1 ES LA INTENSIDAD DEL POLO POR UNIDAD DE LONGITUD.



DIPOLO PUNTUAL

ASUMAMOS UN MOMENTO DIPOLAR P_0 EN LA DIRECCIÓN DEL CAMPO TERRESTRE A UNA PROFUNDIDAD ζ CERCA DEL PLANO DE OBSERVACIONES (VER FIGURA SIG.).

SUPONGASE UN MOMENTO DIPOLAR P_0 EN LA DIRECCIÓN DEL CAMPO TERRESTRE A UNA PROFUNDIDAD ζ CERCA AL PLANO DE OBSERVACIONES. FIGURA SIGUIENTE:



EL POTENCIAL MAGNÉTICO ANOMALO EN EL HEMISFERIO NORTE PARA UN PERFIL MERIDIONAL PASANDO DIRECTAMENTE SOBRE LA FUENTE ES:

$$(23) \dots \Delta V_3 = P_0 \frac{Y \cos I - \zeta \operatorname{sen} I}{(Y^2 + \zeta^2)^{3/2}}$$

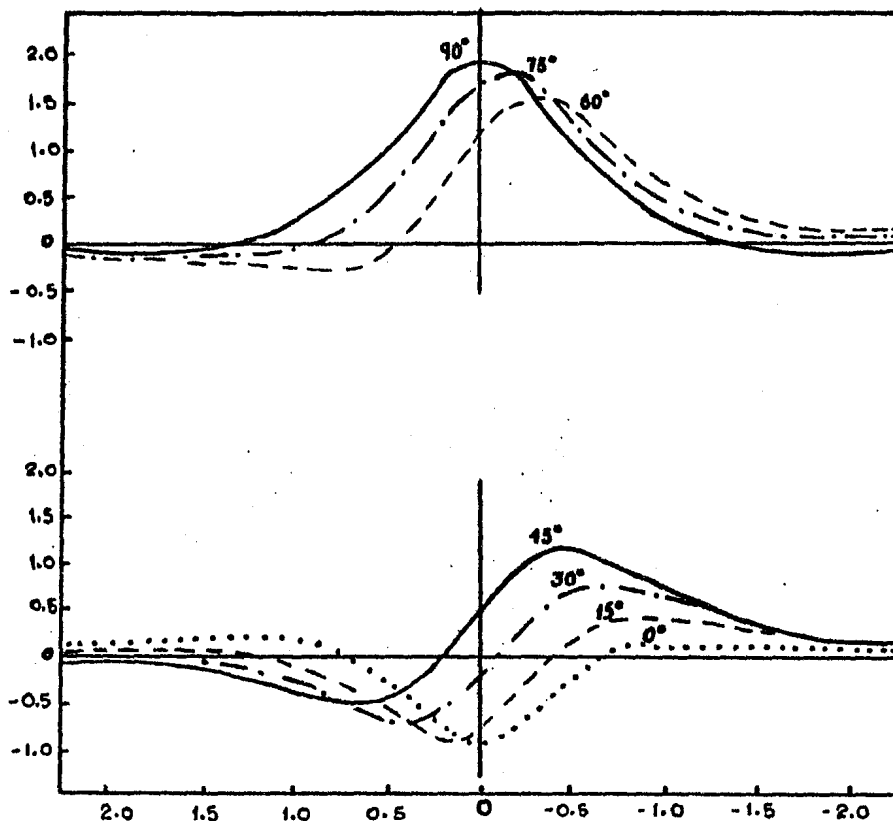
EXPRESADO EN UNIDADES DE PROFUNDIDAD, LA ANOMALIA DE INTENSIDAD TOTAL ES

$$(24) \dots \Delta T_3 = f_3(\alpha) P_0 / \zeta^3$$

DONDE:

$$(25) \dots f_3(\alpha) = \left[(3 \operatorname{sen}^2 I - 1) - 6 \operatorname{sen} I \cos I \cdot \alpha + (3 \cos^2 I - 1) \alpha^2 \right] / (1 + \alpha^2)^{3/2}$$

A PARTIR DE ESTA EXPRESIÓN, $f_3(\alpha)$ HA SIDO CALCULADO PARA VALORES REPRESENTATIVOS DE I Y LOS RESULTADOS SE PRESENTAN EN LA SIGUIENTE FIGURA:



EL REFLEJO DE ESTA IMAGEN EN Y DE LAS CURVAS ES ADECUADO PARA SU APLICACION EN EL HEMISFERIO SUR.

PARA DETERMINAR EL CAMBIO DEL MÁXIMO DE ANOMALIA DESDE LA POSICIÓN DIRECTA SOBRE LA FUENTE, HACEMOS:

$$\frac{\partial}{\partial \alpha} (\Delta T) = 0, \text{ i.e.}$$

$$(26) \dots (3 \cos^2 I - 1) \alpha^3 - (8 \sin I \cos I) \alpha^2 + (7 \sin^2 I - 3) \alpha + 2 \sin I \cos I = 0$$

LA RAIZ REAL NEGATIVA DE ESTA ECUACION DA EL VALOR REQUERIDO $-\alpha_3$ EN EL MÁXIMO DE LA ANOMALIA. ESTO HA SIDO CALCULADO PARA UN NÚMERO DE VALORES DE I Y LOS RESULTADOS SE DAN EN LA FIGURA QUE SIGUE.

LOS FACTORES DE PROFUNDIDAD DE LA INTENSIDAD MEDIA-MÁXIMA $K_3(0)$ Y $K_3^2(0)$ FUERON OBTENIDOS PARA VARIOS VALORES DE I POR CÁLCULO DEL VALOR MÁXIMO $f_3(-\alpha_3)$. LA MITAD DE ESTE VALOR ES ENTONCES SITUADO EN

LA EXPRESION PARA $f_3(\alpha)$ Y EL RESULTADO DE LA ECUACION RESUELTA PARA DOS RAICES REALES β_3 Y β_3' ($\beta_3 > \beta_3'$).

ENTONCES:

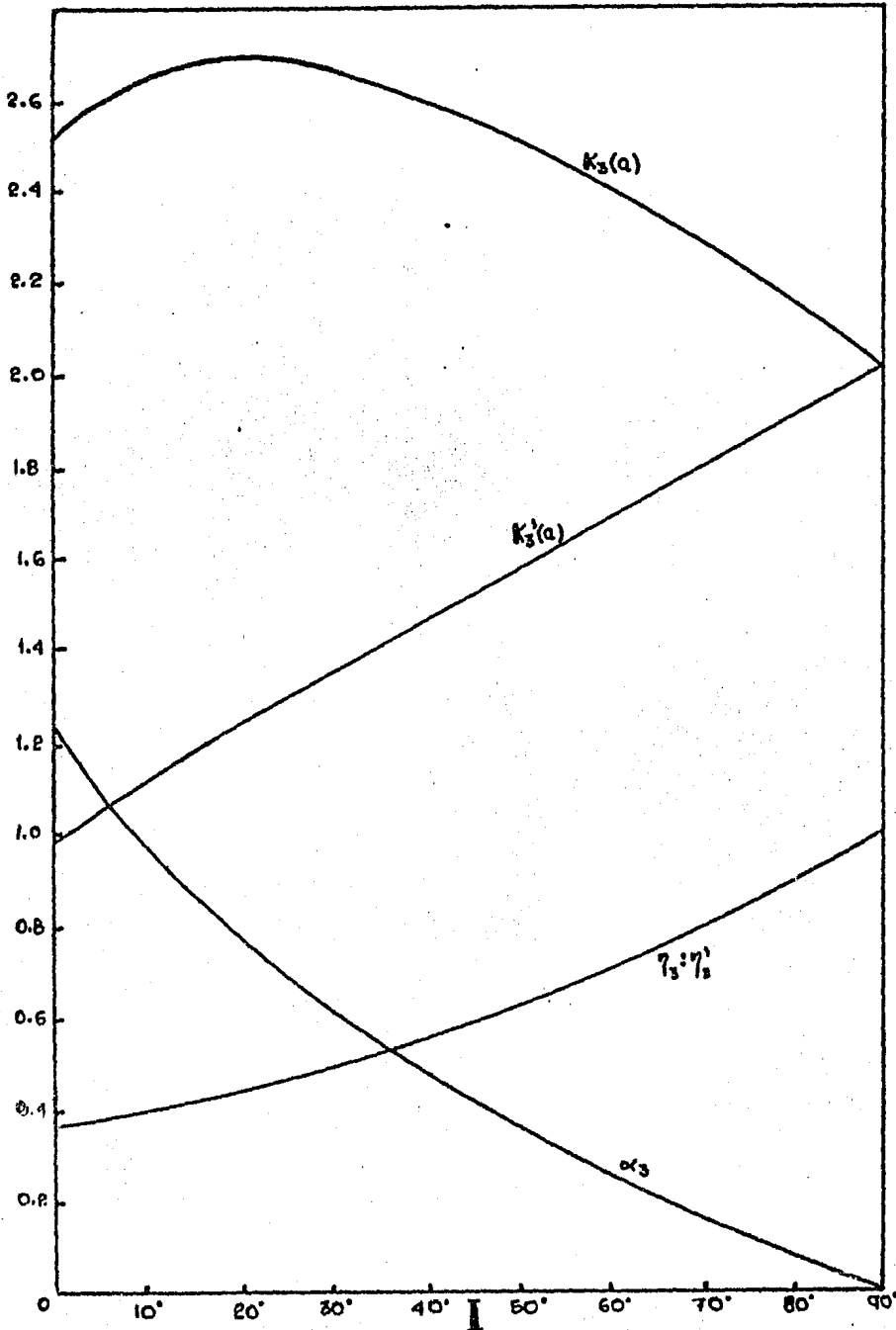
$$K_3(0) = (\beta_3 + \alpha_3)^{-1}$$

$$K_3'(0) = -(\alpha_3 + \beta_3')^{-1}$$

(27)....

$$\eta_3 : \eta_3' = -(\beta_3 + \alpha_3) / (\alpha_3 + \beta_3')$$

ESTOS FACTORES ESTAN DADOS EN LA SIGUIENTE FIGURA:



LÍNEA DE DIPOLOS

CONSIDERE UNA LÍNEA DE DIPOLOS MAGNÉTICOS A LA PROFUNDIDAD ζ CUYO MOMENTO DIPOLAR POR UNIDAD DE LONGITUD ES P_1 EN LA DIRECCIÓN DEL CAMPO TERRESTRE Y LA CUAL FORMA UN ÁNGULO β CON EL NORTE MAGNÉTICO. NOSOTROS TENEMOS PARA EL POTENCIAL MAGNÉTICO EN EL HEMISFERIO NORTE:

$$(28) \dots \Delta V_1 = 2P_1 \left[Y \cos \beta \sin \beta + (Z - \zeta) \sin \beta \right] / \left[Y^2 + (\zeta - Z)^2 \right]$$

CUANDO LA DIRECCIÓN Y ES NORMAL AL ÁNGULO FORMADO Y POSITIVO EN EL SEMIPLANO NORTE. LA ANOMALIA DE INTENSIDAD TOTAL PARA UN PERFIL A LO LARGO DEL EJE Y ESTA DADA POR:

$$(29) \dots \Delta T_1 = 2P_1 \cos^2 \beta \sin^2 \beta f_4(\alpha) / \zeta^2$$

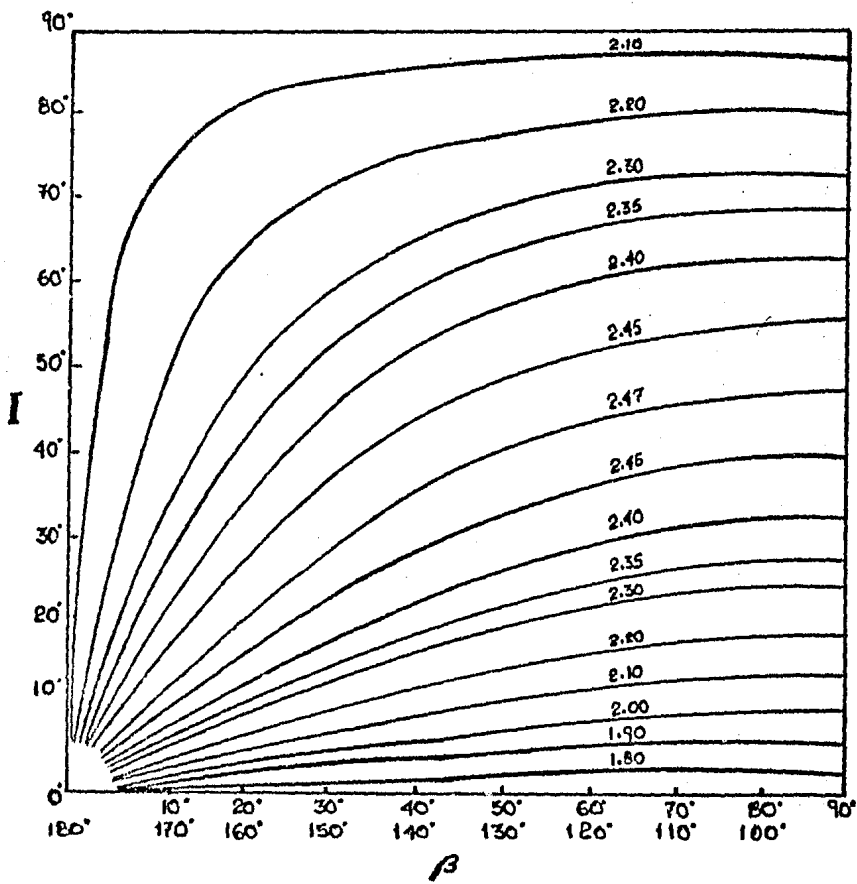
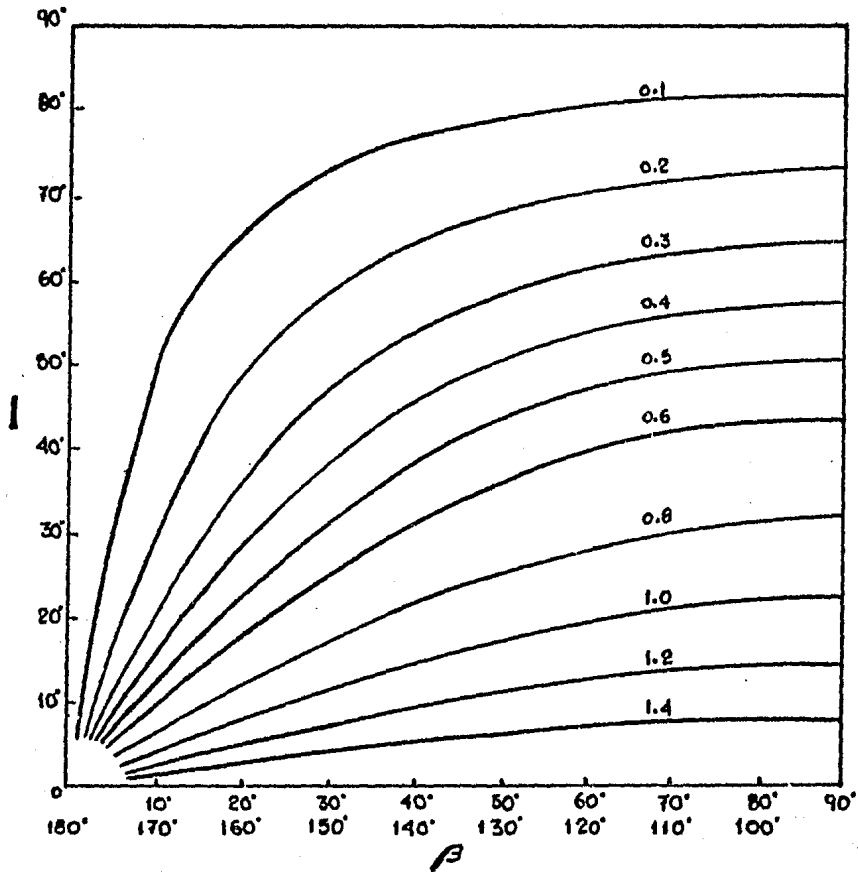
DONDE:

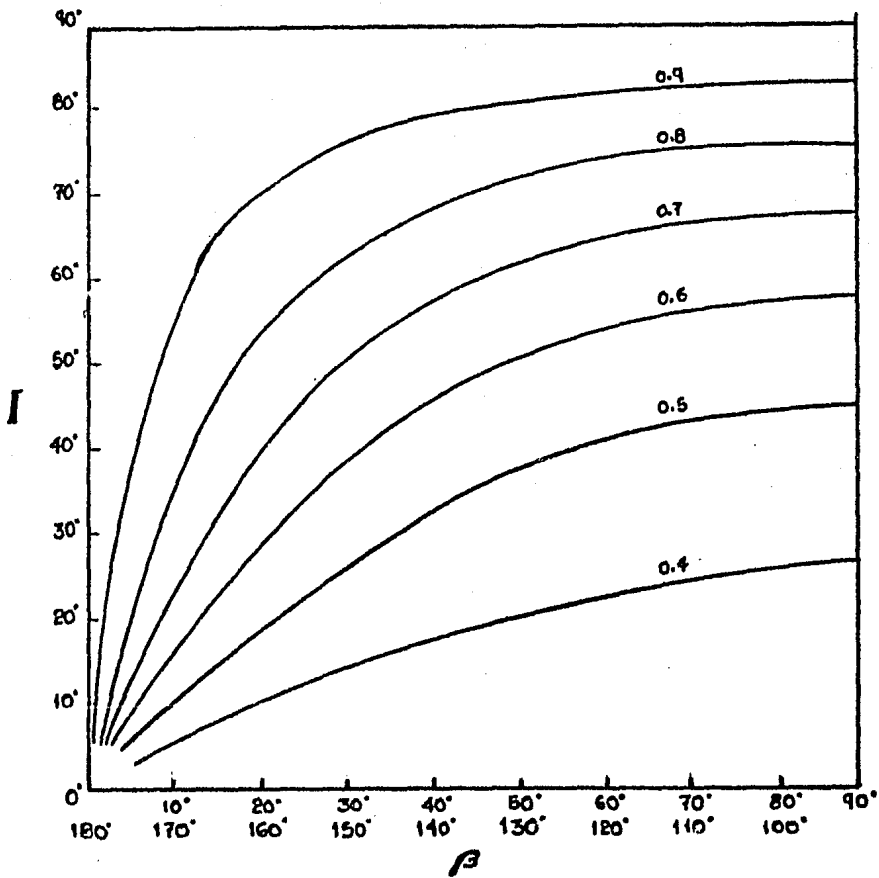
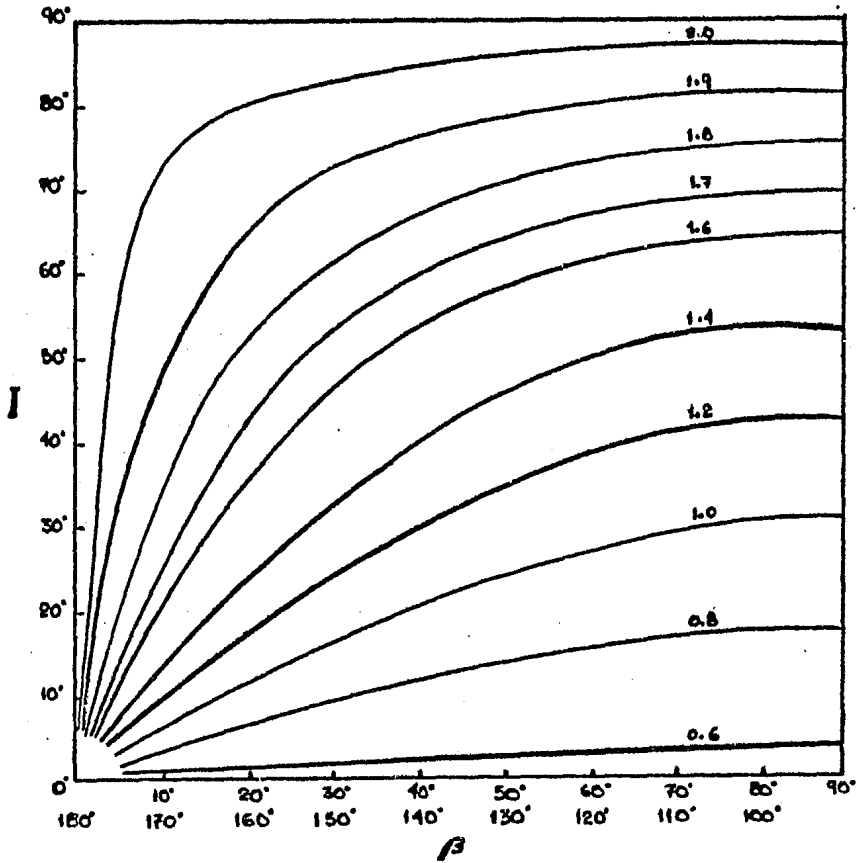
$$(30) \dots f_4(\alpha) = \left[(\alpha^2 - 1)(1 - q^2) - 4\alpha q \right] / (1 + \alpha^2)^2$$

Y:

$$(31) \dots q = \tan \beta \csc \beta = \alpha^{-1}$$

EL MÉTODO DE CÁLCULO DE LOS FACTORES DE PROFUNDIDAD DE LA INTENSIDAD MEDIA-MÁXIMA ES EL MISMO QUE PARA EL CASO DEL PUNTO DIPOLAR, SIENDO q EL PARÁMETRO UTILIZADO. FAMILIAS DE CURVAS DE LA COMPONENTE q SON USADAS PARA MOSTRAR LOS FACTORES EN LA MISMA FORMA QUE PARA LA LÍNEA DE DIPOLOS. LOS RESULTADOS PARA α_1 , $K_1(q)$, $K_1^2(q)$ Y η_1 ; η_1^2 SE MUESTRAN EN LAS CUATRO FIGURAS SIGUIENTES RESPECTIVAMENTE.

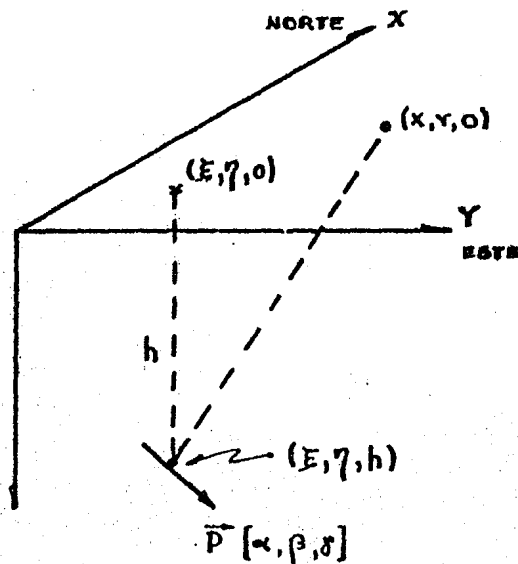




COMPONENTES MAGNETICAS PARA ALGUNOS MODELOS

LAS EXPRESIONES ANALITICAS PARA LAS TRES COMPONENTES DEL CAMPO MAGNETICO ANOMALO SON DEDUCIDAS PARA 3 FUENTES: EL DIPOLO PUNTUAL, LA LINEA DE DIPOLOS Y EL PRISMA VERTICAL.

UN SISTEMA DE COORDENADAS CARTESIANAS ORTOGONAL ES SELECCIONADO TAL QUE EN EL PLANO DE OBSERVACION EL EJE X APUNTE HACIA EL NORTE, EL EJE Y HACIA EL ESTE Y EL EJE Z VERTICALMENTE HACIA ABAJO. (FIGURA SIGUIENTE):



DIPOLO PUNTUAL

CONSIDEREMOS UN MOMENTO DIPOLAR \vec{P} SITUADO EN $Q(\xi, \eta, h)$ Y CARACTERIZADO POR LOS COSENIOS DIRECTORES (α, β, δ) , (FIGURA ANTERIOR).

EL POTENCIAL MAGNETICO ANOMALO EN UN PUNTO (x, y, z) DEBIDO AL DIPOLO ESTA DADO POR: $\Delta V = -P \frac{\partial}{\partial s} \left(\frac{1}{r} \right)$

DONDE:

$$\frac{\partial}{\partial s} = \alpha \frac{\partial}{\partial x} + \beta \frac{\partial}{\partial y} + \delta \frac{\partial}{\partial z} \quad ; \quad r = \left[(x-\xi)^2 + (y-\eta)^2 + (z-h)^2 \right]^{1/2}$$

POR LO TANTO, TOMANDO LAS DERIVADAS

$$\Delta V = \frac{P}{r^3} \left[\alpha(x-\xi) + \beta(y-\eta) + \delta(z-h) \right]$$

PODEMOS AHORA, OBTENER LAS COMPONENTES MAGNETICAS:

$$1 \dots H_x = -\frac{\partial}{\partial x} (\Delta V) = \frac{P}{r^5} \left[3(x-x) \left\{ \alpha(x-x) + \beta(y-y) + \gamma(z-h) \right\} - \alpha r^2 \right]$$

$$2 \dots H_y = -\frac{\partial}{\partial y} (\Delta V) = \frac{P}{r^5} \left[3(y-y) \left\{ \alpha(x-x) + \beta(y-y) + \gamma(z-h) \right\} - \beta r^2 \right]$$

$$3 \dots H_z = -\frac{\partial}{\partial z} (\Delta V) = \frac{P}{r^5} \left[3(z-h) \left\{ \alpha(x-x) + \beta(y-y) + \gamma(z-h) \right\} - \gamma r^2 \right]$$

$$4 \dots H_x(x, y, 0) = \frac{P}{r^5} \left\{ 3x(\alpha x + \beta y - \gamma h) - \alpha r^2 \right\}$$

$$5 \dots H_y(x, y, 0) = \frac{P}{r^5} \left\{ 3y(\alpha x + \beta y - \gamma h) - \beta r^2 \right\}$$

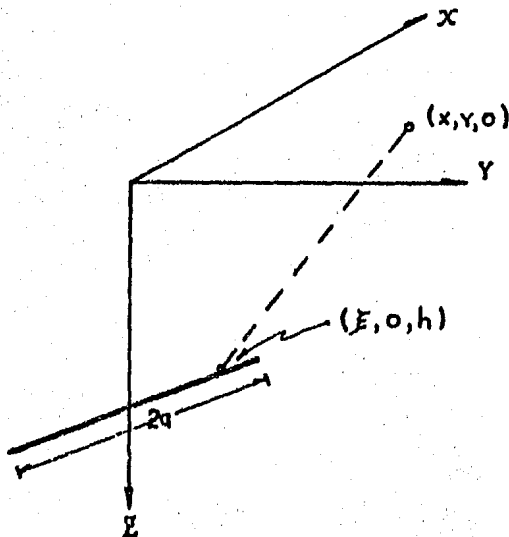
$$6 \dots H_z(x, y, 0) = \frac{P}{r^5} \left\{ -3h(\alpha x + \beta y - \gamma h) - \gamma r^2 \right\}$$

DONDE:

$$r = (x^2 + y^2 + h^2)^{1/2}$$

LINEA DE DIPOLOS

CONSIDEREMOS UNA LINEA CONTINUA DE DIPOLOS DE LONGITUD $2a$, A UNA PROFUNDIDAD h DEBAJO DEL PLANO X-Y. FIGURA SIGUIENTE:



EL PUNTO MEDIO DE LA LINEA ES TOMADO COMO $(0,0,h)$. CONSIDEREMOS I_L EL MOMENTO MAGNÉTICO POR UNIDAD DE LONGITUD, TENIENDO COMO COSEÑOS DIRECTORES A (α, β, γ) .

EL POTENCIAL MAGNÉTICO ANOMALO EN UN PUNTO (X,Y,Z) DEBIDO A LA LINEA DE DIPOLOS ESTA DADO POR:

$$\Delta V = \int_{-a}^a \frac{\vec{I}_L \cdot \vec{r}}{r^3} d\xi$$

DONDE:

$$\vec{I}_L \cdot \vec{r} = I_L \{ \alpha(x-\xi) + \beta Y + \gamma(z-h) \}$$

$$r^2 = \{ (x-\xi)^2 + Y^2 + (z-h)^2 \}^{1/2}$$

Y: ξ ES UNA LONGITUD A LO LARGO DEL EJE X.

CAMBIANDO LA VARIABLE, OBTENEMOS LA SIGUIENTE EXPRESIÓN:

$$\Delta V = I_L \left[\alpha \int_{x-a}^{x+a} \frac{u du}{(u^2 + r^2)^{3/2}} + \{ \beta Y + \gamma(z-h) \} \int_{x-a}^{x+a} \frac{du}{(u^2 + r^2)^{3/2}} \right]$$

DONDE: $u = x - \xi$

$$r^2 = Y^2 + (z-h)^2$$

SABEMOS QUE:

$$\int \frac{du}{(u^2 + r^2)^{3/2}} = \frac{1}{r^2} \frac{u}{(u^2 + r^2)^{1/2}}$$

$$Y: \int \frac{u du}{(u^2 + r^2)^{3/2}} = - \frac{1}{(u^2 + r^2)^{1/2}}$$

POR CONSIGUIENTE, DESPUES DE ALGUNAS SIMPLIFICACIONES, OBTENEMOS:

$$\Delta V = \left[\frac{I_L}{r^2} \frac{ \{ \beta Y + \gamma(z-h) \} u - \alpha r^2 }{ (u^2 + r^2) } \right]_{x-a}^{x+a}$$

TOMANDO DERIVADAS CON RESPECTO A X, Y, Z , OBTENEMOS LAS COMPONENTES MAGNÉTICAS. EN $Z=0$ LAS COMPONENTES MAGNÉTICAS ESTAN DADAS POR:

$$H_x(x, Y, 0) = \left[I_L \frac{ \alpha u + \beta Y - \gamma h }{ u^2 + Y^2 + h^2 } \right]_{x-a}^{x+a}$$

7....

$$8.... H_y(x,y,0) = \left[\frac{I_L}{(r^2+h^2)r} \left\{ \frac{\alpha r (r^2+h^2)}{r^2} - \frac{(\beta r - \gamma h) \gamma u}{r^2} + \left(\beta - \frac{2\gamma(\beta r - \gamma h)}{(r^2+h^2)} \right) u \right\} \right]_{x+a}^{x-a}$$

$$9.... H_z(x,y,0) = \left[\frac{I_L}{(r^2+h^2)r} \left\{ \frac{-\alpha h (r^2+h^2)}{r^2} + \frac{(\beta r - \gamma h) h u}{r^2} + \left(\gamma + \frac{2h(\beta r - \gamma h)}{(r^2+h^2)} \right) u \right\} \right]_{x+a}^{x-a}$$

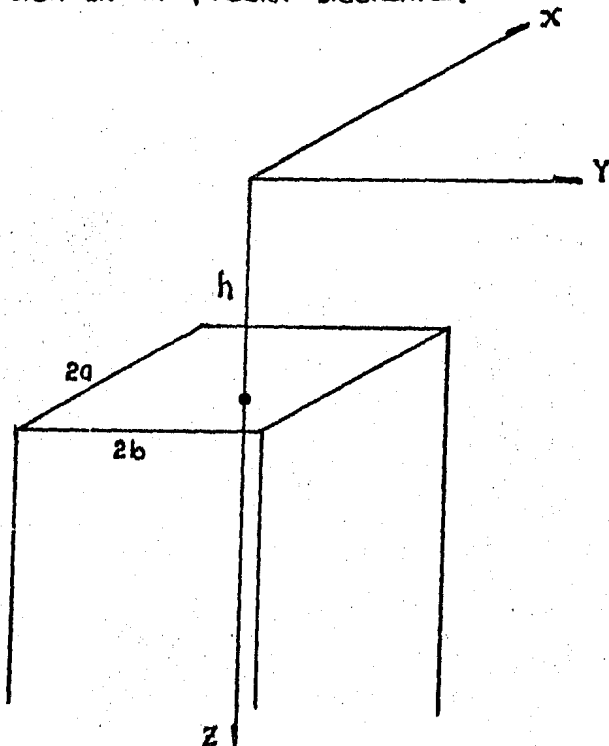
DONDE:

$$r = (u^2 + y^2 + h^2)^{1/2}$$

CUERPOS DE FORMA PRISMÁTICA

CONSIDEREMOS UN CUERPO RECTANGULAR DE FORMA PRISMÁTICA, HOMOGENEAMENTE MAGNETIZADO, A UNA PROFUNDIDAD h BAJO EL PLANO DE OBSERVACIÓN, LA SUPERFICIE SUPERIOR EN LA CUAL ESTA UN PLANO HORIZONTAL Y LOS LADOS VERTICALES DE EXTENSIÓN INFINITA.

LAS DIMENSIONES HORIZONTALES DEL PRISMA PARALELAS AL EJE "Y" Y AL EJE "X" SON TOMADAS COMO $2a$ Y $2b$ RESPECTIVAMENTE. EL VECTOR DE MAGNETIZACIÓN I_M (MOMENTO MAGNETICO POR UNIDAD DE VOLUMEN) ASOCIADO CON EL CUERPO ESTA CARACTERIZADO POR LOS COSENO DIRECTORES (α, β, γ) . SE ILUSTRÁ ESTA DESCRIPCIÓN EN LA FIGURA SIGUIENTE:



AFFLECK (1958) CONSIDERO LAS INTERRELACIONES ENTRE LAS COMPONENTES DE ANOMALIA MAGNÉTICA Y DEMOSTRO QUE LAS COMPONENTES MAGNÉTICAS PUEDEN SER EXPRESADAS COMO:

$$10.... \quad H_x = T_{xx} + T_{xy} + T_{xz}$$

$$11.... \quad H_y = T_{yx} + T_{yy} + T_{yz}$$

$$12.... \quad H_z = T_{zx} + T_{zy} + T_{zz}$$

DONDE T_{mn} REPRESENTA LA COMPONENTE DE LA INTENSIDAD EN LA DIRECCIÓN -m CAUSADA POR LA MAGNETIZACIÓN SOLAMENTE POR LA COMPONENTE EN LA DIRECCIÓN -n.

HAGAMOS A I_x, I_y, I_z LAS COMPONENTES DEL VECTOR DE MAGNETIZACIÓN A LO LARGO DE LOS EJES X, Y, Z, RESPECTIVAMENTE. AFFLECK (1958) DEDUJO LAS SIGUIENTES RELACIONES:

$$\frac{T_{xy}}{I_y} = \frac{T_{yx}}{I_x} \dots\dots 13$$

$$\frac{T_{xz}}{I_z} = \frac{T_{zx}}{I_x} \dots\dots 14$$

$$\frac{T_{yz}}{I_z} = \frac{T_{zy}}{I_y} \dots\dots 15$$

$$\frac{T_{xx}}{I_x} + \frac{T_{yy}}{I_y} + \frac{T_{zz}}{I_z} = 0 \dots\dots 16$$

POR CONSIGUIENTE NECESITAMOS CALCULAR SÓLO 5 DE LOS 9 T_{mn} 'S EN ORDEN PARA OBTENER LAS COMPONENTES MAGNÉTICAS.

BHATTACHARYA (1966) DEDUJO LAS SIGUIENTES EXPRESIONES, PARA EL CASO DE UN PRISMA CON LADOS VERTICALES INFINITOS:

$$17.... \quad T_{xx}^s = \frac{T_{xx}}{I_x} = -\tan^{-1} \left(\frac{E\eta}{E^2 + r_0h + h^2} \right) \left| \begin{array}{l} F_u \eta_u \\ F_d \eta_d \end{array} \right.$$

$$18.... \quad T_{zz}^s = \frac{T_{zz}}{I_z} = \tan^{-1} \left(\frac{E\eta}{r_0h} \right) \left| \begin{array}{l} F_u \eta_u \\ F_d \eta_d \end{array} \right.$$

$$19.... \quad T_{xy}^s = \frac{T_{xy}}{I_y} = -\log(r_0 + h) \left| \begin{array}{l} F_u \eta_u \\ F_d \eta_d \end{array} \right.$$

$$20 \dots \quad T_{xz}^1 = \frac{T_{xz}}{I_z} = -\frac{1}{2} \log\left(\frac{r_0 + \eta}{r_0 - \eta}\right) \begin{array}{l} F_u \quad \eta_u \\ F_l \quad \eta_l \end{array}$$

$$21 \dots \quad T_{zy}^1 = \frac{T_{zy}}{I_y} = -\frac{1}{2} \log\left(\frac{r_0 + \xi}{r_0 - \xi}\right) \begin{array}{l} F_u \quad \eta_u \\ F_l \quad \eta_l \end{array}$$

DONDE:

$$r_0^2 = \xi^2 + \eta^2 + h^2 \quad ; \quad \begin{array}{l} F_u = a - x \\ F_l = -a - x \end{array} \quad ; \quad \begin{array}{l} \eta_u = b - y \\ \eta_l = -b - y \end{array}$$

ASI, USANDO LAS ECUACIONES 10 A 21, OBTENEMOS LAS COMPONENTES MAGNÉTICAS DEBIDO A UN PRISMA INFINITO

$$22 \dots \quad H_x(x, y, 0) = \int_V \left[-\alpha \tan^{-1}\left(\frac{\xi \eta}{\xi^2 + \eta^2 + h^2}\right) - \beta \log(r_0 + h) - \frac{\gamma}{2} \log\left(\frac{r_0 + \eta}{r_0 - \eta}\right) \right] \begin{array}{l} F_u \quad \eta_u \\ F_l \quad \eta_l \end{array}$$

$$23 \dots \quad H_y(x, y, 0) = \int_V \left[-\alpha \log(r_0 + h) - \beta \tan^{-1}\left(\frac{\xi \eta}{\eta^2 + r_0 h + h^2}\right) - \frac{\gamma}{2} \log\left(\frac{r_0 + \xi}{r_0 - \xi}\right) \right] \begin{array}{l} F_u \quad \eta_u \\ F_l \quad \eta_l \end{array}$$

$$24 \dots \quad H_z(x, y, 0) = \int_V \left[-\frac{\alpha}{2} \log\left(\frac{r_0 + \eta}{r_0 - \eta}\right) - \frac{\beta}{2} \log\left(\frac{r_0 + \xi}{r_0 - \xi}\right) + \gamma \tan^{-1}\left(\frac{\xi \eta}{r_0 h}\right) \right] \begin{array}{l} F_u \quad \eta_u \\ F_l \quad \eta_l \end{array}$$

ESTAS 3 ÚLTIMAS ECUACIONES PUEDEN SER USADAS FACILMENTE PARA OBTENER LAS COMPONENTES MAGNÉTICAS PARA CUERPOS PRISMÁTICOS DE EXTENSIÓN VERTICAL FINITA. SI EL CUERPO PRISMÁTICO TIENE SU CIMA A LA PROFUNDIDAD h_f DESDE EL PLANO DE OBSERVACIÓN Y SU BASE A LA PROFUNDIDAD h_b , NOSOTROS HEMOS DETERMINADO LOS CAMPOS DEBIDOS A LOS DOS CUERPOS DE EXTENSIÓN VERTICAL INFINITA, UNO A LA PROFUNDIDAD h_f Y EL OTRO A LA PROFUNDIDAD h_b , Y ASI SUSTRAR EL ÚLTIMO DEL PRIMERO EN ORDEN PARA EVALUAR LAS COMPONENTES MAGNÉTICAS DE ANOMALÍA PARA EL PRISMA FINITO.

TALWANI 2D

LA SECCION TRANSVERSAL DE UN CUERPO BIDIMENSIONAL DE FORMA ARBITRARIA ES REPRESENTADA PRIMERO POR UN POLIGONO IRREGULAR. LAS EXPRESIONES SON DEDUCIDAS PARA ANOMALIAS MAGNETICAS DE INTENSIDAD TOTAL, VERTICAL U HORIZONTAL CAUSADAS POR UN CUERPO POLIGONAL EN DOS DIMENSIONES. UN PROGRAMA PARA COMPUTADORA DIGITAL, EL CUAL HACE USO DE ESAS EXPRESIONES ES DESCRITO. EL MISMO PROGRAMA PUEDE SER USADO SI LA MAGNETIZACION DEL CUERPO ES INDUCIDA, REMANENTE O COMBINADA.

EL CALCULO DE ANOMALIAS EN INTENSIDAD MAGNETICA CAUSADA POR ESTRUCTURAS DE FORMA Y MAGNETIZACION ESPECIFICAS TIENEN DOS APLICACIONES PRINCIPALES.

a). LA PRIMERA APLICACION RELACIONA UNA COMPILACION DEL PERFIL DE ANOMALIA PRODUCIDA POR CUERPOS DE GEOMETRIA RELATIVAMENTE SIMPLE. LOS DIFERENTES PERFILES SON CALCULADOS PARA CUERPOS CUYA PROFUNDIDAD, FORMA Y DIRECCION DE MAGNETIZACION VARIAN. TALES PERFILES SON USADOS EN EL LLAMADO METODO "DIRECTO" DE INTERPRETACION EN LA QUE LOS PERFILES DE ANOMALIA OBSERVADA ES COMPARADA CON UN PERFIL DEL MODELO Y ESTIMANDO ASI LA PROFUNDIDAD, FORMA, ETC., DEL CUERPO PRODUCTOR DE ANOMALIA.

UNA SERIE DE PERFILES "MODELO" DE INTENSIDAD TOTAL HAN SIDO OBTENIDOS POR HEIRTZLER Y OTROS (1962) USANDO PROGRAMAS POR COMPUTADORA DESCRITOS EN ESTE ARTICULO.

b). LA SEGUNDA APLICACION RELACIONA AL LLAMADO METODO "INDIRECTO" EN EL CUAL LAS ANOMALIAS SON CALCULADAS POR CUERPOS DE ENSAYO Y COMPARADOS CON LAS ANOMALIAS OBSERVADAS.

TALES CALCULOS SON GENERALMENTE MUY TEDEOSOS, PERO CON EL DESARROLLO DE PROGRAMAS POR COMPUTADORA, EL METODO "INDIRECTO" HA LLEGADO A SER MAS POPULAR.

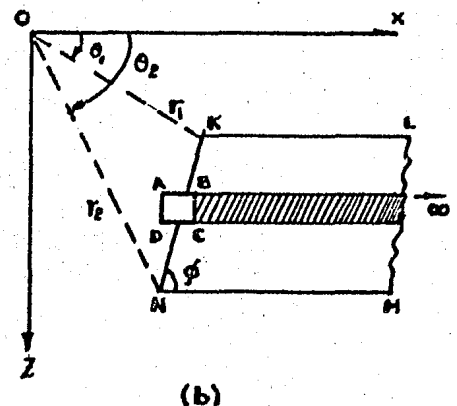
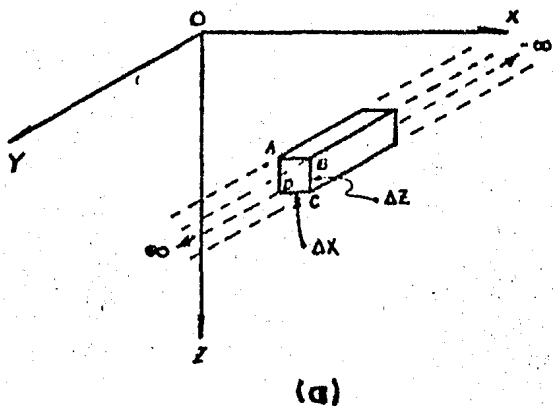
CUANDO LA FORMA Y DIMENSIONES DE LA ANOMALIA PRODUCIDA POR UN CUERPO ES CONOCIDA Y CUANDO PUEDE SER ASUMIDO QUE POSEE MAGNETIZACION UNIFORME LOS CALCULOS DE ANOMALIA PUEDEN SER USADOS PARA INFERIR LA DIRECCION ASI COMO TAMBIEN LA NATURALEZA (SEA INDUCIDA O REMA)

ENTE) DE SU MAGNETIZACIÓN.

LAS ANOMALIAS MAGNÉTICAS BIDIMENSIONALES SON DEL TODO COMUNES Y ESTO DA VALOR AL MÉTODO PARA CALCULAR ANOMALIAS CAUSADAS POR CUERPOS BIDIMENSIONALES. AUN CUANDO SU POSICIÓN DE DOS DIMENSIONES ES POBRE, NO OBTIENE UNA PRIMERA PRUEBA DE APROXIMACIÓN A LA SOLUCIÓN LA CUAL ES ALGUNAS VECES TOTALMENTE ADECUADA.

LA FÓRMULA PARA LA ATRACCIÓN DE UN PRISMA SEMI-INFINITO BIDIMENSIONAL EL CUAL ES DEDUCIDO BAJO LOS PRIMEROS PRINCIPIOS, HA SIDO DADO EN UNA FORMA UN POCO DIFERENTE DEL DADO POR HEILAND (1946). ESTA FÓRMULA ES USADA PARA OBTENER LA ANOMALIA MAGNÉTICA CAUSADA POR UN CUERPO BIDIMENSIONAL CON LA SECCIÓN TRANSVERSAL DE UN POLIGONO IRREGULAR. COMO PUEDE SER RÁPIDAMENTE APRECIADO, ESTO ES SIMPLE PARA APROXIMAR TANTO LA SECCIÓN TRANSVERSAL IRREGULAR DE CUALQUIER CUERPO BIDIMENSIONAL POR UN POLIGONO Y, POR TANTO, ESTE MÉTODO PUEDE SER USADO PARA OBTENER LA ANOMALIA CAUSADA POR CUALQUIER CUERPO CON FACILIDAD. UN PROGRAMA POR COMPUTADORA SIMILAR AL DESCRITO ANTERIORMENTE HA SIDO ESCRITO POR LAUDISHAN PARA LA IBM 650, Y HA SIDO UTILIZADO POR GIRDLER Y PETER (1960).

FORMULACION



CONSIDEREMOS PRIMERO LA ANOMALIA MAGNÉTICA CAUSADA POR UN PRISMA SEMI-INFINITO BIDIMENSIONAL KLMN MOSTRADO EN PERFIL EN LA FIGURA (b).

EL PRISMA SE EXTIENDE AL ∞ A LO LARGO DEL EJE X POSITIVO Y A LO LARGO DEL EJE Y TANTO POSITIVO COMO NEGATIVO. DEBEMOS DERIVAR LA ANOMALIA MAGNÉTICA PRODUCIDA POR ESTE PRISMA EN EL ORIGEN. CONSIDEREMOS PRIMERO LA ANOMALIA CAUSADA POR EL ELEMENTO DE BARRA DE SECCIÓN TRANSVERSAL ABCD MOSTRADO EN PERFIL EN LA FIGURA b Y TRIDIMENSIONAL EN LA FIGURA c.

SEA \vec{J} LA INTENSIDAD DE MAGNETIZACIÓN; ENTONCES, EL MOMENTO MAGNÉTICO, \vec{m} , DEL ELEMENTO DE VOLUMEN $\Delta x \Delta y \Delta z$ ESTA DADO POR $\vec{m} = \vec{J} \Delta x \Delta y \Delta z$ Y SU POTENCIAL MAGNÉTICO EN EL ORIGEN ES:

$$\Omega = \frac{\vec{m} \cdot \vec{R}}{R^3} = \frac{J_x X + J_y Y + J_z Z}{(x^2 + y^2 + z^2)^{3/2}} \Delta x \Delta y \Delta z$$

Y AQUEL DE LA VARILLA INFINITA DE SECCIÓN TRANSVERSAL ABCD ES:

$$\Omega = \Delta x \Delta z \int_{-\infty}^{\infty} \frac{J_x X + J_y Y + J_z Z}{(x^2 + y^2 + z^2)^{3/2}} dy = 2 \Delta x \Delta z \frac{J_x X + J_z Z}{x^2 + z^2}$$

LA FUERZA MAGNÉTICA VERTICAL ES:

$$1.... \quad V = - \frac{\partial \Omega}{\partial z} = 2 \Delta x \Delta z \frac{2xz J_x - J_z (x^2 + z^2)}{(x^2 + z^2)^2}$$

Y LA FUERZA DE CAMPO HORIZONTAL MEDIDA EN LA DIRECCIÓN X ES:

$$2.... \quad H = - \frac{\partial \Omega}{\partial x} = 2 \Delta x \Delta z \frac{J_x (x^2 + z^2) + 2xz J_z}{(x^2 + z^2)^2}$$

NO HAY FUERZA DE CAMPO HORIZONTAL MEDIDA EN LA DIRECCIÓN Y. EL VALOR DE V Y DE H PARA LA LAMINA SOMBRREADA EN LA FIGURA b, SON OBTENIDOS POR INTEGRACIÓN DE 1 Y 2 CON RESPECTO A X , LOS LIMITES DE INTEGRACIÓN SON DE X A ∞ . PARA ESTA LAMINA, ENTONCES, UNO OBTIENE:

$$V = 2 \Delta z \frac{J_x Z - J_z X}{x^2 + z^2}$$

$$H = 2 \Delta z \frac{J_x X + J_z Z}{x^2 + z^2}$$

PARA EL PRISMA KLMN LAS EXPRESIONES TIENEN QUE SER INTEGRADAS CON RESPECTO A Z , Y NOTANDO QUE A LO LARGO DE KN, $X = (x_1 + z_1 \cot \phi) - z \cot \phi$,

$$3.... \quad V = 2 \int_{z_1}^{z_2} \frac{J_x Z - J_z X}{x^2 + z^2} dz =$$

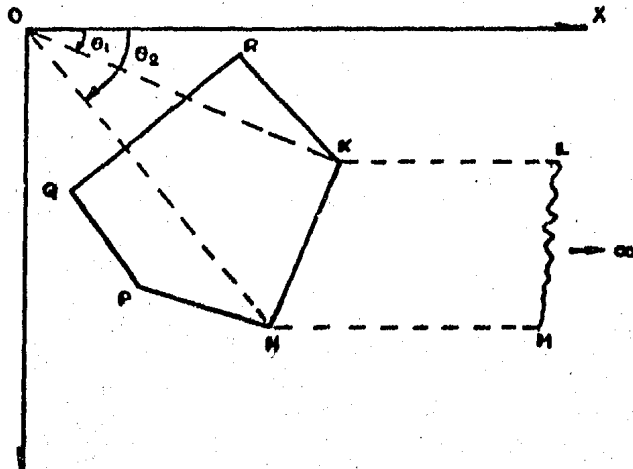
$$= 2 \operatorname{sen} \phi \left[J_x \left\{ (\theta_2 - \theta_1) \cos \phi + \operatorname{sen} \phi \log \frac{r_2}{r_1} \right\} - J_z \left\{ (\theta_2 - \theta_1) \operatorname{sen} \phi - \cos \phi \log \frac{r_2}{r_1} \right\} \right]$$

$$4.... \quad H = 2 \int_{z_1}^{z_2} \frac{J_x X + J_z Z}{x^2 + z^2} dz =$$

$$= 2 \operatorname{sen} \phi \left[J_x \left\{ (\theta_2 - \theta_1) \operatorname{sen} \phi - \cos \phi \log \frac{r_2}{r_1} \right\} + J_z \left\{ (\theta_2 - \theta_1) \cos \phi + \operatorname{sen} \phi \log \frac{r_2}{r_1} \right\} \right]$$

LA ANOMALIA MAGNÉTICA CAUSADA POR UN CUERPO DE SECCIÓN POLIGONAL - KNPQRK PUEDE SER EVALUADO OBTENIENDO LAS ANOMALIAS PARA PRISMAS COMO KLMN Y ASI SUMAR ESTOS CONSIDERANDO UN SIGNO APROPIADO. NOTAMOS QUE SI ESTAMOS PROCEDIENDO EN EL SENTIDO DE LAS MANECILLAS EN TORNO A LAS ESQUINAS DEL POLIGONO KNPQR, ENTONCES, PARA SEGMENTOS TAL COMO KN PARA EL CUAL θ SE INCREMENTA, LA ANOMALIA CAUSADA POR EL PRISMA CORRESPONDIENTE KLMN DEBE SER CONSIDERADA NEGATIVAMENTE.

LAS ECUACIONES 3 Y 4 PARA LA ANOMALIA MAGNÉTICA PUEDE SER REESCRITA ENTONCES CON SIGNO NEGATIVO, Y SON REORDENADOS POR CONVENIENCIA.



QUEDANDO: $V = 2(J_x Q - J_z P) \dots 5$

$H = 2(J_x P + J_z Q) \dots 6$

DONDE:

$$P = \frac{Z_{21}^2}{Z_{21}^2 + X_{12}^2} (\theta_1 - \theta_2) + \frac{Z_{21} X_{12}}{Z_{21}^2 + X_{12}^2} \log \frac{r_2}{r_1}$$

$$Q = \frac{Z_{21} X_{12}}{Z_{21}^2 + X_{12}^2} (\theta_1 - \theta_2) - \frac{Z_{21}^2}{Z_{21}^2 + X_{12}^2} \cdot \log \frac{r_2}{r_1}$$

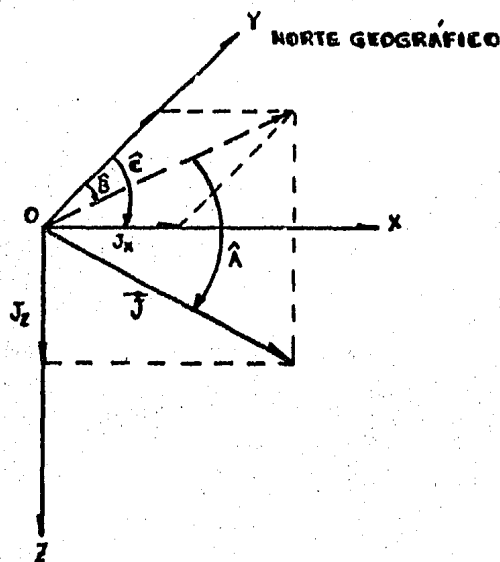
Y:

$$X_{12} = X_1 - X_2 ; \quad Z_{21} = Z_2 - Z_1 ; \quad r_1 = \sqrt{X_1^2 + Z_1^2} ; \quad r_2 = \sqrt{X_2^2 + Z_2^2}$$

SÍ UNO PROCEDE EN EL SENTIDO DEL MOVIMIENTO DE LAS MANECILLAS DEL RELOJ, EN LAS EXPRESIONES QUE SE OCUPAN PARA CADA SEGMENTO DEL POLIGONO, LOS SUBINDICES 1, 2 INDICAN LAS ESQUINAS SUCESIVAS EN CADA CASO.

UN PERFIL MAGNÉTICO ES CALCULADO MOVIENDO EL ORIGEN SUCESSIVAMENTE A VARIOS PUNTOS A LO LARGO DEL EJE X. (ENTONCES EL PERFIL MAGNÉTICO SERÁ DETERMINADO PARA UNA LINEA DE ANGULOS RECTOS RESPECTO AL EJE DEL POLIGONO).

PARA EVALUAR J_x Y J_z TENEMOS QUE ADOPTAR LA SIGUIENTE CONVENCION



SEA LA INCLINACION DE \vec{J} POSITIVA, SI BAJO EL HORIZONTE ESTA REPRESENTADA POR \hat{A} . SEA EL ANGULO \hat{B} MEDIDO EN EL SENTIDO DE LAS MANECILLAS DEL RELOJ A

PARTIR DEL NORTE GEOGRÁFICO HASTA EL LUGAR DE LA PROYECCIÓN HORIZONTAL. Y SEA EL ÁNGULO \hat{C} , COMO AQUEL QUE SE ENCUENTRA EN EL PLANO HORIZONTAL FORMADO POR EL EJE POSITIVO X Y EL NORTE GEOGRÁFICO MEDIDO A PARTIR DE ESTE EN EL SENTIDO DEL MOVIMIENTO DEL RELOJ. ENTONCES:

$$J_x = J \cos A \cos (C-B)$$

$$J_z = J \sin A$$

SI LA MAGNETIZACIÓN ES POR INDUCCIÓN $\vec{J} = k\vec{F}$ Y $A=I$, $B=D$, DONDE I Y D SON LAS DIRECCIONES DE LA INCLINACIÓN Y DECLINACIÓN DEL CAMPO TERRESTRE RESPECTIVAMENTE.

SI QUEREMOS EVALUAR LA ANOMALIA DE INTENSIDAD TOTAL T, ENTONCES, PARA ANOMALIAS CHICAS CON RESPECTO AL CAMPO TOTAL F, T ES LA SUMA DE LAS PROYECCIONES DE H Y V A LO LARGO DE LA DIRECCIÓN DE F.

i.e.

7....

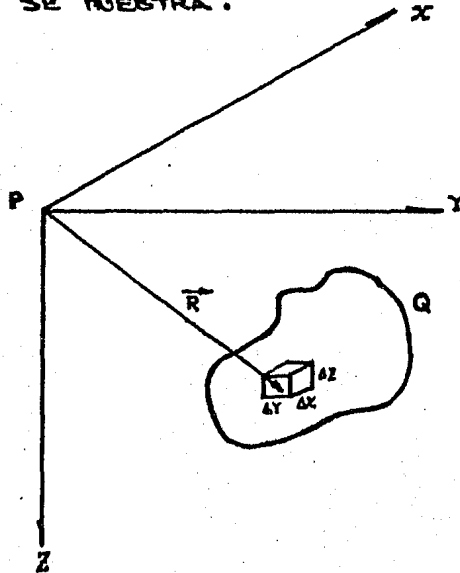
$$T = V \sin I + H \cos I \cos (C-D)$$

TALWANI (3D)

LAS FORMULAS SON DEDUCIDAS PARA ANOMALIAS MAGNÉTICAS CAUSADAS POR LAMINAS DE POLIGONOS IRREGULARES. SON USADAS PARA OBTENER LAS 3 COMPONENTES DE LAS ANOMALIAS MAGNÉTICAS CAUSADAS POR CUERPOS FINITOS MAGNETIZADOS HOMOGENEAMENTE DE FORMA ARBITRARIA. NO HAY RESTRICCIÓN PARA LA DIRECCIÓN DE MAGNETIZACIÓN; EN GENERAL, ÉSTA PUEDE SER DIFERENTE QUE LA DEL CAMPO TERRESTRE. TAMBIEN SON OBTENIDAS LAS ANOMALIAS DE INTENSIDAD TOTAL. EL USO DE ESTAS FORMULAS EN UN PROGRAMA DE COMPUTADORA ES DISCUTIDO E ILUSTRADO. LAS FORMULAS SIMPLIFICADAS SON PRESENTADAS PARA LAS ANOMALIAS CAUSADAS POR LAMINAS RECTANGULARES FINITAS. PARA CUERPOS DE FORMA COMPLEJA, EL PROGRAMA DE COMPUTADORA PUEDE SER USADO PREFERENTE MENTE PARA EL CÁLCULO DE ANOMALIAS MAGNÉTICAS CAUSADAS POR CUERPOS DE GEOMETRIA RELATIVAMENTE SIMPLE.

ENUNCIADO DEL PROBLEMA

CONSIDEREMOS UN SISTEMA DE REFERENCIA DE MANO DERECHA COMO EL QUE A CONTINUACIÓN SE MUESTRA:



PARA EL ELEMENTO DE VOLUMEN $\Delta x \Delta y \Delta z$ DEL CUERPO Q, EL POTENCIAL MAGNÉTICO EN EL ORIGEN ESTÁ DADO POR: $\Omega = \frac{\mu \cdot R}{R^3}$; DONDE μ ES EL MOMENTO MAGNÉTICO DEL ELEMENTO DE VOLUMEN $\Delta x \Delta y \Delta z$ Y R EL VECTOR DE POSICIÓN.

SÍ J ES LA INTENSIDAD DE MAGNETIZACIÓN DE ESTE CUERPO, CONSIDERADA UNIFORME, $\mu = J \Delta x \Delta y \Delta z$, Y SI J_x , J_y Y J_z SON LAS TRES COMPONENTES DE J, ENTONCES:

$$(1) \dots \quad \Omega = \frac{J_x \cdot X + J_y \cdot Y + J_z \cdot Z}{R^3} \quad \Delta X \Delta Y \Delta Z$$

LAS 3 COMPONENTES DE LA INTENSIDAD MAGNÉTICA PARA EL CUERPO Q SON

$$\Delta X = \iiint -\frac{\partial \Omega}{\partial X} dx dy dz ; \quad \Delta Y = \iiint -\frac{\partial \Omega}{\partial Y} dx dy dz ; \quad \Delta Z = \iiint -\frac{\partial \Omega}{\partial Z} dx dy dz$$

HACIENDO LA INTEGRACIÓN TRIPLE SOBRE EL CUERPO Q.

SUSTITUYENDO EL VALOR DE Ω DE (1) Y DIFERENCIANDO CON RESPECTO A X, Y, Z RESPECTIVAMENTE OBTENEMOS:

$$(2) \dots \Delta X = J_x V_1 + J_y V_2 + J_z V_3 ; \quad \Delta Y = J_x V_2 + J_y V_4 + J_z V_5 ; \quad \Delta Z = J_x V_3 + J_y V_5 + J_z V_6$$

DONDE:

$$V_1 = \iiint \frac{3X^2 - R^2}{R^5} dx dy dz ; \quad V_2 = \iiint \frac{3XY}{R^5} dx dy dz$$

$$(3) \dots \left\{ \begin{array}{l} V_3 = \iiint \frac{3XZ}{R^5} dx dy dz ; \quad V_4 = \iiint \frac{3Y^2 - R^2}{R^5} dx dy dz \\ V_5 = \iiint \frac{3YZ}{R^5} dx dy dz ; \quad V_6 = \iiint \frac{3Z^2 - R^2}{R^5} dx dy dz \end{array} \right.$$

ESTAS EXPRESIONES REPRESENTAN LAS INTEGRACIONES SOBRE EL VOLUMEN Q.

DISCUSION

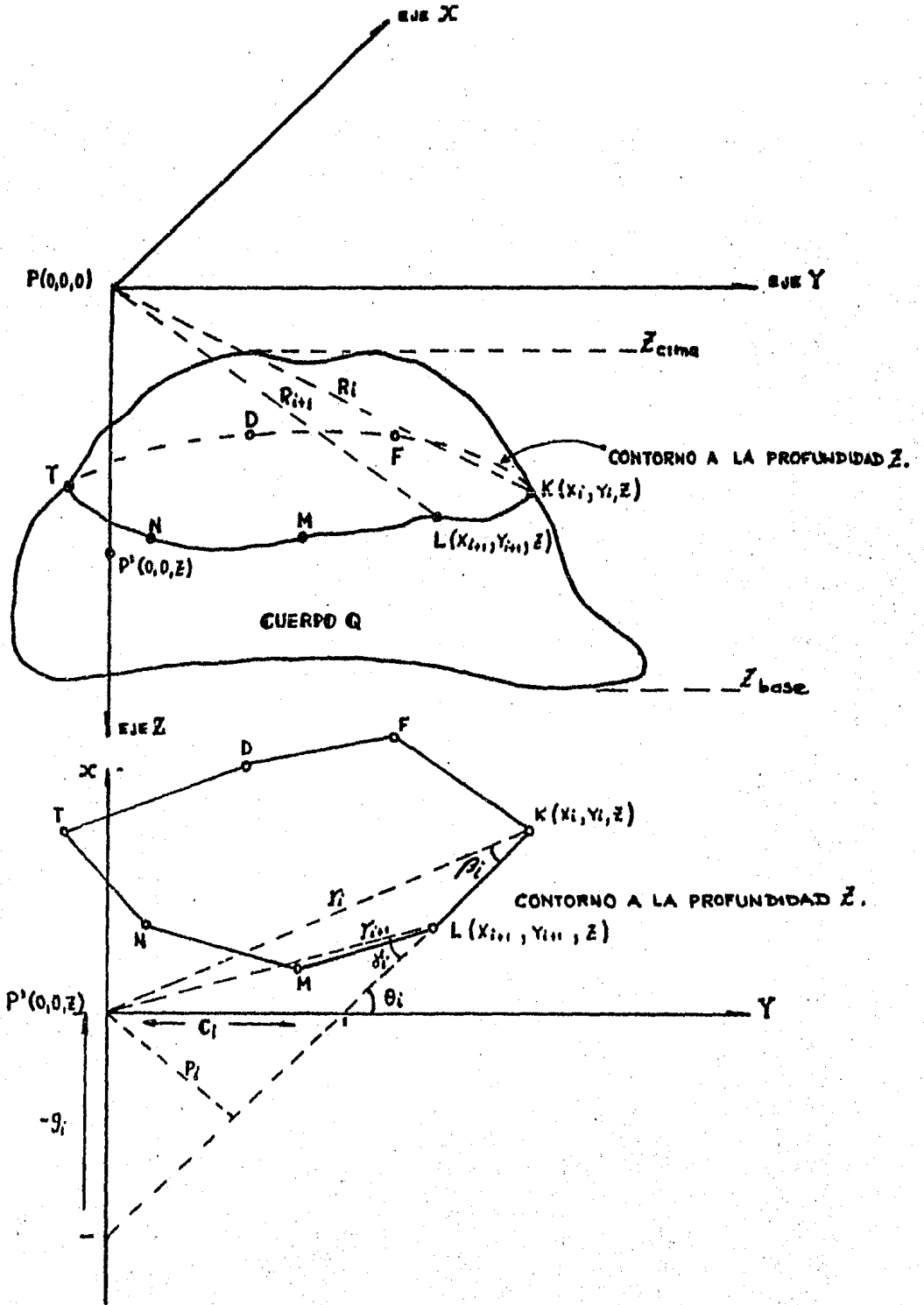
EL MÉTODO DESCRITO EN ESTE ARTICULO REALIZA UNA DOBLE INTEGRACIÓN ANALÍTICA Y UNA INTEGRAL NUMÉRICA. EL CUERPO AL QUE SE LE EVALUA LA ANOMALIA ES REPRESENTADO POR CONTORNOS (FIGURA QUE SIGUE). CADA CONTORNO ES ENTONCES REEMPLAZADO POR UNA LAMINA POLIGONAL. HACIENDO EL NÚMERO DE LADOS DE ESTE POLIGONO GRANDE, EL POLIGONO LIMITANTE PUEDE SER REPRESENTADO TAM EXACTO COMO SE DESEE. LA DOBLE INTEGRACIÓN SE EFECTUA SOBRE LA SUPERFICIE DE CADA UNA DE LAS LAMINAS POLIGONALES HORIZONTALES. ENTONCES LA INTEGRACIÓN NUMÉRICA ES REALIZADA CON RESPECTO AL EJE Z. UNO DE LOS CONTORNOS EN LA FIGURA SIGUIENTE HA SIDO REPRESENTADA POR LA LAMINA POLIGONAL KLNHTDFK. TOMEMOS AL PUNTO P COMO ORIGEN, EN EL QUE SE DETERMINA LA ANOMALIA Y P' EL PUNTO DIRECTAMENTE BAJO EL PUNTO P A UNA DISTANCIA Z Y EN EL PLANO DE KLNHTDFK.

TOMEMOS LA PARTE SUPERFICIAL DE LAS INTEGRALES DE VOLUMEN DENOTADAS POR $S_1, S_2, S_3, \dots, S_6$ RESPECTIVAMENTE COMO:

$$S_1 = \iint \frac{3x^2 - R^2}{R^3} dx dy ; \quad S_2 = \iint \frac{3xy}{R^3} dx dy ; \quad S_3 = \iint \frac{3xz}{R^3} dx dy \quad \text{Y ASI SUCE-}$$

SIVAMENTE.

TENEMOS QUE RESOLVER ESAS INTEGRALES DE SUPERFICIE PARA LA SUPERFICIE DE KLINTOFF. TOMEMOS EN CUENTA LA SIGUIENTE FIGURA:



EN LA FIGURA ANTERIOR: KL ES EL i -ESIMO LADO DEL POLIGONO,

P_i ES LA DISTANCIA PERPENDICULAR DE P' A KL

G_i ES LA INTERSECCION DE KL CON EL EJE X.

C_i ES LA INTERSECCION DE KL CON EL EJE Y.

SI $\theta_i, \beta_i, \delta_i$ SON ÁNGULOS Y $\gamma_i, \gamma_{i+1}, R_i$ Y R_{i+1} DISTANCIAS, ENTONCES $S_1, S_2, S_3, \dots, S_6$ PUEDEN SER RESUELTAS PARA OBTENER:

$$\begin{aligned}
 S_1 &= \sum_i \frac{\cos^2 \theta_i}{z^2 + P_i^2} \left(\frac{g_i \gamma_{i+1} - z^2 \tan \theta_i}{R_{i+1}} - \frac{g_i \gamma_i - z^2 \tan \theta_i}{R_i} \right) \\
 S_2 &= \sum_i \frac{\cos^2 \theta_i}{z^2 + P_i^2} \left(\frac{g_i \gamma_{i+1} \tan \theta_i + g_i + z^2}{R_{i+1}} - \frac{g_i \gamma_i \tan \theta_i + g_i + z^2}{R_i} \right) \\
 S_3 &= \sum_i \frac{z \cos^2 \theta_i}{z^2 + P_i^2} \left(\frac{\gamma_{i+1} \sec^2 \theta_i + g_i \tan \theta_i}{R_{i+1}} - \frac{\gamma_i \sec^2 \theta_i + g_i \tan \theta_i}{R_i} \right) \\
 S_4 &= \sum_i \frac{\sin^2 \theta_i}{z^2 + P_i^2} \left(\frac{C_i X_{i+1} - z^2 \cot \theta_i}{R_{i+1}} - \frac{C_i X_i - z^2 \cot \theta_i}{R_i} \right) \\
 S_5 &= \sum_i \frac{z \sin^2 \theta_i}{z^2 + P_i^2} \left(\frac{X_{i+1} \csc^2 \theta_i + C_i \cot \theta_i}{R_{i+1}} - \frac{X_i \csc^2 \theta_i + C_i \cot \theta_i}{R_i} \right) \\
 S_6 &= \sum_i \frac{P_i}{z^2 + P_i^2} \left(\frac{\gamma_{i+1} \cos \delta_i}{R_{i+1}} - \frac{\gamma_i \cos \beta_i}{R_i} \right)
 \end{aligned}
 \tag{4) \dots$$

LAS SUMATORIAS SON HECHAS PARA EL TOTAL DE LADOS DEL POLIGONO. LAS FUNCIONES TRIGONOMETRICAS $\tan \theta_i, \cot \theta_i, \sec \theta_i, \csc \theta_i, \cos \beta_i, \cos \delta_i$, ASI COMO LAS INTERSECCIONES C_i Y G_i , LAS DISTANCIAS $\gamma_i, \gamma_{i+1}, R_i, R_{i+1}$ Y P_i PUEDEN SER EXPRESADAS EN TERMINOS DE X_i, Y_i , LAS COORDENADAS DE K Y X_{i+1}, Y_{i+1} LAS COORDENADAS DE L.

ENTONCES VEMOS QUE LAS INTEGRALES S_1, S_2, \dots, S_6 , TODAS PUEDEN SER EXPRESADAS EN FORMA CERRADA EN TERMINOS DE LAS COORDENADAS CARTESIANAS DE LAS ESQUINAS DEL POLIGONO. SIMILARMENTE S_1, S_2, \dots, S_6 SON EVALUADAS PARA TODOS LOS OTROS CONTORNOS. FINALMENTE V_1, V_2, \dots, V_6 SON EVALUADAS REALIZANDO LAS INTEGRACIONES NUMERICAS $V_1 = \int S_1 dz, \dots, V_6 = \int S_6 dz$. SIENDO LOS LIMITES DE INTEGRACION Z_{fondo} Y Z_{cima} . UN PROCEDIMIENTO CONVENIENTE PARA REALIZAR LA INTEGRACION NUMERICA ES AJUSTAR PARABOLAS A SERIES SUCESIVAS DE ESTOS PUNTOS Y ASI DEFINIR EL AREA CONTENIDA ENTRE LAS PARABOLAS Y EL EJE Z. SI S_{10}, S_{11}, S_{12} SON LOS VALORES DE S_1 CORRESPONDIENTES A LOS CONTORNOS A LAS

PROFUNDIDADES Z_0 , Z_1 Y Z_2 RESPECTIVAMENTE, LA CONTRIBUCIÓN DE V_1 POR LA PORCIÓN DEL CUERPO ENTRE LOS PLANOS HORIZONTALES Z_0 Y Z_2 ESTA DADO POR

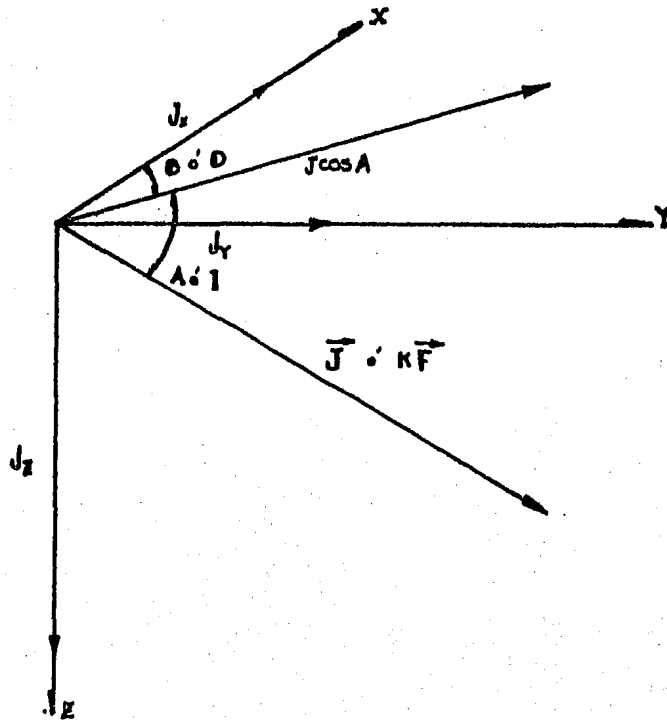
$$(5) \dots \int_{Z_0}^{Z_2} S_1 dz = \frac{1}{6} \left\{ S_{10} \frac{Z_0 - Z_2}{Z_0 - Z_1} (3Z_1 - Z_2 - 2Z_0) + S_{11} \frac{(Z_0 - Z_2)^3}{(Z_1 - Z_2)(Z_1 - Z_0)} + S_{12} \frac{Z_0 - Z_2}{Z_2 - Z_1} (3Z_1 - Z_0 - 2Z_2) \right\}$$

SI LOS CONTORNOS ESTAN IGUALMENTE ESPACIADOS, ESTO ES $Z_0 - Z_1 = Z_1 - Z_2$, LA ECUACIÓN (5) PUEDE SER IDENTIFICADA CON UN TÉRMINO A PARTIR DE LA REGLA DE SIMPSON. SELECCIONANDO UNA SERIE SUCEIVA DE ESOS PUNTOS, LA INTEGRACIÓN NUMÉRICA PUEDE SER LLEVADA A LO LARGO DEL RANGO COMPLETO DE LAS Z 'S Y V_1 PUEDE SER OBTENIDO, Y ASI OBTENER DESPUES S_2 PARA TODOS LOS CONTORNOS Y LA INTEGRACIÓN NUMÉRICA PUEDE SER REALIZADA PARA CONSEGUIR V_2 . SIMILARMENTE V_3 , V_4 , V_5 Y V_6 PUEDEN SER OBTENIDOS. CAMBIANDO EL ORIGEN A OTRO PUNTO Y REFIRIENDO LAS COORDENADAS DE TODAS LAS ESQUINAS DEL POLIGONO A ESTE PUNTO, LOS VALORES DE V_1, V_2, \dots, V_6 PUEDEN SER OBTENIDOS EN ESTE PUNTO TAMBIEN. ENTONCES, CONOCIENDO LOS VALORES DE J_x, J_y, J_z LAS COMPONENTES DEL VECTOR MAGNETIZACIÓN, LOS VALORES PARA CUALQUIER PUNTO DE V_1, V_2, \dots, V_6 PUEDEN SUSTITUIRSE EN LA ECUACIÓN (2) PARA OBTENER LAS 3 COMPONENTES DE LA ANOMALIA MAGNÉTICA $\Delta X, \Delta Y, \Delta Z$.

SI LAS ANOMALIAS QUE CORRESPONDEN A DIFERENTES VALORES DE J_x, J_y Y J_z TIENEN QUE SER DETERMINADAS, ESTO ES, PARA DIFERENTES VALORES DE LA INTENSIDAD Y DIRECCIÓN DEL VECTOR J , UNO NO TIENE QUE REVALUAR V_1, V_2, \dots, V_6 QUE CONSUMEN LA MAYOR PARTE EN LA COMPUTACIÓN. TODO LO QUE UNO NECESITA ES SUSTITUIR LOS NUEVOS VALORES DE J_x, J_y Y J_z EN (2). LA FIGURA QUE SIGUE MUESTRA LOS ELEMENTOS GEOMÉTRICOS INVOLUCRADOS. TOMAMOS AL ÁNGULO A COMO AQUEL QUE SE FORMA ENTRE EL HORIZONTE Y EL VECTOR DE MAGNETIZACIÓN TOTAL J (MEDIDO HACIA ABAJO DESDE EL HORIZONTE) Y TOMAMOS SU PROYECCIÓN HORIZONTAL PARA FORMAR EL ÁNGULO B ENTRE ESTA Y EL EJE POSITIVO X. (MEDIDO EN EL SENTIDO DE LAS MANECILLAS DEL RELOJ DESDE EL EJE X). HEMOS SELECCIONADO EL EJE X A LO LARGO DEL NORTE GEOGRÁFICO Y AL EJE Y A LO LARGO DEL ESTE GEOGRÁFICO.

SI LA MAGNETIZACIÓN ES POR INDUCCIÓN EN EL CAMPO TERRESTRE, $J = kF$, DONDE F ES LA INTENSIDAD TOTAL DEL CAMPO TERRESTRE Y K LA SUSCEPTIBILIDAD EFECTIVA, Y $A = I$, $B = D$, DONDE I Y D SON LA INCLINACIÓN Y DECLINACIÓN DEL CAMPO TERRESTRE,

RESPECTIVAMENTE. LO ANTERIORMENTE EXPUESTO SE ILUSTR A EN LA FIGURA SIGUIEN TE:



DE DONDE:

$$(6) \dots \begin{aligned} J_x &= J \cos A \cos B \\ J_y &= J \cos A \sin B \\ J_z &= J \sin A \end{aligned}$$

ANOMALIAS DE INTENSIDAD TOTAL

SI F ES EL VALOR DEL CAMPO TOTAL NORMAL, LA ANOMALIA DE INTENSIDAD TOTAL ESTA DADA POR:

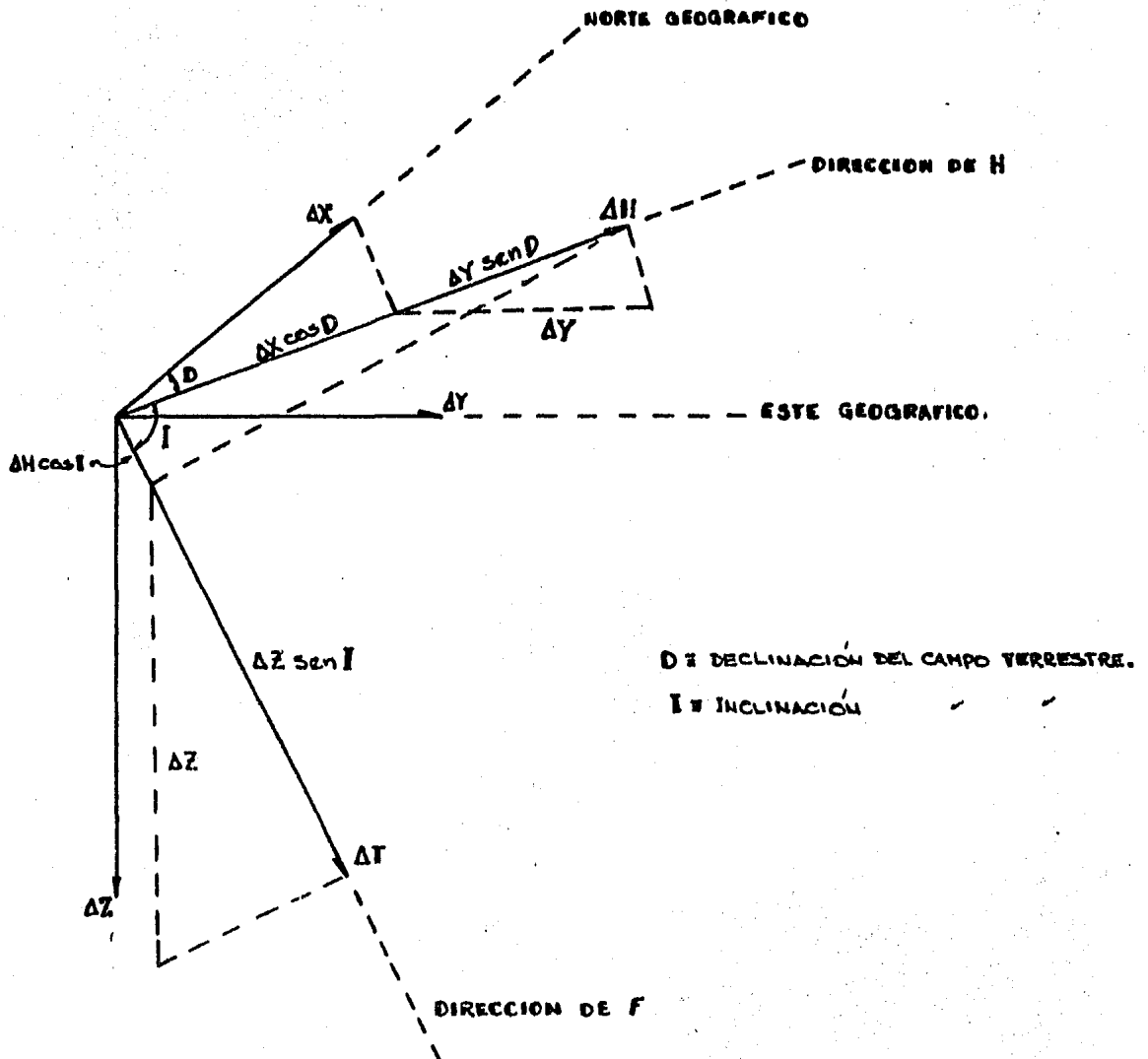
$$(7) \dots \Delta T = \left\{ (F_x + \Delta X)^2 + (F_y + \Delta Y)^2 + (F_z + \Delta Z)^2 \right\}^{1/2} - F$$

DONDE:

F_x, F_y, F_z SON LAS COMPONENTES DE F

SI LA ANOMALIA ES PEQUEÑA COMPARADA A LA INTENSIDAD DE CAMPO NO DISTURBADO. LA DIRECCION DEL CAMPO TOTAL (INCLUYENDO LA ANOMALIA) PUEDE ASUMIRSE COMO LA MISMA QUE PARA EL CAMPO NO DISTURBADO. ENTONCES ΔT ESTA DADO POR LA SUMA DE LAS PROYECCIONES DE $\Delta X, \Delta Y$ Y ΔZ EN LA DIRECCION DE F COMO SE MUESTRA

EN LA FIGURA QUE SIGUE.



DE DONDE:

$$(8) \dots \Delta T = \Delta X \cos D \cos I + \Delta Y \sen D \cos I + \Delta Z \sen I$$

LA ANOMALIA EN LA COMPONENTE HORIZONTAL DEL CAMPO MAGNETICO ESTA DADA SIMILARMENTE POR:

$$\Delta H = \Delta X \cos D + \Delta Y \sen D$$

A PARTIR DE LAS ECUACIONES (2) Y (8) PODEMOS EXPRESAR ΔT EN TÉRMINOS DE J_x , J_y Y J_z , COMO:

$$(9) \dots \Delta T = J_x (V_1 \cos D \cos I + V_2 \operatorname{sen} D \cos I + V_3 \operatorname{sen} I) + \\ + J_y (V_2 \cos D \cos I + V_4 \operatorname{sen} D \cos I + V_5 \operatorname{sen} I) + \\ + J_z (V_3 \cos D \cos I + V_5 \operatorname{sen} D \cos I + V_6 \operatorname{sen} I)$$

EN LA ECUACIÓN (9) LA PRINCIPAL LABOR ES INCLUIR LA EVALUACIÓN DE V_1 , V_2 , ... V_6 . NOTAMOS QUE V_4 NO TIENE QUE EVALUARSE INDEPENDIEMENTE PUESTO QUE $V_1 + V_4 + V_6 = 0$. SI LA DIRECCIÓN DE MAGNETIZACIÓN ES LA MISMA QUE LA DEL CAMPO TERRESTRE, ALGUNA VENTAJA ES GANADA SELECCIONANDO EL NORTE MAGNÉTICO MÁS BIEN QUE EL NORTE GEOGRÁFICO COMO EJE X PORQUE EN ESTE CASO $J_y = 0$, $\operatorname{sen} D = 0$ Y UNO NO TIENE QUE EVALUAR V_2 Y V_5 . SI UNO ESTÁ EVALUANDO LA ANOMALIA DE INTENSIDAD VERTICAL ΔZ , ENTONCES A PARTIR DE (2) SOLAMENTE V_3 Y V_6 SON REQUERIDAS. SIN EMBARGO, EN EL CASO GENERAL CUANDO LA DIRECCIÓN DE MAGNETIZACIÓN NO ES LA MISMA QUE LA DEL CAMPO TERRESTRE NO HAY VENTAJA TENIENDO AL EJE X A LO LARGO DEL NORTE MAGNÉTICO, PORQUE AUNQUE $\operatorname{sen} D = 0$, J_y NO ES CERO Y UNO TIENE QUE EVALUAR V_2 Y V_5 . NOSOTROS HEMOS PREFERIDO TOMAR EL EJE X A LO LARGO DEL NORTE GEOGRÁFICO. PUESTO QUE LA MAYORÍA DE LOS MAPAS DE CONTORNO SON CONSTRUIDOS CON EL NORTE GEOGRÁFICO ARRIBA. ESTA SELECCIÓN DEL EJE X ASISTE EN LA LECTURA DE LAS COORDENADAS DE LAS ESQUINAS DEL POLIGONO EL CUAL REPRESENTA EL CONTORNO.

DE (9) NOTAMOS QUE LOS COEFICIENTES DE J_x , J_y , Y J_z EN LA EXPRESIÓN PARA ΔT CONTIENE TÉRMINOS QUE DEPENDEN SOLAMENTE DE LA GEOMETRÍA DEL CUERPO O LA DIRECCIÓN DEL CAMPO TERRESTRE. ENTONCES, SI ESTOS TÉRMINOS SON DETERMINADOS UNA VEZ PARA UN CUERPO DADO Y PARA UNA DIRECCIÓN PARTICULAR DEL CAMPO TERRESTRE, LAS ANOMALIAS DE INTENSIDAD TOTAL PARA DIFERENTES MAGNITUDES Y DIRECCIONES PARA EL VECTOR DE MAGNETIZACIÓN TOTAL (ESTO ES PARA DIFERENTES VALORES DE J_x, J_y, J_z) PUEDEN SER DETERMINADAS POR SIMPLE MULTIPLICACIÓN.

COMO SE APLICA EN EL PRESENTE MÉTODO, EL VALOR DE ΔT EN (9) ES CONOCIDO EN CADA UNO DE LOS PUNTOS DEL LEVANTAMIENTO, D E I SON CONOCIDAS Y V_1, V_2, \dots, V_6 SON DETERMINADAS POR LA COMPUTADORA A PARTIR DE LA GEOMETRÍA DEL CUERPO. J_x, J_y, J_z SON LAS ÚNICAS CANTIDADES DESCONOCIDAS Y SI EL LEVANTAMIENTO HA SIDO HECHO EN NÚMERO DE PUNTOS, ELLOS PUEDEN SER DETERMINADOS POR EL MÉTODO DE MÍNIMOS CUADRADOS.

COMO EL AUTOR LO VE, LA VENTAJA DE LA COMPUTADORA ES QUE TU ACELE-
RACION HACE EL METODO INDIRECTO DE INTERPRETACION TOTALMENTE FACTIBLE. .
LAS ANOMALIAS PUEDEN SER RAPIDAMENTE CALCULADAS CON DIFERENTES VALORES
PARA LOS PARAMETROS, FORMA, MAGNETIZACION, ETC., DEL CUERPO. DE LOS RESULT-
TADOS DE LOS CALCULOS PODEMOS IMPONER LIMITES DENTRO DE LOS CUALES ESOS
PARAMETROS DEBEN VARIAR. CON LA AYUDA DE OTROS DATOS GEOFISICOS PODRIA -
SER POSIBLE ESPECIFICAR AL CUERPO COMPLETAMENTE PRECISO.

BHATTACHARYYA

20

RESUMEN

SE HACE UN ESTUDIO DE ANOMALIAS MAGNÉTICAS CAUSADAS POR CUERPOS DE FORMA PRISMÁTICA CON POLARIZACIÓN ARBITRARIA. LAS EXPRESIONES DEL CAMPO TOTAL SON DEDUCIDAS SOBRE LA SUPOSICIÓN DE LA MAGNETIZACIÓN UNIFORME A TRAVÉS DEL CUERPO. LAS FÓRMULAS PARA TODOS LOS CASOS POSIBLES EN CONECCION CON UN PRISMA RECTANGULAR DE LADOS VERTICALES PUEDEN SER OBTENIDAS TANTO DIRECTAMENTE POR MEDIO DE ESTE ARTÍCULO O POR EXTENSIÓN DE LAS FÓRMULAS DADAS AQUI. USANDO LAS EXPRESIONES EXACTAS DADAS EN ESTE ARTÍCULO, EL CAMPO TOTAL ES EVALUADO CONVENIENTEMENTE Y RAPIDAMENTE CON LA AYUDA DE UNA COMPUTADORA DIGITAL.

EL EFECTO DEL ÁNGULO DE INCLINACIÓN Y DECLINACIÓN DEL VECTOR DE POLARIZACIÓN SOBRE LA DIMENSIÓN Y FORMA DE LA ANOMALIA MAGNÉTICA, ES ESTUDIADO PARA EL CASO EN EL QUE EL VECTOR DE CAMPO NORMAL TERRESTRE TOTAL TIENE UN ÁNGULO DE INCLINACIÓN DE 60° Y DECLINACIÓN DE 0° . CON UN INCREMENTO EN LA INCLINACIÓN DEL ÁNGULO DEL VECTOR DE POLARIZACIÓN, LA ANOMALIA NEGATIVA QUE OCURRE EN EL NORTE DEL CUERPO CAUSANTE DISMINUYE EN MAGNITUD, MIENTRAS QUE LA ANOMALIA POSITIVA Y LA SEGUNDA DERIVADA INCREMENTAN AL MÁXIMO VALOR Y ENTONCES DECRECEN. CON UN INCREMENTO EN LA DECLINACIÓN, ESTA ÚLTIMA TENDENCIA ES REPETIDA CON LA ANOMALIA POSITIVA PERO LA ANOMALIA NEGATIVA Y LA SEGUNDA DERIVADA DECRECEN SISTEMÁTICAMENTE.

INTRODUCCION

EN LA INTERPRETACIÓN DE DATOS AEROMAGNÉTICOS, LOS CÁLCULOS TEÓRICOS DE ANOMALIAS DE CAMPO TOTAL PARA VARIOS TIPOS DE MODELOS DE FUENTES TIENEN SU IMPORTANCIA. POR ESTA SIMPLE RAZÓN, NO HAY DISCONTINUIDAD EN LA PUBLICACIÓN DE ARTÍCULOS CON MÉTODOS FUERA DE LÍNEA PARA EL CÁLCULO DE ANOMALIAS DE CAMPO TOTAL PARA DIFERENTES MODELOS DE FUENTES. I.E. PUNTO POLO, LÍNEA DE POLOS, PUNTO DIPOLO, Y LÍNEA DE DIPOLOS (HENDERSON Y ZIETZ, 1948; SMELIE, 1956) Y CUERPOS DE FORMA PRISMÁTICA (VACQUIER, ET AL, 1951; HUGHSON, 1962). DE TODOS ESTOS EL ARTÍCULO ESCRITO POR VACQUIER HA SIDO USADO PROBABLEMENTE MÁS EXTENSAMENTE POR LA IMPORTANCIA DE CUERPOS TIPO BLOQUE EN INTERPRETACIÓN AEROMAGNÉTICA. EN TODOS LOS

ARTÍCULOS MENCIONADOS SE AGUJE A LA INDUCCIÓN DEL CAMPO GEOMAGNÉTICO COMO RESPONSABLE EN LA MAGNETIZACIÓN DE LAS MASAS DE ROCA.

EL TRABAJO EXPERIMENTAL EN MAGNETISMO DE ROCAS HA DEJADO CLARO QUE, CONTRARIO A LAS PRIMERAS CREENCIAS, LA PRESENCIA DE LA MAGNETIZACIÓN PERMANENTE CONFIRMA LA REGLA, MAS QUE LA EXCEPCIÓN, EN LAS ROCAS DE LA CORTEZA TERRESTRE. LA MAGNETIZACIÓN PERMANENTE ESTA ASOCIADA POR SI MISMA CON LA MAGNETIZACIÓN INDUCIDA PARA ORIENTAR AL VECTOR DE POLARIZACIÓN DE LA MASA DE ROCA EN ALGUNA DIRECCIÓN ARBITRARIA. LA DIRECCIÓN DE ESTE VECTOR DE POLARIZACIÓN INFLUYE APRECIABLEMENTE EN LA DIMENSIÓN Y FORMA DE LA ANOMALIA MAGNÉTICA ASOCIADA. LA NECESIDAD DE UN ESTUDIO DE ESTA INFLUENCIA ESTA CRECIENDO. UNOS CUANTOS ARTICULOS SOBRE ESTE OBJETIVO HAN SIDO PUBLICADOS. EN LA MAYORIA DE ESOS ARTICULOS LOS RESULTADOS PARA EL MODELO ESPECÍFICO DE LA FUENTE HAN SIDO PRESENTADOS, I. E. DIKES INFINITAMENTE LARGOS (HUTCHISON, 1958); PUNTO DIPOLO Y LINEA DE DIPOLOS (SUTTON Y MUMME, 1957); UN PUNTO DIPOLO, UNA LINEA DE DIPOLOS HORIZONTAL, UNA LAMINA, UNA HOJA INCLINADA, UNA CAPA (HALL, 1959).

EL PRESENTE ARTICULO TRATA SOLAMENTE DE CUERPOS DE FORMA PRISMÁTICA CON POLARIZACIÓN ARBITRARIA. EL EFECTO DEL ÁNGULO DE INCLINACIÓN Y DECLINACIÓN DEL VECTOR DE POLARIZACIÓN SOBRE EL TAMAÑO Y FORMA DE LA ANOMALIA MAGNÉTICA HA SIDO ESTUDIADO.

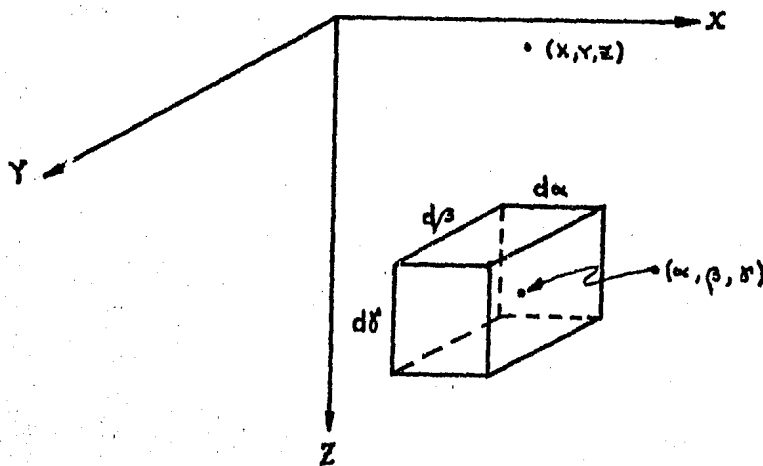
UNA EXPRESIÓN DEL CAMPO TOTAL EN FORMA CERRADA ES DEDUCIDA EN LA SUPOSICIÓN DE LA MAGNETIZACIÓN DEL CUERPO COMPLETO. SIN ESTA SUPOSICIÓN EL ANALISIS DE ESTE PROBLEMA SERA PRACTICAMENTE IMPOSIBLE, POR NUESTRA FALTA DE CONOCIMIENTO DE LA DISTRIBUCIÓN DE MAGNETIZACIÓN PROBABLE EN UNA MASA DE ROCA DADA.

PRISMA CON LADOS VERTICALES INFINITOS.

CONSIDEREMOS UN CUERPO DE FORMA PRISMÁTICA A LA PROFUNDIDAD h BAJO EL NIVEL DE OBSERVACIÓN, CUYA SUPERFICIE SUPERIOR ES UN PLANO HORIZONTAL Y LOS LADOS VERTICALES EXTENDIDOS INFINITAMENTE. EL VECTOR DE POLARIZACIÓN ES TOMADO FORMANDO UN ÁNGULO θ CON LA DIRECCIÓN DEL CAMPO TERRESTRE. PUESTO QUE LA MAGNITUD DEL CAMPO ANOMALO ES GENERALMENTE PEQUEÑO COMPARADA CON EL CAMPO TOTAL TERRESTRE, LA DIRECCIÓN DE LA RESULTANTE DE

LOS DOS VECTORES DE CAMPO SERÁN PRÁCTICAMENTE INVARIANTE SOBRE EL ÁREA DE OBSERVACIÓN Y ESTÁ EN LA MISMA DIRECCIÓN DEL CAMPO TERRESTRE. EN EL CASO EN EL QUE EL CAMPO TOTAL SERÁ MEDIDO, LA DIRECCIÓN DE LAS MEDICIONES SERÁ, POR CONSIGUIENTE, LA MISMA QUE EL VECTOR DE CAMPO TERRESTRE EL CUAL ESTÁ DEFINIDO POR LOS COSENIOS DIRECTORES, l , m Y n .

HAGAMOS α , β Y γ LAS COORDENADAS DEL ELEMENTO DE VOLUMEN $d\alpha d\beta d\gamma$ EN EL PRISMA, (FIGURA SIGUIENTE):



CARACTERIZANDO AL VECTOR DE POLARIZACIÓN POR LOS COSENIOS DIRECTORES l, m, n . ENTONCES EL CAMPO PRODUCIDO POR EL ELEMENTO DE VOLUMEN $d\alpha d\beta d\gamma$ ESTÁ DADO POR:

$$(1) \dots \quad dF = I_p \frac{\partial^2}{\partial s \partial t} \left(\frac{1}{r} \right) d\alpha d\beta d\gamma$$

DONDE:

$I_p \equiv$ POLARIZACIÓN

$\partial s \equiv$ ES UN ELEMENTO DE LONGITUD EN LA DIRECCIÓN DEL VECTOR DE POLARIZACIÓN.

$\partial t \equiv$ ES UN ELEMENTO EN LA DIRECCIÓN DEL CAMPO TOTAL TERRESTRE.

HAGAMOS (x, y, z) LAS COORDENADAS DEL PUNTO DE OBSERVACIÓN. ENTONCES,

$$(2) \dots \quad \partial / \partial t = l \partial / \partial x + m \partial / \partial y + n \partial / \partial z$$

$$(3) \dots \quad \partial / \partial s = L \partial / \partial x + M \partial / \partial y + N \partial / \partial z, \quad Y$$

$$(4) \dots \quad r^2 = (\alpha - x)^2 + (\beta - y)^2 + (\gamma - z)^2$$

UTILIZANDO LAS ECUACIONES (2), (3) Y (4), LA ECUACION (1) PUEDE SER ESCRITA COMO:

$$(5) \dots dF = I_p \left[-\frac{1}{r_0^3} \cos \theta + \frac{3}{r_0^3} \left\{ LL(\alpha-x)^2 + mM(\beta-y)^2 + nN(h-z)^2 + \alpha_{12}(\alpha-x)(\beta-y) + \alpha_{13}(\alpha-x)(h-z) + \alpha_{23}(\beta-y)(h-z) \right\} \right] d\alpha d\beta d\gamma$$

DONDE:

$$(6) \dots \alpha_{12} = Lm + mL, \quad \alpha_{13} = Ln + NL \quad \text{Y} \quad \alpha_{23} = Mn + Nm$$

AHORA, LA ECUACION (5) PUEDE SER INTEGRADA CON RESPECTO A δ Y LA INTEGRAL DE VOLUMEN REDUCIDA A UNA INTEGRAL DE SUPERFICIE.

$$(7) \dots F(x, y, z) = I_p \iint \left[-\frac{\cos \theta}{a^2} \left(1 - \frac{h-z}{r_0} \right) + \frac{Nn}{a^2} \left\{ 1 - \frac{(h-z)^2}{r_0^2} \right\} + \frac{\alpha_{13}\alpha_1 + \alpha_{23}\beta_1}{r_0^3} + \frac{3}{a^2} (LL\alpha_1^2 + mM\beta_1^2 + \alpha_{12}\alpha_1\beta_1) \cdot \left\{ \frac{2}{3} - \frac{(h-z)}{r_0} + \frac{(h-z)^2}{3r_0^2} \right\} \right] d\alpha d\beta_1$$

DONDE:

$$\cos \theta = \frac{L + mM + nN}{a}$$

$$\alpha_1 = \alpha - x; \quad \beta_1 = \beta - y; \quad a^2 = \alpha_1^2 + \beta_1^2; \quad r_0^2 = \alpha_1^2 + \beta_1^2 + (h-z)^2$$

TOMAREMOS AHORA AL PLANO DE OBSERVACION EN $z=0$ Y LA INTEGRAL (7) CON RESPECTO A α_1 . LAS INTEGRALES QUE APARECEN EN (7) SON TODAS DE TIPO ESTANDAR Y NO PRESENTAN SERIAS DIFICULTADES. CONSIDERACIONES ALGEBRAICAS Y TRIGONOMETRICAS SON NECESARIAS, SIN EMBARGO, PARA OBTENER:

$$(8) \dots F(x, y, 0) = I_p \int f(\beta_1) d\beta_1$$

DONDE:

$$(9) \dots f(\beta_1) = \frac{\alpha_{23}\alpha_1\beta_1}{p^2 r_0} - \frac{\alpha_{13}}{r_0} - \frac{\alpha_{12}\beta_1}{a^2} \left(1 - \frac{h}{r_0} \right) - \frac{L\alpha_1}{a^2} \left(1 - \frac{h}{r_0} \right) + mM\alpha_1 \left[\frac{1}{a^2} - \frac{h}{r_0} \left(\frac{1}{a^2} + \frac{1}{p^2} \right) \right] + \frac{Nn\alpha_1 h}{p^2 r_0}$$

CON:

$$p^2 = h^2 + \beta_1^2 \quad \text{Y} \quad r_0^2 = p^2 + \alpha_1^2$$

DESPUES DE LA INTEGRACION DE (8) CON RESPECTO A β_1 , LA EXPRESION DE ANOMALIA DE CAMPO TOTAL PUEDE SER ESCRITA FINALMENTE COMO:

$$(10) \dots \frac{F(x, Y, 0)}{I_p} = \left[\frac{\alpha_{23}}{2} \log \left(\frac{r_0 - \alpha_1}{r_0 + \alpha_1} \right) + \frac{\alpha_{13}}{2} \log \left(\frac{r_0 - \beta_1}{r_0 + \beta_1} \right) - \alpha_{12} \log (r_0 + h) - \right. \\ \left. - \left[L \tan^{-1} \left(\frac{\alpha_1 \beta_1}{\alpha_1^2 + r_0 h + h^2} \right) - m M \tan^{-1} \left(\frac{\alpha_1 \beta_1}{r_0^2 + r_0 h + h^2} \right) + N n \tan^{-1} \left(\frac{\alpha_1 \beta_1}{r_0 h} \right) \right] \right] \int_{\alpha_2}^{\alpha_4} \int_{\beta_2}^{\beta_4}$$

DONDE α_u, β_u SON LOS LÍMITES SUPERIORES Y α_l, β_l LOS LÍMITES INFERIORES DE α_1, β_1 RESPECTIVAMENTE.

SEA I_0, D_0 LA INCLINACIÓN Y DECLINACIÓN DEL CAMPO TERRESTRE RESPECTIVAMENTE, I Y D LA INCLINACIÓN Y DECLINACIÓN DEL VECTOR DE POLARIZACIÓN. EN EL CASO EN EL QUE EL EJE X ESTA DIRIGIDO HACIA EL NORTE Y CUANDO LA DIRECCIÓN DE POLARIZACIÓN ES LA MISMA QUE LA DEL CAMPO TERRESTRE, TENEMOS:

$$l = L = \sin \delta ; \quad n = N = \cos \delta ; \quad m = M = 0$$

$$\text{DONDE: } \delta = 90^\circ - \delta$$

LA SUSTITUCIÓN DE ESTAS ECUACIONES EN LA ECUACIÓN (10) PRODUCE:

$$(11) \dots F(x, Y, 0) = I_p \left[\cos^2 \delta \tan^{-1} \left(\frac{\alpha_1 \beta_1}{r_0 h} \right) - \sin^2 \delta \tan^{-1} \left(\frac{\alpha_1 \beta_1}{\alpha_1^2 + r_0 h + h^2} \right) + \right. \\ \left. + \sin \delta \cos \delta \cdot \log \left(\frac{r_0 - \beta_1}{r_0 + \beta_1} \right) \right] \int_{\alpha_2}^{\alpha_4} \int_{\beta_2}^{\beta_4}$$

ESTE ES EXACTAMENTE EL MISMO CASO QUE EL TRATADO POR VACQUIER (1951). CUANDO EL EJE X ES DIRIGIDO HACIA EL NORTE, PERO LA DIRECCIÓN DE POLARIZACIÓN ES DIFERENTE DE LA DEL CAMPO TERRESTRE, TENEMOS:

$$(12) \dots \frac{F(x, Y, 0)}{I_p} = \left[\frac{\alpha_{23}}{2} \log \left(\frac{r_0 - \alpha_1}{r_0 + \alpha_1} \right) + \frac{\alpha_{13}}{2} \log \left(\frac{r_0 - \beta_1}{r_0 + \beta_1} \right) - \alpha_{12} \log (r_0 + h) + \right. \\ \left. - \left[L \tan^{-1} \left(\frac{\alpha_1 \beta_1}{\alpha_1^2 + r_0 h + h^2} \right) + N n \tan^{-1} \left(\frac{\alpha_1 \beta_1}{r_0 h} \right) \right] \right] \int_{\alpha_2}^{\alpha_4} \int_{\beta_2}^{\beta_4}$$

DONDE, EN EL PRESENTE CASO:

$$\alpha_{12} = \cos I_0 \cos D$$

$$\alpha_{13} = \cos I_0 \sin I + \cos I \sin I_0 \cos D$$

$$\alpha_{23} = \cos I \sin I_0 \sin D.$$

BHATTACHARYYA 3D

LA ALTURA DE LA SUPERFICIE DE OBSERVACIÓN DE LA REGIÓN MAGNETIZADA DETERMINA LA DIMENSIÓN CRÍTICA DE LA MÁS PEQUEÑA HETEROGENEIDAD EN LA MAGNETIZACIÓN QUE PUEDE SER REVELADA A PARTIR DE LOS DATOS DEL LEVANTAMIENTO MAGNÉTICO. CUANDO UN BLOQUE RECTANGULAR ES CORTO EN LONGITUD, EN ESTA DIMENSIÓN CRÍTICA, LO PRESENTA MAGNETIZADO HOMOGENEAMENTE EN EL CAMPO MAGNÉTICO OBSERVADO. ESTA CONSIDERACIÓN PERMITE LA SELECCIÓN DE UNA UNIDAD DE BLOQUE RECTANGULAR DE DIMENSIONES CONVENIENTES CON MAGNETIZACIÓN HOMOGÉNEA. LA REGIÓN MAGNETIZADA CREA LOS VALORES DE CAMPO ANOMALO EN EL ÁREA DE OBSERVACIÓN Y PUEDE POR CONSIGUIENTE, SER PARTIDA EN VARIOS BLOQUES TENIENDO DIFERENTES MAGNETIZACIONES, CADA BLOQUE ES IGUAL EN TAMAÑO Y UNIFORMEMENTE MAGNETIZADO.

EL MÉTODO ITERATIVO DESCRITO AQUI SUPONE INICIALMENTE QUE LOS VALORES DE CAMPO ANOMALO SON CAUSADOS POR UNA DISTRIBUCIÓN TRIDIMENSIONAL (3-D) DE BLOQUES RECTANGULARES MAGNETIZADOS. LA ORIENTACIÓN ÓPTIMA DE ESOS BLOQUES CON RESPECTO AL NORTE GEOGRÁFICO TIENE QUE SER DETERMINADA. ESTA ORIENTACIÓN ES PARTICULARMENTE INSENSIBLE A LOS AJUSTES EN LAS DIMENSIONES DE LOS BLOQUES. LAS SUPERFICIES DE LA CIMA Y LA BASE DE CADA UNO DE LOS BLOQUES EN UNA O MÁS CAPAS SON AJUSTADOS EN EL SENTIDO DE LOS MÍNIMOS CUADRADOS PARA MINIMIZAR LA DIFERENCIA ENTRE LOS VALORES DEL CAMPO CALCULADO Y EL OBSERVADO. UN MÉTODO ES DESCRITO PARA LA CONSTRUCCIÓN DEL VECTOR DE MAGNETIZACIÓN DE CADA BLOQUE QUE YACE CON UN ÁNGULO ESPECÍFICO DE DIRECCIÓN NORMAL O INVERSA DEL VECTOR DE CAMPO GEOMAGNÉTICO. EL PROCESO PARA EL ANÁLISIS DE DATOS PUEDE SER EXTENDIDO AL CASO DE ANOMALIAS SOBRE SUPERFICIES CUBIERTAS. EN LA CONCLUSIÓN DE LAS ITERACIONES, UNA DISTRIBUCIÓN (3-D) DE MAGNETIZACIÓN ES GENERADA PARA DELINEAR LA REGIÓN MAGNETIZADA RESPONSABLE DEL CAMPO MAGNÉTICO ANOMALO OBSERVADO.

INTRODUCCION

LA INTERPRETACIÓN DE ANOMALIAS GRAVIMÉTRICAS Y MAGNÉTICAS SE EFECTUA TANTO PARA EL MODELADO BIDIMENSIONAL COMO PARA EL TRIDIMENSIONAL. EN EL MODELADO (2-D) EL ANÁLISIS DE PERFILES SELECCIONADOS ESTA BASADO EN LA SUPUESTA DE QUE LAS ESTRUCTURAS SE EXTIENDEN HACIA EL INFINITO EN UNA DIRECCIÓN PARTICULAR SON RESPONSABLES DE LA GENERACIÓN DE ANOMALIAS OBSERVADAS. (HARTMAN et al)

1971; O'BRIEN, 1975; NABIGHIAN, 1972, 1974; BHATTACHARYYA Y LEU, 1975). ESTE TIPO DE ANÁLISIS ES GENERALMENTE ÚTIL EN LA DETERMINACIÓN DE LA PROFUNDIDAD A LA CIMA DE LAS ESTRUCTURAS. EL PROBLEMA DE INTERPRETACIÓN DE ANOMALIA MAGNÉTICA CAUSADA POR UN CUERPO (2-D) HA SIDO ESTUDIADA POR BOTT (1967) PARA DOS CASOS: 1) CUANDO LA FORMA DEL CUERPO Y LA DIRECCIÓN DE MAGNETIZACIÓN SON CONOCIDOS Y SOLAMENTE LA DISTRIBUCIÓN DE LA INTENSIDAD DE MAGNETIZACIÓN ES ESTIMADA; Y 2) CUANDO LA FORMA DE UNA INTERFACE ES DETERMINADA CUANDO LA MAGNETIZACIÓN Y OTRA INTERFACE SON DADAS: TANHER (1967) PRESENTÓ UN RECURSO INTERACTIVO PARA LA SOLUCIÓN DEL PROBLEMA INVERSO DEL SEGUNDO CASO DISCUTIDO POR BOTT (1967). UNA TEORÍA RECIENTE HA SIDO DESARROLLADA POR HUESTIS Y PARKER (1977) PARA UBICAR UNA REGIÓN BAJA SOBRE EL ESPESOR DE LA CAPA OCÉANICA MAGNETIZADA, USANDO VALORES DE ANOMALIA MAGNÉTICA SOBRE UN PERFIL Y ESTIMACIÓN DE LA INTENSIDAD DE MAGNETIZACIÓN.

EL MODELADO (3-D) REQUIERE EL ANÁLISIS DE DATOS SOBRE UNA ÁREA. DEBIDO A LA AMBIGÜEDAD INHERENTE EN LA INTERPRETACIÓN Y LAS VARIAS COMPLEJIDADES EN LA INVERSIÓN ANALÍTICA. LA MAYORÍA DE LOS ARTÍCULOS PUBLICADOS QUE TRATAN CON CUERPOS DE FORMA GEOMÉTRICA SIMPLE, TAL COMO LOS CUERPOS PRISMÁTICOS RECTANGULARES. (VACQUIER ET AL, 1981; BHATTACHARYYA, 1966; BHATTACHARYYA Y LEU, 1977), PUNTO DIPOLAR Y LÍNEA DE DIPOLOS (SUTTON Y HUMME, 1957; HENDERSON Y ZIETZ, 1948) Y UNOS CUANTOS MÁS.

EN AÑOS RECIENTES, EL ESPECTRO DE ENERGÍA DE LAS ANOMALIAS MAGNÉTICAS OBSERVADAS SOBRE ÁREAS LIMITADAS TAMBIÉN HAN SIDO USADOS PARA DETERMINAR LA PROFUNDIDAD PROMEDIO DEL ENSAMBLE DE CUERPOS PRISMÁTICOS RECTANGULARES (SPECTOR Y GRANT, 1970). LA TÉCNICA DESARROLLADA POR SPECTOR Y GRANT (1970) HA SIDO EXTENDIDO Y MODIFICADO POR GERARD Y DEBEGUA (1975) PARA LA ESTIMACIÓN NO SOLO DE LA PROFUNDIDAD MEDIA, SINO TAMBIÉN PARA PROFUNDIDADES LOCALES EN PUNTOS SOBRE LA INTERFACE DE DOS MEDIOS.

ESTE ARTÍCULO PRESENTA UN MÉTODO PARA MODELADO (3-D). PARA EXPLICAR LAS BASES DEL MÉTODO, SUPONGA UNA MASA DE ROCA MAGNETIZADA, QUE GENERA UNA ANOMALIA DE CAMPO MAGNÉTICO A UNA ALTURA h . EL VOLUMEN DE LA MASA DE ROCA SE EXTIENDE POR ENCIMA DEL ÁREA DE OBSERVACIÓN Y ES, PARA TODO PROPÓSITO PRÁCTICO, LIMITADO EN EXTENSIÓN HORIZONTAL Ó VERTICAL.

UNA MASA DE ROCA EN GENERAL NO ESTA HOMOGENEAMENTE MAGNETIZADA, SIN EMBARGO, LA ALTITUD DE LA SUPERFICIE DE OBSERVACION DESDE LA REGION MAGNETIZADA. PRIMERAMENTE DETERMINA LA DIMENSION CRITICA DE LA MAS PEQUENA HETEROGENEIDAD EN LA MAGNETIZACION QUE PUEDE SER DETECTADA EN LOS DATOS OBSERVADOS. SI CONSIDERAMOS UN BLOQUE RECTANGULAR VERTICAL DE DIMENSIONES APROXIMADAMENTE IGUALES A LA DIMENSION CRITICA, PARECE EN LA SUPERFICIE DE OBSERVACION COMO MAGNETIZADO HOMOGENEAMENTE. LA MASA DE ROCA ES DIVIDIDA HORIZONTAL Y VERTICALMENTE EN UN NUMERO DE PEQUS BLOQUES RECTANGULARES. AUNQUE CADA UNO DE LOS BLOQUES ES MAGNETIZADO HOMOGENEAMENTE, LA MAGNETIZACION PUEDE VARIAR DE UN BLOQUE A OTRO.

EL CAMPO TOTAL GENERADO POR LA DISTRIBUCION DE BLOQUES QUE REPRESENTAN A LA MASA DE ROCA PUEDE SER EXPRESADO EN UNA FORMA ANALITICA. PARA EXTENSIONES HORIZONTAL Y VERTICAL FIJAS DE LOS BLOQUES, ES POSIBLE DETERMINAR LA INTENSIDAD OPTIMA Y DIRECCION DEL VECTOR DE MAGNETIZACION ASOCIADO CON LOS BLOQUES EN EL SENTIDO DE LOS MINIMOS CUADRADOS. EL ERROR CUADRATICO MEDIO, EL CUAL ES LA SUMA DE LOS CUADRADOS DE LAS DIFERENCIAS ENTRE LOS VALORES DEL CAMPO OBSERVADO Y EL CALCULADO PARA TODOS LOS PUNTOS DE OBSERVACION, PUEDE SER CALCULADO. PARA MINIMIZAR EL ERROR CUADRATICO MEDIO, SE USA UN RECURSO ITERATIVO PARA AJUSTAR EL RUMBO DE LA MASA DE ROCA, Y LA EXTENSION VERTICAL DE BLOQUES INDIVIDUALES. EN MUCHAS AREAS, LOS DATOS DE MAGNETIZACION DE ROCAS Y LAS PROFUNDIDADES DE LA CIMA Y LA BASE DE POCOS BLOQUES ESTAN DISPONIBLES. EN TALES CASOS, EL RECURSO ITERATIVO HA SIDO MODIFICADO PARA CONSTRUIR EL VECTOR DE MAGNETIZACION CONTENIDO EN LOS LIMITES ESPECIFICADOS Y USAR LA EXTENSION VERTICAL CONOCIDA DE ALGUNO DE LOS BLOQUES PARA CONTROLAR LA SOLUCION FINAL. EL METODO PARA ANALISIS DE ANOMALIAS SOBRE SUPERFICIES CUBIERTAS ES DISCUTIDO.

LAS DIMENSIONES HORIZONTALES SE MANTIENEN FIJAS DURANTE TODO EL ANALISIS. LOS ANCHOS DE LOS LADOS, SIENDO APROXIMADAMENTE IGUALES A LA DIMENSION CRITICA DE INHOMOGENEIDAD EN LA MAGNETIZACION, SITUADO ENTRE 1.6 Y 2 VECES LA DIMENSION DE LA DISTANCIA ENTRE LA SUPERFICIE DE OBSERVACION Y LA MASA MAGNETIZADA. PARA UN BLOQUE MAGNETIZADO POR COMPLETO O NO MAGNETIZADO, NO HAY PROBLEMA EN LA SOLUCION DEL PROCESO ITERATIVO.

SIN EMBARGO, SI SÓLO UNA PARTE DEL BLOQUE ES MAGNETIZADA, LA MAGNETIZACIÓN CALCULADA DEL BLOQUE COMPLETO SERÁ MENOR QUE LA MAGNETIZACIÓN DE LA PARTE MAGNETIZADA. HAY UN PEQUEÑO EFECTO DE LA MAGNETIZACIÓN PARCIAL SOBRE LAS PROFUNDIDADES CALCULADAS PARA LA CIMA Y LA BASE DEL BLOQUE.

UNA DISTRIBUCIÓN HORIZONTAL Y VERTICAL DE MAGNETIZACIÓN ES OBTENIDA EN LA CONCLUSIÓN DEL PROCESO ITERATIVO. ESTA DISTRIBUCIÓN DELINEA LA ZONA MAGNETIZADA DE LA MASA DE ROCA RESPONSABLE DEL CAMPO MAGNÉTICO ANOMALO OBSERVADO.

CAMPO TOTAL DEBIDO A UN BLOQUE RECTANGULAR

CONSIDERANDO UN SISTEMA DE COORDENADAS RECTANGULARES CARTESIANAS CON LOS EJES X, Y A LO LARGO DE LAS DIRECCIONES DEL NORTE Y DEL ESTE GEOGRAFICOS RESPECTIVAMENTE, Y EL EJE Z APUNTANDO VERTICALMENTE HACIA ABAJO. SI EL MATERIAL MAGNETIZADO CON MAGNETIZACIÓN J OCUPA UN VOLUMEN V , EL POTENCIAL MAGNÉTICO ESCALAR $A(r)$ EN EL PUNTO $P(r)$, DONDE $r = xi + yj + zk$ ESTA DADO POR:

$$(1) \dots A(r) = \int_V [J(r_0) \cdot \nabla_0] \cdot \frac{1}{|r-r_0|} dV = \int_V J_x(r_0) \frac{x-\alpha}{d^3} dV + \\ + \int_V J_y(r_0) \frac{y-\beta}{d^3} dV + \\ + \int_V J_z(r_0) \frac{z-\gamma}{d^3} dV$$

DONDE:

$r_0 \equiv i\alpha + j\beta + k\gamma$ ES UN PUNTO EN EL VOLUMEN V .

$\nabla_0 \equiv i \partial/\partial x + j \partial/\partial y + k \partial/\partial z$

$J \equiv iJ_x + jJ_y + kJ_z$ Y $d^2 = (x-\alpha)^2 + (y-\beta)^2 + (z-\gamma)^2$

LA ECUACIÓN (1) PARA EL POTENCIAL MAGNÉTICO ESCALAR PUEDE SER EXPRESADO EN FORMA DE UNA CONVOLUCIÓN:

$$(2) \dots A(r) = J_x * \frac{x}{r^3} + J_y * \frac{y}{r^3} + J_z * \frac{z}{r^3}$$

DONDE: * INDICA CONVOLUCIÓN.

EL CAMPO MAGNÉTICO TOTAL EN LA DIRECCIÓN $u = i\ell + jm + kn$ EN EL PUNTO P ESTA DADO POR:

$$(3) \dots T(r) = -(\mathbf{U} \cdot \nabla) A(r) = J_x * G_x + J_y * G_y + J_z * G_z$$

DONDE:

$$\nabla = i \frac{\partial}{\partial x} + j \frac{\partial}{\partial y} + k \frac{\partial}{\partial z},$$

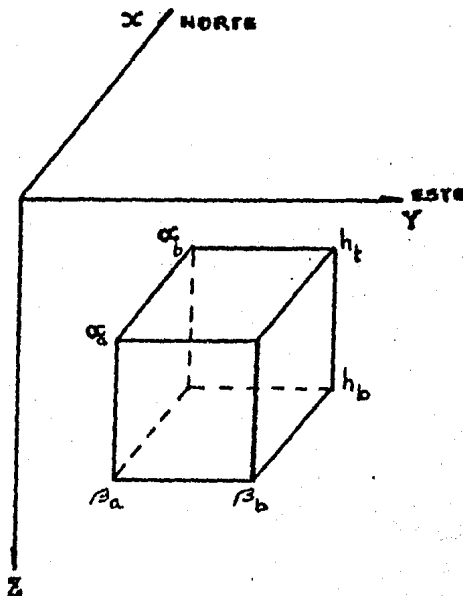
$$G_x = -\frac{l}{r^3} + \frac{3(lx^2 + mxy + nyz)}{r^5}$$

$$G_y = -\frac{m}{r^3} + \frac{3(lxy + my^2 + nyz)}{r^5}$$

$$G_z = -\frac{n}{r^3} + \frac{3(lxz + myz + nz^2)}{r^5}$$

LA DISTRIBUCIÓN DE MAGNETIZACIÓN \vec{J} EN LAS ECUACIONES (2) Y (3) DE LINEAL LA FORMA DEL CUERPO FUENTE.

SI SUPONEMOS QUE EL VOLUMEN Y ES UN BLOQUE RECTANGULAR HOMOGÉNEAMENTE MAGNETIZADO COMO SE MUESTRA EN LA FIGURA SIGUIENTE:



EL VECTOR DE MAGNETIZACIÓN \vec{J} ES DEFINIDO POR LA INTENSIDAD J Y LOS COSENO DIRECTORES (L, M, N) . NOSOTROS, POR CONSIGUIENTE PODEMOS ESCRIBIR:

$$(4) \dots J_x = LJ, \quad J_y = MJ, \quad J_z = NJ$$

LOS LADOS DEL BLOQUE RECTANGULAR SE CONSIDERAN PARALELOS A LOS EJES X, Y RESPECTIVAMENTE. EL BLOQUE SE EXTIENDE DESDE α_a HASTA α_b EN LA DIRECCIÓN X, DESDE β_a HASTA β_b EN LA DIRECCIÓN Y, DESDE h_t HASTA h_b EN LA DIRECCIÓN Z. EN ESTE CASO LA INTEGRAL DE CONVOLUCIÓN EN LA ECUACIÓN (3) PUEDE SER EXPRESADA EN FORMA CERRADA, Y TENEMOS (GHATACHARYYA, 1964):

$$(5) \dots T(r) = a_1 b_{r1} + a_2 b_{r2} + a_3 b_{r3}$$

DONDE:

$$a_1 = J_x, \quad a_2 = J_y, \quad a_3 = J_z$$

$$b_{r1} = \left[\frac{n}{2} \log \left(\frac{r_0 - \beta_1}{r_0 + \beta_1} \right) - m \log(r_0 + h) - l \tan^{-1} \frac{\alpha_1 \beta_1}{\alpha_1^2 + r_0 h + h^2} \right] \begin{matrix} \alpha_u \\ \alpha_l \end{matrix} \begin{matrix} \beta_u \\ \beta_l \end{matrix} \begin{matrix} h_b \\ h_t \end{matrix}$$

$$b_{r2} = \left[\frac{n}{2} \log \left(\frac{r_0 - \alpha_1}{r_0 + \alpha_1} \right) - l \log(r_0 + h) - m \tan^{-1} \frac{\alpha_1 \beta_1}{r_0^2 + r_0 h + \alpha_1^2} \right] \begin{matrix} \alpha_u \\ \alpha_l \end{matrix} \begin{matrix} \beta_u \\ \beta_l \end{matrix} \begin{matrix} h_b \\ h_t \end{matrix}$$

$$b_{r3} = \left[\frac{m}{2} \log \left(\frac{r_0 - \alpha_1}{r_0 + \alpha_1} \right) + \frac{l}{2} \log \frac{r_0 + \beta_1}{r_0 + \beta_1} + n \tan^{-1} \frac{\alpha_1 \beta_1}{r_0 h} \right] \begin{matrix} \alpha_u \\ \alpha_l \end{matrix} \begin{matrix} \beta_u \\ \beta_l \end{matrix} \begin{matrix} h_b \\ h_t \end{matrix}$$

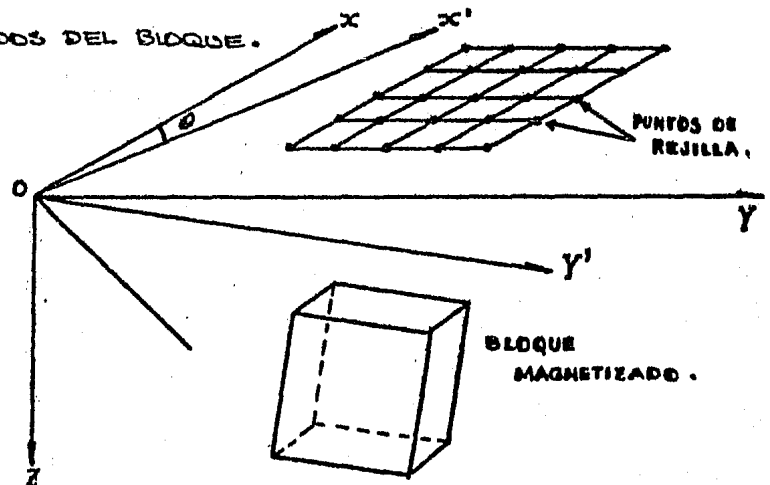
$$\alpha_l = \alpha - X, \quad \beta_l = \beta - Y, \quad \alpha_u = \alpha_a - X, \quad \alpha_b = \alpha_b - X$$

$$\beta_l = \beta_a - Y, \quad \beta_u = \beta_b - Y$$

$$r_0^2 = \alpha_l^2 + \beta_l^2 + (h - Z)^2$$

ROTACION DEL BLOQUE RECTANGULAR

LA ECUACIÓN (5) ES VÁLIDA CUANDO LOS LADOS DEL BLOQUE SON PARALELOS A LAS DIRECCIONES NORTE Y ESTE, RESPECTIVAMENTE. A CONTINUACIÓN, TAMBIÉN ENCONTRAREMOS LA SITUACIÓN (FIGURA SIGUIENTE) EN LA CUAL (1). EL BLOQUE RECTANGULAR ES GIRADO UN ÁNGULO θ CON RESPECTO AL NORTE GEOGRÁFICO, Y (2) LAS LINEAS DE REJILLA QUE CONTIENEN LOS PUNTOS DE OBSERVACIÓN SON PARALELAS AL NORTE Y AL ESTE RESPECTIVAMENTE. TAL CASO REQUIERE LA SELECCIÓN DE LOS EJES X' , Y' PARALELOS A LOS LADOS DEL BLOQUE.



SUS DIMENSIONES HORIZONTALES SON EXPRESADAS EN TÉRMINOS DE LAS DISTANCIAS A LO LARGO DE LOS EJES X', Y' . EL PUNTO "O" SOBRE LA SUPERFICIE DE OBSERVACIÓN SE CONSIDERA COMO EL ORIGEN DE LOS EJES (X, Y) ASÍ COMO TAMBIÉN PARA LOS NUEVOS EJES (X', Y') . ENTONCES LAS RELACIONES ENTRE LAS COORDENADAS (X, Y) Y (X', Y') DE UN PUNTO SON:

$$X' = X \cos \theta + Y \sin \theta$$

$$Y' = -X \sin \theta + Y \cos \theta$$

LAS COORDENADAS (X, Y) EN LA ECUACIÓN (5) TIENEN QUE SER REEMPLAZADAS POR LAS NUEVAS COORDENADAS (X', Y') . SI I Y D SON LA INCLINACIÓN Y DECLINACIÓN DEL CAMPO GEOMAGNÉTICO RESPECTIVAMENTE LOS COSENO DIRECTORES DEL VECTOR DE CAMPO ESTAN DADAS POR:

$$(7) \dots \begin{cases} l = \cos I \cos (D - \theta) \\ m = \cos I \sin (D - \theta) \\ n = \sin I \end{cases}$$

SIMILARMENTE, LOS COSENO DIRECTORES DEL VECTOR DE MAGNETIZACIÓN ESTAN DADOS POR:

$$(8) \dots \begin{cases} L = \cos I_0 \cos (D_0 - \theta) \\ M = \cos I_0 \sin (D_0 - \theta) \\ N = \sin I_0 \end{cases} \quad \text{DONDE:} \quad \begin{cases} I_0 = \text{INCLINACIÓN} \\ D_0 = \text{DECLINACIÓN} \end{cases}$$

ACERCA DE ESTOS CAMBIOS LA ECUACIÓN (5) PUEDE SER USADA PARA CALCULAR EL CAMPO TOTAL CAUSADO POR EL BLOQUE RECTANGULAR GIRADO EN PUNTOS DE REJILLA LOCALIZADOS SOBRE LINEAS PARALELAS A LAS DIRECCIONES NORTE Y ESTE, RESPECTIVAMENTE.

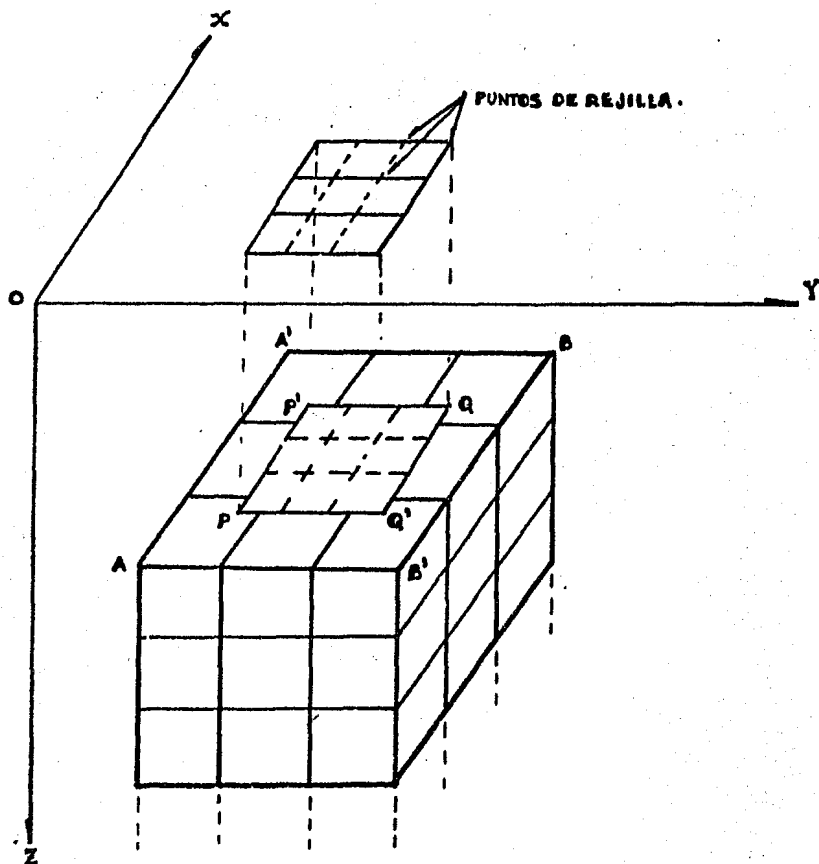
MASA DE ROCA CON MAGNETIZACION INHOMOGENEA

CONSIDERE UNA MASA DE ROCA, RESPONSABLE DE GENERAR UN CAMPO MAGNÉTICO ANOMALO EN PUNTOS LOCALIZADOS SOBRE UNA SUPERFICIE DE OBSERVACIÓN. SE CONSIDERA QUE ESTA SUPERFICIE SE ENCUENTRA A UNA ALTURA h DES DE LA CIMA DE LA MASA DE ROCA. SUPONGASE QUE LA ANOMALIA MAGNÉTICA ES OBSERVADA SOBRE UNA ÁREA (FIGURA QUE SIGUE) CONTENIENDO $m = n_x \cdot n_y$ PUNTOS. DONDE n_x Y n_y SON LOS NÚMEROS DE PUNTOS A LO LARGO DE LAS LINEAS DE REJILLA PARALELAS A LOS EJES X, Y , RESPECTIVAMENTE.

EL VOLUMEN DE LA MASA DE ROCA MAGNETIZADA, LA CUAL ES PRIMERAMENTE

RESPONSABLE DE VARIACIONES EN EL CAMPO MAGNÉTICO SE EXTIENDE POR ENCIMA DEL ÁREA DIRECTAMENTE BAJO EL ÁREA DE LA SUPERFICIE DE OBSERVACIÓN. ESTA EXTENSIÓN HORIZONTAL DEL VOLUMEN ES DETERMINADA POR LA INTENSIDAD DE MAGNETIZACIÓN DE LAS ROCAS Y LA DISTANCIA MÁS CORTA ENTRE LOS PUNTOS SOBRE LOS LÍMITES DEL VOLUMEN Y LOS PUNTOS DE OBSERVACIÓN. CUANDO ESTA DISTANCIA CRECE, EL EFECTO DEL MATERIAL MAGNETIZADO EN LA VICINIDAD DEL LÍMITE EN EL CAMPO ANOMALO OBSERVADO DECRECE.

POR CONSIGUIENTE, ES POSIBLE LIMITAR LA EXTENSIÓN HORIZONTAL DE LA MASA DE ROCA MAGNETIZADA POR ENCIMA DEL ÁREA DIRECTAMENTE BAJO EL ÁREA DE OBSERVACIÓN. LA FIGURA SIGUIENTE PROPORCIONA UN EJEMPLO DE LAS POSICIONES HORIZONTALES RELATIVAS DE LA MASA DE ROCA MAGNETIZADA Y EL ÁREA DE OBSERVACIÓN, $AA' BB'$ ES LA SECCIÓN TRANSVERSAL DEL VOLUMEN DEL MATERIAL MAGNÉTICO. $PP' QQ'$ ES LA PROYECCIÓN VERTICAL DEL ÁREA QUE CONTIENE LOS PUNTOS DE OBSERVACIÓN. LA MASA DE ROCA MAGNETIZADA PUEDE EXTENDERSE VERTICALMENTE DESDE LA SUPERFICIE TERRESTRE A LA SUPERFICIE ISOTERMAL DEL PUNTO CURIE.



LA ALTURA DE LA SUPERFICIE DE OBSERVACIÓN SOBRE LA CIMA DE LAS ROCAS MAGNETIZADA LIMITA LA RESOLUCIÓN DE LOS DATOS, I.E., LA HABILIDAD PARA DETECTAR EN LOS DATOS OBSERVADOS LA PRESENCIA DE DOS FUENTES ESPACIADAS POR UN INTERVALO CRÍTICO (BHATTACHARYA, 1973). LA RESOLUCIÓN DE DOS FUENTES DISTINTAS EN LAS OBSERVACIONES DEPENDIÉ DEL VALOR DE h/s , DONDE s ES EL ESPACIAMIENTO ENTRE LAS FUENTES. HA SIDO MOSTRADO TEÓRICAMENTE QUE PARA RESOLUCIONES NO AMBIGUAS DE DOS POLOS MAGNÉTICOS DE IGUAL INTENSIDAD, h/s DEBERÍA SER MENOR QUE 1.0. EN OTRAS PALABRAS, PARA DETECTAR DOS FUENTES EN LOS DATOS OBSERVADOS, LAS FUENTES DEBEN ESTAR SEPARADAS POR UNA DISTANCIA MAYOR QUE h . UN INCREMENTO EN LA SEPARACIÓN FACILITA LA RESOLUCIÓN DE LAS FUENTES DESDE UN PUNTO DE VISTA PRÁCTICO, LA DISTANCIA CRÍTICA ENTRE LAS DOS FUENTES PARA SU DETECCIÓN EN LOS DATOS OBSERVADOS DEBE SER $1.5h$ O MAYOR. UNA SEPARACIÓN MENOR QUE ESTA DISTANCIA CRÍTICA EXPANDIDA ENTRE LAS FUENTES PRODUCIRÁ UNA ANOMALIA QUE PUEDE SER INTERPRETADA SOLAMENTE EN TÉRMINOS DE UNA FUENTE SENCILLA.

DE ESTA DISCUSIÓN RESULTA CLARO QUE LA ALTURA h DE LA SUPERFICIE DE OBSERVACIÓN ACERCA DE LA REGIÓN MAGNETIZADA, DETERMINA LAS DIMENSIONES CRÍTICAS DE LA MÁ S BAJA INHOMOGENEIDAD EN LA MAGNETIZACIÓN QUE PUEDE SER RESUELTA A PARTIR DE LOS DATOS. CUANDO LAS DIMENSIONES HORIZONTALES DE UN BLOQUE RECTANGULAR SON MUY PEQUEÑAS EN TAMAÑO, QUE SU DIMENSIÓN CRÍTICA, EL BLOQUE APARECE HOMOGENEAMENTE MAGNETIZADO EN EL CAMPO MAGNÉTICO OBSERVADO. LA DIMENSIÓN CRÍTICA CONSIDERA EL VALOR DE $1.5h$ PARA LA SUPERFICIE DE OBSERVACIÓN A UNA ALTURA h DESDE EL CUERPO MAGNETIZADO.

LA MASA DE ROCA QUE GENERA EL CAMPO MAGNÉTICO ANOMALO ES, EN LA MAYORÍA DE LOS CASOS, MAGNETIZADO NO HOMOGENEAMENTE. LA SUPOSICIÓN DE LA MAGNETIZACIÓN HOMOGENEA POR CONSIGUIENTE, GENERALMENTE PRODUCIRÁ RESULTADOS ERROÑOS EN EL ANÁLISIS DE DATOS. POR ESTA RAZÓN LA MASA DE ROCA MAGNÉTICA ES DIVIDIDA EN BLOQUES RECTANGULARES (FIGURA ANTERIOR). LA DIMENSIÓN HORIZONTAL DE UN BLOQUE DEBERÍA ACERCARSE A LA DIMENSIÓN CRÍTICA DE LA MÁ S BAJA INHOMOGENEIDAD EN LA MAGNETIZACIÓN. EL BLOQUE PODRÍA EXTENDERSE VERTICALMENTE DESDE LA SUPERFICIE DE LA TIERRA HASTA LA SUPERFICIE ISOTÉRMAL DEL PUNTO CURIE. SIN EMBARGO, TAL COLUMNA VERTICAL LARGA NO ES PROBABLEMENTE MAGNETIZADO HOMOGENEAMENTE; POR ESTA RAZÓN, LA EXTENSIÓN

VERTICAL DE CADA BLOQUE DEBERIA TAMBIEN SER LIMITADA. LA MASA DE ROCA MAGNETIZADA ES, POR LO TANTO, ASUMIDA A SER DIVIDIDA EN H BLOQUES EN LA HORIZONTAL Y V BLOQUES EN LA DIRECCION VERTICAL. (FIGURA ANTERIOR) CADA BLOQUE PUEDE SER CONSIDERADO COMO HOMOGENEAMENTE MAGNETIZADO. SIN EMBARGO, UN CAMBIO EN LA MAGNETIZACION PODRIA TOMAR LUGAR DE UN BLOQUE A OTRO.

PROCEDIMIENTO PARA EL ANALISIS DE DATOS

LA DISCUSION EN LA SECCION ANTERIOR CONCERNIENTE AL CASO GENERAL DE UN CAMPO MAGNETICO ANOMALO OBSERVADO EN M PUNTOS SOBRE UNA SUPERFICIE DE OBSERVACION LA CUAL ES LOCALIZADA A UNA ALTURA h DESDE LA MASA DE ROCA MAGNETIZADA. LA MASA PUEDE SER REPRESENTADA POR $B=H \cdot V$ BLOQUES ELEMENTALES, CADA BLOQUE SE ASUME SER MAGNETIZADO HOMOGENEAMENTE. LOS BLOQUES VERTICALES CONSECUTIVOS PODRIAN SER SEPARADOS ALGUNAS VECES POR REGIONES NO MAGNETICAS.

AHORA ASUMIMOS QUE LAS DIMENSIONES HORIZONTALES DE LOS DIFERENTES BLOQUES SON FIJADAS. SIN EMBARGO LA CIMA Y LA BASE DE CADA BLOQUE Y SU VECTOR DE MAGNETIZACION SON DESCONOCIDOS, Y TIENEN QUE SER ESTIMADOS POR UN ANALISIS DE LA ANOMALIA MAGNETICA OBSERVADA. USANDO LA ECUACION (5) PODEMOS ESCRIBIR LAS EXPRESIONES PARA EL CAMPO TOTAL EN UN PUNTO DE OBSERVACION, DENOTADO POR K , COMO:

$$(9) \dots T(h) = (a_1 b_{k1} + a_2 b_{k2} + a_3 b_{k3}) + (a_4 b_{k4} + a_5 b_{k5} + a_6 b_{k6}) + \dots + a_n b_{kn}$$

EN LA ECUACION (9) LOS TERMINOS EN CADA PARENTESIS CORRESPONDEN A UN BLOQUE PARTICULAR. LOS TERMINOS $(a_{3r-2}, a_{3r-1}, a_{3r})$ DENOTAN COMO EN LA ECUACION (5), LOS COSENO DIRECTORES MULTIPLICADOS POR LA INTENSIDAD DE MAGNETIZACION ASOCIADA CON EL r -ESIMO BLOQUE. ASI, $n=3B$ Y $(b_{k,3r-2}, b_{k,3r-1}, b_{k,3r})$; $r=1, 2, \dots, B$ SON LAS FUNCIONES DE GREEN COMO LAS DEFINIDAS EN (5).

SE ASUME QUE EL NUMERO DE PUNTOS DATO M ES MAYOR QUE EL DE LOS n DESCONOCIDOS. EL CAMPO TOTAL OBSERVADO EN EL PUNTO K ES DENOTADO POR t_k . LA SERIE DE COEFICIENTES a_1, a_2, \dots, a_n ES DETERMINADO MINIMIZANDO LA DIFERENCIA ENTRE LOS VALORES OBSERVADOS Y LOS CALCULADOS POR EL METODO DE MINIMOS CUADRADOS. LAS ECUACIONES NORMALES SON:

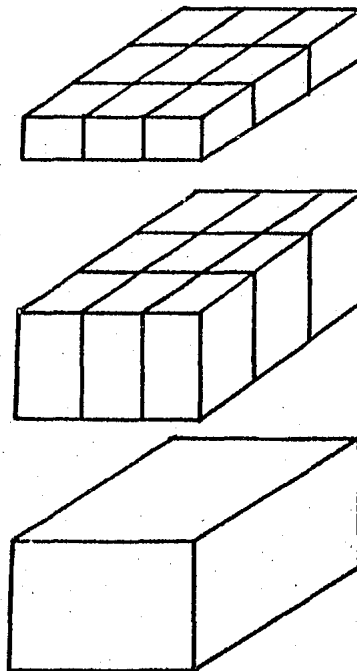
$$(10) \dots \sum_{j=1}^n a_j \left(\sum_{k=1}^m b_{kj} b_{kr} \right) = \sum_{k=1}^m t_k b_{kr} ; r=1, 2, \dots, n$$

LA SOLUCIÓN DE LAS ECUACIONES NORMALES HA SIDO OBTENIDA POR LA DESCOMPOSICIÓN DE CHOLESKY. CON LOS COEFICIENTES ESTIMADOS "C" EN LA ECUACION (10), PODEMOS OBTENER AHORA UNA ECUACIÓN PARA EL ERROR CUADRÁTICO MEDIO PARA LAS M OBSERVACIONES

$$(11) \dots e^2 = \sum_{k=1}^m t_k \left[t_k - \sum_{j=1}^n a_j b_{kr} \right]$$

LOS COEFICIENTES C CALCULADOS PROPORCIONAN LOS VECTORES DE MAGNETIZACIÓN ASOCIADOS CON LOS BLOQUES. ES RAZONABLEMENTE RÁPIDO CALCULAR LOS COEFICIENTES b Y ENTONCES INVERTIR LA MATRIZ POSITIVA DEFINITIVA DE LAS ECUACIONES NORMALES EN (10) PARA LA EVALUACIÓN DE LOS COEFICIENTES C.

EL PROCEDIMIENTO PARA ESTIMAR LOS PARAMETROS DESCONOCIDOS VARIA, A UNA EXTENSIÓN MENOR, CON EL CAMBIO EN LA REPRESENTACIÓN DE LA MASA DE ROCA POR UNA DISTRIBUCIÓN DE BLOQUES RECTANGULARES. CONSIDERAREMOS AQUI UNA REPRESENTACIÓN PARTICULAR, LA CUAL HA SIDO ÚTIL EN VARIOS AMBIENTES GEOLÓGICOS. LA FIGURA SIGUIENTE MUESTRA LOS DIFERENTES BLOQUES, EN LOS CUALES LA MASA DE ROCA MAGNETIZADA HA SIDO DIVIDIDA.



HAY 3 BLOQUES DE CAPAS. NUEVE BLOQUES RECTANGULARES CONSTITUYEN CADA UNA DE LAS DOS CAPAS DE LA CIMA. UNA GRAN PROFUNDIDAD DONDE LA CAPA DE LA BASE ES GENERALMENTE LOCALIZADA, LA INHOMOGENEIDAD EN LA MAGNETIZACIÓN DE LOS BLOQUES DE DIMENSIÓN HORIZONTAL RELATIVAMENTE PEQUEÑA ES PROBABLEMENTE NO DETECTADA. POR ESTA RAZÓN, SOLAMENTE UN BLOQUE HA SIDO COLOCADO EN LA TERCERA CAPA. EL MEDIO INTERMEDIO DE LAS CAPAS SE CONSIDERA COMO NO MAGNÉTICO. PARA LOS 19 BLOQUES EN LA FIGURA ANTERIOR HAY 57 COEFICIENTES Q DESCONOCIDOS.

RUMBO DE LA MASA DE ROCA

EN LA MAYORÍA DE LOS CASOS, LA MASA DE ROCA RESPONSABLE DE GENERAR LA ANOMALÍA MAGNÉTICA OBSERVADA ES GIRADA UN ÁNGULO θ CON RESPECTO AL NORTE GEOGRÁFICO. LOS PUNTOS DE OBSERVACIÓN SON ENREJILLADOS A LO LARGO DE LAS DIRECCIONES NORTE Y ESTE. EL PROBLEMA ES DETERMINAR PARA UNA DISTRIBUCIÓN VERTICAL Y HORIZONTAL DADAS DE LOS BLOQUES, EL RUMBO DE LA MASA DE ROCA EL CUAL MINIMIZA EL ERROR CUADRÁTICO MEDIO σ^2 EN LA ECUACIÓN (11). PARA RESOLVER EL PROBLEMA, TENEMOS QUE CALCULAR σ^2 PARA MUCHAS POSIBLES DIRECCIONES DEL RUMBO. PARA UN ÁNGULO PARTICULAR θ ENTRE EL RUMBO Y EL NORTE GEOGRÁFICO, LAS COORDENADAS PARA EL PUNTO DE OBSERVACIÓN, TENDRÁN QUE SER CAMBIADAS DE ACUERDO CON LA ECUACIÓN (6). USANDO LOS COSENDOS DIRECTORES REVISADOS PARA EL CAMPO GEOMAGNÉTICO DADO POR LA ECUACIÓN (7), PODEMOS CALCULAR LOS COEFICIENTES b EN (6). ENTONCES LAS ECUACIONES NORMALES EN (10) SON RESUELTAS Y EL ERROR CUADRÁTICO MEDIO EN (11) ES EVALUADO. UN EFICIENTE PROGRAMA PUEDE SER FACILMENTE ESCRITO PARA BUSCAR LA DIRECCIÓN DEL RUMBO RECONOCIENDO EL ERROR CUADRÁTICO MEDIO.

POSTERIORMENTE SE MOSTRARÁ CON EJEMPLOS QUE EL RUMBO CALCULADO DE LA MASA DE ROCA ES MÁS BIEN INSENSIBLE A AJUSTES MODERADOS DEL ESPESOR VERTICAL DE LOS BLOQUES. DEBE NOTARSE TAMBIÉN, QUE EN ESTE ESTADO INICIAL DEL CÁLCULO, LOS VECTORES DE MAGNETIZACIÓN CALCULADOS SON NORMALMENTE ERRÓNEOS DEBIDO A LA INEXACTITUD DE LA EXTENSIÓN VERTICAL DE LOS BLOQUES.

SUPERFICIES DE LA BASE Y CIMA DE LOS BLOQUES.

EN LA MAYORÍA DE LOS CASOS, LA EXACTITUD DE LOS RESULTADOS FINALES

DEPENDIENDO DEL ORDEN DE SELECCIÓN DE LAS CAPAS PARA AJUSTAR LAS SUPERFICIES DE LA CIMA Y LA BASE DE LOS BLOQUES. DEBIDO A LA PROXIMIDAD DE LA CIMA DE LA CAPA AL PLANO DE OBSERVACIÓN, LOS BLOQUES EN ESTA CAPA EJERCEN UNA FUERTE INFLUENCIA SOBRE LOS VALORES DE CAMPO OBSERVADO. POR ESTA RAZÓN EL AJUSTE DE ESTOS BLOQUES AL INICIO DEL PROCESO ITERATIVO FRECUENTEMENTE CONDUCE A UNA CAPA EQUIVALENTE DE MAGNETIZACIÓN, RELACIONANDO EXACTAMENTE AL CAMPO OBSERVADO. ENTONCES LLEGA A SER INNECESARIO AJUSTAR LOS BLOQUES EN LAS CAPAS MAS BAJAS. POR LO TANTO, LA PRIMERA ETAPA EN EL PROCESO ITERATIVO ES INICIAR CON LOS BLOQUES EN LA CAPA MEDIA. LA CIMA Y LA BASE DE CADA BLOQUE INDIVIDUAL SON SIMULTANEAMENTE AJUSTADAS PARA MINIMIZAR EL ERROR CUADRÁTICO MEDIO EN (11). SIGUIENDO CON LOS BLOQUES FIJOS, DURANTE LA EJECUCIÓN DEL AJUSTE; LA CIMA O LA BASE DE ALGUNOS BLOQUES PUEDEN TOCAR LA CIMA O LA BASE EN LA CAPA MÁS ALTA O MÁS BAJA. ENTONCES LA BASE O LA CIMA DEL BLOQUE ES LEVANTADA O BAJADA PARA PROPORCIONAR UNA CAPA NO MAGNÉTICA ENTRE LOS BLOQUES. EL PROCESO DE AJUSTE ES CONTINUADO, UNO A LA VEZ, PARA TODOS LOS BLOQUES EN LA CAPA INTERMEDIA.

CUANDO EL PROCESO ES TERMINADO PARA LA CAPA INTERMEDIA, EL BLOQUE TERCIERO O DEL FONDO ES CONSIDERADO PARA EL AJUSTE. EN LA CONCLUSIÓN DE ESTA ETAPA, ES PROBABLEMENTE NECESARIO DEFINIR UN REAJUSTE DE LOS BLOQUES EN LA SEGUNDA Y TERCERA CAPAS EN SECUENCIA, ANTES DE PROCEDER PARA LA PRIMERA CAPA. SIGUIENDO EL PROCESO CON LOS BLOQUES DE LA PRIMERA CAPA.

EL PROCESO COMO SE DESCRIBIÓ EN LOS PÁRRAFOS ANTERIORES, ES REPETIDO DOS VECES AL FINAL PARA OBTENER LA ESTABILIDAD DE LAS SUPERFICIES DE LA CIMA Y LA BASE DE TODOS LOS BLOQUES.

ITERACIONES ADICIONALES

EL RUMBO DE LA MASA DE ROCA ES ENTONCES EVALUADO POR EL PROCESO DESCRITO A CONTINUACIÓN [ETAPAS (1) o (3)] CON LA DISTRIBUCIÓN ESTIMADA DE LOS BLOQUES QUE REPRESENTAN LA MASA DE ROCA MAGNETIZADA. COMO NOTAMOS ANTES, EN LA MAYORÍA DE LOS CASOS LA DIFERENCIA ENTRE LOS VIEJOS Y NUEVOS VALORES DEL RUMBO ES PEQUEÑA, Y ES, POR LO TANTO, INNECESARIO REPETIR LAS ETAPAS PARA LAS SUPERFICIES DE LA CIMA Y EL FONDO. SIN EMBARGO, EN CASOS EXCEPCIONALES, LA DIFERENCIA PODRÍA SER SIGNIFICATIVA Y LAS ETAPAS DEBEN SER REPETIDAS.

RESTRICCIÓN EN LA DIRECCIÓN DEL VECTOR DE MAGNETIZACIÓN.

EN LA DISCUSIÓN SOBRE EL PROCEDIMIENTO PARA EL ANÁLISIS DE LOS DATOS, NO SE HAN IMPUESTO RESTRICCIONES SOBRE LOS POSIBLES VALORES DE LOS COEFICIENTES Q LOS CUALES DETERMINAN LOS VECTORES DE MAGNETIZACIÓN DE LOS BLOQUES. EN CASOS EN LOS QUE LA INFORMACIÓN DISPONIBLE ES MÍNIMA, ACERCA DE LA MAGNETIZACIÓN DE LAS ROCAS, PUEDE SER NECESARIO CALCULAR LOS COEFICIENTES Q SIN NINGUNA RESTRICCIÓN. SIN EMBARGO, ESOS COEFICIENTES DEBEN SER FORZADOS EN LA PRESENCIA DE DATOS SOBRE LA MAGNETIZACIÓN DE LAS ROCAS PORQUE ES PROBABLE OBTENER UN ERROR CUADRÁTICO MEDIO MÍNIMO EN (II) CON LOS VECTORES DE MAGNETIZACIÓN APUNTANDO EL CAMINO DE LA DIRECCIÓN VERDADERA. ESOS VECTORES ERRONEOS, EN TURNO, DAN VALORES INCORRECTOS DEL RUMBO DE LA MASA DE ROCA Y LAS PROFUNDIDADES DE LAS SUPERFICIES HORIZONTALES DE TODOS LOS BLOQUES.

CONSIDEREMOS EL PROBLEMA DE RESTRINGIR EL VECTOR DE MAGNETIZACIÓN DENTRO DE LOS LÍMITES ESPECIFICADOS EN TORNO A LA DIRECCIÓN DEL CAMPO GEOMAGNÉTICO. COMO UN EJEMPLO SUPONGASE QUE EN EL PROCESO DESCRITO ("SUPERFICIES DE LA BASE Y CIMA DE LOS BLOQUES"), PARA EL AJUSTE DEL ESPESOR VERTICAL DE UN BLOQUE, LAS PROFUNDIDADES DE LAS SUPERFICIES DE LA CIMA Y LA BASE DE LOS BLOQUES ESTAN EN UNA ETAPA INTERMEDIA RESPECTIVAMENTE. PARA ESAS PROFUNDIDADES LA DIRECCIÓN (L, M, N) DEL VECTOR DE MAGNETIZACIÓN ES CAMBIADO DENTRO DE LOS LÍMITES ESPECIFICADOS PARA OBTENER EL MÍNIMO ERROR CUADRÁTICO MEDIO EN LA ECUACIÓN (II). PUESTO QUE $Q_1 = LJ$, $Q_2 = MJ$, $Q_3 = NJ$ EN (5), SOLAMENTE LA INTENSIDAD DE MAGNETIZACIÓN J DEL BLOQUE ES DESCONOCIDA PARA UNA DIRECCIÓN PARTICULAR DEL VECTOR DE MAGNETIZACIÓN. LAS ECUACIONES NORMALES (10) PARA B BLOQUES CONTIENE SOLAMENTE B INTENSIDADES DE MAGNETIZACIÓN DESCONOCIDAS. EL ALGORITMO PARA ESTIMAR LAS ÓPTIMAS h_A Y h_B PUEDEN SER DIVIDIDAS ENTONCES, EN LAS ETAPAS SECUENCIALES:

- (1) SELECCIÓN DE h_A Y h_B
- (2) SELECCIÓN DE (L, M, N) DENTRO DE LOS LÍMITES ESPECIFICADOS, DETERMINA LAS INTENSIDADES DE MAGNETIZACIÓN RESOLVIENDO LAS ECUACIONES NORMALES (10) Y CALCULA EL ERROR CUADRÁTICO MEDIO EN LA ECUACIÓN (II).
- (3). VARIAR (L, M, N) DENTRO DE LOS LÍMITES ÚTILES DEL ERROR CUADRÁTICO MEDIO PARA QUE SEA MÍNIMO.

(4) CAMBIA h_b Y h_t Y REGRESA A LA ETAPA (2). REPITE ESTE PROCESO HASTA QUE EL ERROR CUADRÁTICO MEDIO MÍNIMO ES OBTENIDO.

CUANDO ESTIMAMOS LA DIRECCIÓN DEL RUMBO DE LA MASA DE ROCA MAGNETIZADA EN LA FASE INICIAL, NO SE HACE LA CONSIDERACIÓN ACERCA DE LA DIRECCIÓN DE MAGNETIZACIÓN DE LOS BLOQUES.

RESTRICCIONES EN LAS PROFUNDIDADES DE LA CIMA Y LA BASE DE UN BLOQUE PARTICULAR.

EN ALGUNAS ÁREAS LOS DATOS DE PERFORACIONES U OTROS DATOS GEOLÓGICOS Y GEOFÍSICOS PODRÍAN PROPORCIONAR LAS PROFUNDIDADES DE LA CIMA Y LA BASE Y LA MAGNETIZACIÓN DE UNOS CUANTOS BLOQUES. ENTONCES LOS PARÁMETROS ASOCIADOS CON ESOS BLOQUES SE CONSIDERAN CONOCIDOS Y ELLOS CONTROLAN LA SOLUCIÓN FINAL OBTENIDA POR EL PROCESO DE ITERACIÓN DESCRITO EN ESTA SECCIÓN.

ANÁLISIS DE ANOMALIAS EN SUPERFICIES CUBIERTAS.

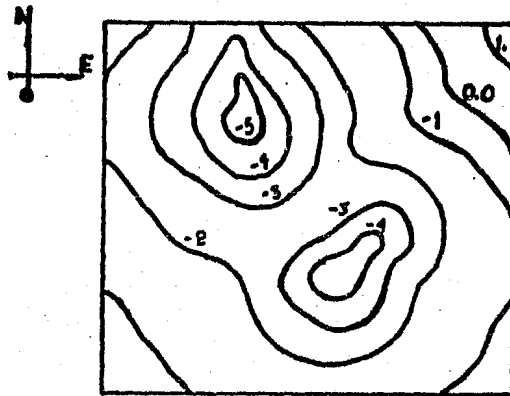
LOS LEVANTAMIENTOS AEROMAGNETICOS SON ALGUNAS VECES CONDUCTOS EN FORMA CUBIERTA SOBRE TERRENO MONTAÑOSO. EN TALES CASOS, LAS LINEAS DE VUELO TIENDEN A SEGUIR LA SUPERFICIE TOPOGRÁFICA EN UN TERRENO DESPEJADO CONSTANTE. DEBIDO A FLUCTUACIONES INEVITABLES EN EL TERRENO DESPEJADO DEL AVIÓN, ES NECESARIO CONTINUAR LOS DATOS OBSERVADOS DESDE LA SUPERFICIE DEL VUELO HASTA LA SUPERFICIE CUBIERTA (BHATTACHARYA Y CHAN, 1977; WYNN Y BHATTACHARYA, 1977).

EL PROCEDIMIENTO PARA INVERSIÓN DE DATOS MAGNÉTICOS COMO SE DISCUTIO EN LA SECCIÓN PREVIA PUEDE SER ADAPTADO FACILMENTE AL CASO DE LA ANOMALIA OBSERVADA SOBRE UNA SUPERFICIE CUBIERTA. PARA EL MODELO DE LA TERCER FIGURA, LA SUPERFICIE DE LA CIMA, EN LA ETAPA INICIAL DE INVERSIÓN, DEBE COINCIDIR CON LA SUPERFICIE TERRESTRE (CUARTA FIGURA) EL CENTRO DE LA SUPERFICIE DE LA CIMA DE CADA UNO DE LOS BLOQUES EN LA CAPA SUPERIOR ES LOCALIZADO SOBRE EL NIVEL DE LA TIERRA. LOS PUNTOS DE OBSERVACIÓN EN EL PRESENTE CASO NO ESTÁN EN UN NIVEL FIJO. SIN EMBARGO, PUESTO QUE LA ALTITUD DE LOS PUNTOS DE OBSERVACIÓN DESDE LA SUPERFICIE TERRESTRE ES FIJO Y CONOCIDO, LA ECUACIÓN (5) PUEDE SER USADA PARA CALCULAR LOS COEFICIENTES b . EL PROCEDIMIENTO PARA DETERMINAR LA DIRECCIÓN DEL RUMBO Y AJUSTAR LA SUPERFI-

CIE HORIZONTAL DE LOS BLOQUES, QUE PERMANECE IDENTICA A LA DESCRITA EN LA SECCIÓN PREVIA.

ANOMALIAS MODELO

PARA EXAMINAR LA EXACTITUD DEL PROCEDIMIENTO SUGERIDO PARA EL ANALISIS DE DATOS, FUERON ASOCIADOS EXPERIMENTOS NUMERICOS CON ANOMALIAS MODELO. PARA HACER LOS EXPERIMENTOS COMPLICADOS, SE ASUME AL TERRENO CONSISTENTE DE DOS COLINAS SEPARADAS POR UN VALLIE (FIGURA SIGUIENTE):

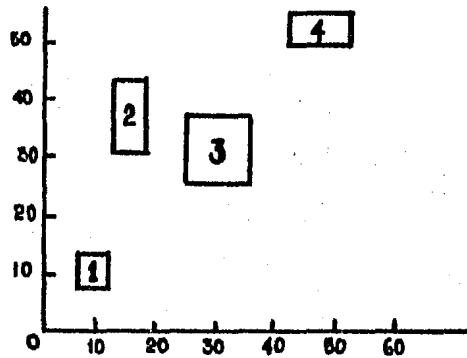


EL CONTORNO EN LA FIGURA ANTERIOR, INDICA ALTURAS EN UNIDADES ARBITRARIAS CON RESPECTO AL NIVEL DEL MAR, POSITIVO HACIA ABAJO. EL NIVEL DEL MAR ES CONSIDERADO PARA SER EL PLANO XY CON LOS EJES X, Y APUNTANDO AL NORTE Y AL ESTE RESPECTIVAMENTE. PARA PREPARAR ESA FIGURA, LAS ELEVACIONES FUERON USADAS SOBRE UNA REJILLA DE 64x64.

EL TERRENO ES CONSIDERADO COMO NO MAGNÉTICO. CUATRO CUERPOS PRISMÁTICOS RECTANGULARES ENTERRADOS SE ASUMEN COMO RESPONSABLES DE CAUSAR EL CAMPO TOTAL ANOMALO. EL CAMPO ES OBSERVADO SOBRE UNA SUPERFICIE CON UN ESPACIO VERTICAL FIJO DE DOS UNIDADES DE REJILLA SOBRE EL TERRENO. LOS CAMPOS ANOMALOS SOBRE SUPERFICIES CUBIERTAS SON, POR LO TANTO, ANALIZADOS EN EL PRESENTE EXPERIMENTO.

LA FIGURA QUE SIGUE MUESTRA LA DISTRIBUCIÓN DE LOS 4 CUERPOS QUE YACEN BAJO LA SUPERFICIE TERRESTRE PARA EL CÁLCULO DEL CAMPO TOTAL CAUSADO POR ESOS CUERPOS, LA INCLINACIÓN Y DECLINACIÓN DEL CAMPO GEOMAGNÉTICO

SE ASUMEN DE 60° Y 0° RESPECTIVAMENTE:



LOS PARAMETROS DE LOS CUERPOS MAGNETIZADOS ESTAN DADOS EN LA TABLA SIGUIENTE, EN ESTA TABLA, I_0 Y D_0 ESTAN EXPRESADOS EN GRADOS Y LA INTENSIDAD DE MAGNETIZACION J ESTA EN UNIDADES ARBITRARIAS.

PARAMETROS DE LOS CUATRO CUERPOS PRISMATICOS RECTANGULARES

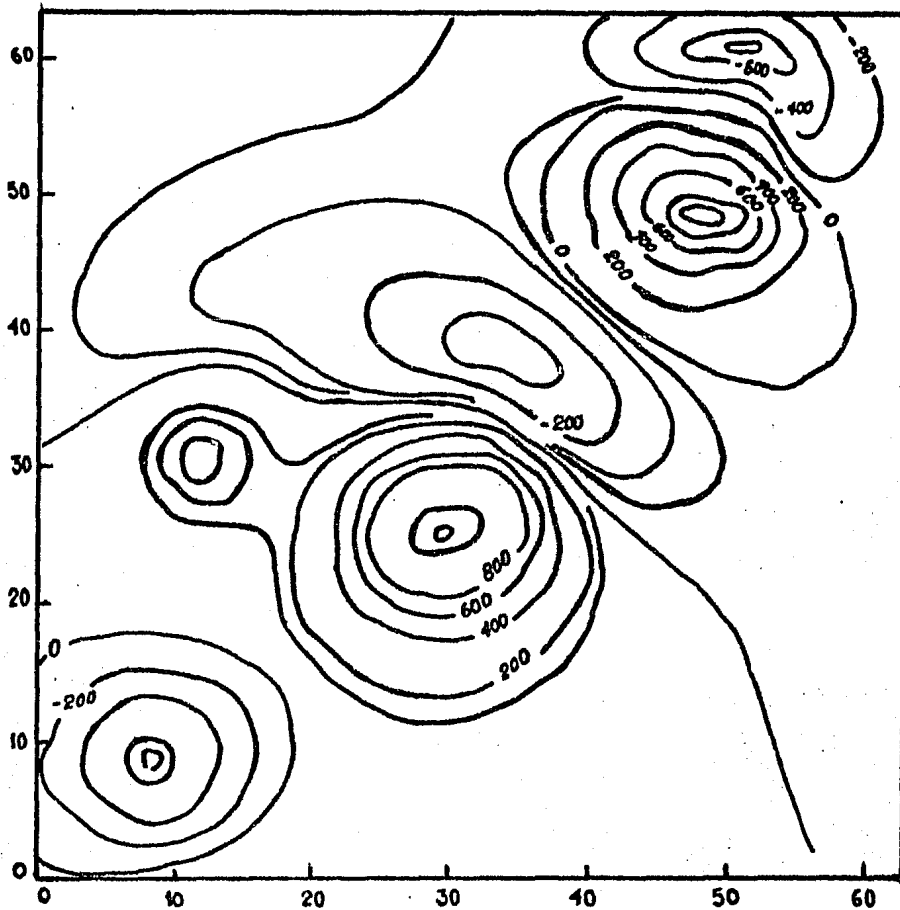
CUERPO	α_a	α_b	β_a	β_b	h_a	h_b	I_0	D_0	J
1	7	13	7	13	1.5	7.5	-60	-20	20
2	31	43	13	19	0	4.0	40	30	5
3	25	37	25	37	0	6.0	50	10	10
4	49	61	43	55	0.5	6.5	30	20	5

CALCULO DEL RUMBO

LAS SIGUIENTES DIRECCIONES DE RUMBOS SE SUPONEN PARA LOS 4 CUERPOS DE: $\theta_1 = 35^\circ$, $\theta_2 = 47^\circ$, $\theta_3 = 76^\circ$ Y $\theta_4 = 82^\circ$; DONDE LOS SUBINDICES 1, 2, 3 Y 4 SE REFIEREN AL NUMERO DEL CUERPO.

SERAN ESTUDIADOS DOS CASOS AHORA. EL PRIMERO TRATA DE LA ANOMALIA DE CAMPO TOTAL CAUSADA POR EL CUERPO 1 SOLO, SOBRE LA SUPERFICIE CUERTA SIN EFECTOS DE DISTORSION DE OTRAS FUENTES. EL SEGUNDO CASO CONCERNIENTE AL CAMPO TOTAL ANOMALO CREADO POR LOS CUERPOS DE LA FIGURA ANTERIOR. LAS ANOMALIAS EN LA FIGURA SIGUIENTE NO ESTAN COMPLETAMENTE AISLADAS, LOS VALORES EN LOS PIES DE LAS ANOMALIAS SON LOS EFECTOS COMBINADOS DE LOS

CUERPOS MAGNETIZADOS CERCANOS:



EL ÁREA INICIAL DE OBSERVACIÓN ES SELECCIONADA EXACTAMENTE SOBRE EL CUERPO NÚMERO 1 Y CONTIENE LAS OBSERVACIONES SOBRE UNA REJILLA DE 7X7. EL ÁREA DE LA MASA DE ROCA RESPONSABLE DE LA ANOMALIA SE ASUME A SER 9 VECES EL ÁREA DEL CUERPO; ESTE ES DIVIDIDO ENTONCES ENTRE (3X3) BLOQUES, CADA UNO CON UNA ÁREA IGUAL AL ÁREA DE LA MASA DE ROCA. PARA INICIAR CON LA SITUACIÓN MÁS SIMPLE, SE SUPONE A UNO DE LOS BLOQUES COINCIDENTE CON LA MASA DE ROCA MAGNETIZADA. LA DIRECCIÓN DE RUMBO CALCULADA Y EL VECTOR DE MAGNETIZACIÓN DE ESTE BLOQUE SE DEFINEN EXACTAMENTE EN AMBOS CASOS, TANTO PARA LAS ANOMALIAS AISLADAS COMO PARA LAS NO AISLADAS. LOS BLOQUES QUE RODEAN MUESTRAN UN VECTOR DE MAGNETIZACIÓN NULO. EN EL CASO DE LA ANOMALIA AISLADA, LA EXACTITUD DE LOS RESULTADOS DEL CÁLCULO PERMANECEN SIN CAMBIO -

SI EL ÁREA DE OBSERVACIÓN ES DESPLAZADA HORIZONTALMENTE POR UNA DISTANCIA PEQUEÑA DE LA UNIDAD DE REJILLA. PARA LA ANOMALIA NO AISLADA, SIN EMBARGO, EL RUMBO CALCULADO ES AUN PRECISO ENTRE UNO Y DOS GRADOS DEL VALOR CORRECTO, PERO LOS VECTORES DE MAGNETIZACIÓN LLEGAN A SER EXTREMADAMENTE ERRONEOS.

A CONTINUACIÓN, LOS BLOQUES EN EL MODELO SON CAMBIADOS HORIZONTALMENTE UNA O DOS UNIDADES DE REJILLA RELATIVAS AL CUERPO MAGNETIZADO. ENTONCES UN BLOQUE SIMPLE NO OCUPA COMPLETAMENTE EL VOLUMEN DEL CUERPO. TANTO PARA ANOMALIAS AISLADAS COMO PARA LAS NO AISLADAS, EL RUMBO CALCULADO CAE ENTRE 28° Y 42° ; Y EL ERROR EN EL CÁLCULO DEPENDE, PARA ALGUNA EXTENSIÓN, DE LA LOCALIZACIÓN DEL ÁREA DE OBSERVACIÓN CON RESPECTO AL CUERPO MAGNETIZADO. AHORA, SI LAS PROFUNDIDADES DE LA CIMA DE LOS BLOQUES SON CAMBIADAS POR UNA O DOS UNIDADES DE REJILLA, LAS DIRECCIONES DE RUMBO VARIAN EN EL RANGO DE 24° A 44° . LAS PROFUNDIDADES AL FONDO DE LOS BLOQUES NO TIENEN EFECTO APRECIABLE SOBRE LA DIRECCIÓN DEL RUMBO CALCULADO. EN LOS CASOS EN LOS QUE EL CUERPO MAGNETIZADO NO ESTA COMPLETAMENTE CONTENIDO EN UN BLOQUE O EN UN MULTIPLO DE BLOQUES, EL VECTOR DE MAGNETIZACIÓN SIEMPRE ES BURDO EN EXACTITUD. SIN EMBARGO, LA DIRECCIÓN DEL RUMBO CALCULADO, ESTÁ DEFINIDA EN LA MAYORÍA DE LOS CASOS, PARA SER APROXIMADAMENTE CORRECTO. DEBE NOTARSE QUE GENERALMENTE EXISTE MÁS DE UNA DIRECCIÓN DE RUMBO PARA LA CUAL EL ERROR CUADRÁTICO MEDIO EN LA ECUACIÓN (II) ES UN MÍNIMO, Y EL MÍNIMO ABSOLUTO NO GARANTIZA LO CORRECTO DEL RUMBO CALCULADO. SIN EMBARGO, LA ORIENTACIÓN DE LA ANOMALÍA EN LA SUPERFICIE DE OBSERVACIÓN ES SIEMPRE ÚTIL EN LA SELECCIÓN DEL RUMBO CORRECTO.

LAS ANOMALIAS SOBRE LOS 3 CUERPOS PERMANENTES SON ANALIZADAS TAMBIEN, Y LOS RESULTADOS DE LOS ANALISIS MUESTRAN EL MISMO GRADO DE EXACTITUD QUE LA PRIMERA ANOMALIA. A PARTIR DE EXPERIMENTOS NUMÉRICOS DISCUTIDOS EN ESTA SECCIÓN, SE CONCLUYE QUE EL RUMBO CALCULADO DE LA MASA DE ROCA ASUMIDA ES UN TANTO INSENSIBLE PARA AJUSTES MODERADOS EN LAS DIMENSIONES DE LOS BLOQUES Y PARA LA SELECCIÓN DEL ÁREA DE OBSERVACIÓN.

CÁLCULO DE LAS PROFUNDIDADES DE LA CIMA Y LA BASE DE LOS BLOQUES

A PARTIR DE LA DISCUSIÓN SOBRE EL PROCEDIMIENTO PARA EL ANALISIS DE DATOS,

DOS FUENTES MÁS GRANDES POSIBLES DE ERROR EN LAS PROFUNDIDADES CALCULADAS - PARA LA CIMA Y LA BASE DE LOS BLOQUES SON EVIDENTES. LA PRIMERA FUENTE DE ERROR ES LA LOCALIZACIÓN HORIZONTAL DEL ÁREA DE OBSERVACIÓN RELATIVA AL CUERPO MAGNETIZADO. INTUITIVAMENTE, EL ERROR EN EL CÁLCULO SERÁ MÍNIMO CUANDO EL ÁREA DE OBSERVACIÓN ESTÁ EXACTAMENTE SOBRE EL CUERPO MAGNETIZADO. LA SEGUNDA FUENTE DE ERROR SON LA LOCALIZACIÓN Y DIMENSIONES INCORRECTAS DE LOS BLOQUES. EN TAL CASO, LOS BLOQUES EN CONJUNTO ENCUADRAN COMPLETAMENTE AL CUERPO; PERO LOS BLOQUES INDIVIDUALES, SOLOS O EN COMBINACIÓN, NO OCUPAN EXACTAMENTE EL VOLUMEN DEL CUERPO.

PARA ESTUDIAR LOS EFECTOS DE LAS FUENTES DE ERROR, EL RUMBO DE LOS 4 CUERPOS EN LA SEXTA FIGURA SE ASUME PARA SER DE NORTE A SUR. LA LOCALIZACIÓN Y DIMENSIONES DE LOS BLOQUES Y LA DIRECCIÓN DEL CAMPO GEOMAGNÉTICO REMANENTE NO CAMBIA. LOS CAMPOS ANOMALOS SOBRE SUPERFICIES CUBIERTAS SON ANALIZADOS. LA MASA DE ROCA RESPONSABLE DE LA ANOMALIA SELECCIONADA SE CONSIDERA IGUAL A 4 VECES EL TAMAÑO ACTUAL DEL CUERPO MAGNETIZADO. ENTONCES, LA MASA ES DIVIDIDA EN (4x4) BLOQUES HORIZONTALES Y UN BLOQUE VERTICAL.

LAS ANOMALIAS SOBRE LOS CUATRO CUERPOS SON CONSIDERADAS INDIVIDUALMENTE LA PROFUNDIDAD INICIAL DE LOS BLOQUES ES SELECCIONADA PARA DESVIAR DESDE LA PROFUNDIDAD VERDADERA UNA O DOS UNIDADES DE DISTANCIA. NINGUNO DE LOS BLOQUES PERMITEN OCUPAR TOTALMENTE EL VOLUMEN DEL CUERPO. LAS PROFUNDIDADES DE LA CIMA Y LA BASE DE LOS BLOQUES, COMO SE CALCULARON POR EL PRESENTE MÉTODO YACEN DENTRO DE ± 0.2 DE LA PROFUNDIDAD VERDADERA. EL VECTOR DE MAGNETIZACIÓN PUEDE SER DETERMINADO DENTRO DE UNA EXACTITUD DEL 10% SI EL ÁREA DE OBSERVACIÓN SE SELECCIONA, TAL QUE ALGUNO DE LOS BLOQUES YACE COMPLETAMENTE DENTRO DEL CUERPO MAGNETIZADO.

CONCLUSIONES

LAS ANOMALIAS MAGNÉTICAS SON GENERADAS POR UNA DISTRIBUCIÓN NO-HOMOGÉNEA DE LA MAGNETIZACIÓN EN UNA REGIÓN LIMITADA. ÉSTA REGIÓN ESTÁ LIMITADA POR UNA PARTE DE LA SUPERFICIE TERRESTRE EN LA CIMA Y POR LA SUPERFICIE ISOTERMAL DEL PUNTO CORIE EN LA BASE. YA QUE EL CAMPO CAUSADO POR UN CUERPO MAGNETIZADO DECAE RÁPIDAMENTE CON LA DISTANCIA DESDE EL PUNTO DE OBSERVACIÓN, LA EXTENSIÓN HORIZONTAL DE LA REGIÓN ES TAMBIÉN, PARA PROPÓSITOS PRÁCTICOS, LIMITADA.

LA REGIÓN MAGNETIZADA ES DIVIDIDA ENTRE UN NÚMERO DE ELEMENTOS DE BLOQUE, SIENDO CADA UNO MAGNETIZADO HOMOGÉNEAMENTE. LA DISTRIBUCIÓN DE MAGNETIZACIÓN EN ESOS BLOQUES, COMO LA CALCULADA POR EL PROCEDIMIENTO DISCUTIDO AQUÍ, DELINEAN LA FUENTE MAGNÉTICA EN LA REGIÓN GENERANDO LA ANOMALIA OBSERVADA. EN LA MAYORÍA DE LOS CASOS, LA FUENTE NO COINCIDIRÁ EXACTAMENTE CON UN GRUPO O UN BLOQUE INDIVIDUAL. ENTONCES, SOLAMENTE UNA PARTE DE UN BLOQUE PARTICULAR PODRÍA SER MAGNETIZADO Y EL RESTO SERÁ NO MAGNÉTICO. LA MAGNETIZACIÓN CALCULADA PARA TAL BLOQUE SERÁ, POR LO TANTO, DEPENDIENTE DE LA PROPORCIÓN DEL ÁREA OCUPADA POR SU PARTE MAGNETIZADA. LA DISTRIBUCIÓN DE MAGNETIZACIÓN DEBERÍA, POR LO TANTO, MOSTRAR VALORES RELATIVOS Y NO ABSOLUTOS.

DEBERÍA SER DADA UNA CONSIDERACIÓN MÁS PARA LA SELECCIÓN DE LAS DIMENSIONES HORIZONTALES DE LOS BLOQUES SOBRE LAS BASES DE LA MÁS PEQUEÑA INHOMOGENEIDAD EN LA MAGNETIZACIÓN QUE PUEDE SER RESUELTA DE LOS DATOS MAGNÉTICOS. SI ESTO ES HECHO PROPIAMENTE, NO ES NECESARIO CAMBIAR LOS BLOQUES HORIZONTALMENTE Y AJUSTAR SUS DIMENSIONES HORIZONTALES.

EL PROCESO ITERATIVO DISCUTIDO AQUÍ CONSISTE DE UN AJUSTE A BASE DE PRUEBA Y ERROR DE LA EXTENSIÓN VERTICAL DE CADA BLOQUE INDIVIDUAL. POR ESTA RAZÓN, ES POSIBLE CONSTRUIR SI ES NECESARIO. EL VECTOR DE MAGNETIZACIÓN Y LA EXTENSIÓN VERTICAL DE BLOQUES INDIVIDUALES CON UN LÍMITE PREDETERMINADO EN UN CAMINO RECTO HACIA ARRIBA. NO HAY TAMPOCO UN PROBLEMA ESPECIAL EN EL TRATAMIENTO DE DATOS AEROMAGNÉTICOS CUBIERTOS. ENTONCES EL PROCEDIMIENTO PROPUESTO ES APLICABLE A VARIOS PROBLEMAS ASOCIADOS CON LA INTERPRETACIÓN DE LOS DATOS MAGNÉTICOS. LAS DIFERENTES APROXIMACIONES ANALÍTICAS PARA HACER EL PROCEDIMIENTO RÁPIDO Y EFICIENTE HAN SIDO EXAMINADAS; SIN EMBARGO, UN MÉTODO COMPLETAMENTE SATISFACTORIO NO HA SIDO DESARROLLADO.

III. DIAGRAMAS DE FLUJO

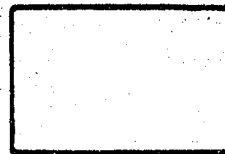
A. INTRODUCCION

CUANDO PENSAMOS EN FORMAR UN PAQUETE DE PROGRAMAS POR COMPUTADORA NOS FUE NECESARIO RECURRIR A LOS PROFESIONALES DEDICADOS A LA COMPUTACION, DE QUIENES RECIBIMOS CONCEPTOS DE GRAN UTILIDAD, COMO ES EL HECHO DE DOCUMENTAR UN PROGRAMA DE COMPUTADORA, LO QUE CONSISTE EN PRESENTAR CADA PROGRAMA CON LOS FUNDAMENTOS DEL ALGORITMO QUE UTILIZA, SU DIAGRAMA DE FLUJO Y UN LISTADO SIMBOLICO EN EL LENGUAJE DE PROGRAMACION UTILIZADO (FORTRAN). DE AQUI SE DESPRENDE LA IDEA DE INCLUIR ESTE CAPITULO, CUYOS ELEMENTOS BASICOS SERAN LOS DIAGRAMAS DE FLUJO DE CADA PROGRAMA. ESTOS DIAGRAMAS FUERON ELABORADOS DE MANERA QUE SE MOSTRARA SU LOGICA DE LA FORMA MAS CLARA POSIBLE ASI COMO LAS ASIGNACIONES CORRESPONDIENTES Y LA SIMBOLOGIA QUE SE ADOPTO.

SIMBOLOGIA.



LECTURA DE DATOS.



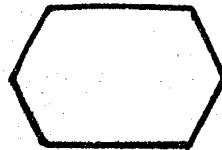
BLOQUE DE ASIGNACION O ASIGNACIONES.



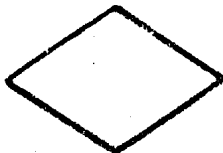
IMPRESION DE DATOS
Y
RESULTADOS.



TERMINAL DE
CONTINUACION O
TRANSFERENCIA.



PROCESO ITERATIVO.

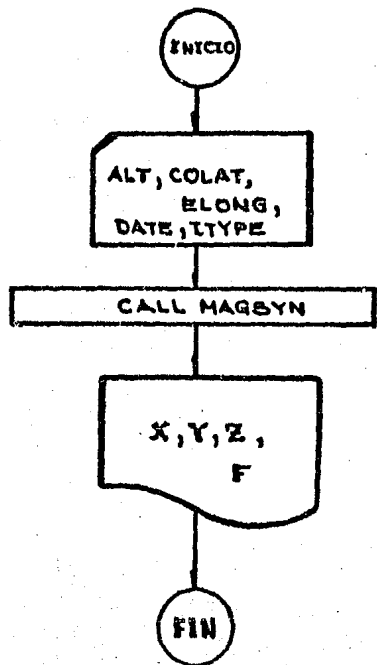


DECISION
LOGICA O ARITHMETICA



INICIO DEL PROCESO
FINAL DEL PROCESO
CONECTOR.

REMOCIÓN DEL
"CGIR"

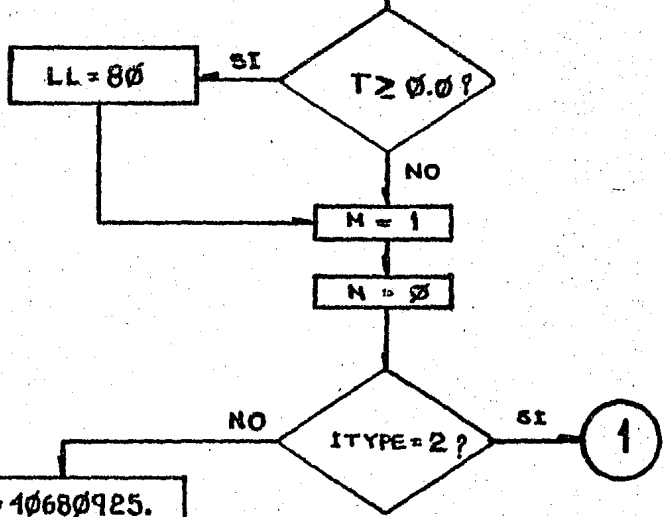


INICIO
SUBROUTINE MAGSYN

SV
GH

```

T = DATE - 1975.0
R = ALT
ONE = (COLAT) * 0.0174533
CT = COS(ONE)
ST = SIN(ONE)
ONE = ELONG * 0.0174533
CL(I) = COS(ONE)
SL(I) = SIN(ONE)
X = 0.0
Y = 0.0
Z = 0.0
CD = 1.0
SD = 0.0
L = 1
LL = 0
  
```

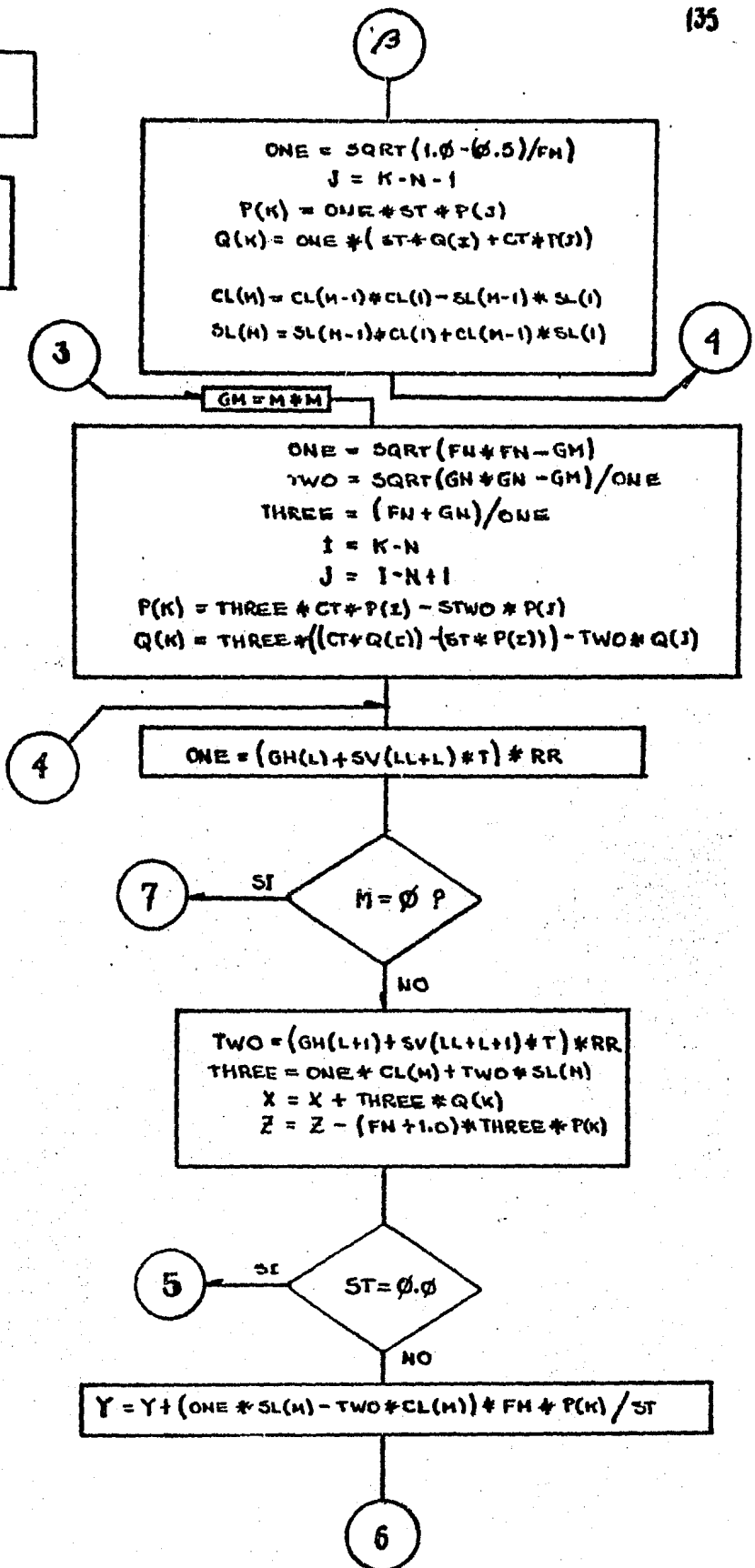
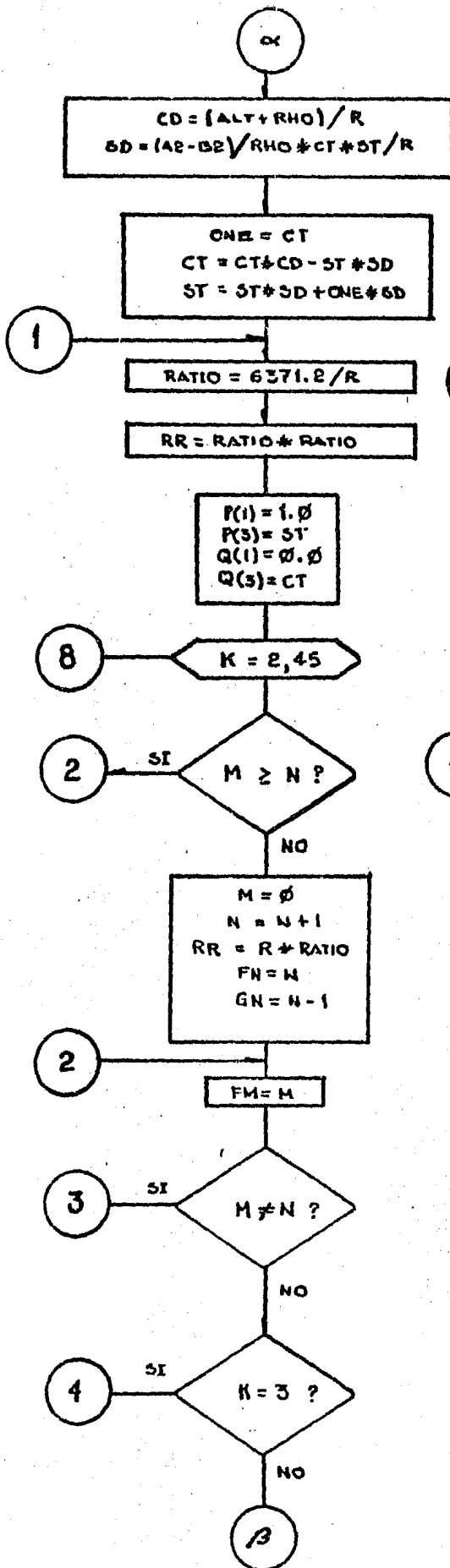


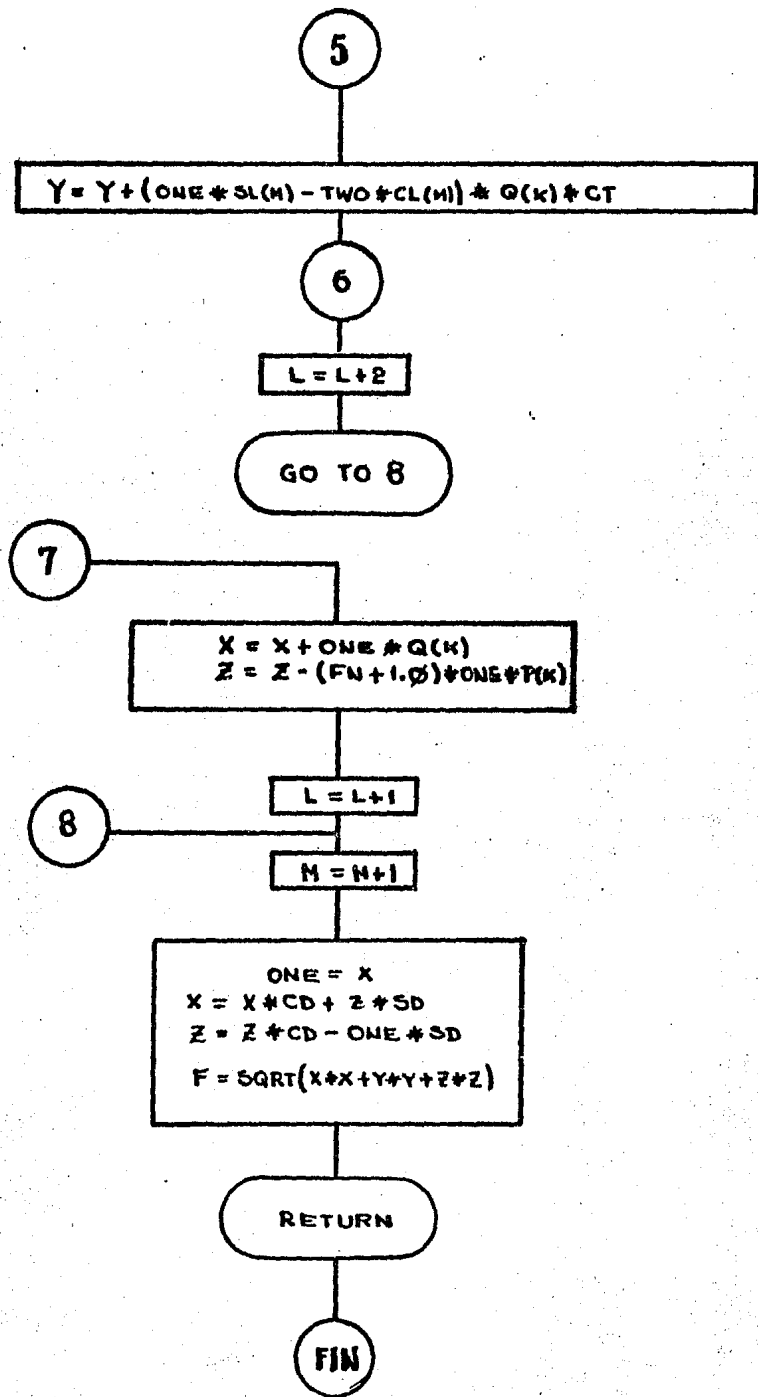
```

A2 = 40680925.
B2 = 10408585.
ONE = A2 * ST * ST
TWO = B2 * CT * CT
THREE = ONE + TWO
RHO = SQRT(THREE)
  
```

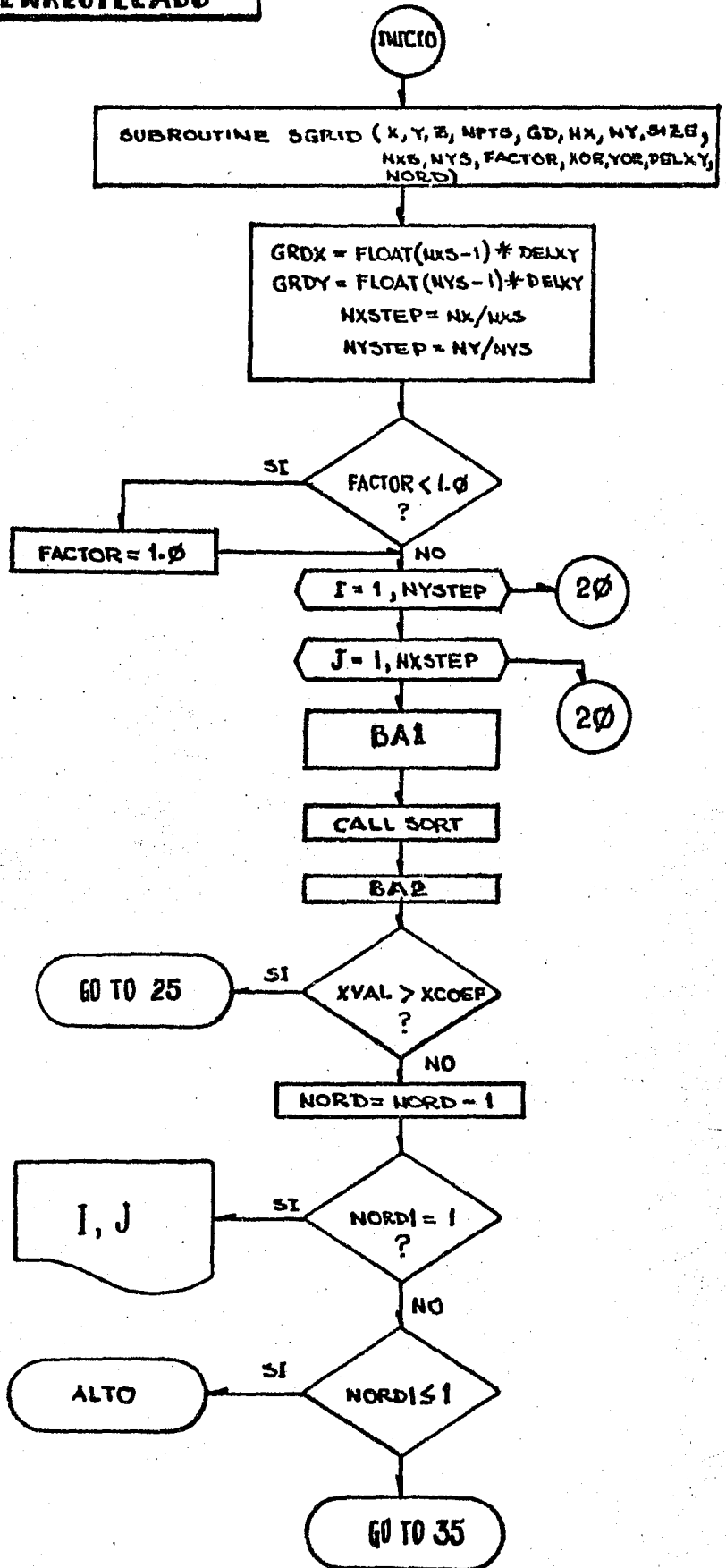
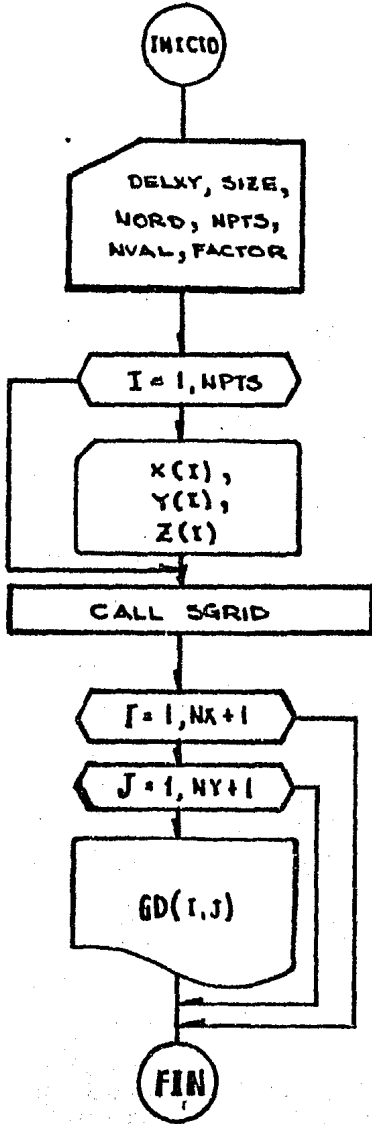
$R = \text{SQRT}(\text{ALT} * (\text{ALT} + 8.0 * \text{RHO}) + (\text{A2} * \text{ONE} + \text{B2} * \text{TWO}) / \text{THREE})$

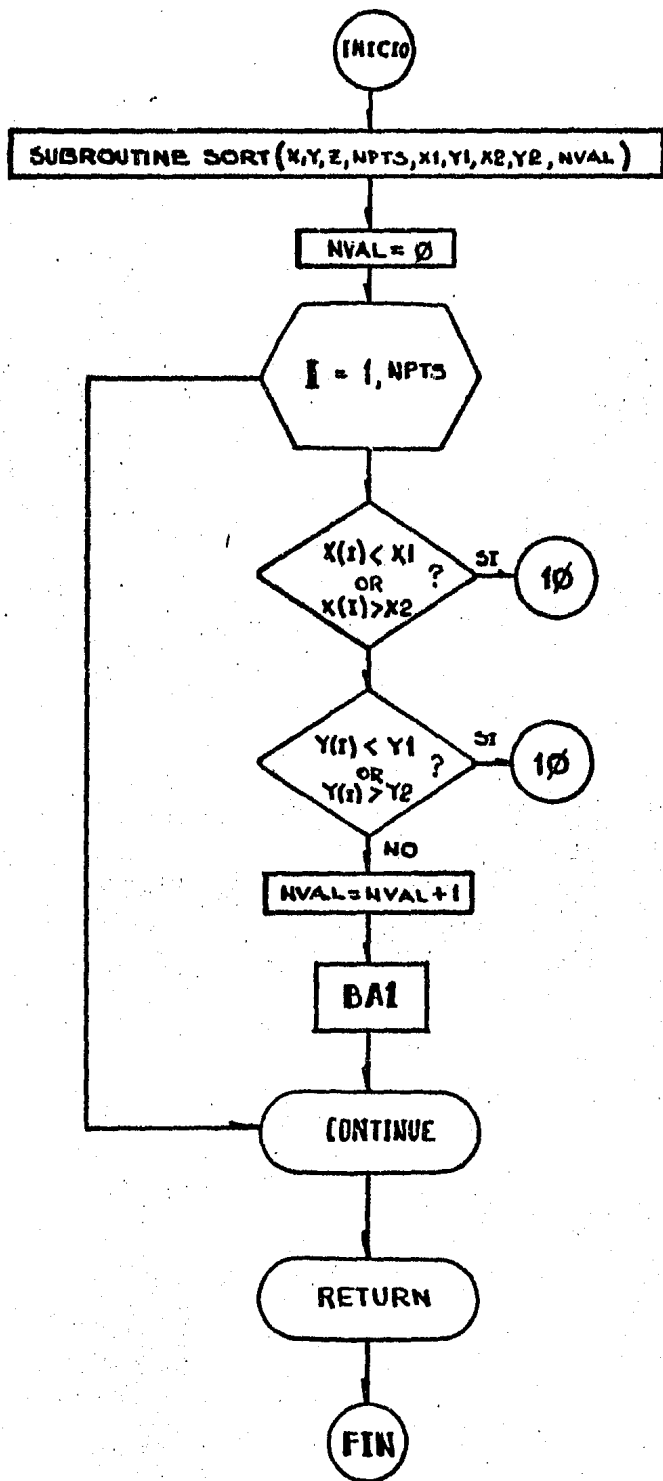
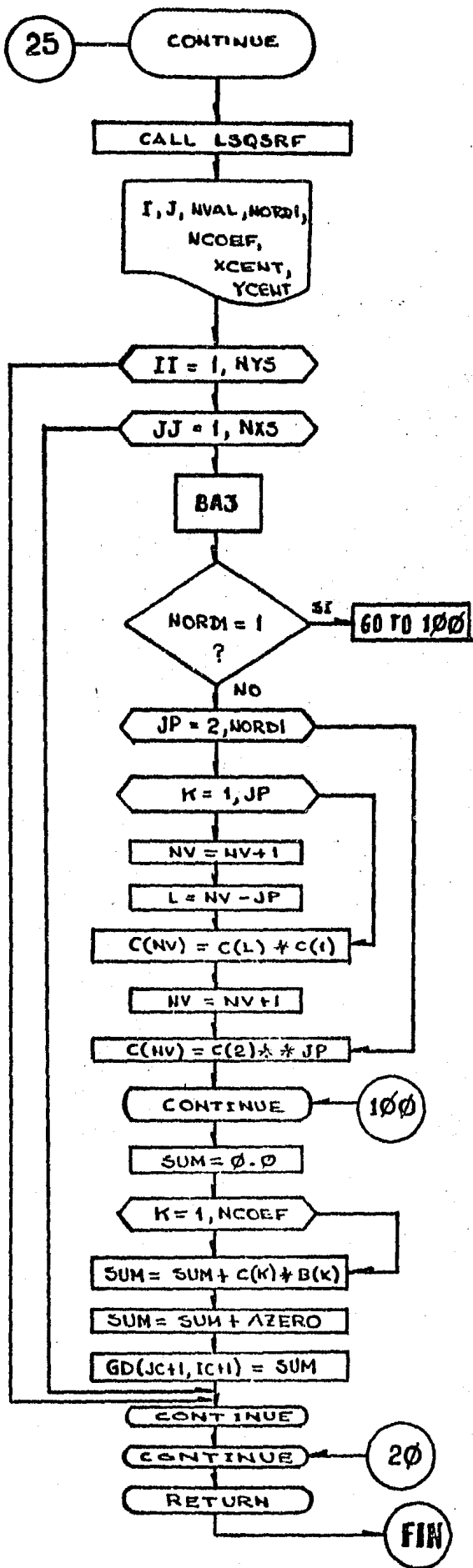
OK

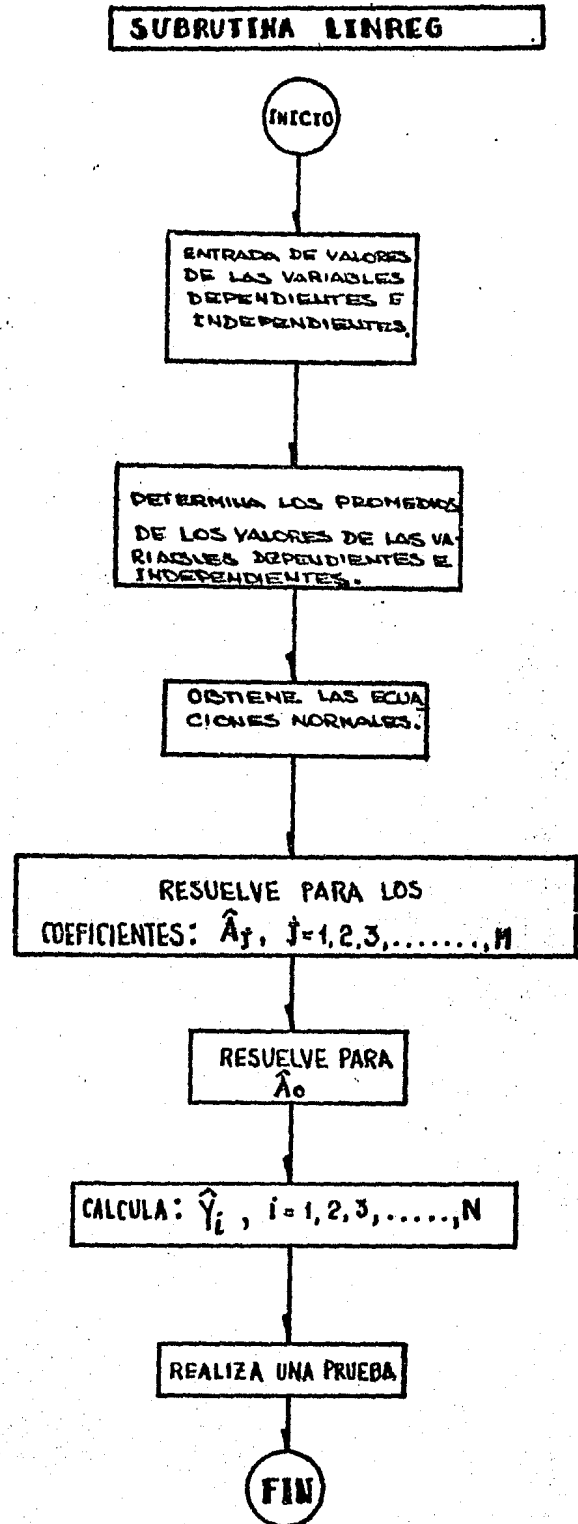
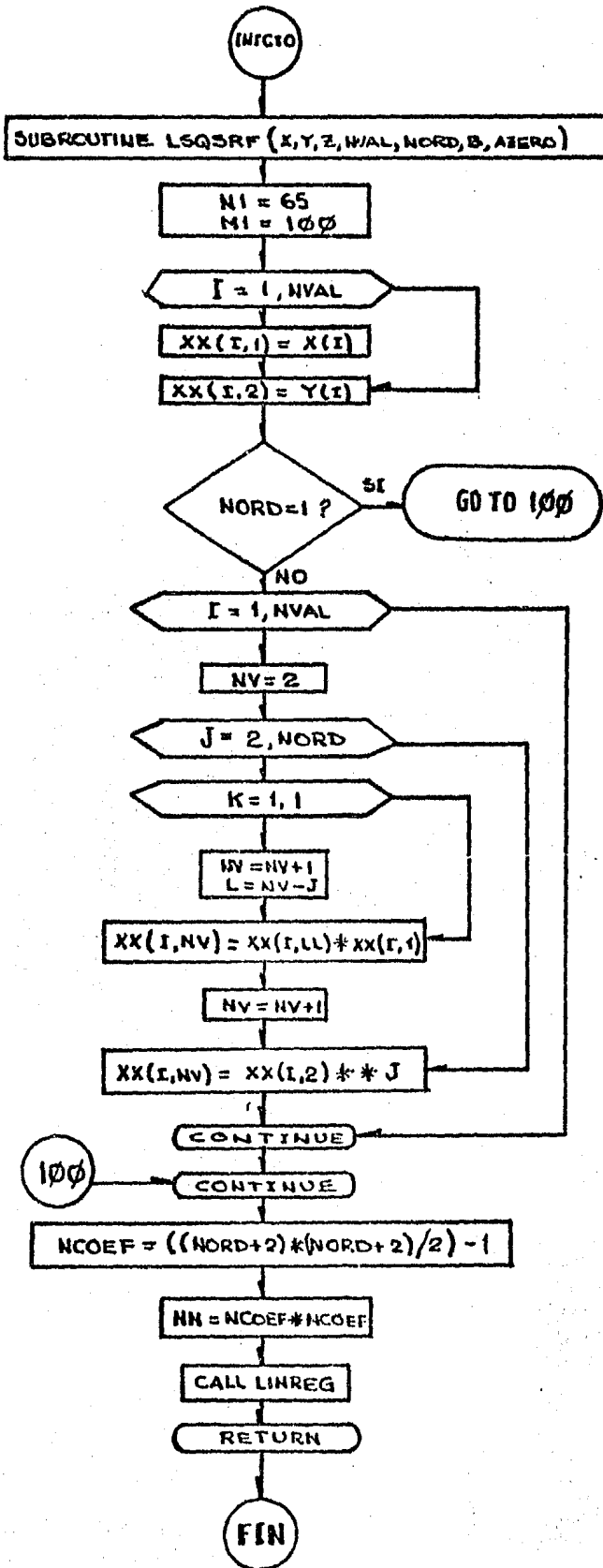




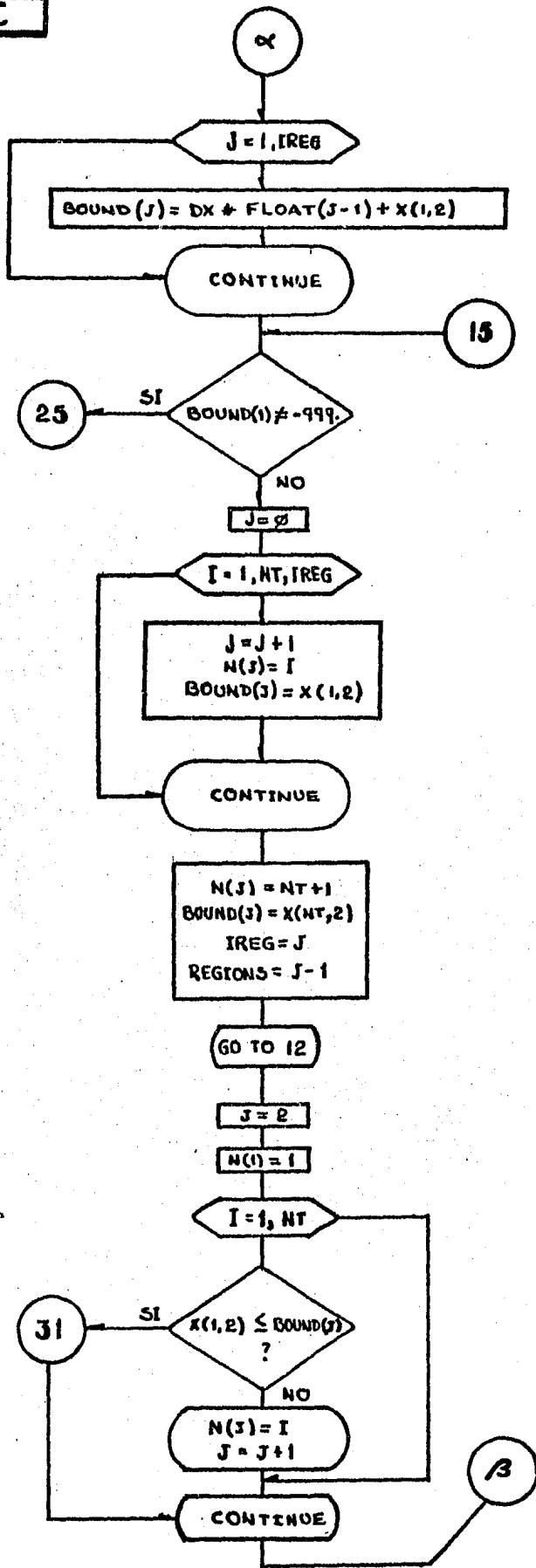
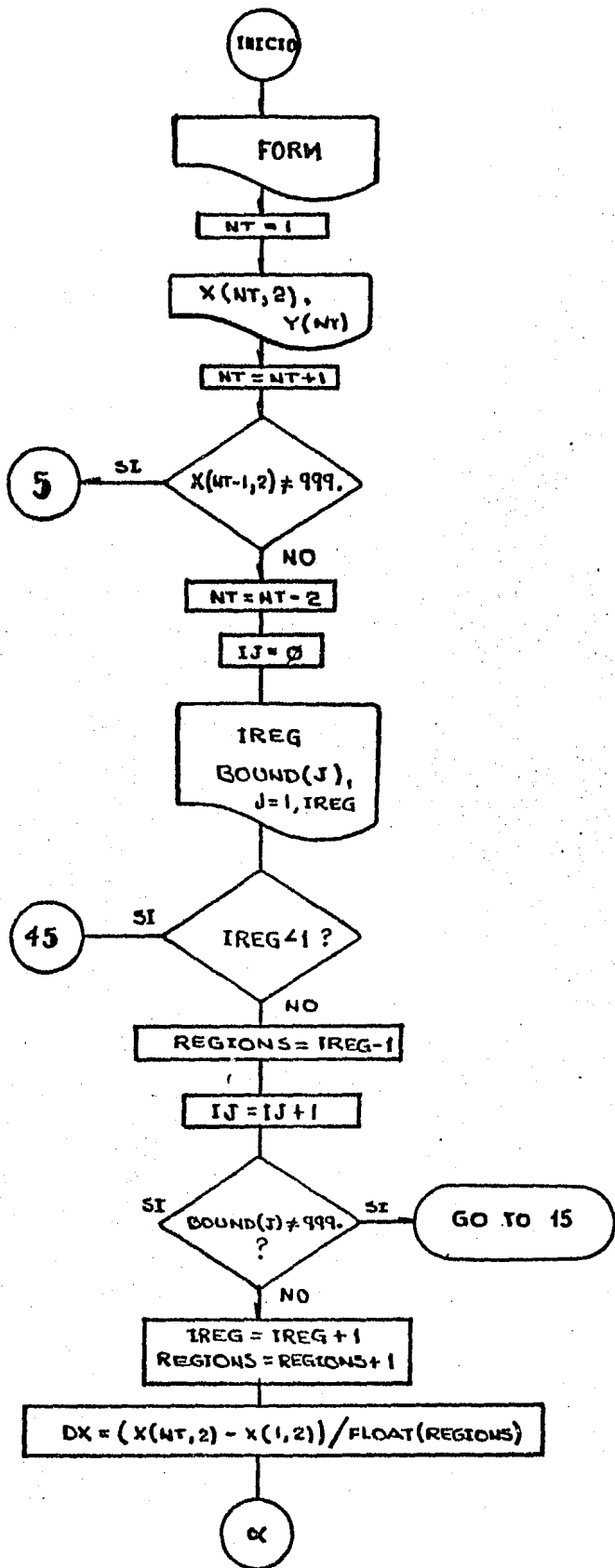
ENREJILLADO

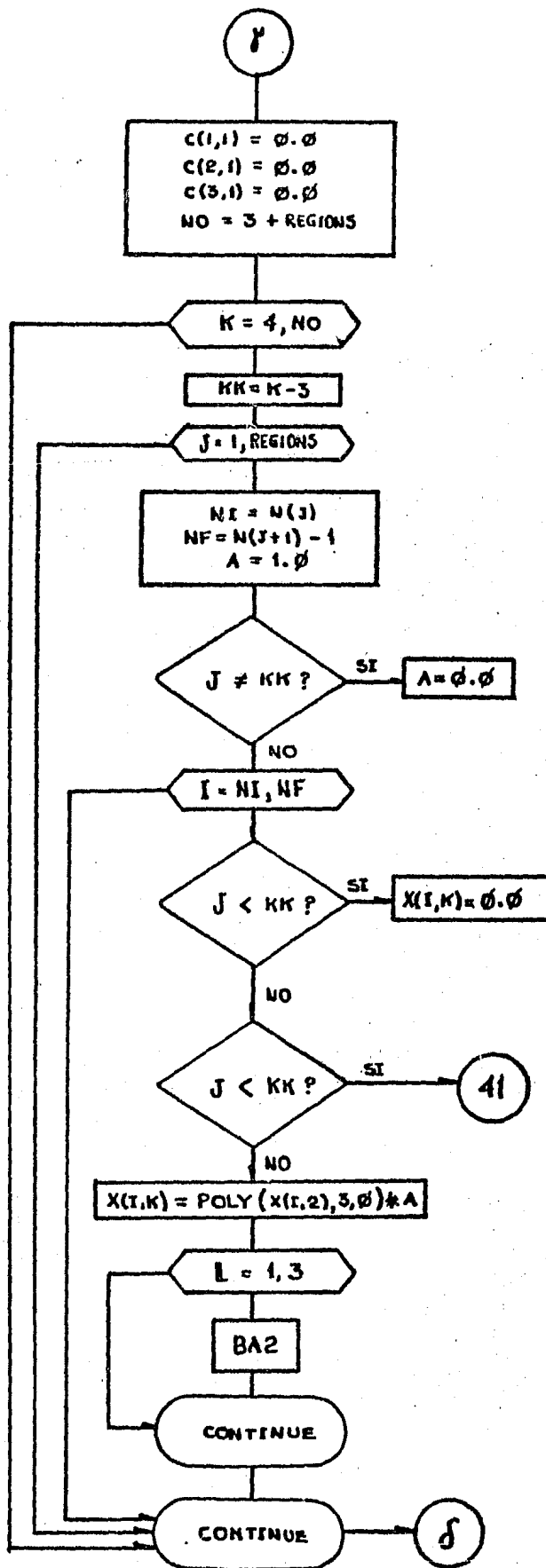
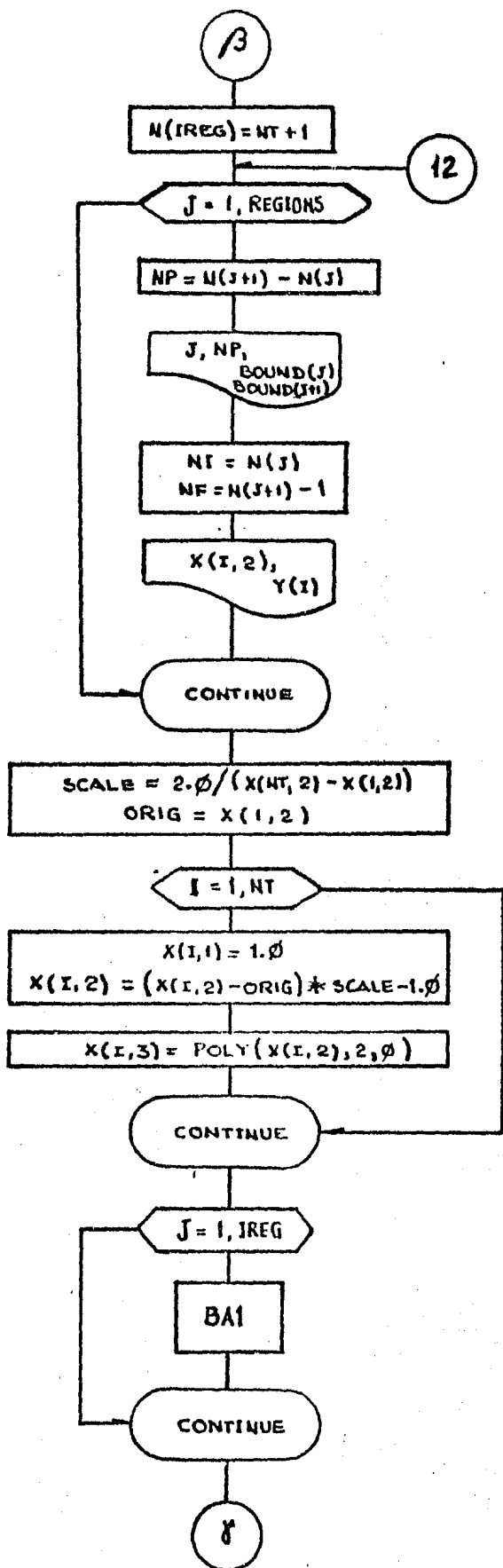


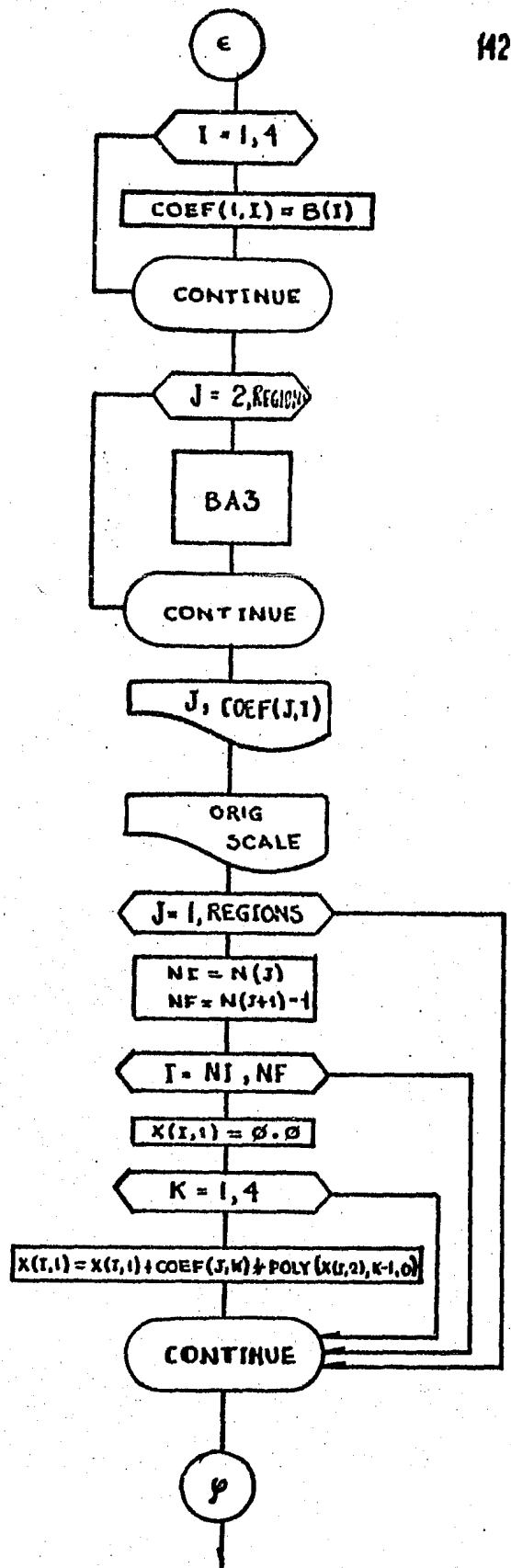
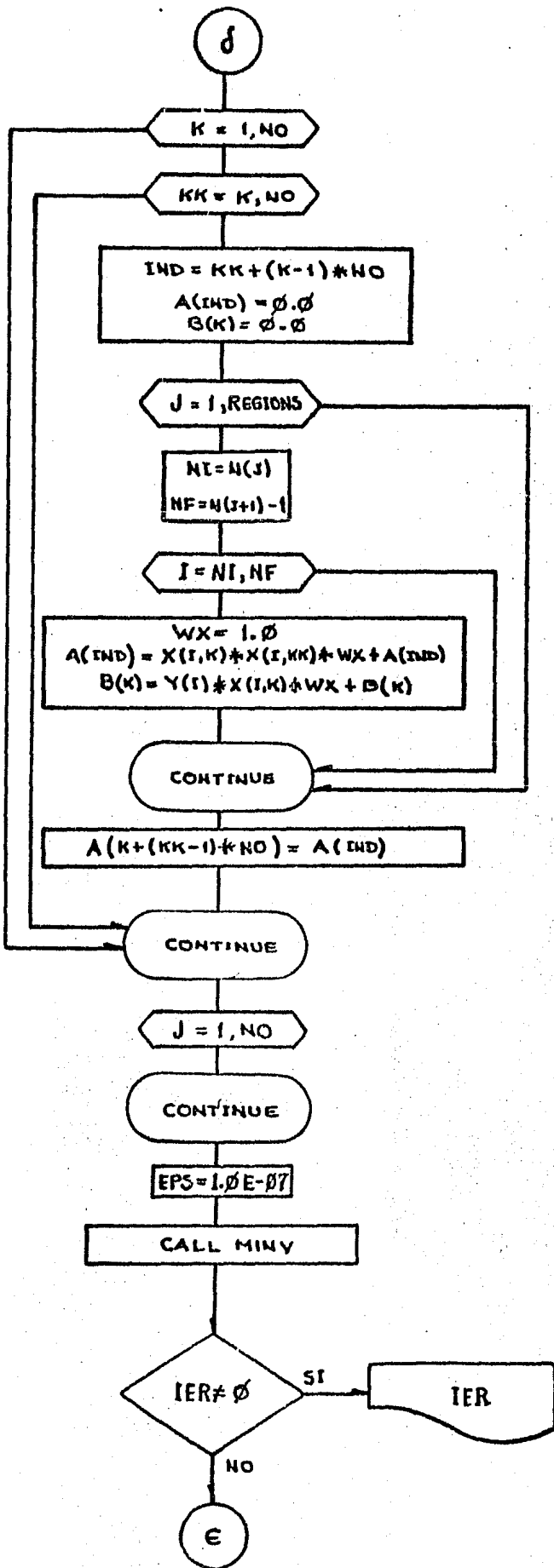


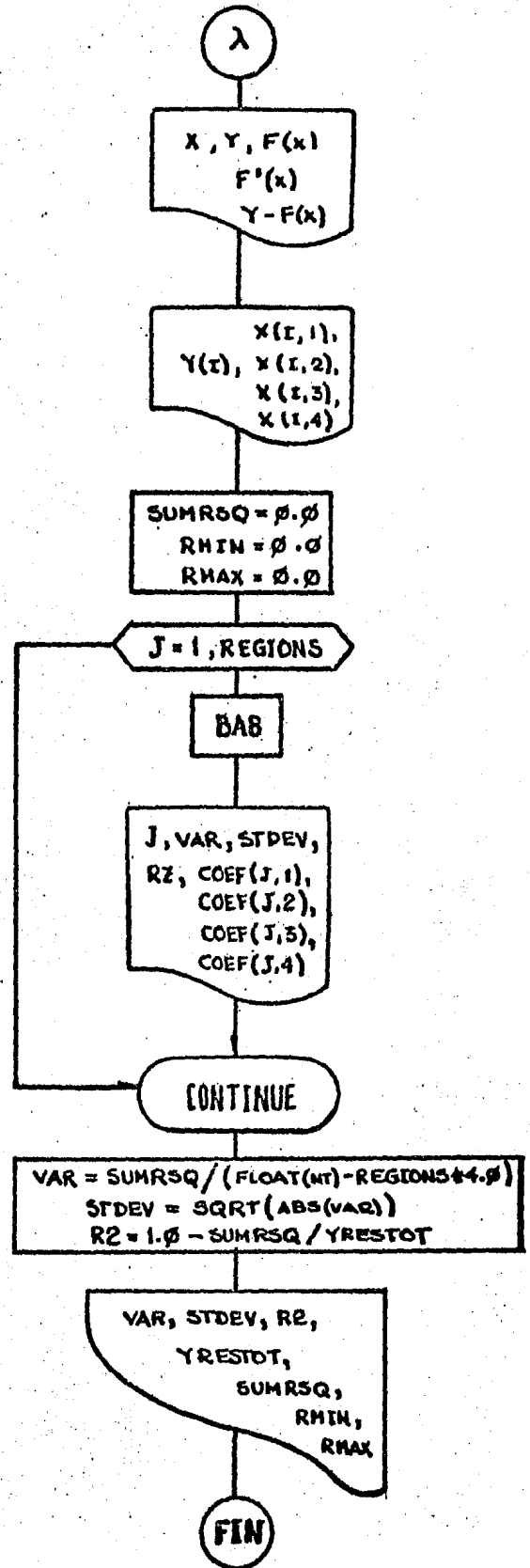
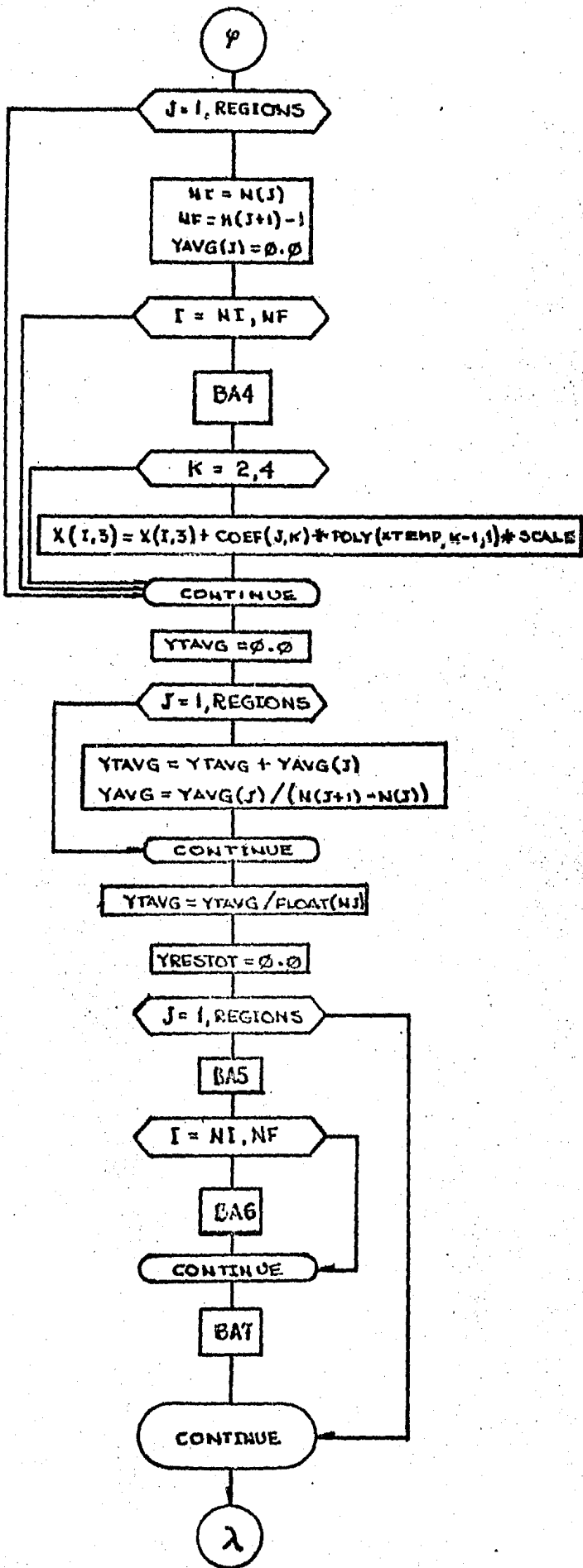


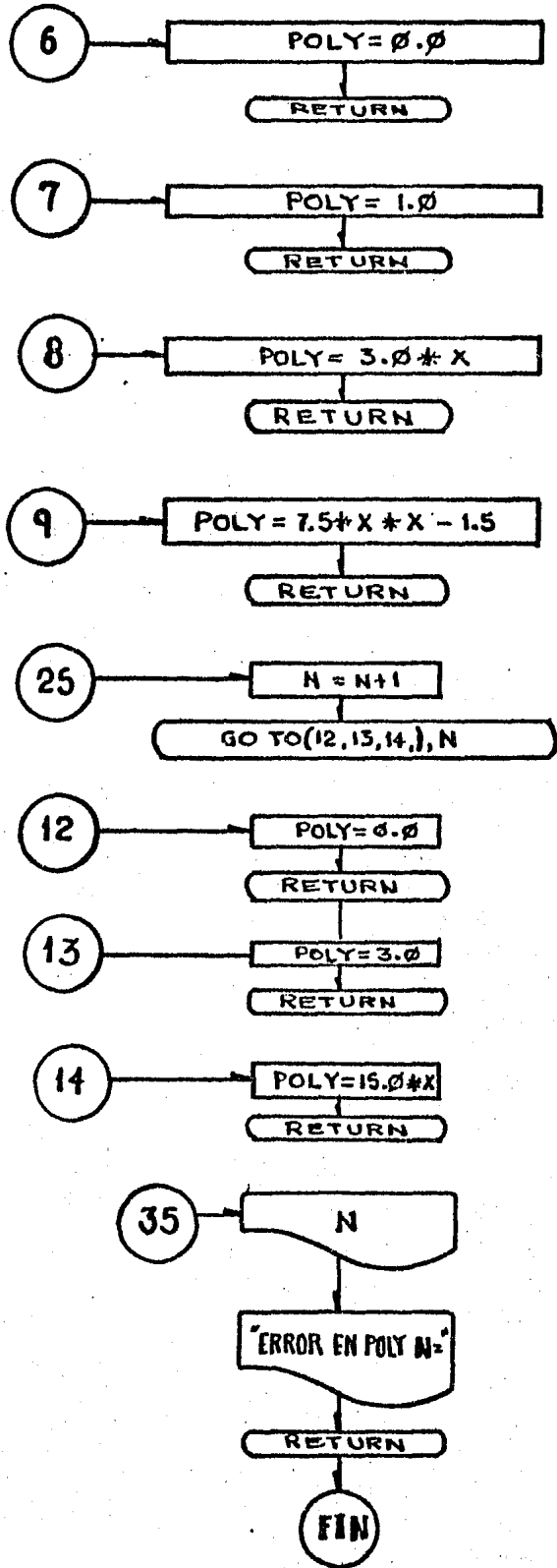
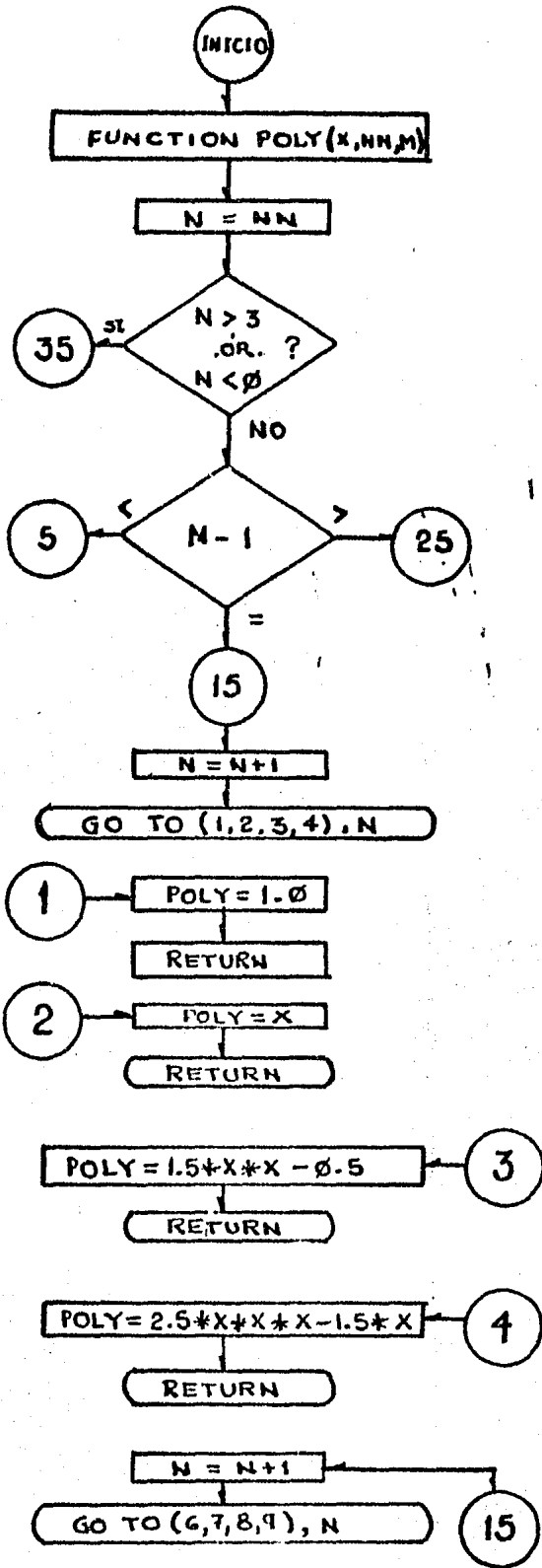
ACMC



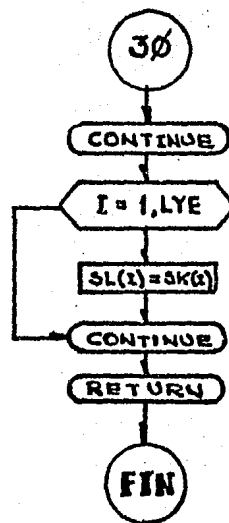
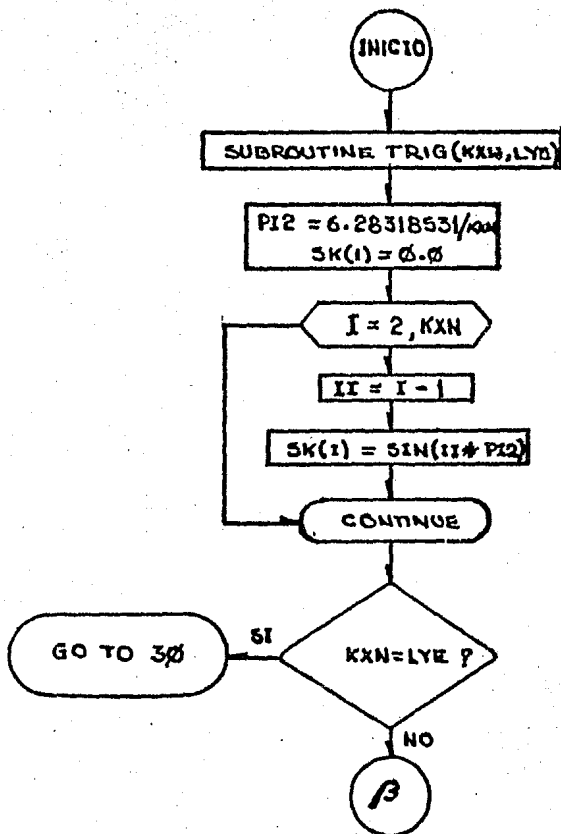
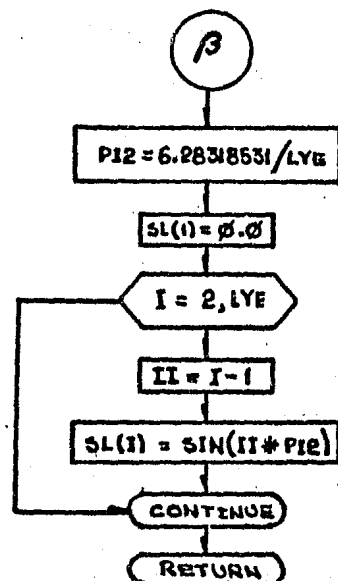
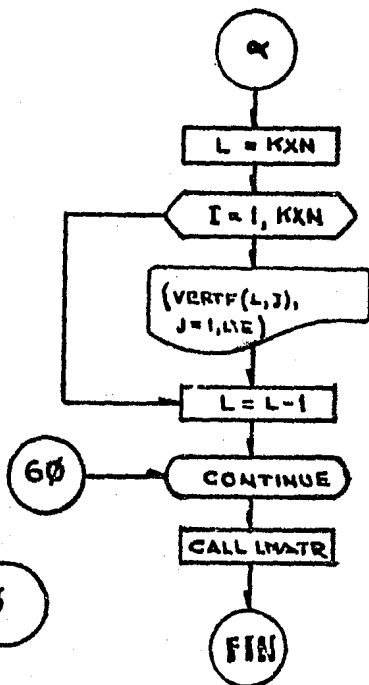
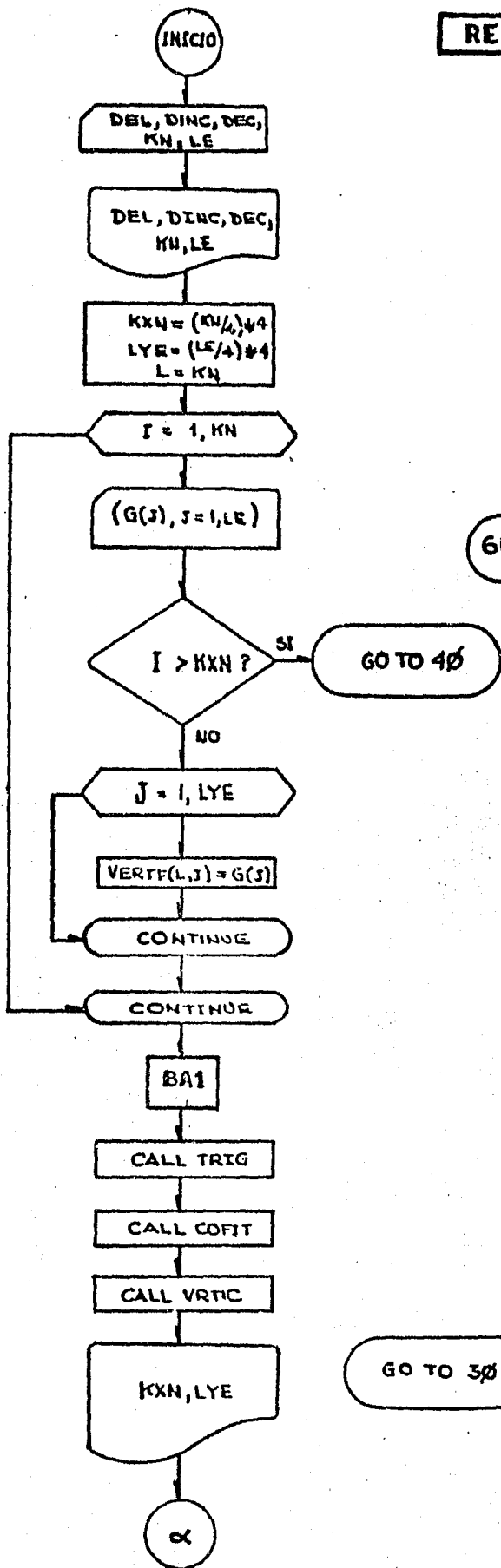


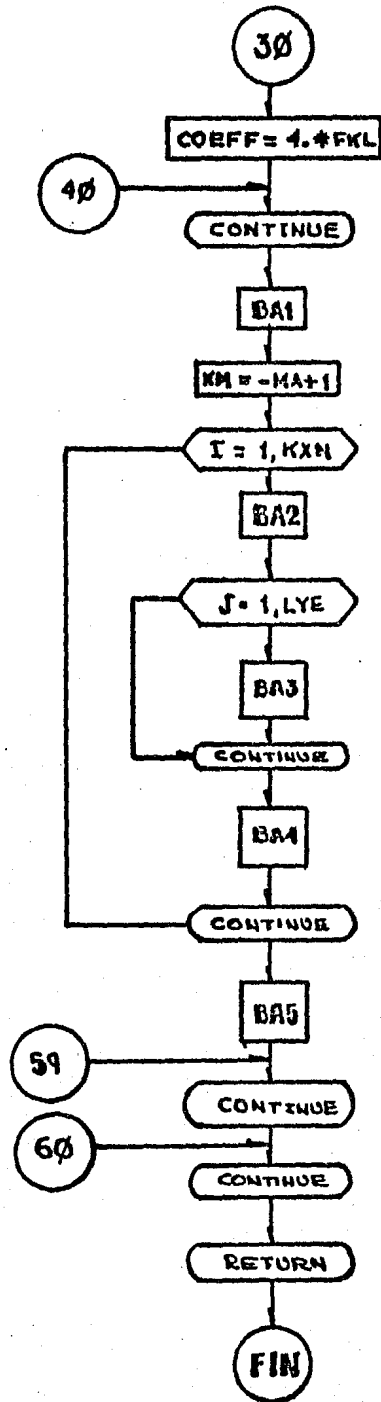
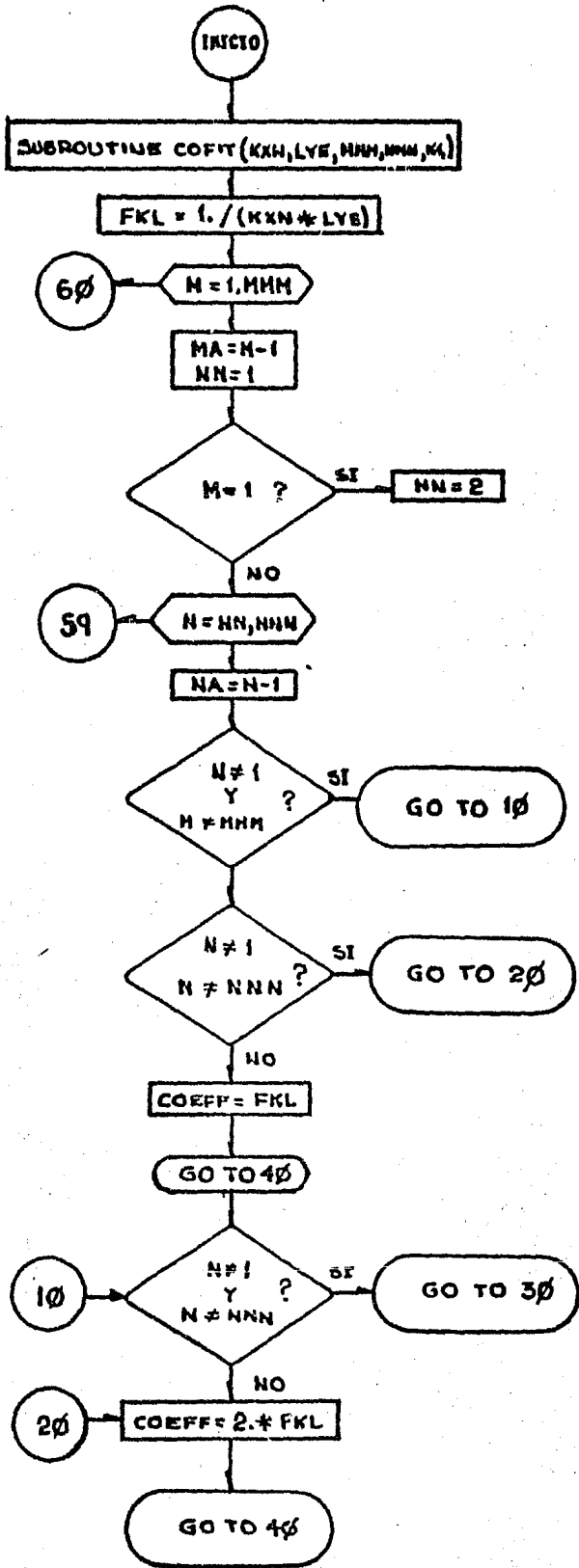


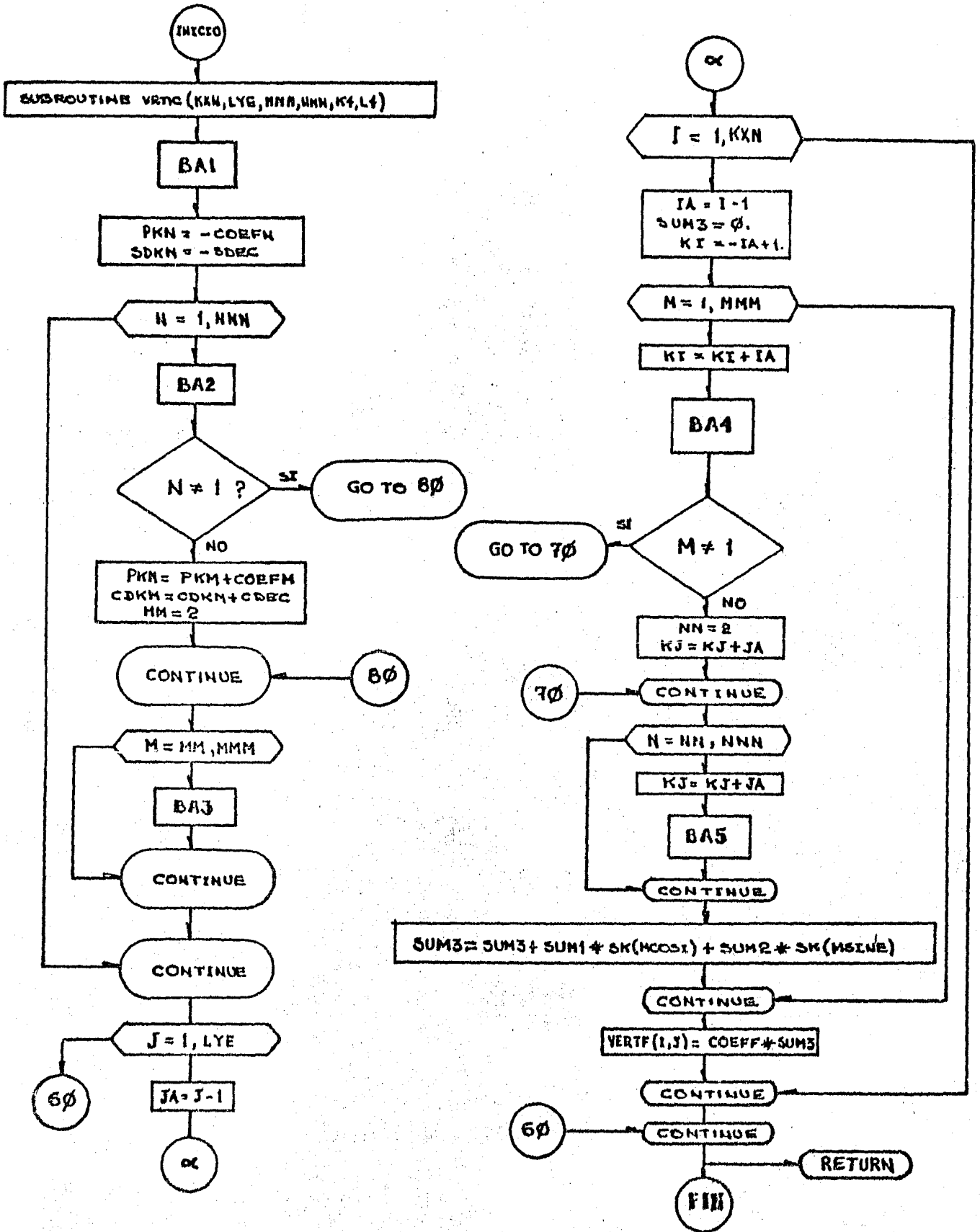




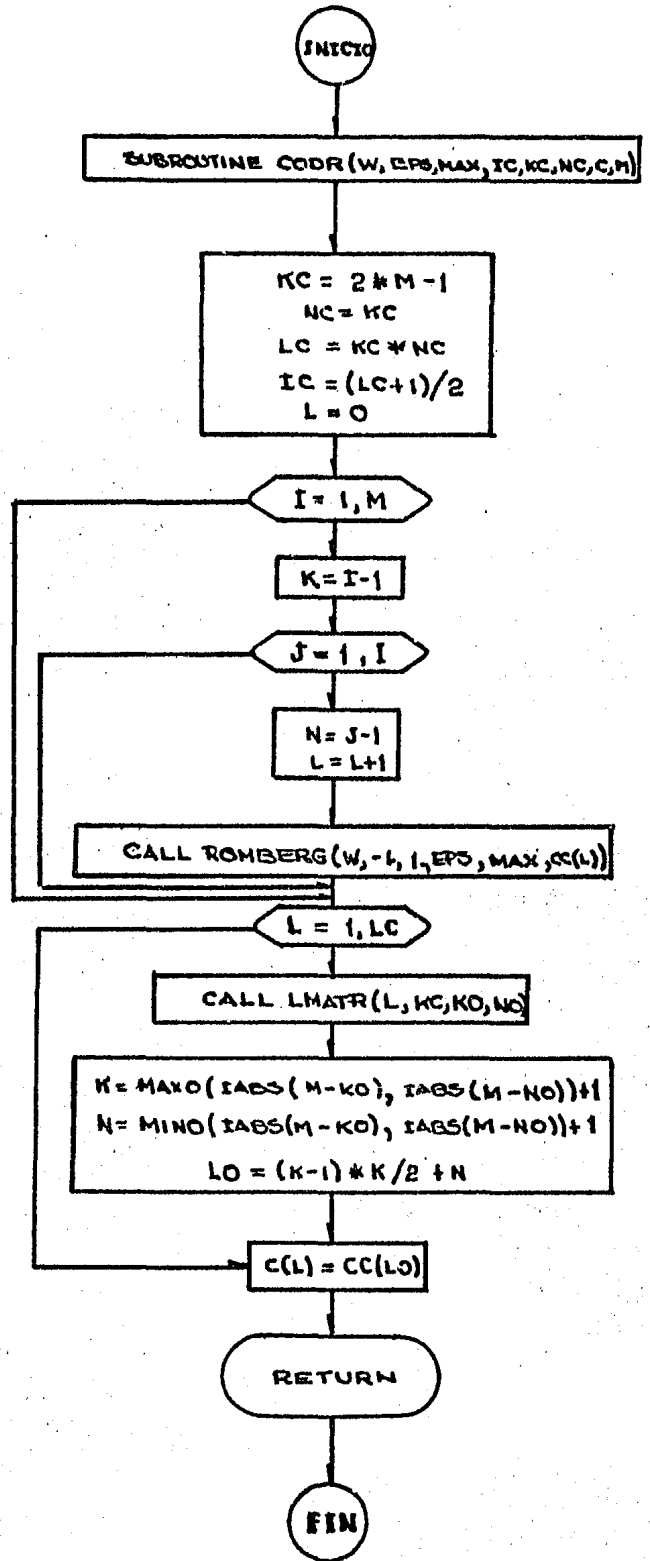
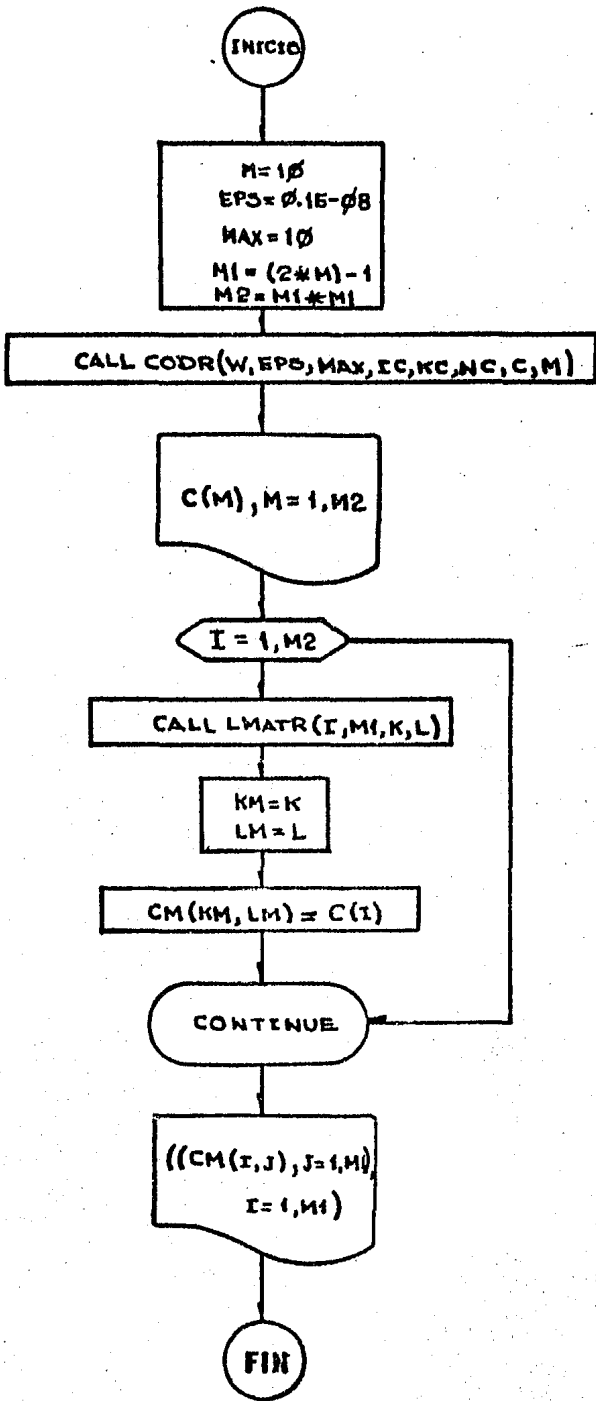
REDPOL



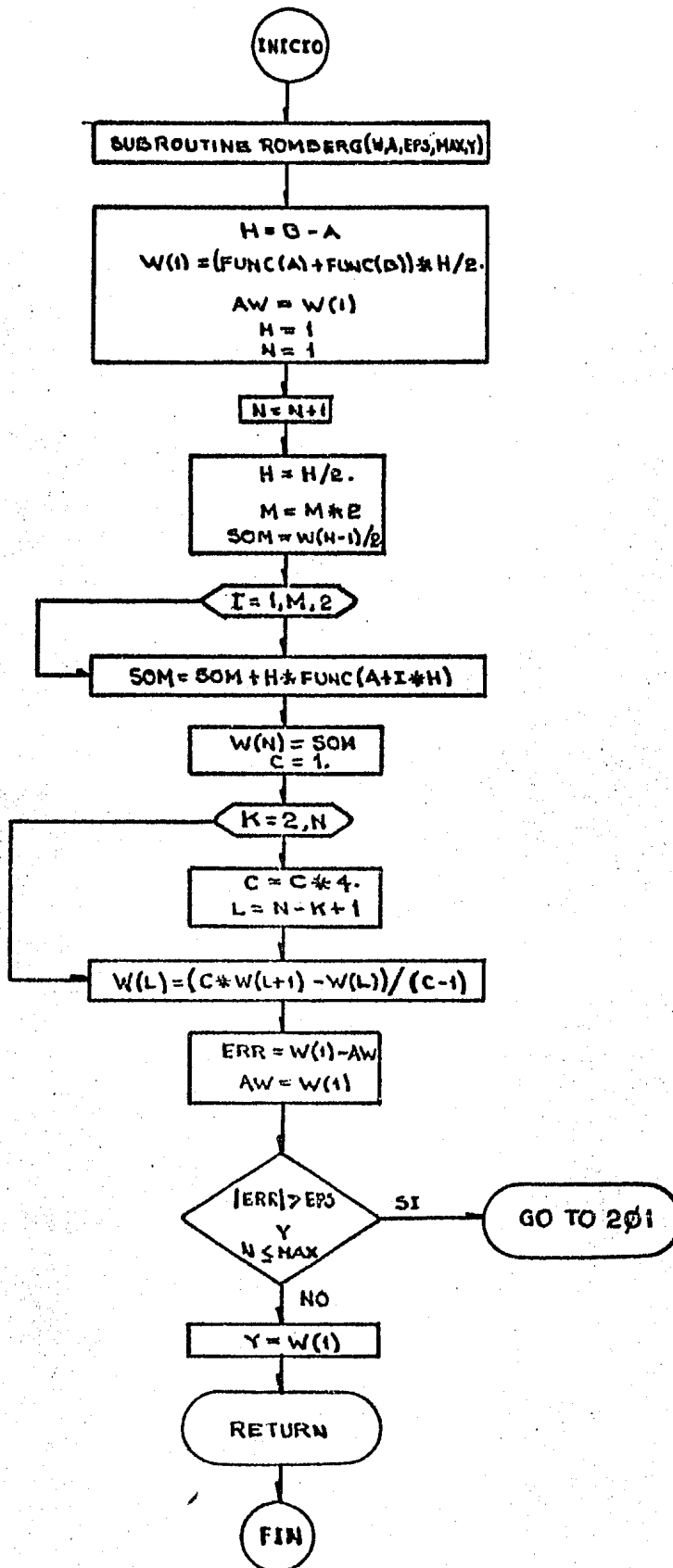


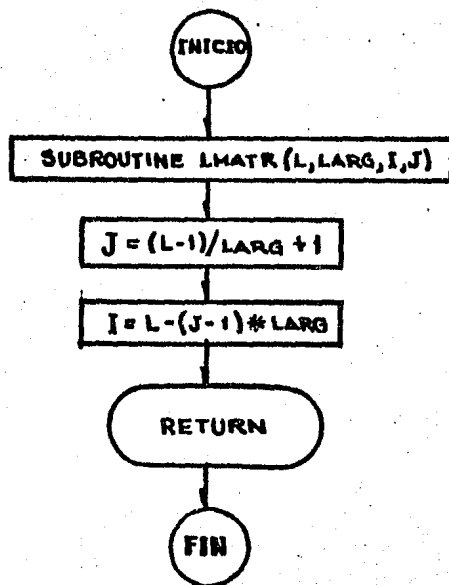
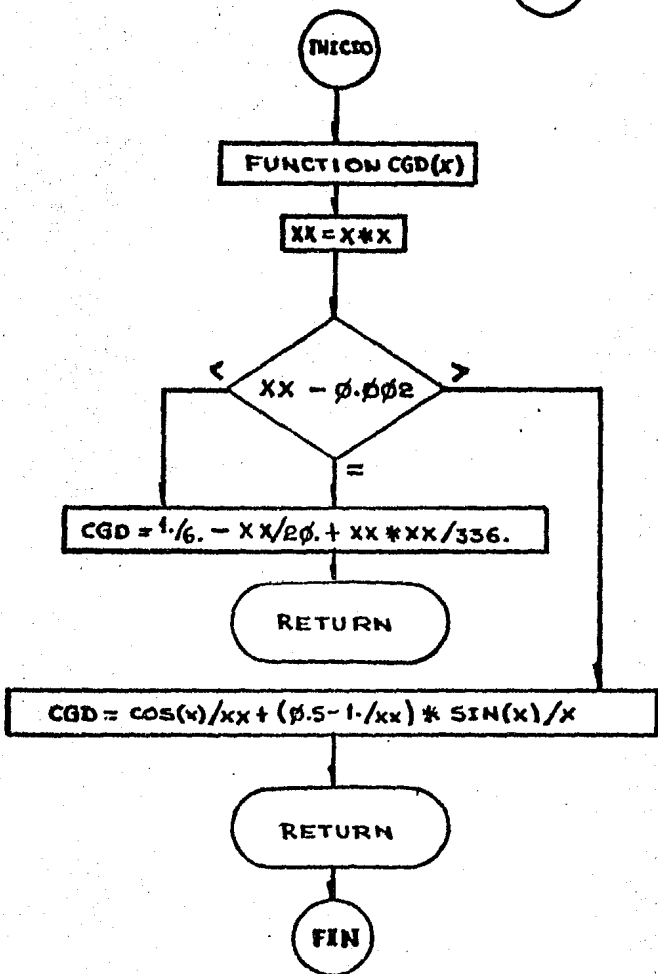
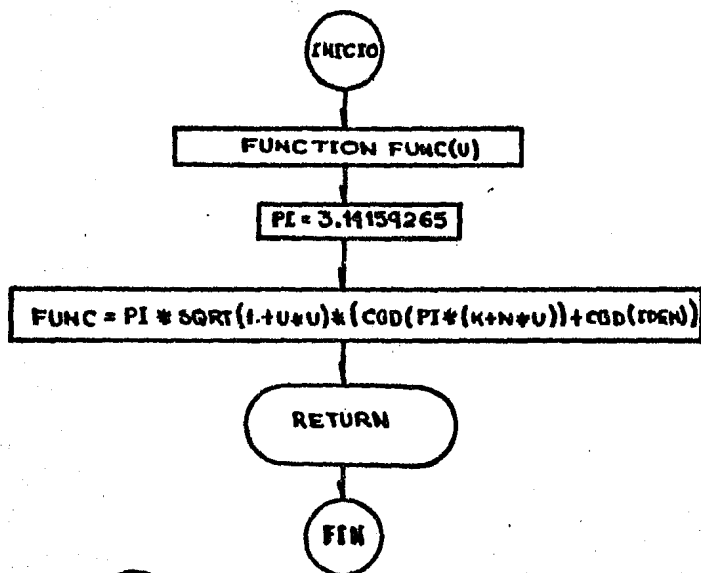


DERVER

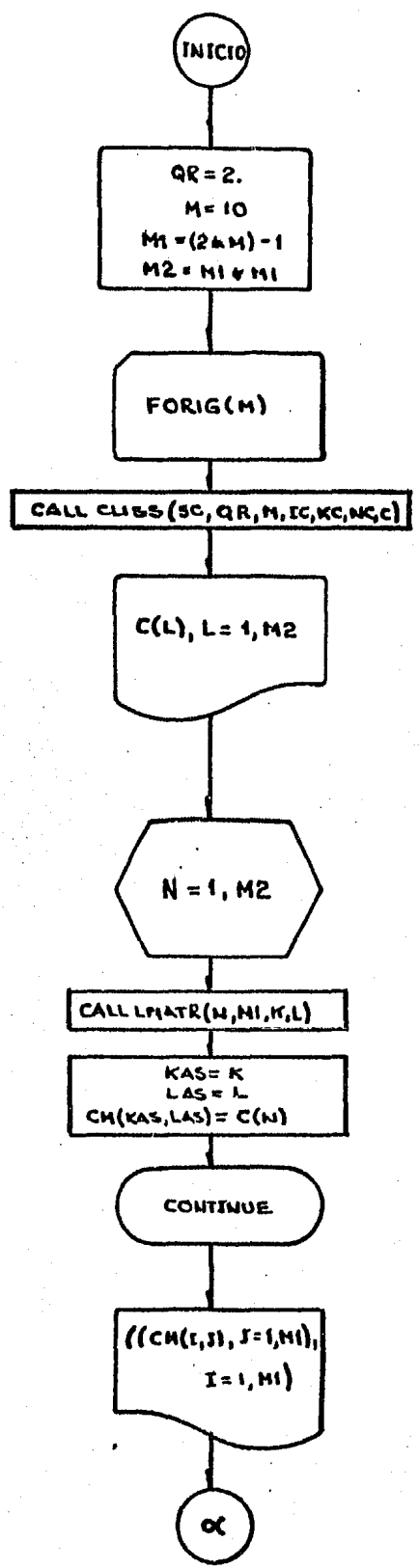


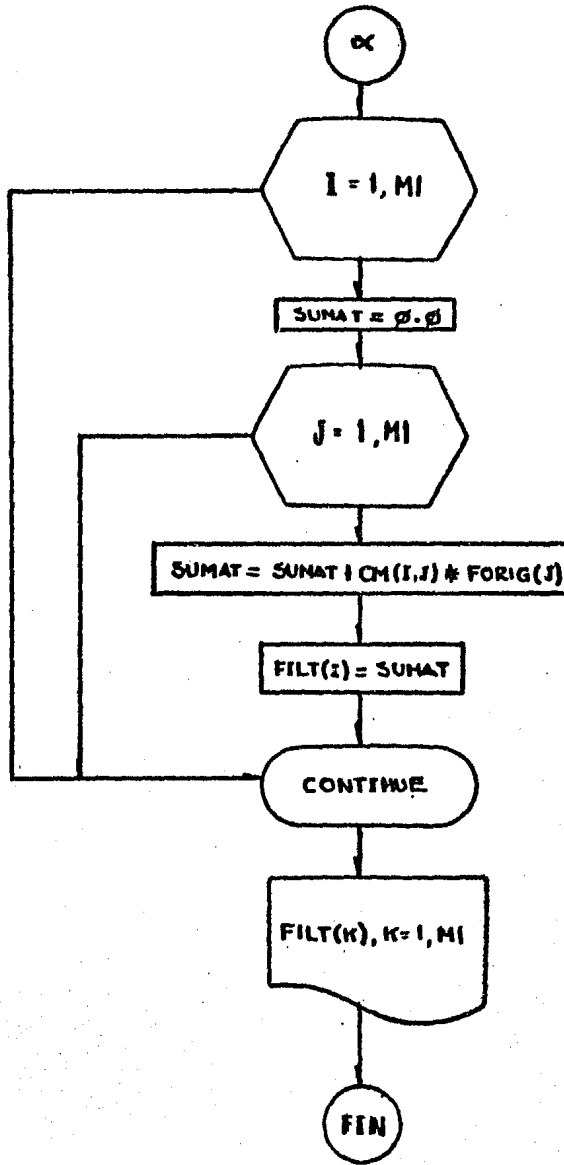
SUBRUTINA ROMBERG

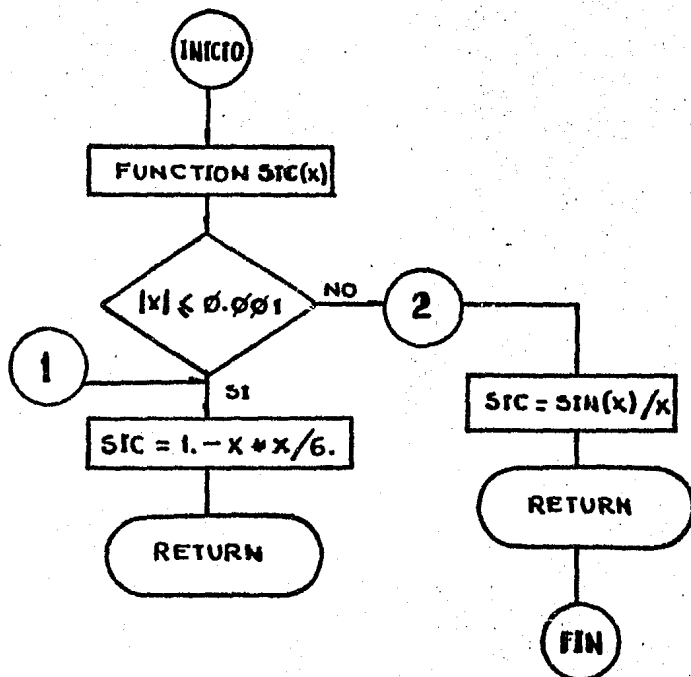
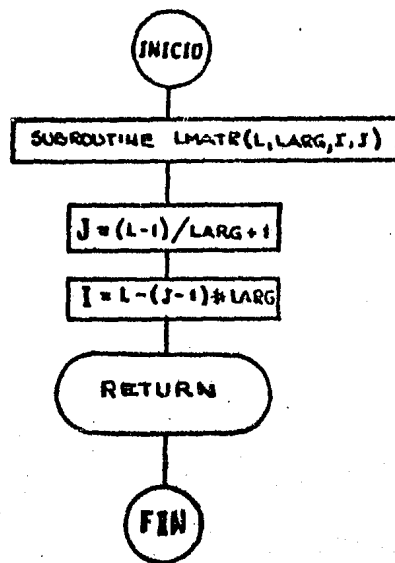
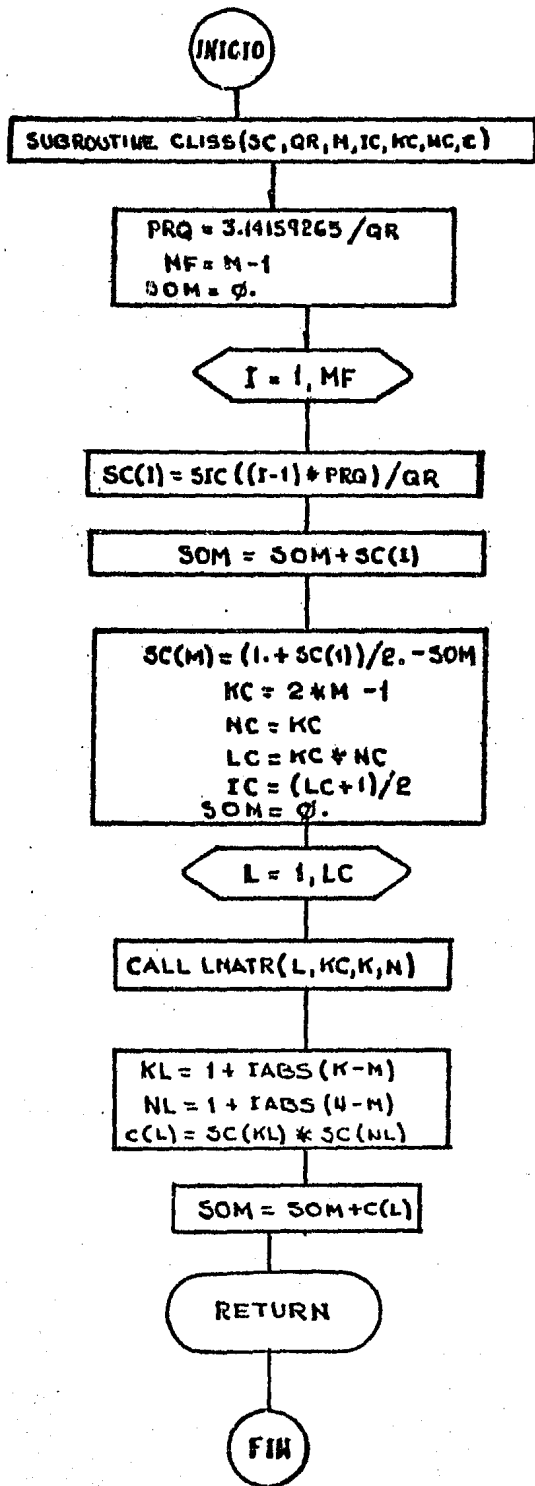




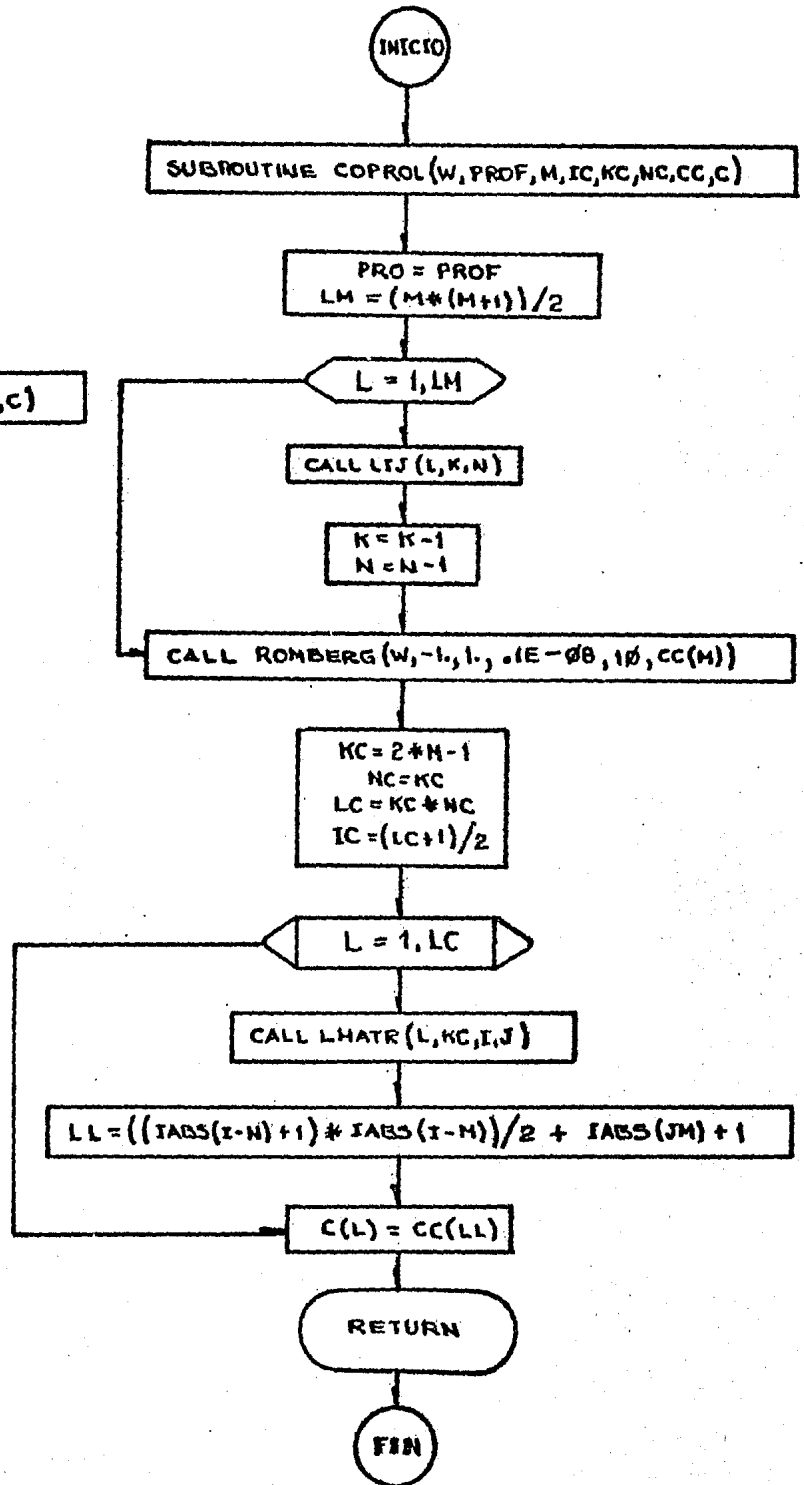
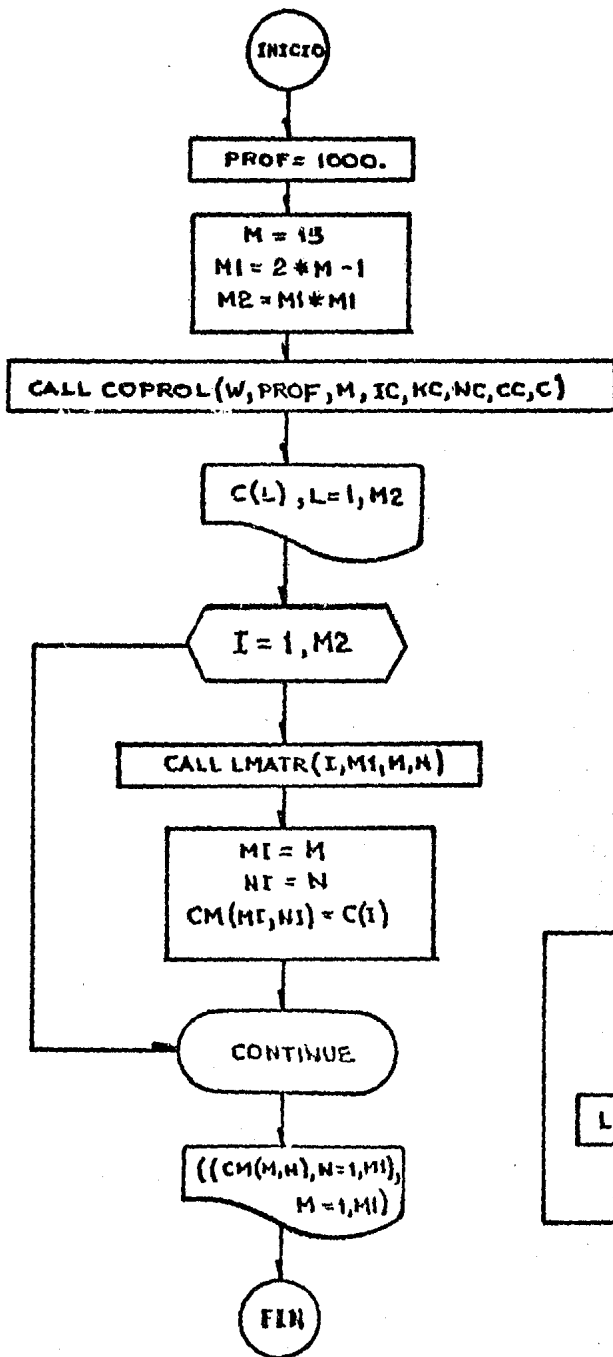
FILTRADO

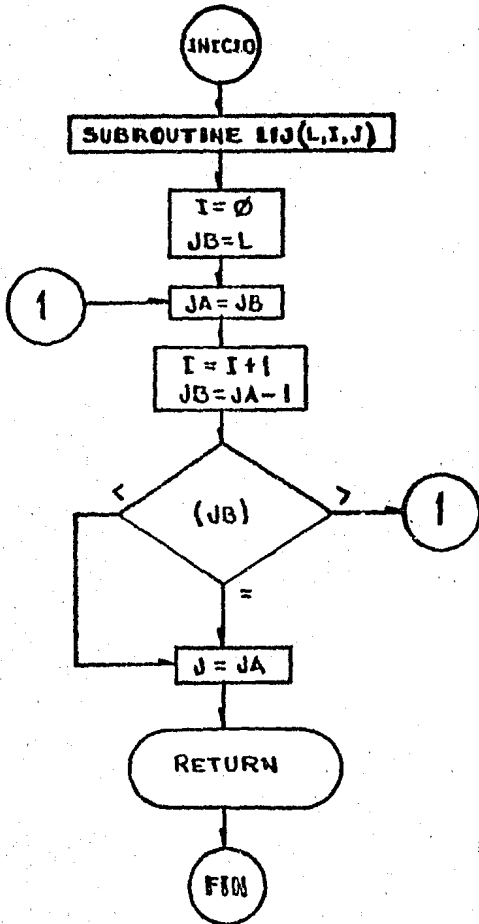
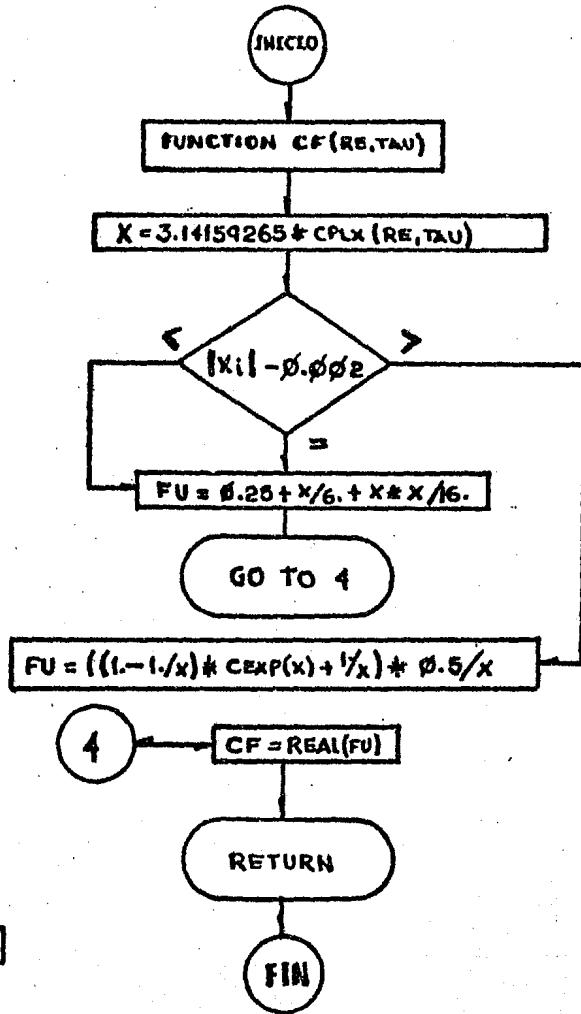
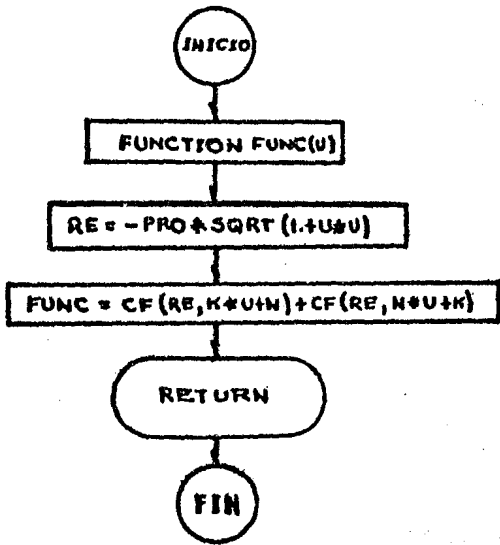




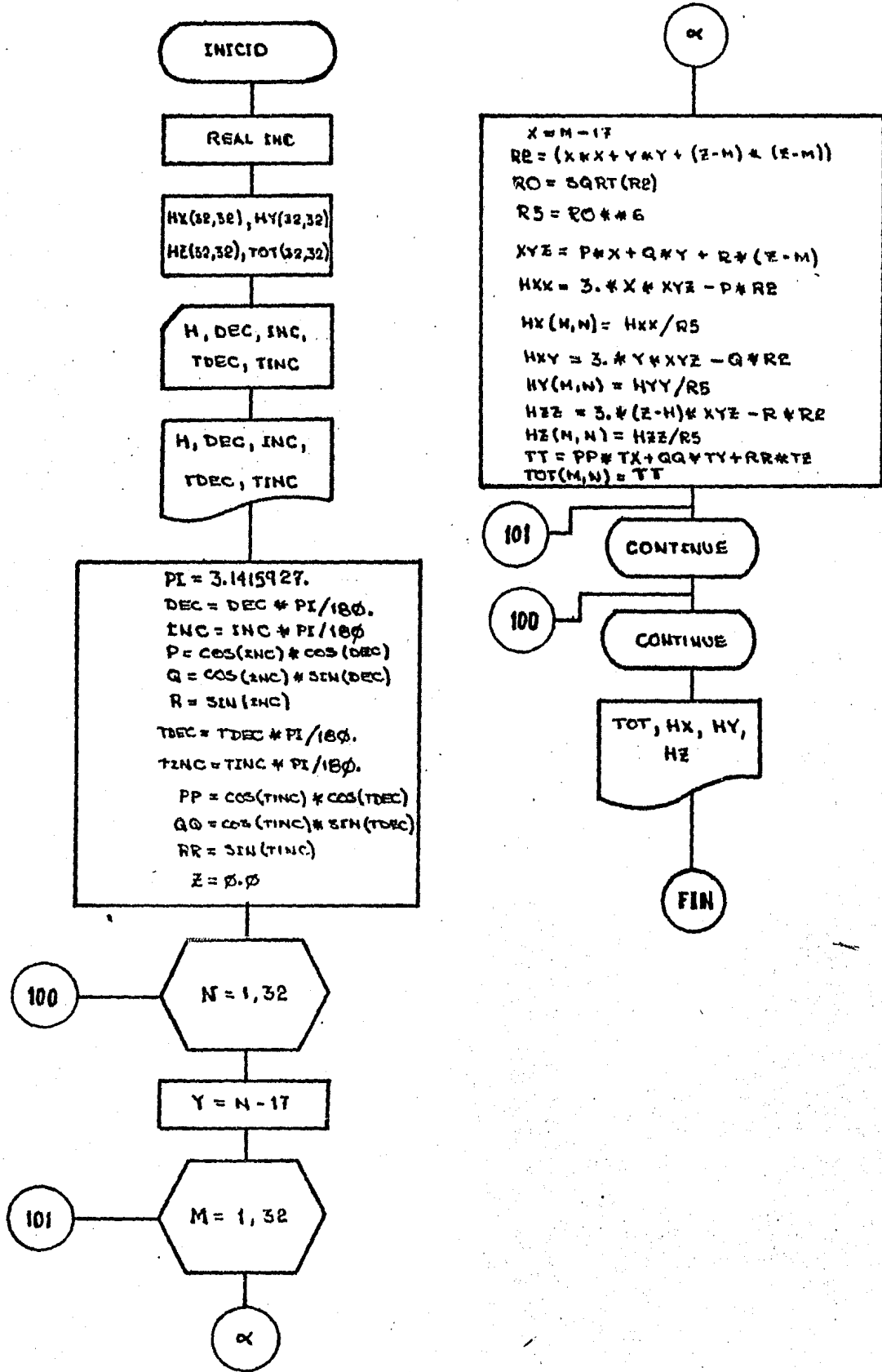


CONTINUACION

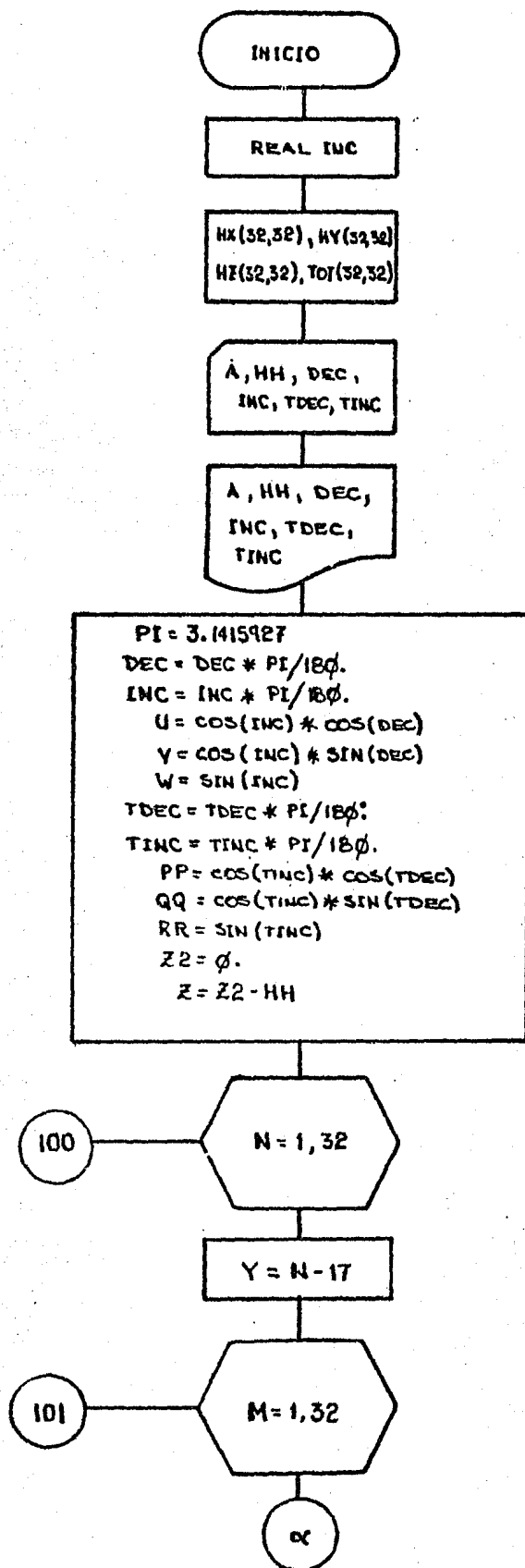




DIPOLO



LINEA DE DIPOLOS



α

```

X = M - 17
YZ = Y**2 + Z**2
RQ = SQRT((X-A)**2 + YZ)
S = W*Z/YZ
RP3 = RP**3.
RM3 = RQ**3

TX = (U*(X-A) + V*Y + W*Z)/RM3 - (U*(X-A) + V*Y + W*Z)/RP3
TY = Y*(U*(1/RM3 - 1/RP3) - S*((X-A)/RM3 - (X+A)/RP3)) -
    -(V - 2*Y*S)*((X+A)/RP - (X-A)/RQ)/YZ
TZ = Z*(U*(1/RM3 - 1/RP3) - S*((X-A)/RM3 - (X-A)/RP3)) -
    -(W - 2*Z*S)*((X-A)/RP - (X-Z)/RQ)/YZ

```

```

HX(M,N) = TX
HY(H,N) = TY
HZ(H,N) = TZ
TT = PP*TX + QQ*TY + RR*TZ
TOT(M,N) = TT

```

101

CONTINUE

100

CONTINUE

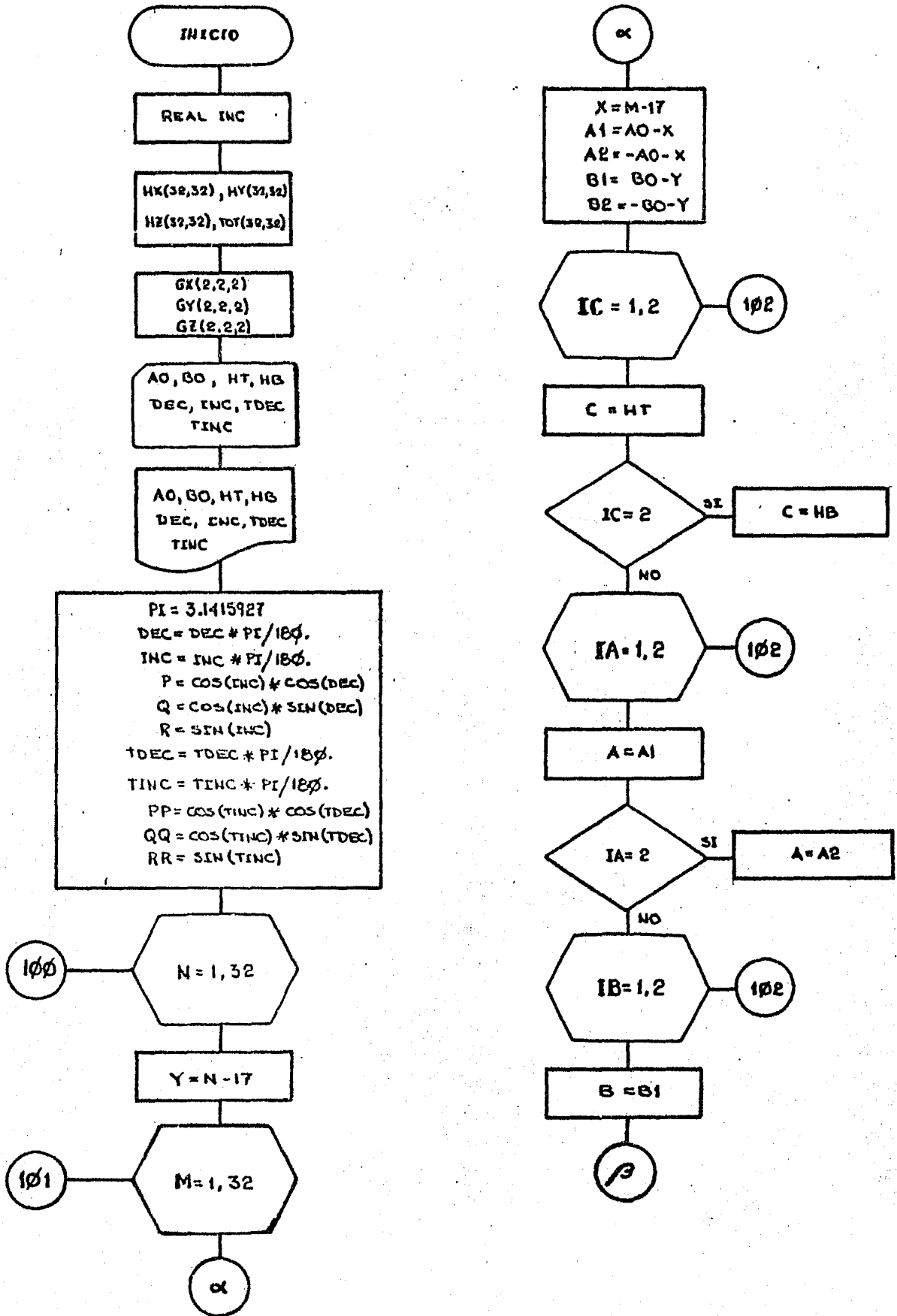
```

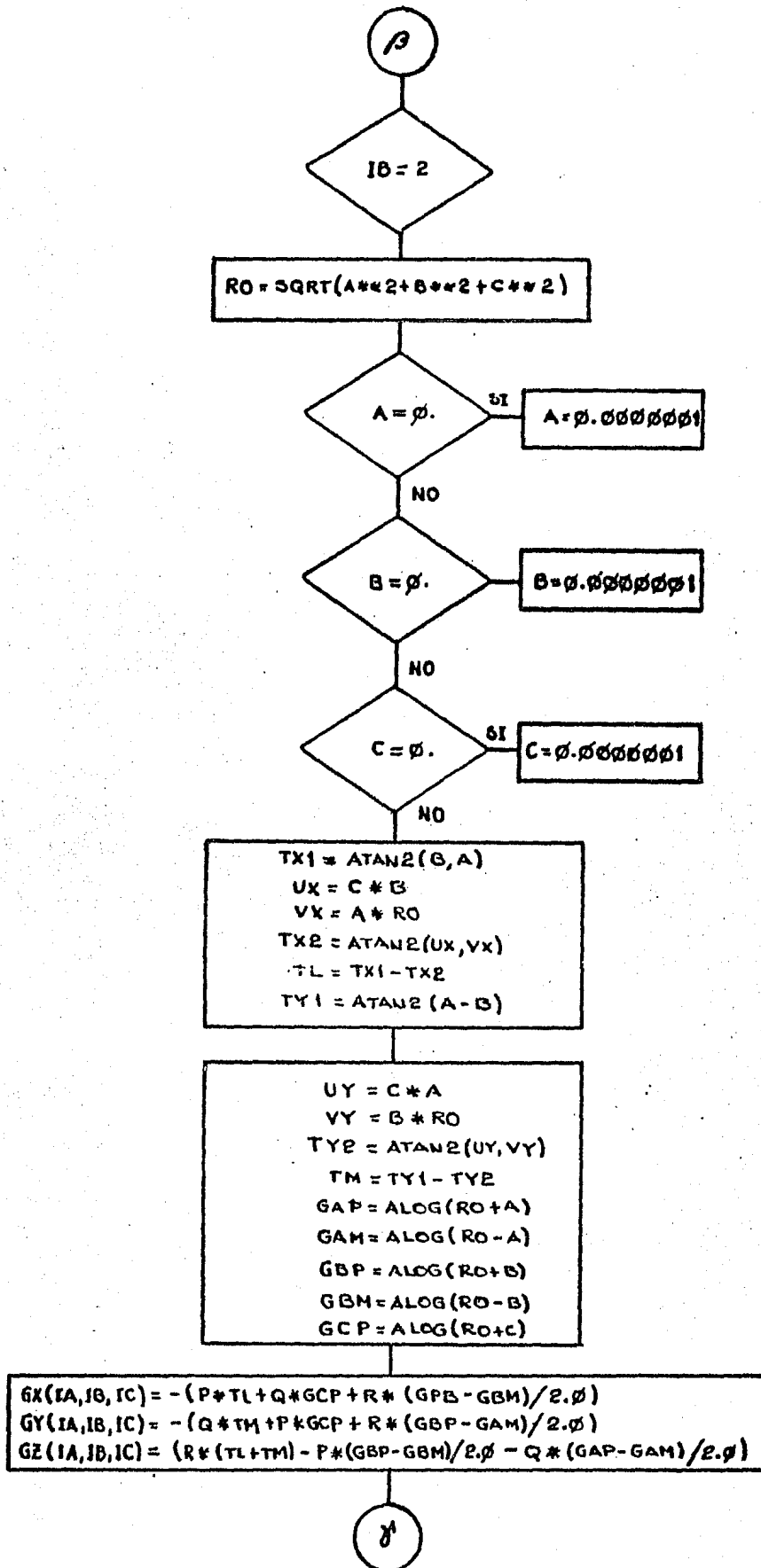
TOT, HX, HY,
HZ

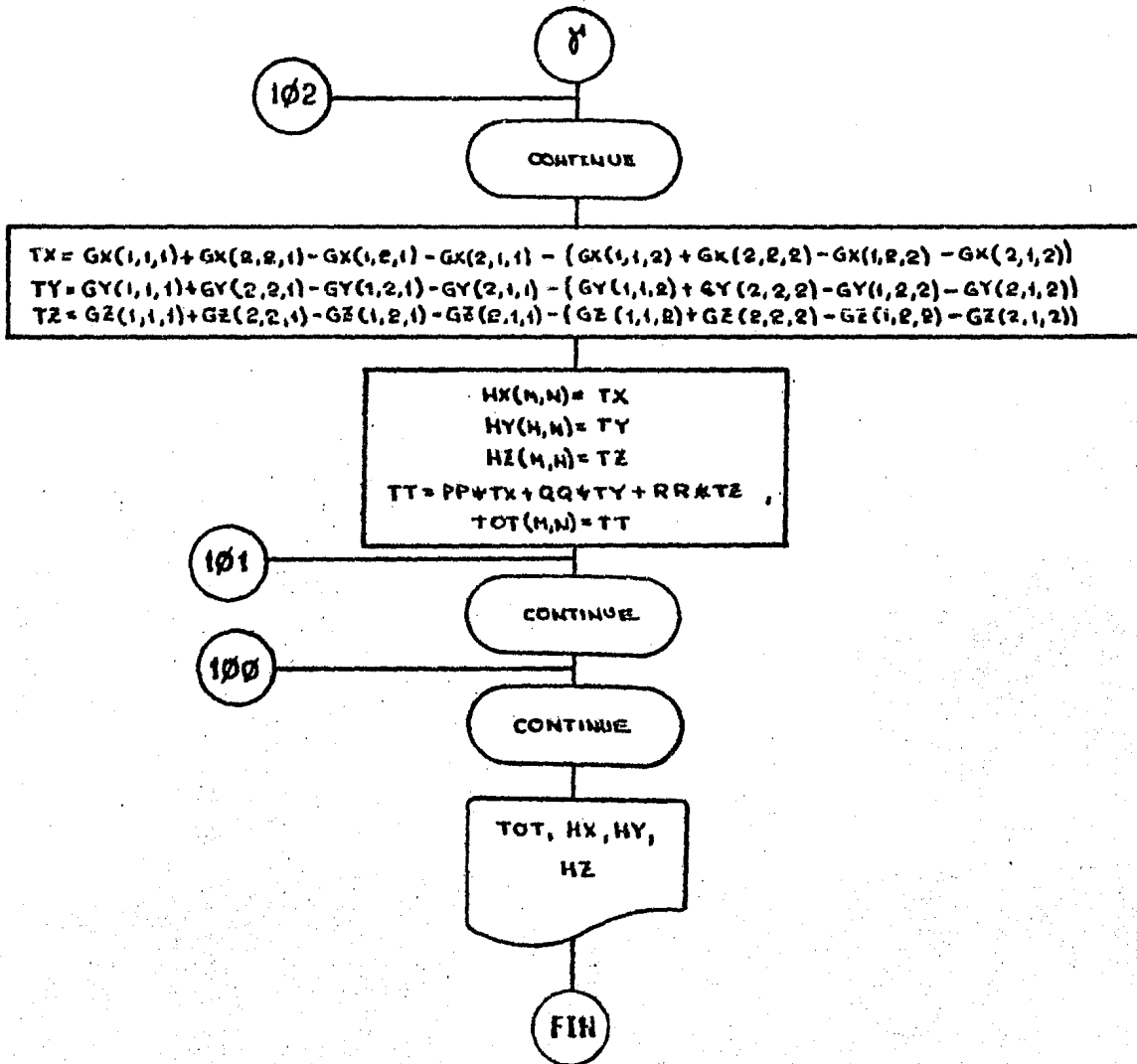
```

FIN

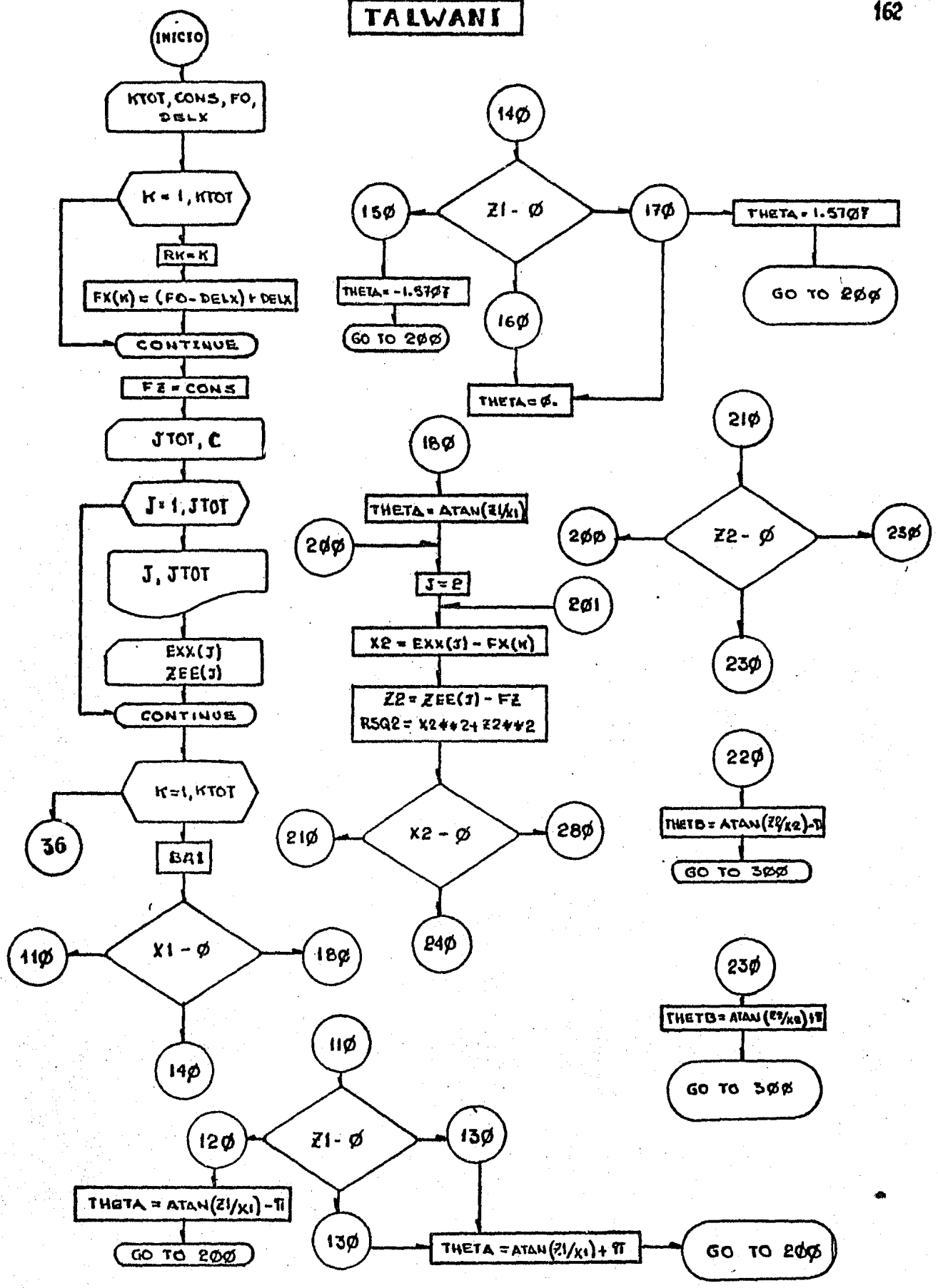
PRISMA VERTICAL

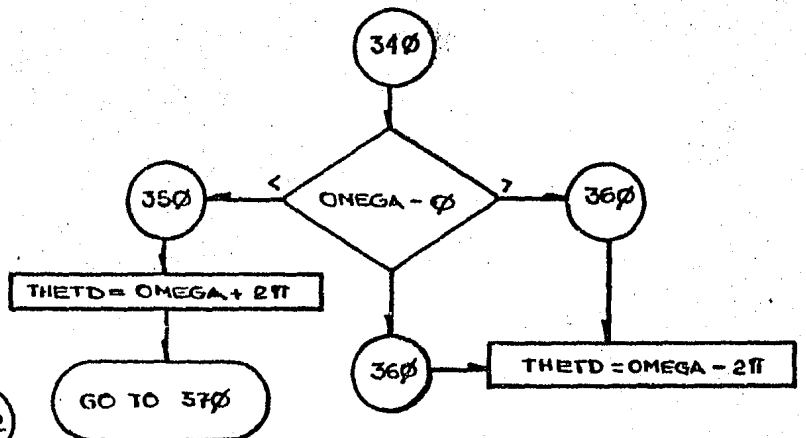
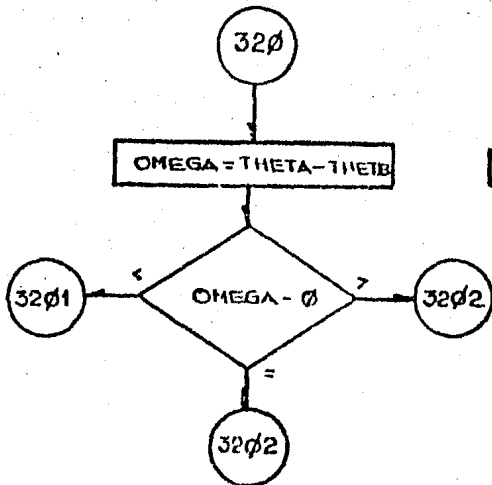
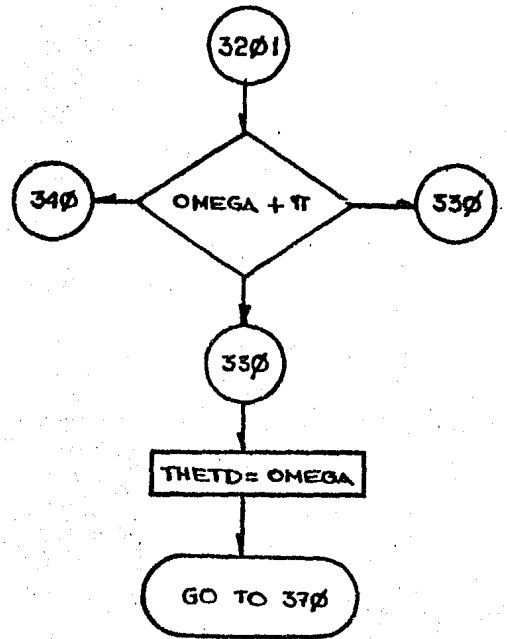
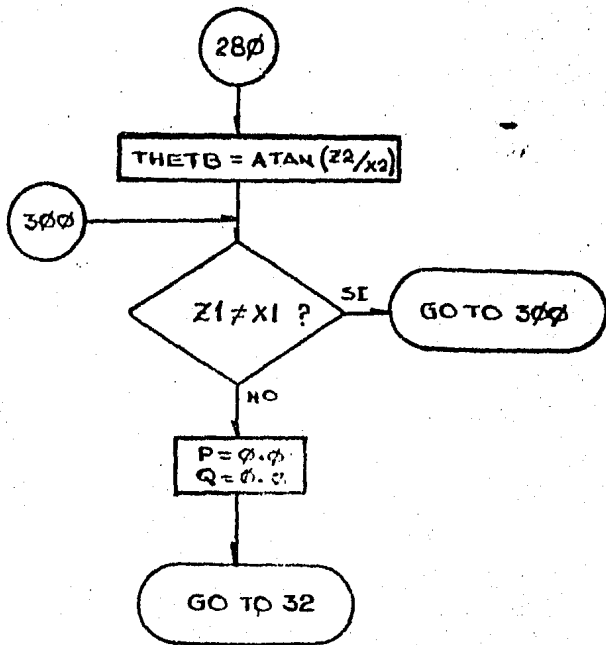
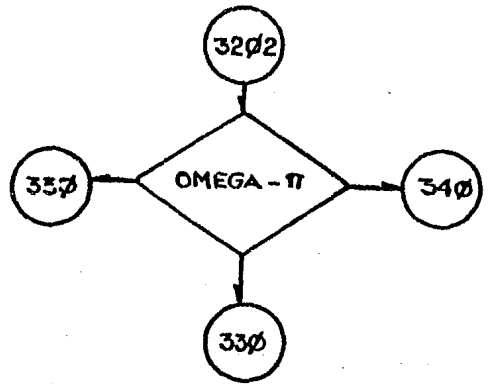
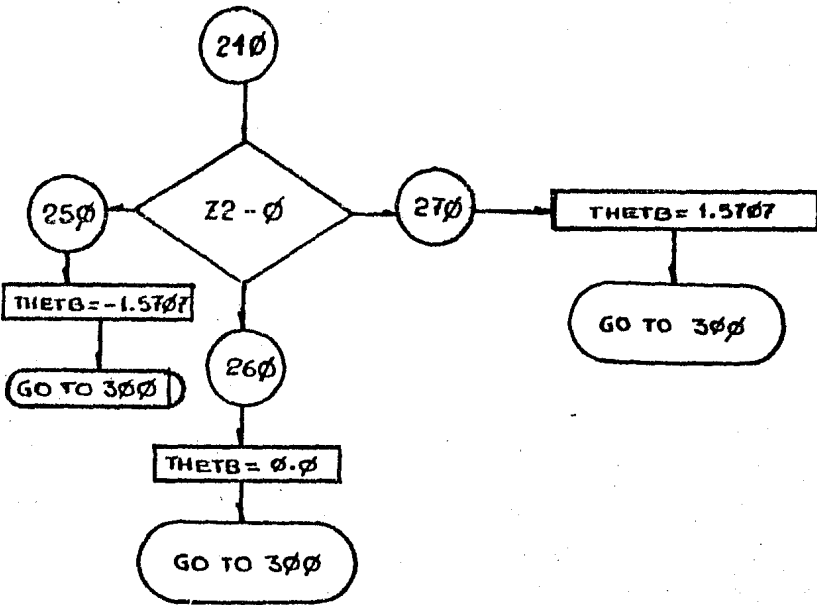


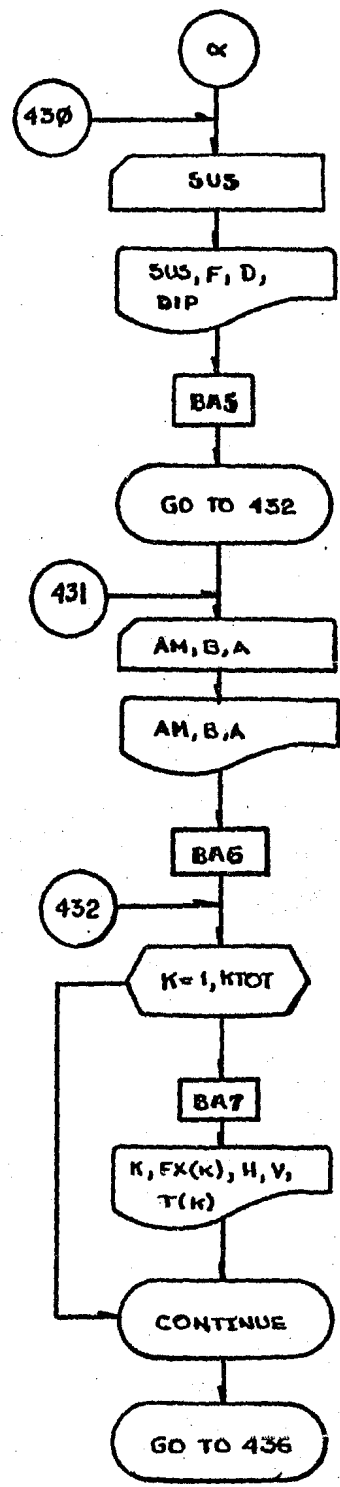
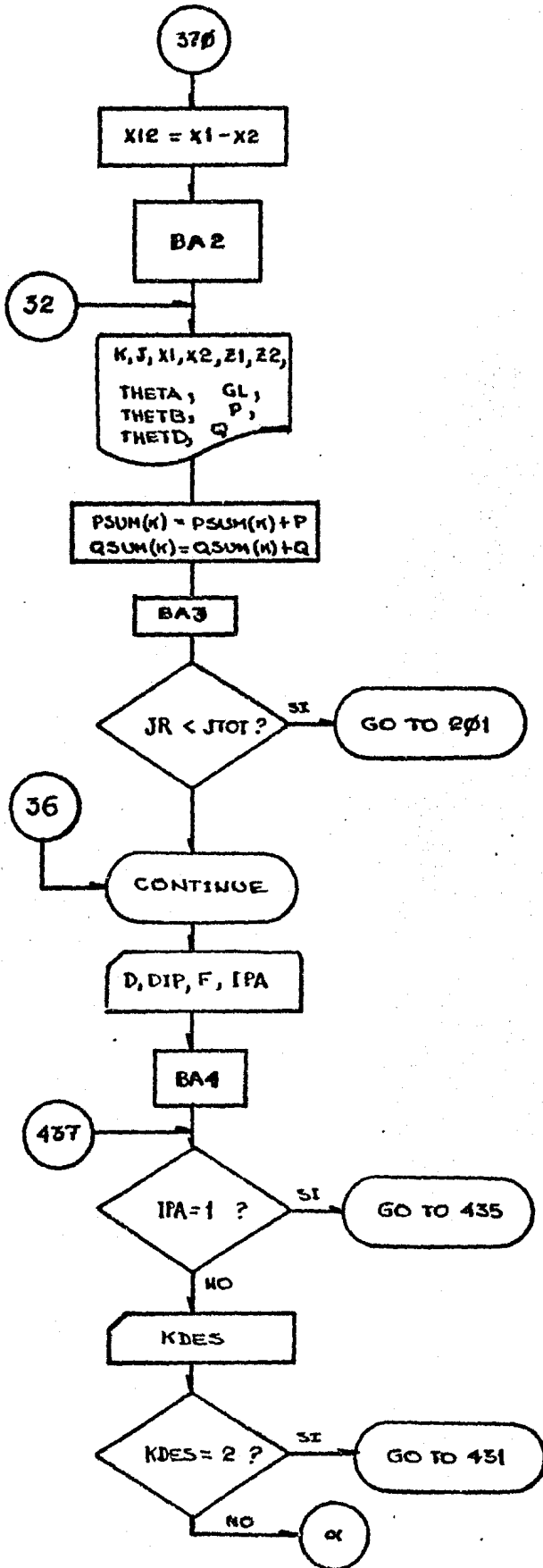


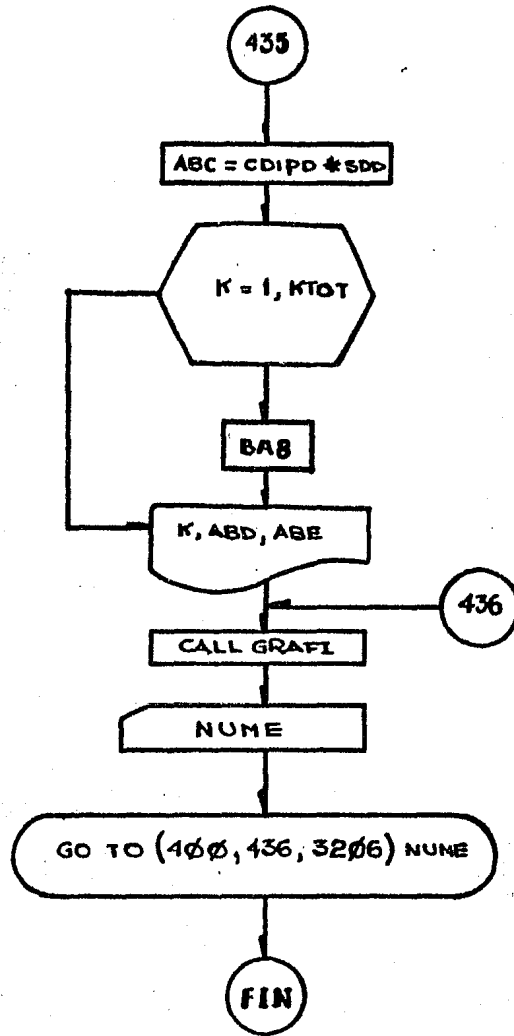


TALWANI

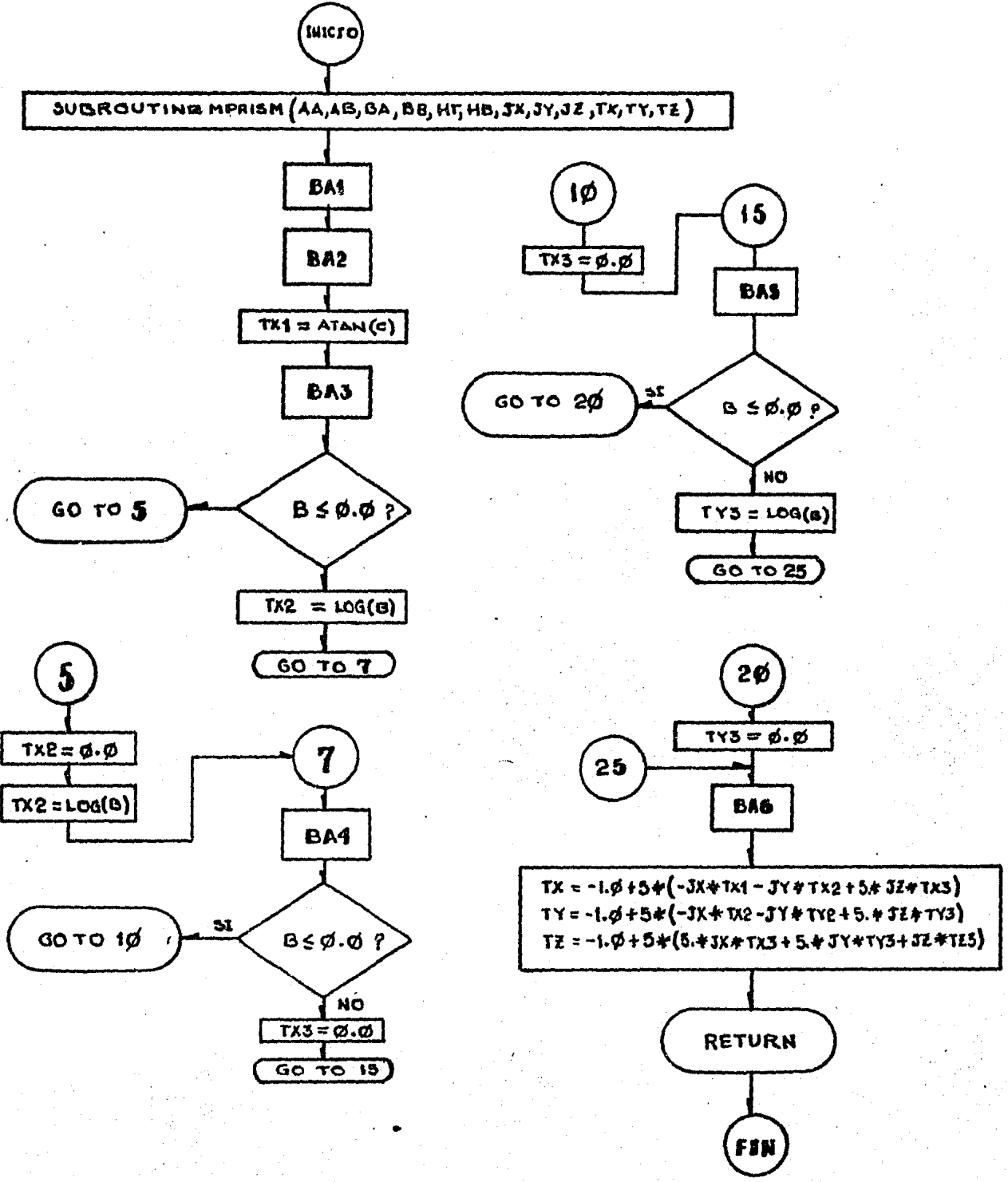








BHATTACHARYYA



CAPITULO**IV****LISTADO DE PROGRAMAS****Y****EXPLICACION DE SU****FUNCIONAMIENTO**

1. PROGRAMA MAGSYN.

ESTE PROGRAMA CONSISTE DE UN PROGRAMA PRINCIPAL SIMPLE Y UNA SUBROUTINA, DE TAL FORMA QUE EL PROGRAMA PRINCIPAL LEE E IMPRIME RESULTADOS.

LAS VARIABLES DE ENTRADA SON:

DATE = FECHA = 1979 (EN EL EJEMPLO)

ITYPE = DEFINE EL USO DE COORDENADAS

SI ITYPE = 1 USA GEODESICAS

SI ITYPE = 2 USA GEOCENTRICAS.

ALT = ALTITUD SOBRE EL NIVEL MEDIO DEL MAR (Km)

COLAT = COLATITUD EN GRADOS ($0^\circ - 180^\circ$)

ELONG = LONGITUD ESTE EN GRADOS ($0^\circ - 360^\circ$)

LOS DATOS DE SALIDA SON:

X = COMPONENTE MAGNÉTICA EN LA DIRECCIÓN NORTE.

Y = COMPONENTE MAGNÉTICA EN LA DIRECCIÓN ESTE.

Z = COMPONENTE MAGNÉTICA VERTICAL (POSITIVA - HACIA ABAJO).

F = COMPONENTE MAGNÉTICA TOTAL.

2. PROGRAMA APMC.

ESTE PROGRAMA CONSISTE DE UN PROGRAMA PRINCIPAL, UN SUBPROGRAMA DE FUNCIÓN Y OTRO DE SUBROUTINA.

LOS DATOS DE ENTRADA PARA LA EJECUCIÓN DEL PROGRAMA SON:

X, Y = PUNTOS DATO.

BOUND(J) = VALOR DE LAS REGIONES E INDICE DE ESTAS.

EL PROGRAMA ESTA HECHO PARA MANEJAR 300 PUNTOS DATO LOS QUE PUEDEN SER DIVIDIDOS EN UN MÁXIMO DE 10 REGIONES.

LOS DATOS DE SALIDA SON:

COEF = COEFICIENTES DEL AJUSTE CÚBICO POR MÍNIMOS CUADRADOS.

$F(x)$ = VALORES DE LA FUNCIÓN RESIDUAL

$F'(x)$ = VALORES DE LA FUNCIÓN DERIVADA.

VAR = VARIANZA

STDEV = DESVIACIÓN ESTÁNDAR

YREST = CORRELACIÓN MÚLTIPLE

R2 = COEFICIENTE PARA CADA REGIÓN AL CUADRADO.

RMAX = RESIDUO MÁXIMO

RMIN = RESIDUO MÍNIMO

3.

PROGRAMA REDPOL.

LOS DATOS DE ENTRADA DEL PROGRAMA CONSISTEN DE UNO Ó MÁS TARJETAS Ó REGISTROS PARA LOS PARAMETROS Y 2 Ó MÁS REGISTROS PARA LOS PUNTOS DE LA REJILLA QUE COMPONEN LOS VALORES DEL CAMPO MAGNÉTICO OBSERVADO, COMO SE MUESTRA A CONTINUACIÓN:

DEL = ESPACIAMIENTO DE LA REJILLA EN METROS.

DINC = INCLINACIÓN DEL CAMPO TERRESTRE EN GRADOS.

DEC = DECLINACIÓN DEL CAMPO TERRESTRE EN GRADOS.

KXN = COLUMNAS DE LA REJILLA.

LYE = RENGLONES DE LA REJILLA.

ENTREGA COMO RESULTADOS:

VERTF = VALORES DE REJILLA REDUCIDOS AL POLO.

4. PROGRAMA ENREJILLADO.

DESCRIPCIÓN DE LOS PARAMETROS DE ENTRADA:

NXS = LONGITUD DE UN RECTÁNGULO INDIVIDUAL DE ENREJILLADO EN LA DIRECCIÓN X.

NYS = LONGITUD DE UN RECTÁNGULO INDIVIDUAL DE ENREJILLADO EN LA DIRECCIÓN Y.

SIZE = LONGITUD DE UNO DE LOS LADOS DEL CUADRADO QUE RODEA EL ÁREA DE ENREJILLADO.

NORDE = EL ORDEN MÁXIMO DE LA SUPERFICIE POLINOMIAL DE AJUSTE.

FACTOR \equiv FACTOR PARA EL AJUSTE DE UNA SUPERFICIE POLINOMIAL PARA CADA CUADRADO DE LA SUPERFICIE DE AJUSTE.

NVAL \equiv NÚMERO DE VALORES.

NPTS \equiv NÚMERO DE PUNTOS A ENREJILLARSE.

X (NPTS) \equiv COORDENADA "X" DE CADA PUNTO.

Y (NPTS) \equiv COORDENADA "Y" DE CADA PUNTO.

Z (NPTS) \equiv COORDENADA "Z" Ó VALOR ASOCIADO DE CADA PUNTO.

NX \equiv NÚMERO DE PUNTOS DE LA REJILLA; DIRECCIÓN X.

NY \equiv NÚMERO DE PUNTOS DE LA REJILLA; DIRECCIÓN Y.

(XOR, YOR) \equiv COORDENADAS DEL ORIGEN DE LA REJILLA.

RESULTADOS O DATOS DE SALIDA:

GD(NX, NY) \equiv VALORES AJUSTADOS EN CADA UNO DE LOS PUNTOS DE LA REJILLA.

5. PROGRAMA FILTRADO.

ESTE PROGRAMA CONSISTE DE UN PROGRAMA PRINCIPAL, DOS SUBPROGRAMAS DE SUBROUTINA Y UNO DE FUNCIÓN.

LOS DATOS DE ENTRADA SON:

M1 \equiv NÚMERO DE MUESTRAS DE LA SEÑAL.

FORIG \equiv MUESTRAS DE LA SEÑAL ORIGINAL.

LOS DATOS DE SALIDA SON:

C(M1) \equiv COEFICIENTES DEL FILTRO.

FILT(M1) \equiv SEÑAL FILTRADA.

6. PROGRAMA DERIVER.

ESTE PROGRAMA CONSISTE DE UN PROGRAMA PRINCIPAL, TRES SUBPROGRAMAS DE SUBROUTINA Y DOS SUBPROGRAMAS DE FUNCIÓN.

LOS DATOS DE ENTRADA SON:

M1 \equiv NÚMERO DE MUESTRAS DE LA SEÑAL.

LOS DATOS DE SALIDA SON:

C(M1) \equiv SEÑAL DERIVADA.

7. PROGRAMA CONTINUACION.

ESTE PROGRAMA CONSISTE DE UN PROGRAMA PRINCIPAL, CUATRO SUBPROGRAMAS DE SUBROUTINA, DOS SUBPROGRAMAS DE FUNCION.

LOS DATOS DE ENTRADA SON:

LM = NÚMERO DE MUESTRAS DE LA SEÑAL.

$CIC(LM)$ = SEÑAL A SER CONTINUADA.

LOS DATOS DE SALIDA SON:

$C(LM)$ = COEFICIENTES DE LA CONTINUACION.

8. PROGRAMA DIPOLO.

LAS VARIABLES DE ENTRADA SON:

H = PROFUNDIDAD DEL DIPOLO PUNTUAL.

DEC = DECLINACION DEL VECTOR DE MAGNETIZACION.

INC = INCLINACION DEL VECTOR DE MAGNETIZACION.

$TDEC$ = DECLINACION DEL CAMPO TERRESTRE.

$TINC$ = INCLINACION DEL CAMPO GEOMAGNETICO.

(ESTOS 4 PARAMETROS SE DAN EN GRADOS).

LOS DATOS DE SALIDA SON:

4 MATRICES CUADRADAS QUE CONTIENEN:

$HX(32,32)$ = COMPONENTE HORIZONTAL EN LA DIRECCION NORTE

$HY(32,32)$ = COMPONENTE HORIZONTAL EN LA DIRECCION ESTE

$HZ(32,32)$ = COMPONENTE VERTICAL.

$TOT(32,32)$ = COMPONENTE MAGNETICA TOTAL.

9. PROGRAMA LINEDP

LAS VARIABLES DE ENTRADA SON:

A =

HH =

DEC = DECLINACION DEL VECTOR DE MAGNETIZACION.

INC = INCLINACION DEL VECTOR DE MAGNETIZACION.

$TDEC$ = DECLINACION DEL CAMPO GEOMAGNETICO

$TINC$ = INCLINACION DEL CAMPO GEOMAGNETICO.

LOS DATOS DE SALIDA SON:

4 MATRICES CUADRADAS QUE CONTIENEN:

$HX(32,32)$ = COMPONENTE HORIZONTAL EN LA DIRECCIÓN NORTE.

$HY(32,32)$ = COMPONENTE HORIZONTAL EN LA DIRECCIÓN ESTE.

$HZ(32,32)$ = COMPONENTE VERTICAL.

$TOT(32,32)$ = COMPONENTE MAGNÉTICA TOTAL.

10. PROGRAMA PRISMV.

LAS VARIABLES DE ENTRADA SON:

$A0$ =

$B0$ =

HT =

HB =

DEC = DECLINACIÓN DEL VECTOR DE MAGNETIZACIÓN.

INC = INCLINACIÓN DEL VECTOR DE MAGNETIZACIÓN.

$TDEC$ = DECLINACIÓN DEL CAMPO GEOMAGNÉTICO.

$TINC$ = INCLINACIÓN DEL CAMPO GEOMAGNÉTICO.

LOS DATOS DE SALIDA SON:

4 MATRICES CUADRADAS QUE CONTIENEN:

$HX(32,32)$ = COMPONENTE HORIZONTAL EN LA DIRECCIÓN NORTE.

$HY(32,32)$ = COMPONENTE HORIZONTAL EN LA DIRECCIÓN ESTE.

$HZ(32,32)$ = COMPONENTE VERTICAL.

$TOT(32,32)$ = COMPONENTE MAGNÉTICA TOTAL.

11. PROGRAMA TALWANI.

ESTE PROGRAMA CONSISTE DE UN PROGRAMA PRINCIPAL Y UN SUBPROGRAMA DE SUBROUTINA, Y ESTÁ COMPLETAMENTE IDENTIFICADO EN CUANTO A LAS VARIABLES DE ENTRADA-SALIDA EN EL LISTADO SIMBÓLICO EN LA PARTE DE LOS COMENTARIOS. POR LO QUE EN ESTA BREVE DESCRIPCIÓN DIREMOS QUE EL PROGRAMA EN UNO DE SUS ALTERNATIVAS, CALCULA LAS COMPONENTES MAGNÉTICAS HORIZONTAL (H), VERTICAL (V) Y TOTAL (T) PRODUCIDAS POR UN POLIGONO CUYAS PRINCIPALES CARACTERÍSTICAS SON, SUS COORDENADAS X Y Z, LA SUSCEPTIBILIDAD MAGNÉTICA, LA INCLINACIÓN DEL CAMPO GEOMAGNÉTICO.

12. PROGRAMA MPRISM.

ESTE PROGRAMA CONSISTE DE UN PROGRAMA PRINCIPAL.

LAS VARIABLES DE ENTRADA SON:

AA = DISTANCIA DESDE EL LÍMITE INFERIOR DEL PRISMA
AL ORIGEN EN LA DIRECCIÓN X(N).

AB = DISTANCIA DESDE EL LÍMITE SUPERIOR DEL PRISMA AL
ORIGEN EN LA DIRECCIÓN X(N).

BA = DISTANCIA DESDE EL LÍMITE INFERIOR DEL PRISMA
AL ORIGEN EN LA DIRECCIÓN Y(N).

BB = DISTANCIA DESDE EL LÍMITE SUPERIOR DEL PRISMA
AL ORIGEN EN LA DIRECCIÓN Y(N).

HT = PROFUNDIDAD MEDIDA DESDE EL PLANO DE OBSERVACION
ES A LA CIMA DEL PRISMA.

HB = PROFUNDIDAD MEDIDA DESDE EL PLANO DE OBSERVACIONES
A LA BASE DEL PRISMA.

JX = COMPONENTE DEL VECTOR DE MAGNETIZACIÓN (X)

JY = COMPONENTE DEL VECTOR DE MAGNETIZACIÓN (Y)

JZ = COMPONENTE DEL VECTOR DE MAGNETIZACIÓN (Z).

LAS VARIABLES DE SALIDA SON:

TX = COMPONENTE MAGNÉTICA EN LA DIRECCIÓN X.

TY = COMPONENTE MAGNÉTICA EN LA DIRECCIÓN Y.

TZ = COMPONENTE MAGNÉTICA EN LA DIRECCIÓN Z.

```

XXXXXXXXXXXXXXXXXXXXXXXXXXXXXXXXXXXXXXXXXXXXXXXXXXXXXXXXXXXXXXXXXXXXXXXXXXXX
                                U.N.A.M.
                                FACULTAD DE INGENIERIA
                                DEVISION CIENCIAS DE LA TIERRA
                                SECCION GEOFISICA
                                TESIS PROFESIONAL
                                PRESENTADA POR EL ALUMNO:
                                ROSELIO RAMOS CARRANZA
                                TITULO DEL PROGRAMA:
                                NAGSYO
                                XXXXXXXXXXXXXXXXXXXXXXXXXXXXXXXXXXXXXXXXXXXXXXXXXXXXXXXXXXXXXXXXXXXXXXX

```

```

DIMENSION GH(30), SV(30), P(45), Q(45), CL(3), SL(3)
DATA DATE, ITYPE, ALT, COLAT, ELONG/1975, 2, 1, 0.0, 40.0, 5.0/
CALL NAGSYO(1975, 2, 1, 0.0, 40.0, 5.0, X, Y, Z, F)
PRINT 10
10 FORMAT(////, 10X, "IMPORNE RESULTADOS PARA X, Y, Z, F")
PRINT 20 X, Y, Z, F
20 FORMAT(////, 20X, "X= ", E15.5, ///, 20X, "Y= ", E15.5, ///, 20X, "Z= ", E15.5
1///, 20X, "F= ", E15.5)
CALL EXIT
END

```

SUBROUTINE NAGSYO(DATE, ITYPE, ALT, COLAT, ELONG, X, Y, Z, F)
ESTA SUBROUTINA CALCULA LOS VALORES DE "X, Y, Z" Y "F" PARA UNA SERIE DE DATOS Y POSICION DADOS A PARTIR DE LOS COEFICIENTES ARMONICOS ESFERICOS DEL CAMPO GEOMAGNETICO INTERNACIONAL DE REFERENCIA.
LOS DATOS DE ENTRADA DEL PROGRAMA SE DEFINEN COMO SIGUE:

- DATE=FECHA REQUERIDA EN UNIDADES Y DECIMAS DE AÑOS (A.C).
 - ITYPE=1 SI SE USAN COORDENADAS GEODESICAS.
 - ITYPE=2 SI SE USAN COORDENADAS GEOCENTRICAS.
 - ALT=ALTURA SOBRE EL NIVEL MEDIO DEL MAR EN KM. (ITYPE=1).
 - LAT=DISTANCIA RADIAL DESDE EL CENTRO DE LA TIERRA EN KM. (ITYPE=2)
 - COLAT=COLATITUD EN GRADOS (0.0 HASTA 180.0).
 - ELONG=LONGITUD ESTE EN GRADOS (0.0 HASTA 360.0)
- LOS DATOS DE SALIDA DEL PROGRAMA SE DEFINEN COMO SIGUE:

- X = COMPONENTE MAGNETICA EN LA DIRECCION NORTE. (NEWTONS)
- Y = COMPONENTE MAGNETICA EN LA DIRECCION ESTE. (NEWTONS)
- Z = COMPONENTE MAGNETICA VERTICAL (POSITIVA HACIA ABAJO)
- F = COMPONENTE MAGNETICA TOTAL. (NEWTONS)

NOTA: EL SISTEMA DE COORDENADAS PARA "X, Y, Z" ES EL MISMO QUE EL ESPECIFICADO POR "ITYPE".

LOS COEFICIENTES "SH" SON SUSTITUIDOS POR LA INSTRUCCION DE BLOQUE DATA (AUNQUE LOS COEFICIENTES PUEDEN SER LEIDOS DENTRO DEL PROGRAMA PRINCIPAL Y HACER POSIBLE LA EJECUCION DE LA SUBROUTINA POR MEDIO DE UN "COMMON".)

INICIO DE LA SUBROUTINA

```

DIMENSION GH(30), SV(160), P(45), Q(45), CL(3), SL(3)
DATA GH/
5 1292., 2144., 361., 1296., 249., 805., -253., 951., 807., -37.,

```



```

N      =M+1
NR     =NR*DATEO
FN     =N
GN     =N-1
2  IF (H*H*H) GO TO 3
   IF (K*H*H) GO TO 4
ONE    =SQRT((1.0-0.55/FI))
J      =K*H-1
P(K)   =ONE*ST*P(J)
Q(K)   =ONE*(ST*Q(J)+CT*P(J))
CL(H)  =CL(H-1)*CL(1)+CL(H-1)*SL(1)
SL(H)  =SL(H-1)*SL(1)+CL(H-1)*SL(1)
GO TO 4
3  GN   =M
ONE    =SQRT(FN*FI+G1)
TWO   =SQRT(G1*G1+G1)/ONE
THREE = (FN+G1)/ONE
J      =K*H
P(K)   =THREE*CT*P(J)-TWO*Q(J)
Q(K)   =THREE*(CT*Q(J)+ST*P(J))-TWO*Q(J)
C*
C*
C*
4  ONE  = (GH(L)+BY(LL+L)*T)*RR
   IF (H*H) GO TO 7
   TWO  = (GH(L+1)+BY(LL+L+1)*T)*RR
   THREE = ONE*CL(H)+TWO*SL(H)
   X    =X+THREE*Q(K)
   Z    =Z+(FN+1.0)*THREE*P(K)
   IF (ST) GO TO 5
   Y    =Y+(ONE*SL(H)+TWO*CL(H))*FN*P(K)/ST
5  Y    =Y+(ONE*SL(H)+TWO*CL(H))*Q(K)*CT
6  L    =L+2
7  X    =X+ONE*Q(K)
   Z    =Z+(FN+1.0)*ONE*P(K)
   L    =L+1
3  M    =M+1
CONVERSION AL SISTEMA COORDENADOS ESPECIFICADO
POR "TYPE"
ONE    =X
X      =X*CD+Z*SD
Z      =Z*CD-ONE*SD
F      =SQRT(X*X+Y*Y+Z*Z)
RETURN
END

```

PROGRAMA PRINCIPAL PARA EL PROCESO DE ENREJILLADO.

DESCRIPCION DE LOS PARAMETROS DE ENTRADA:

NXS , NYS .- LONGITUD DE UN RECTANGULO INDIVIDUAL DE ENREJILLADO
(SELECCIONADO ENTRE 4 Y 8 UNIDADES DE REJILLA)
SIZE .- ES LA LONGITUD DE UNO DE LOS LADOS DEL CUADRADO
QUE RODEA EL AREA DE ENREJILLADO (SELECCIONADO ENTRE
2 O 3 VECES NXS O NYS O BIEN NXS O NYS VECES DELXY)
NORD .- EL MAXIMO ORDEN DE LA SUPERFICIE POLINOMIAL DE AJUSTE
(SELECCIONADO ENTRE 3-6),
FACTOR .- PARA EL AJUSTE DE UNA SUPERFICIE POLINOMIAL PARA CADA
CUADRADO DE LA SUPERFICIE DE AJUSTE. (MAYOR O IGUAL QUE 1.)

DIMENSION X(160),Y(160),Z(160),GD(20,20),B(160),C(10)

EL PARAMETRO "NO" CONTROLA EL CANAL DE IMPRESION PARA UN SISTEMA
DE COMPUTADORA EN PARTICULAR.

NO=10

PARAMETROS QUE CONTROLAN LAS DIMENSIONES DE LA REJILLA:

NVAL=160

NPTS=160

NX=8

NY=8

NXS=4

NYS=4

SIZE=8.0

FACTOR=1.0

XOR=1.0

YOR=1.0

DELXY=2.0

NORD=3

LECTURA DE LAS COORDENADAS "X","Y",Y SU VALOR ASOCIADO "Z".

READ(11,25) (X(I),Y(I),Z(I),I=1,NPTS)

FORMAT(3F10.3)

CALL SGRID(X,Y,Z,NPTS,GD,NX,NY,SIZE,NXS,NYS,FACTOR,XOR,YOR,DELXY,NORD,
NO)

DO 7 I=1,NX

DO 7 J=1,NY

WRITE(NO,13) GD(I,J)

FORMAT(F10.3)

STOP

END

INICIO DE LA SUBROUTINA SGRID.
ESTA SUBROUTINA REALIZA UNA INTERPOLACION PARA EL ENREJILLADO
DE DATOS DISTRIBUIDOS ALEATORIAMENTE Y ENTREGA COMO RE-
SULTADO LA REJILLA DE DATOS ESPACIADOS UNIFORMEMENTE.

```
* SUBROUTINE SGRID(X,Y,Z,NPTS,GD,NX,NY,SIZE,NXS,NYS,FACTOR,XOR,YOR,DELXY,  
  NORD,NO)  
  DIMENSION X(160),Y(160),Z(160),GD(20,20),B(160),C(10)  
  GRDX=FLOAT(NXS-1)*DELXY  
  GRDY=FLOAT(NYS-1)*DELXY  
  NXSTEP=NX/NXS  
  NYSTEP=NY/NYS  
  IF(FACTOR.LT.1.0) FACTOR=1.0  
  DO 20 I=1,NYSTEP  
  DO 20 J=1,NXSTEP  
  XCENT=FLOAT(J*NXS-1)*DELXY+XOR-GRDX/2.  
  YCENT=FLOAT(I*NYS-1)*DELXY+YOR-GRDY/2.  
  SIZE2=SIZE/2.  
  X1=XCENT-SIZE2  
  X2=XCENT+SIZE2  
  Y1=YCENT-SIZE2  
  Y2=YCENT+SIZE2  
  CALL SORT(X,Y,Z,NPTS,X1,X2,Y1,Y2,NVAL)  
  NORD1=NORD  
  NCOEF=((NORD1+1)*(NORD1+2)/2)-1  
  XVAL=NVAL  
  XCOEF=FACTOR*FLOAT(NCOEF)  
  IF(XVAL.GT.XCOEF) GO TO 25  
  NORD1=NORD1-1  
  IF(NORD1.EQ.1) WRITE(10,901) I,J  
  IF(NORD1.LE.1) CALL RESET  
  IF(NORD1.LE.1) STOP
```

```

GO TO 35
CONTINUE
CALL LSQSRF(X,Y,Z,NVAL,NORD1,B,AZERO,NO)
WRITE(NO,900) I,J,NVAL,NORD1,NCOEF,XCENT,YCENT
DO 80 II=1,NYS
DO 80 JJ=1,NXS
JC=JJ-1+(J-1)*NXS
XC=FLOAT(JC)*DELXY+XOR
IC=II-1+(I-1)*NYS
YC=FLOAT(IC)*DELXY+YOR
C(1)=XC
C(2)=YC
IF(NORD1,EQ,1) GO TO 100
NV=2
DO 130 JF=2,NORD1
DO 140 K=1,JF
NV=NV+1
L=NV-JF
C(NV)=C(L)*C(1)
NV=NV+1
C(NV)=C(2)**JF
CONTINUE
SUM=0.0
DO 110 K=1,NCOEF
SUM=SUM+C(K)*B(K)
SUM=SUM+AZERO
GD(JC+1,IC+1)=SUM
CONTINUE
CONTINUE
FORMAT(5I5,2F10.3)
FORMAT("NUMERO INSUFICIENTE DE PUNTOS EN EL RECTANGULO DE AJUSTE",2I5)
RETURN
END

```

```
SUBROUTINE SORT(X,Y,Z,NPTS,X1,X2,Y1,Y2,NVAL)
DIMENSION X(160),Y(160),Z(160)
NVAL=0
DO 10 I=1,NPTS
IF(X(I),LT,X1,OR,X(I),GT,X2) GO TO 10
IF(Y(I),LT,Y1,OR,Y(I),GT,Y2) GO TO 10
NVAL=NVAL+1
XTEMP=X(NVAL)
YTEMP=Y(NVAL)
ZTEMP=Z(NVAL)
X(NVAL)=X(I)
Y(NVAL)=Y(I)
Z(NVAL)=Z(I)
X(I)=XTEMP
Y(I)=YTEMP
Z(I)=ZTEMP
CONTINUE
RETURN
END
```

INICIO DE LA SUBROUTINA LSQSRF.

```
SUBROUTINE LSQSRF(X,Y,Z,NVAL,NORD,B,AZERO,NO)
DIMENSION X(160),Y(160),Z(160),XX(160,9),AA(50,50),XBAR(100),B(160)
DIMENSION YHAT(100),A(100)
N1=65
M1=100
DO 10 I=1,NVAL
XX(I,1)=X(I)
XX(I,2)=Y(I)
IF(NORD.EQ.1) GO TO 100
DO 20 I=1,NVAL
NU=2
DO 30 J=2,NORD
DO 40 K=1,J
NU=NU+1
L=NU-J
XX(I,NU)=XX(I,L)*XX(I,1)
NU=NU+1
XX(I,NU)=XX(I,2)**J
CONTINUE
CONTINUE
NCOEF=((NORD+1)*(NORD+2)/2)-1
NN=NCOEF*NCOEF
CALL LINREG(XX,Z,NCOEF,NVAL,A,B,XBAR,YHAT,AA,NN,NO,AZERO,M1,N1)
RETURN
END
```

```

SUBROUTINE LINREG(X,Y,N,M,A,B,XBAR,YHAT,AA,N2,N0,AZERO,M1,N1)
DIMENSION X(160,9),Y(160),A(100),B(81),XBAR(100),YHAT(100),AA(50,50)
WRITE(N0,001)
FORMAT(1H1,10X,38HALGORITMO DE REGRESION LINEAL MULTIPLE)
DO 200 I=1,N
SUMX=0.0
DO 100 J=1,M
SUMX=SUMX+X(J,I)
XBAR(I)=SUMX/FLOAT(M)
SUMY=0.0
DO 300 K=1,M
SUMY=SUMY+Y(K)
YBAR=SUMY/FLOAT(M)
WRITE(N0,002)
FORMAT(/,2X,28HVALORES PROMEDIO DE VARIABLE )
WRITE(N0,003) ((II,XBAR(II)),II=1,N)
FORMAT(/,3(2X,5HXBAR(I,2,4H) = ,1PE14.7 ))
WRITE(N0,004) YBAR
FORMAT(/,2X,7HYBAR = ,1PE14.7 )
KK=1
DO 500 I=1,N
DO 500 J=1,N
SUMA=0.0
SUMB=0.0
DO 400 K=1,M
SUMA=SUMA+(X(K,I)-XBAR(I))*(X(K,J)-XBAR(J))
SUMB=SUMB+(Y(K)-YBAR)*(X(K,I)-XBAR(I))
AA(I,J)=SUMA
A(KK)=SUMA
KK=KK+1
B(I)=SUMB
WRITE(N0,005)
FORMAT(/,10X,8HMATRIZ A)
DO 550 II=1,N
WRITE(N0,006)(AA(II,JJ),JJ=1,N)
FORMAT(/,4(2X,E16.8),/,4(2X,E16.8))
WRITE(N0,007)
FORMAT(/,10X,8HMATRIZ B)
WRITE(N0,006) (B(KK),KK=1,N)
CALL SIMQ(A,B,N,KS,N2)
SUMX=0.0
DO 600 I=1,N

```

```

SUMX=SUMX+B(I)*XBAR(I)
AZERO=YBAR-SUMX
WRITE(NO,008)
FORMAT(1H1,10X,3BHVALOR DE LOS COEFICIENTES DE REGRESION )
WRITE(NO,009) ((JJ,B(JJ)),JJ=1,N)
FORMAT(/,2(2X,5H)A(,I2,4H) = ,1PE16.8,8X))
WRITE(NO,010) AZERO
FORMAT(/,2X,8HAZERO = ,1PE16.8)
STEST=0.0
DO 800 J=1,M
SUMS1=0.0
DO 700 K=1,N
SUMS1=SUMS1+B(K)*X(J,K)
YHAT(J)=AZERO+SUMS1
DIFF=(Y(J)-YHAT(J))**2
STEST=0.0
DO 900 I=1,M
SUMST=SUMST+(Y(I)-YBAR)**2
SUMSR=SUMST-STEST
RTEST=SUMSR/SUMST
WRITE(NO,011)
FORMAT(////,5X,22HVALORES EXPERIMENTALES,18X,20HVALORES DE REGRESION)
DO 1000 KK=1,M
WRITE(NO,013) SUMST,STEST,RTEST
WRITE(NO,012) KK,Y(KK),KK,YHAT(KK)
FORMAT(/,2X,2HY(,I3,4H) = ,1PE16.8,10X,5HYHAT(,I3,4H) = ,1PE16.8)
FORMAT(////,2X,6H)SUMST=,1PE16.8,/ ,2X,2HS=,1PE16.8,10X,5HR**2=,1PE16.8)
RETURN
END

```

```

SUBROUTINE SIMQ(A,B,N,KS,NS)
  INTEGER NS,N
  DIMENSION A(100),B(81)
  SOLUCION PRELIMINAR
  TOL=0.0
  KS=0
  JJ=-N
  DO 65 J=1,N
  JY=J+1
  JJ=JJ+N+1
  BIGA=0
  IT=JJ-J
  DO 30 I=J,N
  BUSQUEDA DEL COEFICIENTE MAXIMO EN LA COLUMNA
  IJ=IT+I
  IF(ABS(BIGA)-ABS(A(IJ))) 20,30,30
  BIGA=A(IJ)
  IMAX=I
  CONTINUE
  PRUEBA PARA EL PIVOTE MENOR QUE LA TOLERANCIA (MATRIZ SINGULAR)
  IF(ABS(BIGA)-TOL)35,35,40
  KS=1
  RETURN
  INTERCAMBIA RENGLONES SI ES NECESARIO
  I1=J+N*(J-2)
  IT=IMAX-J
  DO 50 K=J,N
  I1=I1+N
  I2=I1+IT
  SAVE=A(I1)
  A(I1)=A(I2)
  A(I2)=SAVE
  DIVIDE LA ECUACION POR EL COEFICIENTE PRINCIPAL
  A(I1)=A(I1)/BIGA
  SAVE=B(IMAX)
  B(IMAX)=B(J)

  B(J)=SAVE/BIGA
  ELIMINA LA SIGUIENTE VARIABLE
  IF(J=N) 55,70,55
  IQS=N*(J-1)
  DO 65 IX=JY,N
  IXJ=IQS+IX
  IT=J-IX
  DO 60 JX=JY,N
  IXJX=N*(JX-1)+IX
  JJX=IXJX+IT
  A(IXJX)=A(IXJX)-(A(IXJ)*A(JJX))
  B(IX)=B(IX)-(B(J)*A(IXJ))
  SOLUCION DE REGRESO
  NY=N-1
  IT=N*N
  DO 80 J=1,NY
  IA=IT-J
  IB=N-J
  IC=N
  DO 80 K=1,J
  B(IB)=B(IB)-A(IA)*B(IC)
  IA=IA-N
  IC=IC-1
  RETURN
END

```

```

XXXXXXXXXXXXXXXXXXXXXXXXXXXXXXXXXXXXXXXXXXXXXXXXXXXXXXXXXXXXXXXXXXXXXXXXXXXX
                                UEN.A.M
                                FACULTAD DE INGENIERIA
                                DIVISION CIENCIAS DE LA TIERRA
                                SECCION GEOFISICA
                                TESIS PROFESIONAL
                                PRESENTADA POR EL ALUMNO:
                                ROGELIO RAMOS CARRANZA
                                TITULO DEL PROGRAMA:
                                "REDPOL"
XXXXXXXXXXXXXXXXXXXXXXXXXXXXXXXXXXXXXXXXXXXXXXXXXXXXXXXXXXXXXXXXXXXXXXXXXXXX

```

PROGRAMA REDPOL:

ESTE PROGRAMA REALIZA LA REDUCCION AL POLO DE LOS VALORES DE INTENSIDAD MAGNETICA TOTAL. EL PROGRAMA FUE MODIFICADO DEL ORIGINAL DE LA PUBLICACION DE BRYEN, C.P. (1973). LA REDUCCION AL POLO SE CALCULA UTILIZANDO EL ALGORITMO DE LA SERIE RAPIDA DE FOURIER, COMPUTERS & GEOSCIENCES VOL. 2, PP- 211-217.

LOS DATOS SE DEFINEN DE LA MANERA SIGUIENTE:

- DEL = ESPACIAMIENTO DE LA REJILLA EN METROS.
- DINC = INCLINACION DEL CAMPO TERRESTRE EN GRADOS.
- DEC = DECLINACION DEL CAMPO TERRESTRE EN GRADOS.
- KXN = NUMERO DE COLUMNAS DE LA REJILLA DE DATOS INCREMENTANDOSE DE OESTE A ESTE.
- LYE = NUMERO DE RENGLONES DE LA REJILLA DE DATOS INCREMENTANDOSE DE NORTE A SUR.

LAS VARIABLES A DIMENSIONAR SON:

- SK(KKK)
- SL(LLL)
- VERTF(KKK,LLL)
- A(KH,LH)
- B(KH,LH)
- C(KH,LH)
- D(KH,LH)

```

COMMON SK(100),SL(30),VERTF(100,30),A(55,45),B(55,45),C(55,45)
1  D(55,45),DELTA,THETA,TAU
DIMENSION G(255)
READ(5,7) DEL,DINC,DEC
WRITE(6,101) DEL,DINC,DEC
WRITE(6,109)
109 FORMAT(2X,"DARE LOS VALORES DE KN Y LE EN FORMATO 2I5")
READ(5,102)KN,LE
WRITE(6,110)KN,LE
102 FORMAT(5I5)
KXN=(KN/4)*4
LYE=(LE/4)*4
PRINT*//,KXN,LYE
L=KN

```



```

DO 40 I=1, KY
  READ(5,103) (G(J), J=1, LY)
  DO 10 J=1, LY
    117 F10(J)=G(J)/200."J(J)".F10(2)
    DO 30 I=1, KY
      VERTF(L, J)=G(J)
    50 CONTINUE
  40 CONTINUE

```

C*
C*
C*
CONVERSION DE MEDIDAS DE LONGITUD A SISTEMA METRICO.

```

PI=3.1415927
THETA=(PI/180.)*DINC
RHO=(PI/180.)*DEC
K4=KX/4
L4=LY/4
M1=KX/2+1
M2=LY/2+1

```

C*
C*
C*
LA SIGUIENTE SUBRUTINA EJECUTA LAS TABLAS DE MAPEO PARA LOS
TEORIAS TRIGONOMETRICAS.

```

CALL TRIGON(L, L4)
C*  
C*  
C*  
LA SIGUIENTE SUBRUTINA EJECUTA LA SUPERFICIE DE FOURIER.  
LA SIGUIENTE SUBRUTINA EJECUTA LA REDUCCION AL POLO.  
WRITE(6,105) KX, LY, M1, M2, K4, L4  
WRITE(6,106) KX, LY
L=KX
DO 50 I=1, KX
  WRITE(6,103) (VERTF(L, J), J=1, LY)
  50 L=L-1
  60 CONTINUE

```

C*
C*
C*
LA SIGUIENTE SUBRUTINA IMPRIME LOS VALORES REDUCIDOS AL POLO

```

CALL PRINT(VERTF, KX, LY, 105, 83)
WRITE(6,104)
100 FORMAT(3F5.0)
101 FORMAT(1H1, 2X, "DELTA= ", F10.0, 2X, "DINC= ", F10.1, 2X, "DEC= ", F11.1)
110 FORMAT(1H1, 10X, "KX= ", I5, 10X, "LY= ", I5)
103 FORMAT(F10.2)
104 FORMAT(1H0, 2X, "FIN DEL PROGRAMA RPOL")
105 FORMAT(1H0, 2X, "KX= ", I5, 2X, "LY= ", I5)
CALL EXIT
END

```

C*
C*
C*
LA SIGUIENTE SUBRUTINA CALCULA LAS TABLAS DE MAPEO PARA
LAS FUNCIONES TRIGONOMETRICAS

```

SUBROUTINE TRIG(K, L, LY)
COMMON SK(100), SL(100), VERTF(100, 83), A(55, 45), B(55, 45), C(55, 45)
PI2=6.28318531/KX
SK(1)=0.0
DO 10 I=2, KX
  SE=I-1
  SK(I)=SEN(LY*PI2)
  10 CONTINUE
IF(KX.EQ.LY) GO TO 30
PI2=6.28318531/LY
SL(1)=0.0
DO 20 I=2, LY
  SE=I-1
  SL(I)=SEN(LY*PI2)
  20 CONTINUE
RETURN
30 CONTINUE

```

C*
C*
C*
SE LAS DIMENSIONES DE LOS ARREGLOS SON LAS MISMAS KX=LY,
LAS TABLAS SON IDENTICAS.

```

DO 40 I=1, LY
  SL(I)=SK(I)
  40 CONTINUE
RETURN
END

```

```

***** INICIO DE LA SUBRUTINA COEFF.
***** SUBROUTINE COEFF(L,KX1,LYE,MM,NM,K4,L4)
***** ESTA SUBRUTINA CALCULA LOS COEFICIENTES DE LA SERIE DE FOURIER
***** EN DOS DIMENSIONES DE LA SUPERFICIA DE LA INTENSIDAD TOTAL DE
***** CAMPO INDUCIDO "INDUCIDA AL POLO"
***** C(N,N)=C(1,1), C(N,2)=C(1,2), C(N,3)=C(1,3), C(N,4)=C(1,4), C(N,5)=C(1,5), C(N,6)=C(1,6), C(N,7)=C(1,7), C(N,8)=C(1,8), C(N,9)=C(1,9), C(N,10)=C(1,10), C(N,11)=C(1,11), C(N,12)=C(1,12), C(N,13)=C(1,13), C(N,14)=C(1,14), C(N,15)=C(1,15), C(N,16)=C(1,16), C(N,17)=C(1,17), C(N,18)=C(1,18), C(N,19)=C(1,19), C(N,20)=C(1,20)
10 DO 50 N=1,MM
***** LOS VALORES DE LAS CONSTANTES.
FRL=1./KX1*LYE
DO 60 M=1,NM
  L=0
  H=1
  H1=1
  IF(N=1) H1=2
  DO 50 N=1,MM
    H2=0
    EL COEFICIENTE ES UN FACTOR DE PESO PARA UNA ARMONICA PARTICULAR.
    IF(N=1) H2=1
    IF(N=2) H2=2
    COEFF=FRL
    GO TO 40
10 IF(N=1) H2=1
20 COEFF=2.*FRL
    GO TO 40
30 COEFF=4.*FRL
40 CONTINUE
    ALPH1=C
    BETA1=C
    GAM1=C
    DELT1=C
*****
***** COMENTARIOS
***** LA COMBINACION DE KM=KA+1 Y KN=KN+1A ES EQUIVALENTE A :
***** KM=(K-1)*NA+1, CLARAMENTE PARA KN.
KM=KA+1
DO 50 I=1,KXN
  K=KM+I
  HSENE=ABS(KN-((KN-1)/KXN)*KXN)
  K=KM+I
  HCOSE=ABS(KC-((KC-1)/KXN)*KXN)
  KN=KA+1
  AL=0
  GA=0
  DO 40 J=1,LYE
    K=KN+J
    HSENE=ABS(KN-((KN-1)/LYE)*LYE)
    KC=KN+L4
    HVERT=VERTF(L,J)
    SL=AL+HVERT*SL(HCOSE)
    HCOSE=ABS(KC-((KC-1)/LYE)*LYE)
    GR=GA+HVERT*SL(HSENE)
40 CONTINUE
    ALPH1=ALPH1+SK(HCOSE)*AL
    BETA1=BETA1+SK(HSENE)*AL
    GAM1=GAM1+SK(HCOSE)*GR
    DELT1=DELT1+SK(HSENE)*GR
50 CONTINUE
*****
***** COMENTARIOS
***** LAS SUMAS Y DIFERENCIAS DE LOS COEFICIENTES SON TOMADAS
***** COMO LAS CANTIDADES USADA EN LA RUTINA DE REDUCCION.
PRINT**/,COEFF
A(N,N)=COEFF*(ALPH1+DELT1)
B(N,N)=COEFF*(BETA1+GAM1)
C(N,N)=COEFF*(ALPH1-DELT1)
D(N,N)=COEFF*(BETA1-GAM1)
50 CONTINUE
60 RETURN
END

```

H 1 C I 0
 INICIO DE LA SUBRUTINA "VFTEC".
 ESTA SUBRUTINA EJECUTA LA REDUCCION AL POLO DE ACUERDO CON
 BHATTACHARYYA, GEOPHYSICS, VOL. 30, N. 5, 1965, P. 829.
 LA POLARIZACION SE ASUME EN LA DIRECCION DEL CAMPO INDUCIDO
 EL CAMPO VERTICAL ES COMPUTADO SOBRE EL MISMO PLANO, TAL COMO

C*..... EL CAMPO OBSERVADO
 C*..... EL CAMPO INDUCIDO NO PUEDE SER HORIZONTAL
 C*.....

SUBROUTINE WRTTC(KK1,LYE,MM,NN,K4,L4)

COMMON BK(100),BL(10),WRTTC(100,00),A(55,45),B(55,45),C(55,45),
 1D(55,45),D(55,45),E(55,45),F(55,45),G(55,45),H(55,45),I(55,45),J(55,45),K(55,45),L(55,45),M(55,45),N(55,45),O(55,45),P(55,45),Q(55,45),R(55,45),S(55,45),T(55,45),U(55,45),V(55,45),W(55,45),X(55,45),Y(55,45),Z(55,45)

C*..... A CONTIENE LOS PARAMETROS CONSTANTES.

COEFM=1.7E-11
 COEFC=1.5E-11
 COEFB=1.5E-11
 COEFA=1.5E-11
 COEFD=1.5E-11
 COEFCOS(TAU)*COEFA
 COEFSIN(TAU)*COEFA
 PKM=COEFC
 CDKM=COEFC
 DO 20 N=1,MM
 PKM=PKM+COEFC
 SDKM=SDKM+COEFC
 PKM=PKM+COEFC
 CDKM=CDKM+COEFC

MM=1
 IF(M=1) GO TO 30
 PKM=PKM+COEFC
 CDKM=CDKM+COEFC
 MM=2

30 CONTINUE
 DO 10 N=1,MM
 PKM=PKM+COEFC
 CDKM=CDKM+COEFC
 PS3=CDKM+SDKM
 PS4=CDKM-SDKM
 PMSQ=PKM*PKM+PKMSQ
 PMSQ=PKM*PKM+PKMSQ
 PMSQ=PKM*PKM+PKMSQ
 PS3SQ=PS3*PS3
 PS4SQ=PS4*PS4
 PMS3=PS3SQ/(PS3SQ+PS4SQ)
 PMS4=PS4SQ/(PS3SQ+PS4SQ)
 PS3P=PS3*PS3
 PS4P=PS4*PS4
 ADPLS=A(N,N)
 ADMIS=B(N,N)
 UCPLS=C(N,N)
 BCPLS=D(N,N)
 A(N,N)=PMS3*ADMIS+PS3P*UCPLS
 B(N,N)=PS3P*ADMIS+PMS3*UCPLS
 C(N,N)=PMS4*ADPLS+PS4P*BCPLS
 D(N,N)=PS4P*ADPLS+PMS4*BCPLS

19
 20
 CONTINUE
 CONTINUE

COMENTARIOS

A PARTIR DE LA SECUENCIA DE PUNTOS DE LA REJILLA SE CALCULA LA LOCALIZACION E LA TABLA TREGONOMETRICA Y EJECUTA LA REDUCCION AL POLO PARA CADA PUNTO DE LA REJILLA.

DO 60 J=1,LYE
 JA=J-1
 DO 50 I=1,KKN
 IA=I-1
 SUM3=0
 KI=IA+1
 DO 50 N=1,MM
 KI=KI+IA

EJECUCIONES TALES COMO LAS SIGUIENTES DAN LOS PERIODOS ENTEROS DE LA FUNCION.

```

NSINE=KS--((KY-1)/KXJ)*KXJ
KC=KT+K4
NCGSI=KC--((KC-1)/KXJ)*KXJ
KJ=JA+1
SUM1=0.
SUM2=0.
G1=1
IF(N,N1,1) GO TO 70
N4=2
KJ=KJ+JA
70 CONTINUE
DO 40 K=1,N1
KJ=KJ+JA
NSINE=KJ--((KJ-1)/LYJ)*LYJ
KC=KJ+L4
NCGSI=KC--((KC-1)/LYJ)*LYJ
SUM1=SUM1+(A(C1,I)+C(C1,I))*SL(NCGSI)+(B(C1,N)-D(C1,N))*SL(NSINE)
40 CONTINUE
SUM2=SUM2+(A(C2,I)+D(C2,I))*SL(NCGSI)+(C(C2,N)-A(C2,N))*SL(NSINE)
50 CONTINUE
SUM3=SUM3+SUM1*SK(NCGSI)+SUM2*SK(NSINE)
50 CONTINUE
WRITE(1,J)=COEFF*SUM3
50 CONTINUE
60 CONTINUE
PLYURN
END

```

 ----- LA SIGUIENTE SUBROUTINA EXPONE UN ARREGLO BIDIMENSIONAL.
 ----- EL ARREGLO POR IMPRIMIR ES EL FORMADO POR LOS VALORES DE LA
 ----- INTENSIDAD DEL CAMPO MAGNETICO TOTAL REDUCIDO AL POLO.

```

SUBROUTINE PRINTCA(N1,N1,N1,N1)
DIMENSION A(N1,N1)
WRITE(3,2000) (1,I=1,N1)
DO 101 J=1,N1
WRITE(6,2001) (J,(A(J,K)),K=1,N1)
101 CONTINUE
FORMAT(1H0,2X,10(2X,I2))
2001 FORMAT(1H0,I2,10(2X,F9.3))
RETURN
END

```

```

XXXXXXXXXXXXXXXXXXXXXXXXXXXXXXXXXXXXXXXXXXXXXXXXXXXXXXXXXXXXXXXXXXXXXXXXXXXX
                                U.N.A.M.
                                FACULTAD DE INGENIERIA
                                DIVISION CIENCIAS DE LA TIERRA
                                SECCION GEOLOGICA
                                TESIS PROFESIONAL
                                PRESENTADA POR EL ALUMNO:
                                ROQUELO RAMOS CARRANZA
                                TITULO DEL PROGRAMA:
                                "ACMC"
                                XXXXXXXXXXXXXXXXXXXXXXXXXXXXXXXXXXXXXXXXXXXXXXXXXXXXXXXXXXXXXXXXXXXXXXX
XXXXXXXXXXXXXXXXXXXXXXXXXXXXXXXXXXXXXXXXXXXXXXXXXXXXXXXXXXXXXXXXXXXXXXXXXXXX

```

PROGRAMA ACMC:

ESTE PROGRAMA CALCULA LOS COEFICIENTES DEL AJUSTE
 SUBICO POR MENOS CUADRADOS PARA UNA SERIE DE DA-
 TOS EN TERMINOS DE FUNCIONES ORTOGONALES.

LOS DATOS PARA LA EJECUCION DE ESTE PROGRAMA SON:

FORM = ENTREGA DEL FORMATO PARA LOS DATOS.
 (X,Y) = PUNTOS DATO (SI X=999, ESTO INDICA EL
 FIN DE LOS PUNTOS DATO).
 BOUND(J) = VALOR DE LAS REGIONES Y SU INDICE DA
 EL NUMERO DE ESTAS.
 SE :

BOUND(1)=999, DIVIDE LOS DATOS EN UN NUMERO DE
 REGIONES ESPECIFICAS.
 BOUND(1)=-999, DIVIDE LOS DATOS EN GRUPOS DE
 PUNTOS IRREGULARES.

SI EL NUMERO DE REGIONES ES CERO DA FIN EL PROCE-
 SO.

EL PROGRAMA ESTA HECHO PARA MANEJAR 300 PUNTOS DATO
 LOS QUE PUEDEN SER DIVIDIDOS EN UN MAXIMO DE 10 RE-
 GIONES.

```

INTEGER REGION
COMMON XC(300,10), Y(300), BOUND(11), N(11), A(169), B(13)
COMMON COEF(10,4), FORM(35), YAVG(10), C(3,11)
DIMENSION XLIN(2), YLIN(2), DYLIN(2), TITLE(8), XLABEL(2), YLABEL(2)
DIMENSION PXLIN(2), PYLIN(2), PTITLE(2), PXLAB(2), PYLAB(2)
DIMENSION XTEMP(10)

```

LECTURA DEL FORMATO DE ENTRADA DE LOS DATOS.

```

10 READ(5,10) FORM
   FORMAT(3A10)

```

LECTURA DE LOS DATOS.

```

5 NT=1
  READ(5,FORM) X(NT,2), Y(NT)
  NT=NT+1
  IF (X(NT-1,2) .EQ. 999.) GO TO 5
  NT = NT-2

```

LECTURA DE LOS VALORES X EN LAS REGIONES
(EXCLUYENDO VALORES INICIAL Y FINAL)

C*
C*
C*

```

35 IJ=0
36 IREG=5, 20, 45, 70, 95, 120, 145, 170, 195, 220, 245, 270, 295, 320, 345, 370, 395, 420, 445, 470, 495, 520, 545, 570, 595, 620, 645, 670, 695, 720, 745, 770, 795, 820, 845, 870, 895, 920, 945, 970, 995
20 IF(IREG, LE, 1) GO TO 45
REGION=IREG-1
IJ=IJ+1

```

C*
C*
C*
C*
C*

37 BOUND(1)=000. DE VIDA LOS DATOS ENTRE UN NUMERO
ESPECIFICO DE REGIONES.
38 BOUND(1)=+000. DE VIDA LOS DATOS EN GRUPOS DE
PUNTOS IRREGULARES.

```

IF(BOUND(1), NE, 000.) GO TO 15
IREG=IREG+1
REGION=REGION+1
OX=(X(NT, 2)-X(1, 2))/FLOAT(REGION)
DO 21 J=1, IREG
BOUND(J)=OX*FLOAT(J-1)+X(1, 2)
21 CONTINUE

```

C*
C*
C*

CALCULA EL INDICE AL INICIO DE CADA REGION.

```

15 IF(BOUND(1), NE, 000.) GO TO 25

```

```

J=0
DO 201 I=1, NT, IREG
J=J+1
N(J)=I
BOUND(J)=X(I, 2)
201 CONTINUE
N(J)=NT+1
BOUND(J)=X(NT, 2)
IREG=J
REGION=J-1
GO TO 12

```

```

25 J=2
N(1)=1
DO 31 I=1, NT
IF(X(I, 2), LE, BOUND(J)) GO TO 31
N(J)=I
J=J+1

```

```

31 CONTINUE
N(IREG)=NT+1

```

C*
C*
C*

SALIDA DE VALORES QUE ESTAN SIENDO USADOS EN ESTE CASO.

```

12 DO 111 J=1, REGION
NP=N(J+1)-N(J)
WRITE(6, 30) J, NP, BOUND(J), BOUND(J+1)
30 FORMAT(1H1, /??, 20X, "REGION=" , I3, 20X, I3, "VALUES", 20X,
1 "BOUNDARIES ARE" , 20I2.4, /?)
N1=N(J)
N2=N(J+1)-1
WRITE(6, 40) (X(I, 2), Y(I), I=N1, N2)
40 FORMAT(5X, F14.3, F12.4)
111 CONTINUE

```

C*
C*
C*
C*

ESCALA LOS DATOS PARA EL RANGO DE +1 A -1 Y CALCULA
TRES POLINOMIOS ORTOGONALES DE MAS BAJO ORDEN.

```

SCALE=2.0/(X(NT, 2)-X(1, 2))
ORIG=X(1, 2)
DO 11 I=1, NT
X(I, 1)=I
X(I, 2)=(X(I, 2)-ORIG)*SCALE-1.0
X(I, 3)=POLY(X(I, 2), 2, 0)
11 CONTINUE

```

C*
C*
C*
C*

CALCULA LAS REGIONES ESCALADAS Y LAS CONSTANTES
REQUERIDAS EN ESOS PUNTOS.

```

DO 121 J=1, NREG
BOUND(J)=(50*ND(J)-0.16)*SCALE+1.0
B(J)=BOUND(J)
H1=B(J)
C(3,J)=POLY(B1,3,2)/POLY(B1,2,2)
C(2,J)=(POLY(B1,3,1)*POLY(B1,2,1)*C(3,J))/POLY(B1,1,1)
C(1,J)=(POLY(B1,3,0)*POLY(B1,2,0)*C(3,J)-POLY(B1,1,0)*C(2,J))/
POLY(B1,0,0)
121 CONTINUE
C(1,1)=0.0
C(2,1)=0.0
C(3,1)=0.0

```

C*
C*
C* CALCULA LOS VALORES QUE DEBEN SER SUMADOS EN LA
C* MATRIZ DE COEFICIENTES.

```

NO=3+REGION
DO 41 K=4, NO
KK=K-3
DO 41 J=1, REGION
H1=N(J)
HF=N(J+1)-1
A(J)=1.0
IF(J, NE, KK) A(J)=0.0
DO 41 I=H1, HF
IF(J, LT, KK) X(I, K)=1.0
IF(J, LT, KK) G(I, K)=1.0
X(I, K)=POLY(X(I, 2), 7, 0)*A(I)
DO 191 L=1, 3
X(I, K)=X(I, K)+POLY(X(I, 2), L-1, 0)*(1.0-A(L))*C(L, K-2)-C(L, K-3)
191 CONTINUE
41 CONTINUE

```

C*
C*
C* CALCULA LOS ELEMENTOS DE LA MATRIZ DE COEFICIENTES.

```

DO 61 K=1, NO
DO 61 KK=K, NO
IND=KK+(K-1)*NO
A(IND)=0.0
B(K)=0.0
DO 51 J=1, REGION
H1=N(J)
HF=N(J+1)-1
DO 51 I=H1, HF
WX=1.0
A(IND)=X(I, K)*X(I, KK)*WX+A(IND)
B(K)=Y(I)*X(I, K)*WX+B(K)
51 CONTINUE
61 A(K+(KK-1)*NO)=A(IND)
61 CONTINUE

```

C*
C*
C* INVIERTE LA MATRIZ "A".

```

DO 171 J=1, NO
171 CONTINUE
EPS=1.0E-7
CALL HINVA(A, B, H, H1, DET)
IF(ZER, NE, 0) WRITE(6, 50) IER
50 FORMAT(/, 50X, "ERROR EN GELG, ERROR CODE= ", I3)

```

C*
C*
C* CALCULA LOS COEFICIENTES DEL AJUSTE ("SPLINE").

```

DO 71 I=1, 4
COEF(1, I)=B(I)
71 CONTINUE
DO 31 J=1, REGION
COEF(J, 4)=B(J+3)
B(J)=COEF(J-1, 4)-COEF(J, 4)
COEF(J, 3)=COEF(J-1, 3)+B(J)*C(3, J)
COEF(J, 2)=COEF(J-1, 2)+B(J)*C(2, J)
COEF(J, 1)=COEF(J-1, 1)+B(J)*C(1, J)
31 CONTINUE

```

```

C*      IMPRIME LA SALIDA DE LOS COEFICIENTES DEL AJUSTE(SPLINE)
C*
WRITE(6,70)
70  FORMAT(101, '///', 31, 'COEFFICIENTS OF LEAST SQUARES CUBIC SPLINES')
WRITE(6,80) (J, COEF(J,K), K=1,4), J=1, REGION
80  FORMAT(777, 10(20X, 'REGION= ', 15, 4(15,4,7)))
WRITE(6,60) ORIGIN, SCALE
60  FORMAT(777, 'THE FOLLOWING COEFFICIENTS ARE DEFERRED FOR THE RANGE'
1  - '+1 TO -130' // 'TO USE THE ABOVE COEFFICIENTS, X MUST BE',
2  - 'OUTSIDE FOLLOWING QUANTUM', '///', 20X, 'X = (X-',
3  - '11,4,21)', 31, 4, '1,10')

```

C*
C*
C*
CALCULA LOS VALORES DE "Y" A PARTIR DEL AJUSTE CUBICO.

```

DO 91 J=1, REGION
NI=N(J)
NF=N(J+1)-1
DO 91 X=NI, NF
X(1,1)=0.0
DO 91 K=1,4
X(1,1)=X(1,1)+COEF(J,K)*POLY(X(J,2),K-1,0)
91  CONTINUE

```

C*
C*
C*
CALCULA LA DERIVADA DEL AJUSTE Y SUMA "Y" EN CADA REGION.

```

DO 101 J=1, REGION
NI=N(J)
NF=N(J+1)-1
YAVG(J)=0.0
DO 101 I=NI, NF
X(1,3)=0.0
XTEMP(I)=X(1,2)
X(1,2)=(X(1,2)+1.0)/SCALE+ORIG
YAVG(J)=YAVG(J)+Y(I)
DO 101 K=2,4
X(1,3)=X(1,3)+COEF(J,K)*POLY(XTEMP(I),K-1,1)*SCALE
101 CONTINUE

```

C*
C*
C*
CALCULA PROMEDIOS Y VALORES.

```

YTAVG=0.0
DO 161 J=1, REGION
YTAVG=YTAVG+YAVG(J)
YAVG(J)=YAVG(J)/(N(J+1)-N(J))
161 CONTINUE
YTAVG=YTAVG/FLOAT(NT)

```

EFFECTUA EL CALCULO DE:

- RESIDUOS.
- RESIDUOS AL CUADRADO.
- RESIDUOS MAXIMO Y MINIMO.
- TOTAL DE RESIDUOS AL CUADRADO.

```

C*  
C*  
C*  
C*  
C*  
YREST=0.0
DO 141 J=1, REGION
NI=N(J)
NF=N(J+1)-1
SUMTOT=0.0
SUMRSQ=0.0
RMIN=0.0
RMAX=0.0
DO 141 I=NI, NF
X(1,4)=Y(I)-X(1,1)
X(1,5)=X(1,4)*X(1,4)
SUMRSQ=SUMRSQ+X(1,5)
X(1,6)=(Y(I)-YTAVG)**2
SUMTOT=SUMTOT+X(1,6)
YREST=(YTAVG-Y(I))**2+YREST
RMIN=AMIN1(X(1,4), RMIN)
RMAX=AMAX1(X(1,4), RMAX)
141 CONTINUE
COEF(J,1)=RMIN
COEF(J,2)=RMAX

```



```

COEF(J,3)=SUMRSQ
COEF(J,4)=SUMTOT
131 CONTINUE
C*
C* IMPRIME LA SALIDA DE VALORES DE LA FUNCION,
C* DERIVADA Y RESIDUAL
C*
WRITE(6,99)
90 FORMAT(1H1, //, 20X, "X", 20X, "Y", 17X, "F(X)", 13X, "F'(X)",
/16X, "Y-F(X)", //)
WRITE(6,100) (K=1,2), Y(1), X(X,1), X(X,3), X(X,4), I=1,NT)
100 FORMAT( //, 10X, F15.4, //, 5X, F15.4, 6X, F15.4, 6X, F15.4, 6X, F15.4)
C*
C* CALCULO DE LA VARIANZA, DESVIACION ESTANDARD
C* CORRELACION MULTIPLE, LOS COEFICIENTES PARA CADA
C* REGRESION AL CUADRADO, LOS COEFICIENTES MAXIMO Y MINIMO
C* PARA LA MUESTRA DE DATOS COMPLETA Y LOS
C* RESIDUOS TOTALES
C*
WRITE(6,110)
110 FORMAT(1H1, //, 4X, "REGION", T15, "VARIANCE", T27, "STANDARD DEV", T43,
1 "COR COF SQUARES", T55, "SUM OF SQUARES", T80, "RESIDUAL SQUARES",
2 T100, "MAX RESIDUAL", T115, "MAX RESIDUAL", //)
SUMRSQ=0.0
RMIN=0.0
RMAX=0.0
DO 151 J=1, REGION
RMIN=AMIN1(RMIN, COEF(J,1))
RMAX=AMAX1(RMAX, COEF(J,2))
XN=N(J+1)*HC(J)
VAR=COEF(J,3)/(X)-4.0)
STDEV=SQRT(ABS(VAR))
R2=1.0-COEF(J,3)/COEF(J,4)
SUMRSQ=SUMRSQ+COEF(J,3)
WRITE(6,120) J, VAR, STDEV, R2, COEF(J,4), COEF(J,3), COEF(J,1)
1, COEF(J,2)
120 FORMAT(1H1, //, 12, Y15, F7.3, T20, F7.3, T47, F7.5, Y65, F10.3, T82, F10.3,
1 T101, F3.3, T117, F3.3)
151 CONTINUE
C*
C* CALCULA LA VARIANZA, DESVIACION ESTANDARD,
C* CORRELACION MULTIPLE, LOS COEFICIENTES PARA
C* LA MUESTRA COMPLETA DE DATOS AL CUADRADO.
C*
VAR=SUMRSQ/(FLOAT(NT)-REGION+4.0)
STDEV=SQRT(ABS(VAR))
R2=1.0-SUMRSQ/YREST
WRITE(6,130) VAR, STDEV, R2, YREST, SUMRSQ, RMIN, RMAX
130 FORMAT(1H1, //, 4X, "TOTAL", T15, F7.3, T30, F6.3, T47, F7.5,
1 T65, F10.3, T85, F9.3, T101, F8.3, T117, F3.3)
45 CALL EXIT
END
I 0 2 2 0 0 DE LA FUNCION " POLY " .
C*
C* ESTA FUNCION CALCULA LOS POLINOMIOS DE
C* LEGENDRE, LA PRIMERA Y SEGUNDA DERIVADAS
C* PARA TERCER ORDEN.
C*
FUNCTION POLY(X,NI, I)
N=NI
IF(N.GT.3.OR.N.LT.0) GO TO 35
IF(N=1)G,15,25
5 N=N+1
GO TO(1,2,3,4),N
1 POLY=1.0
RETURN
2 POLY=X
RETURN
3 POLY=1.5*X*X-0.5
RETURN
4 POLY=2.5*X*X*X-1.5*X

```



```
WRITE(6,/) HX, HY, HZ  
WRITE(6,/) ((TOT(M,N), N=1, 32), M=1, 32)  
CALL EXIT  
END
```



```

TX2=ATAN2(UX,VX)
TL=TX1-TX2
TY1=ATAN(A-B)
UY=C*A
VY=R*RO
TY2=ATAN2(UY,VY)
TM=TY1-TY2
GAP=ALOG(RO+A)
GAM=ALOG(RO-A)
GRP=ALOG(RO+B)
GRM=ALOG(RO-B)
GCP=ALOG(RO+C)
GX(IA,IB,IC)=- (P*TL+Q*GCP+R*(GRP-GRM)/2.)
GY(IA,IB,IC)=- (Q*TM+GCP+R*(GAP-GAM)/2.)
GZ(IA,IB,IC)=(R*(TL+TM)-P*(GRP-GRM)/2.-Q*(GAP-GAM)/2.)
10 CONTINUE
TX=GX(1,1,1)+GX(2,2,1)-GX(1,2,1)-GX(2,1,1)
1-(GX(1,1,2)+GX(2,2,2)-GX(1,2,2)-GX(2,1,2))
TY=GY(1,1,1)+GY(2,2,1)-GY(1,2,1)-GY(2,1,1)
2-(GY(1,1,2)+GY(2,2,2)-GY(1,2,2)-GY(2,1,2))
TZ=GZ(1,1,1)+GZ(2,2,1)-GZ(1,2,1)-GZ(2,1,1)
3-(GZ(1,1,2)+GZ(2,2,2)-GZ(1,2,2)-GZ(2,1,2))
HX(M,N)=TX
HY(M,N)=TY
HZ(M,N)=TZ
TT=PP*TX+QQ*TY+RR*TZ
TOT(M,N)=TT
100 CONTINUE
50 CONTINUE
WRITE(6,/) TOT,HX,HY,HZ
CALL EXIT
END

```

```

XXXXXXXXXXXXXXXXXXXXXXXXXXXXXXXXXXXXXXXXXXXXXXXXXXXXXXXXXXXXXXXXXXXXXXXXXXXX
                                UCH. A. A. N.
                                FACULTAD DE INGENIERIA
                                DEPARTAMENTO DE CIENCIAS DE LA TIERRA
                                SECCION GEOFISICA
                                TESIS PROFESIONAL
                                PRESENTADA POR EL ALUMNO:
                                ROQUELO RAMOS CARRANZA
                                TITULO DEL PROGRAMA:
                                "FILTRO"
XXXXXXXXXXXXXXXXXXXXXXXXXXXXXXXXXXXXXXXXXXXXXXXXXXXXXXXXXXXXXXXXXXXXXXXXXXXX

```

PROGRAMA FILTRO :

ESTE PROGRAMA PRINCIPAL ES UTILIZADO PARA ALIMENTAR A LA SUBROUTINA CLISS CUYO PROPOSITO ES DETERMINAR LOS COEFICIENTES DE UN FILTRO PASA BANDAS DE CIERTAS CARACTERISTICAS DETERMINADAS POR LOS PARAMETROS DE ENTRADA.

DIMENSION SS(200), C(400), FORIG(50), FELT(20), CH(30,30)
PARAMETROS DE ENTRADA:

NR=2
M=10
N1=(2*M)+1
N2=N1*N1

SE INTRODUCE LA SEÑAL ORIGINAL = FORIG(1, ..., (2*M)+1)

DATA FORIG/1, 2, 3, 4, 5, 6, 7, 8, 9, 10, 11, 12, 13, 14, 15, 16, 17, 18, 19, 7

LLAMA A LA SUBROUTINA QUE CALCULA LOS COEFICIENTES DEL FILTRO

CALL CLISS(C, N1, N2, CH, NC, C)
WRITE(6,/) (C(L), L=1, N2)

DO 15 N=1, 10
CALL LMATR(C, 10, N, L)
KAG=N
LAG=L

CHKAS(LAG)=C(N)

13 CONTINUE
WRITE(6,/) ((CH(L,J), J=1, 10), I=1, 10)

DO 15 I=1, 10
SUMAT=0.
DO 15 J=1, 10
SUMAT=SUMAT+CH(L,J)*FORIG(J)
FELT(I)=SUMAT

15 CONTINUE
WRITE(6,/) (FELT(K), K=1, 10)
CALL EXIT
END

INDICACION DE LA SUBROUTINA "C L X S S"
ESTA SUBROUTINA SE UTILIZA EN EL FILTRADO DE "SIGNALS" DE TIPO MAGNETICO DE DIMENSIONALES.

SUBROUTINE CLISS(C, N1, N2, CH, NC, C)
DIMENSION C(200), SS(200)
PR=3.14159265/11


```

NF=0-1
SOM=0
DO 21 I=1,NF
  SIC(1)=1+(I-1)*PI/18
  SIC(2)=1+(I-1)*PI/36
  SIC(3)=(1+SIC(1))/2-0.01
  KL=2*I-1
  L=KL
  L=(L+1)/2
  DO 12 L=1, KL
    CALL LTRAC(L,KC,K,J)
    KL=1+L
    L=1+L
    SIC(L)=SIC(KL)+SIC(L)
  12 CONTINUE
  RETURN
END

```

```

INICIO DEL SUBPROGRAMA DE FUNCION "SIC(X)".
FUNCION SIC(X)
  SIC=1-((X-1)/2)**2
  RETURN
END

```

```

INICIO DE LA SUBROUTINA "LTRAC"
ESTA SUBROUTINA REEMPLAZA UN INDICE
SIMPLE "L" DE UNA LINEA ALINEADA
"K(L)" POR UN PAR DE INDICES "I,J"
DE LA MISMA LINEA POR LA FORMA
RECTANGULAR "K(I,J)" Y SUYO NUMERO
EL COLUMNA ES "LARG"
SUBROUTINE LTRAC(LARG,I,J)
  J=(L-1)/LARG+1
  I=(J-1)*LARG
  RETURN
END

```



```

C*
C* INICIO DE LA SUBROUTINA "ROMBERG"
C*
C* ESTE SUBPROGRAMA RESUELVE UNA INTEGRACION
C* DE UNA FUNCION F(U), COMPRENDIDA ENTRE LOS
C* LIMITES "A Y B" SEPARANDO EL SEGMENTO:
C* B-A EN INTERVALOS CUYO VALOR NO DEBE EXCE
C* DER A 2**MAX.
C*
SUBROUTINE ROMBER(W,A,B,EPS,MAX,Y)
DIMENSION W(10)
H=B-A
W(1)=(FUNC(A)+FUNC(B))*H/2.
AW=W(1)
M=1
N=1
201 N=N+1
H=H/2.
M=M*2
SOM=W(N-1)/2.
DO 20 I=1,M/2
20 SOM=SOM+H*FUNC(A+I*H)
W(N)=SOM
C=1
DO 25 K=2,N
C=C*4
L=N-K+1
25 W(L)=(C*W(L+1)-W(L))/(C-1)
ERR=W(1)-AW
AW=W(1)
IF(ABS(ERR).GT.EPS.AND.N.LE.MAX) GO TO 201
Y=W(1)
RETURN
END

```

```

C*
C* INICIO DEL SUBPROGRAMA DE FUNCION "FUNC(U)"
C*
FUNCTION FUNC(U)
COMMON/KPN/K,N,PRO
RE=-PRO*SQRT(1.+U*U)
FUNC=CF(RE,K*U+N)+CF(RE,N*U+K)
RETURN
END

```

```

C*
C* INICIO DEL SUBPROGRAMA DE FUNCION "CF".
C*
FUNCTION CF(RE,TAU)
COMPLEX X,FU
X=3.14159265*CMPLX(RE,TAU)
IF(CABS(X)-0.002)2,2,3
2 FU=0.25+X/6.+X*X/16.
GO TO 4
3 FU=((1.-1./X)*CEXP(X)+1/X)*0.5/X
4 CF=REAL(FU)
RETURN
END

```

```

C*
C*
C* INICIO DE LA SUBROUTINA "LIJ"
C*
C* ESTA SUBROUTINA OPERA EN EL CASO DE UNA PARTE DE
C* UNA MATRIZ TRIANGULAR A UNA MATRIZ CUADRADA SI
C* METRICA CON RESPECTO A SUS EJES Y BISECTORES.
C*
SUBROUTINE LIJ(L,I,J)
I=0
JB=L
1 JA=JB
I=I+1
JB=JA-1
IF(JB)2,2,1
2 J=JA

```

```
RETURN  
END
```

```
INICIO DE LA SUBROUTINA "LMATR".
```

```
SUBROUTINE LMATR(L,LARG,I,J)  
J=(L-1)/LARG+1  
I=L-(J-1)*LARG  
RETURN  
END
```

```

IIIIIIIIIIIIIIIIIIIIIIIIIIIIIIIIIIIIII
I
U.N.A.M
I
FACULTAD DE INGENIERIA
I
DIVISION CIENCIAS DE LA TIERRA
I
SECCION GEOFISICA
I
TESIS PROFESIONAL
I
PRESENTADA POR EL ALUMNO:
I
ROGELIO RAMOS CARRANZA
I
NOMBRE DEL PROGRAMA:
I
"DERVER"
I
IIIIIIIIIIIIIIIIIIIIIIIIIIIIIIIIIIIIII

```

```

PRROGRAMA "D E R V E R":
ESTE PROGRAMA SE REALIZA CON EL FIN DE
ALIMENTAR A LA SUBROUTINA "CODR" QUE
EFECTUA EL CALCULO DE LA DERIVADA VER-
TICAL DE UNA SENIAL GEOFISICA.

```

```

DIMENSION C(200),W(10),CM(30,30)

```

```

PARAMETROS DE ENTRADA:

```

```

M=10
EPS=0.1E-08
MAX=10
M1=(2*M)-1
M2=M1*M1

```

```

LLAMA A LA SUBROUTINA QUE EFECTUA EL CALCULO DE LA DERIVADA:

```

```

CALL CODR(W, EPS, MAX, IC, KC, NC, C, M)
WRITE(6,/) (C(M),M=1,M2)
DO 10 I=1,M2
CALL LMATR(I,19,K,L)
  KM=K
  LM=L
  CM(KM,LM)=C(I)
CONTINUE
WRITE(6,/) ((CM(I,J),J=1,19),I=1,19)
CALL EXIT
END

```

10

```

INICIO DE LA SUBROUTINA "C O D R".

```

```

ESTA SUBROUTINA REALIZA EL CALCULO DE
LA DERIVADA VERTICAL PARA UNA SENIAL
GEOFISICA.

```

```

SUBROUTINE CODR(W, EPS, MAX, IC, KC, NC, C, M)
DIMENSION C(200),W(10)
COMMON CC(150)
COMMON/OKN/K,N
KC=2*M-1
NC=KC
LC=KC*NC
IC=(LC+1)/2
L=0
DO 20 I=1,M
K=I-1
DO 20 J=1,I
N=J-1
L=L+1
20 CALL ROMBER(W,-1.,+1.,EPS,MAX,CC(L))

```

20 CALL ROMBER(W,-1.,+1.,EPS,MAX,CC(L))

```

DO 30 L=1,LC
CALL LMATR(L,KC,KO,NO)
K=MAXO(IABS(M-KO),IABS(M-NO))+1
N=MINO(IABS(M-KO),IABS(M-NO))+1
LO=(K-1)*K/2+N
30 C(L)=CC(LO)
RETURN
END

```

```

C*
C*
C*
C*
INICIO DE LA SUBROUTINA "ROMBERG".

```

```

SUBROUTINE ROMBER(W,A,B,EPS,MAX,Y)
DIMENSION W(10)
H=B-A
W(1)=(FUNC(A)+FUNC(B))*H/2.
AW=W(1)
M=1
N=1
201 N=N+1
H=H/2.
M=M*2
SOM=W(N-1)/2.
DO 20 I=1,M,2
20 SOM=SOM+H*FUNC(A+I*H)
W(N)=SOM
C=1.
DO 25 K=2,N
C=C*4
L=N-K+1
25 W(L)=(C*W(L+1)-W(L))/(C-1)
ERR=W(1)-AW
AW=W(1)
IF(ABS(ERR).GT.EPS.AND.N.LE.MAX) GO TO 201
Y=W(1)
RETURN
END

```

```

C*
C*
C*
C*
INICIO DE LA FUNCION "FUNC(U)".

```

```

FUNCTION FUNC(U)
COMMON/OKN/K,N
PI=3.14159265
FUNC=PI*SQRT(1.+U*U)*(CGD(PI*(K+N*U))+CGD(PI*(K*U+N)))
RETURN
END

```

```

C*
C*
C*
C*
INICIO DE LA FUNCION "CGD".

```

```

FUNCTION CGD(X)
XX=X*X
IF(XX-0.002)5,5,10
5 CGD=1./6.-XX/20.+XX*XX/336.
RETURN
10 CGD=COS(X)/XX+(0.5-1./XX)*SIN(X)/X
RETURN
END

```

```

C*
C*
C*
C*
INICIO DE LA SUBROUTINA "LMATR".

```

```

SUBROUTINE LMATR(L,LARG,I,J)
J=(L-1)/LARG+1
I=L-(J-1)*LARG
RETURN
END

```

UNIVERSIDAD NACIONAL AUTÓNOMA DE MEXICO
 FACULTAD DE INGENIERIA
 DIVISION DE CIENCIAS DE LA TIERRA
 SECCION GEOFISICA
 TERCER PROFESIONAL
 PRESENTADO POR EL ALUMNO:
 ROGELIO RAMOS CALAMAZA
 TITULO DEL PROGRAMA:
 "TALWANI"

ESTE PROGRAMA CALCULA LA ANOMALIA MAGNETICA PRODUCIDA POR UN POLIGONO BIDIMENSIONAL UTILIZANDO EL METODO DE "TALWANI".

- SEÑALES
- A : ANGULO EN EL VERTICE DE MAGNETIZACION
 MEDIDO EN GRADOS, DESCOMIENSO DESDE EL
 PLANO HORIZONTAL, IGUAL A 1 PARA LA
 MAGNETIZACION POSITIVA.
 - B : ANGULO ENTRE EL EJE LOCAL HORIZONTAL DEL
 CUERPO Y EL EJE LOCAL Y EL POLI-
 GONO EN GRADOS, MEDIDO EN EL SENTIDO DE LAS
 MANECILLAS DEL RELOJ DESDE EL NORTE DEL
 CUERPO EN GRADOS, IGUAL A "0" PARA
 MAGNETIZACION POSITIVA.
 - C : ANGULO ENTRE EL EJE POSITIVO "X" Y EL
 NORTE LOCAL, MEDIDO EN EL SENTIDO
 DE LAS MANECILLAS DEL RELOJ A PARTIR DEL
 NORTE LOCAL EN GRADOS.
 - GIP : ANOMALIA EN GRADOS "G" DEL CUERPO EN EL
 EJE POSITIVO "X" EN EL NORTE
 LOCAL EN EL EJE POSITIVO "X".
 - F : ANOMALIA LOCAL (INTENSIDAD DE
 CUERPO LOCAL, EN GAUSS).
 - SUS : ANOMALIA LOCAL EN EL EJE "X" (EN GAUSS)
 ANOMALIA LOCAL "J" (EN GAUSS) MULTIPLICADO
 POR (10⁻⁵+5).
 - CGUS : ANOMALIA LOCAL EN "Z" EN PUNTOS DE
 CUERPO DE LAS ANOMALIAS DEL EJE POSI-
 TIVO DEL CUERPO EN GRADOS CON RES-
 PECTO AL NORTE LOCAL EN EL EJE POSITIVO "X".
 ANOMALIA LOCAL EN EL EJE POSITIVO "X".
 - XXX, ZZZ : ANOMALIA LOCAL EN EL EJE POSITIVO "X" DEL CUERPO
 EN PUNTOS DE CUERPO DE LAS ANOMALIAS DEL EJE POSI-
 TIVO DEL CUERPO EN GRADOS CON RES-
 PECTO AL NORTE LOCAL EN EL EJE POSITIVO "X".
 - JTOT : AREA TOTAL DE MANECILLAS DEL CUERPO (EN
 METROS CUADRADOS) POR LAS PUNTERAS 2 VECES.
 AREA TOTAL "Z" DE LAS MANECILLAS DEL CUERPO.
 AREA TOTAL EN EL VERTICE DE "X" DE PUNTERAS
 DEL CUERPO.
 - THETA, THETA : ANGULO EN LAS MANECILLAS DEL CUERPO DESDE
 EL EJE POSITIVO "X".
 - OHGA : ANOMALIA LOCAL DE LAS CURVAS DE LOS
 PUNTERAS DEL CUERPO.


```

14 CONTINUE
15 WRITE(6,16) (XX(I), I=2, 12, 2)
16 FORMAT(50X, 6F14.5)
17 WRITE(6,17) (XX(I), I=1, 13, 2)
18 FORMAT(31X, 2F14.5)
19 WRITE(6,18) (XX, "+", 12, 12, "***** 4")
20 DO 22 I=1, 61
   DO 20 J=1, 61, 10
     ISAL(I)=J
21 CONTINUE
22 WRITE(6,19)
   WRITE(6,20)
   XX=X(I)
   IF(I.GE.3) 111, 110, 111
110 XXX=2.3059*XX*(XX)
111 Y=EXP(X*(Y+30.0/0.0))+1.0
   WRITE(6,21) (X, )
21 FORMAT(50X, 14.5, 51.1)
22 CONTINUE
   WRITE(6,15)
   WRITE(6,17) (XX(I), I=1, 13, 2)
   WRITE(6,18) (XX(I), I=1, 15, 2)
   STOP
END

```



```

AB00=A*B+03
AB0A=A*B+A
A7B0=A7*B0
AA00=A*A*00
K000=5007*(A02+102+1002)
K001=5007*(A02+102+1002)
K002=5007*(A02+102+1002)
K003=5007*(A02+102+1002)
K004=5007*(A02+102+1002)
K005=5007*(A02+102+1002)
K006=5007*(A02+102+1002)
K007=5007*(A02+102+1002)
K008=5007*(A02+102+1002)
K009=5007*(A02+102+1002)
K010=5007*(A02+102+1002)
K011=5007*(A02+102+1002)
K012=5007*(A02+102+1002)
K013=5007*(A02+102+1002)
K014=5007*(A02+102+1002)
K015=5007*(A02+102+1002)
K016=5007*(A02+102+1002)
K017=5007*(A02+102+1002)
K018=5007*(A02+102+1002)
K019=5007*(A02+102+1002)
K020=5007*(A02+102+1002)
K021=5007*(A02+102+1002)
K022=5007*(A02+102+1002)
K023=5007*(A02+102+1002)
K024=5007*(A02+102+1002)
K025=5007*(A02+102+1002)
K026=5007*(A02+102+1002)
K027=5007*(A02+102+1002)
K028=5007*(A02+102+1002)
K029=5007*(A02+102+1002)
K030=5007*(A02+102+1002)
K031=5007*(A02+102+1002)
K032=5007*(A02+102+1002)
K033=5007*(A02+102+1002)
K034=5007*(A02+102+1002)
K035=5007*(A02+102+1002)
K036=5007*(A02+102+1002)
K037=5007*(A02+102+1002)
K038=5007*(A02+102+1002)
K039=5007*(A02+102+1002)
K040=5007*(A02+102+1002)
K041=5007*(A02+102+1002)
K042=5007*(A02+102+1002)
K043=5007*(A02+102+1002)
K044=5007*(A02+102+1002)
K045=5007*(A02+102+1002)
K046=5007*(A02+102+1002)
K047=5007*(A02+102+1002)
K048=5007*(A02+102+1002)
K049=5007*(A02+102+1002)
K050=5007*(A02+102+1002)
K051=5007*(A02+102+1002)
K052=5007*(A02+102+1002)
K053=5007*(A02+102+1002)
K054=5007*(A02+102+1002)
K055=5007*(A02+102+1002)
K056=5007*(A02+102+1002)
K057=5007*(A02+102+1002)
K058=5007*(A02+102+1002)
K059=5007*(A02+102+1002)
K060=5007*(A02+102+1002)
K061=5007*(A02+102+1002)
K062=5007*(A02+102+1002)
K063=5007*(A02+102+1002)
K064=5007*(A02+102+1002)
K065=5007*(A02+102+1002)
K066=5007*(A02+102+1002)
K067=5007*(A02+102+1002)
K068=5007*(A02+102+1002)
K069=5007*(A02+102+1002)
K070=5007*(A02+102+1002)
K071=5007*(A02+102+1002)
K072=5007*(A02+102+1002)
K073=5007*(A02+102+1002)
K074=5007*(A02+102+1002)
K075=5007*(A02+102+1002)
K076=5007*(A02+102+1002)
K077=5007*(A02+102+1002)
K078=5007*(A02+102+1002)
K079=5007*(A02+102+1002)
K080=5007*(A02+102+1002)
K081=5007*(A02+102+1002)
K082=5007*(A02+102+1002)
K083=5007*(A02+102+1002)
K084=5007*(A02+102+1002)
K085=5007*(A02+102+1002)
K086=5007*(A02+102+1002)
K087=5007*(A02+102+1002)
K088=5007*(A02+102+1002)
K089=5007*(A02+102+1002)
K090=5007*(A02+102+1002)
K091=5007*(A02+102+1002)
K092=5007*(A02+102+1002)
K093=5007*(A02+102+1002)
K094=5007*(A02+102+1002)
K095=5007*(A02+102+1002)
K096=5007*(A02+102+1002)
K097=5007*(A02+102+1002)
K098=5007*(A02+102+1002)
K099=5007*(A02+102+1002)
K100=5007*(A02+102+1002)

```


**CAPITULO
V
EJEMPLOS**

PROGRAMA MAGSYN

PARAMETROS DE ENTRADA:

DATE = 1971.6

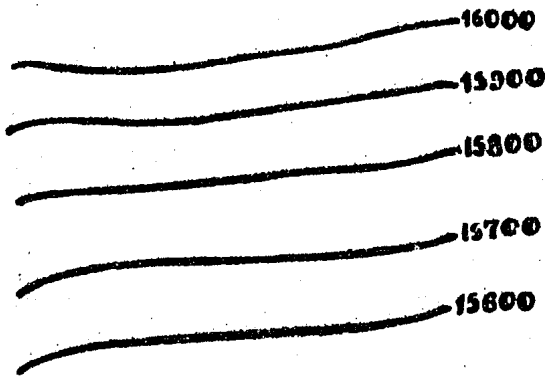
ALT = 0.305

COLAT = VARIABLE

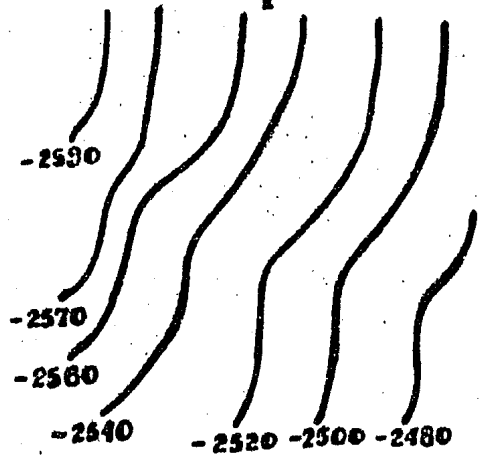
ELONG = VARIABLE

ELONG = 115.62 + COLAT = 32.69	115.48 + 32.69	115.43 + 32.69	115.30 + 32.69	115.18 + 32.69	115.10 + 32.69
ELONG = ... 115.62 + COLAT = ... 32.65	115.48 + 32.65	115.43 + 32.65	115.30 + 32.65	115.18 + 32.65	115.10 + 32.65
ELONG = ... 115.62 + COLAT = ... 32.51	115.48 + 32.51	115.43 + 32.51	115.30 + 32.51	115.18 + 32.51	115.10 + 32.51
ELONG = ... 115.62 + COLAT = ... 32.42	115.48 + 32.42	115.43 + 32.42	115.30 + 32.42	115.18 + 32.42	115.10 + 32.42
ELONG = ... 115.62 + COLAT = ... 32.33	115.48 + 32.33	115.43 + 32.33	115.30 + 32.33	115.18 + 32.33	115.10 + 32.33
ELONG = ... 115.62 + COLAT = ... 32.24	115.48 + 32.24	115.43 + 32.24	115.30 + 32.24	115.18 + 32.24	115.10 + 32.24

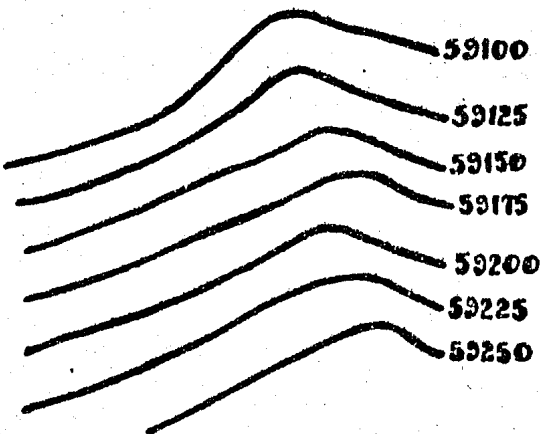
COMPONENTE MAGNETICA X



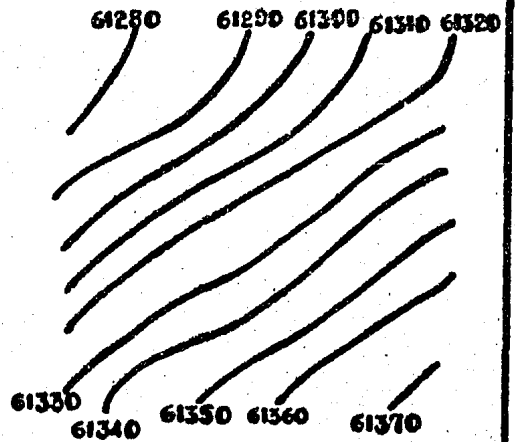
COMPONENTE MAGNETICA Y



COMPONENTE MAGNETICA Z



CAMPO TOTAL F

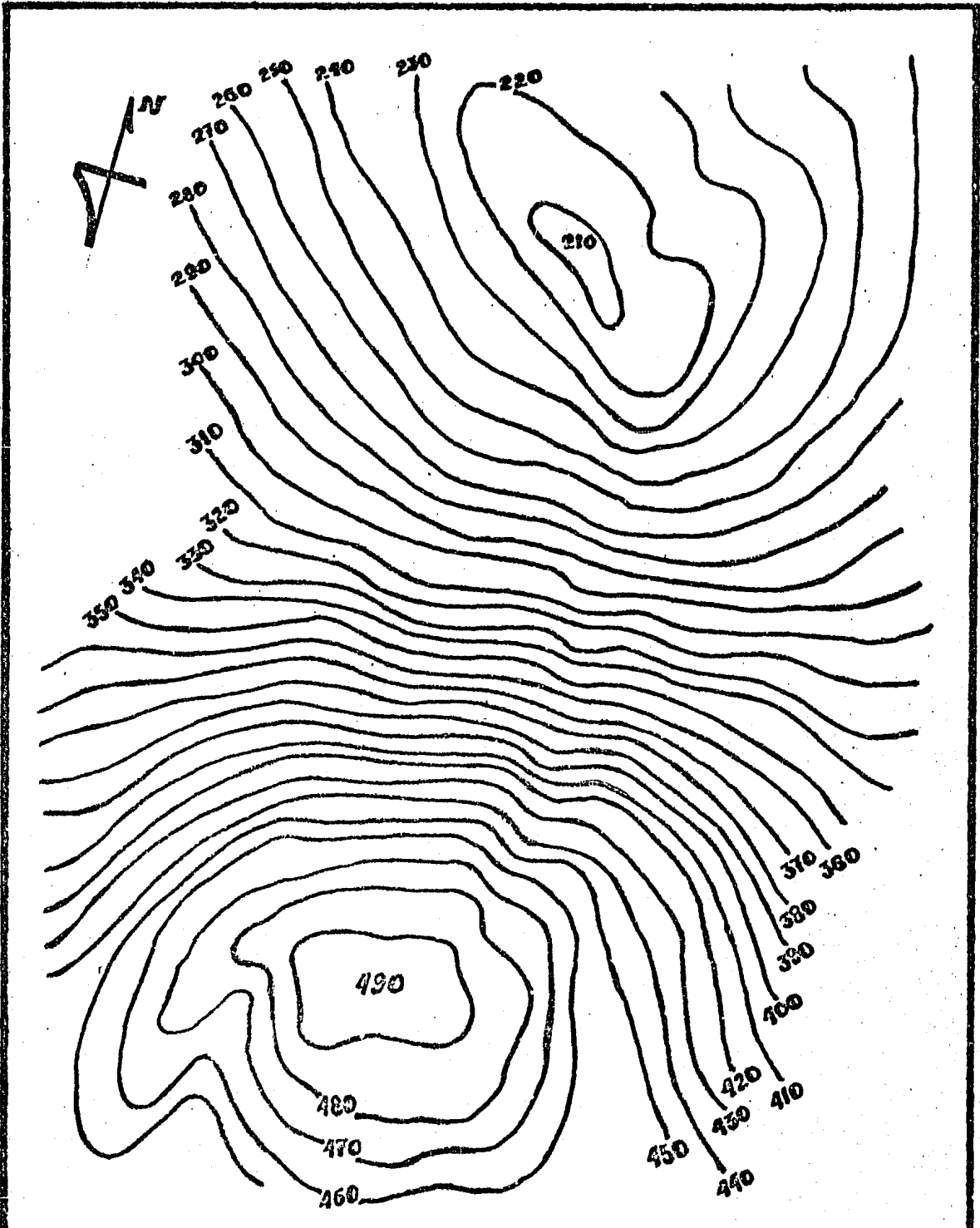


UNAM FAC. INGENIERIA

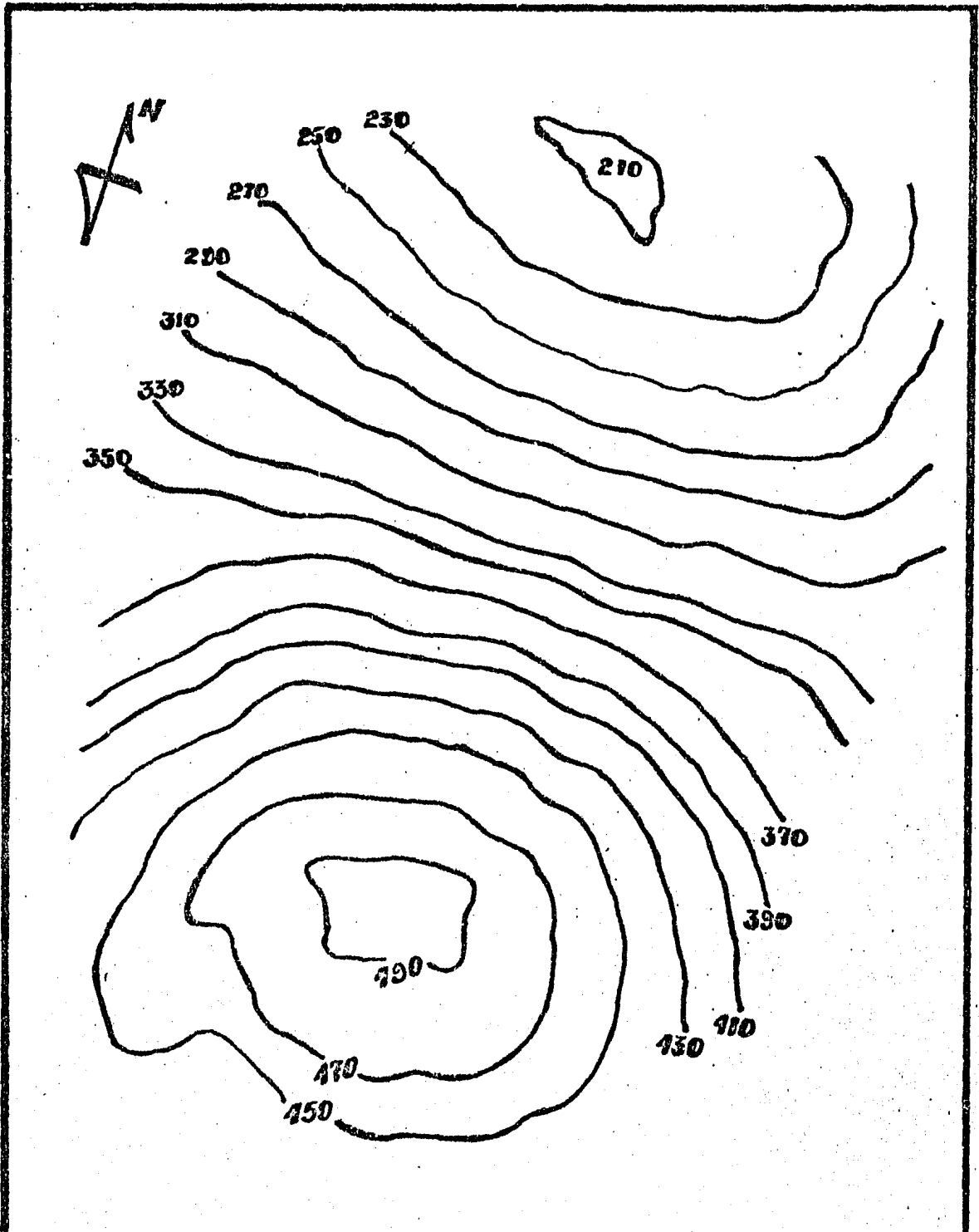
DIVISION CIENCIAS DE LA TIERRA
SECCION GEOFISICA

TESIS PROFESIONAL PRESENTADA POR EL ALUMNO:
ROGELIO RAMOS CARRANZA

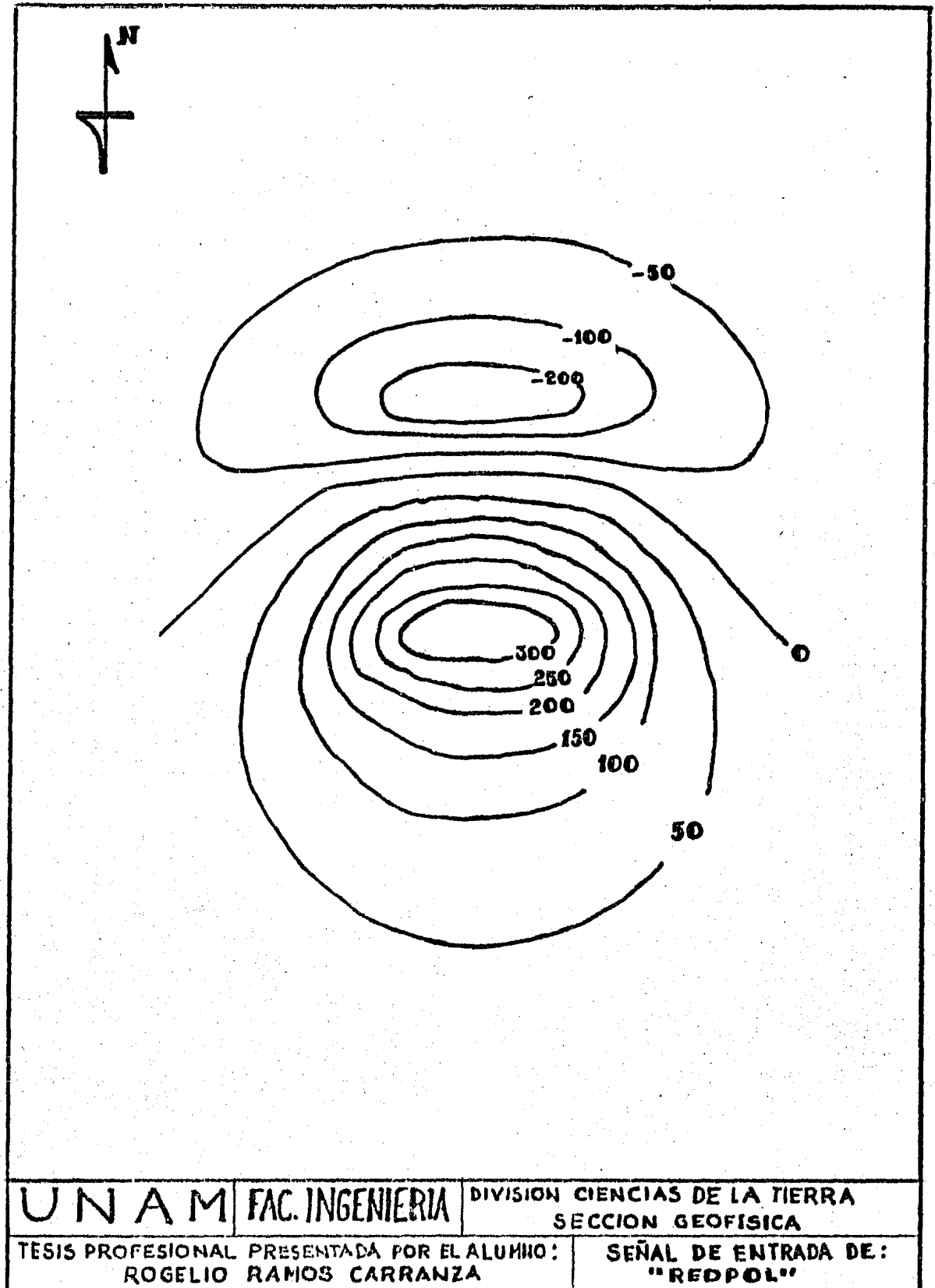
SEÑAL DE SALIDA
DE: "MAGSYN"



UNAM	FAC. INGENIERIA	DIVISION CIENCIAS DE LA TIERRA
		SECCION GEOFISICA
TESIS PROFESIONAL PRESENTADA POR EL ALUMNO:		SEÑAL DE ENTRADA
ROGELIO RAMOS CARRANZA		DE: "ENREJILLADO"



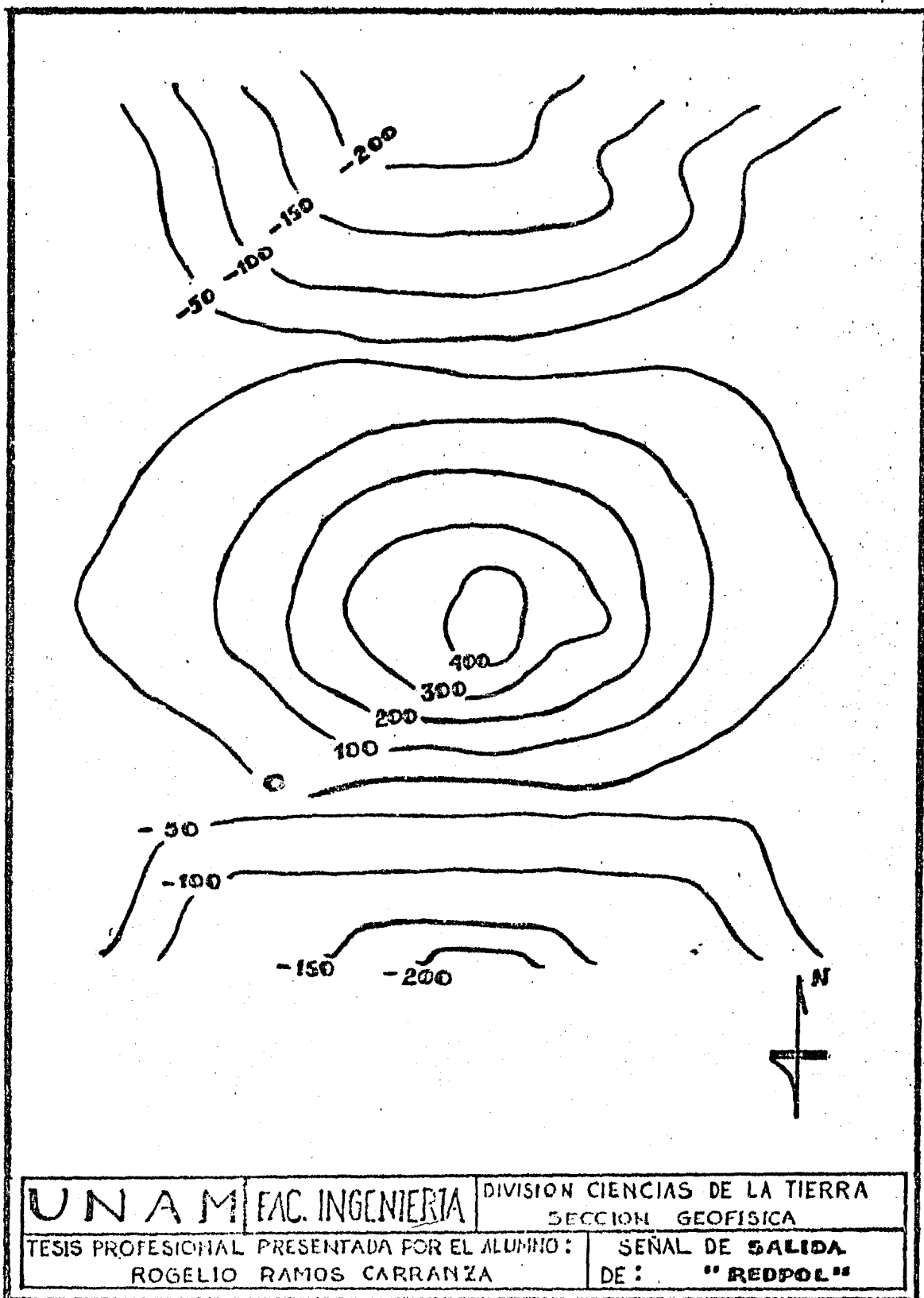
UNAM	FAC. INGENIERIA	DIVISION CIENCIAS DE LA TIERRA
		SECCION GEOFISICA
TESIS PROFESIONAL PRESENTADA POR EL ALUMNO:		SEÑAL DE SALIDA
ROGELIO RAMOS CARRANZA		DE: "ENREJILLADO"

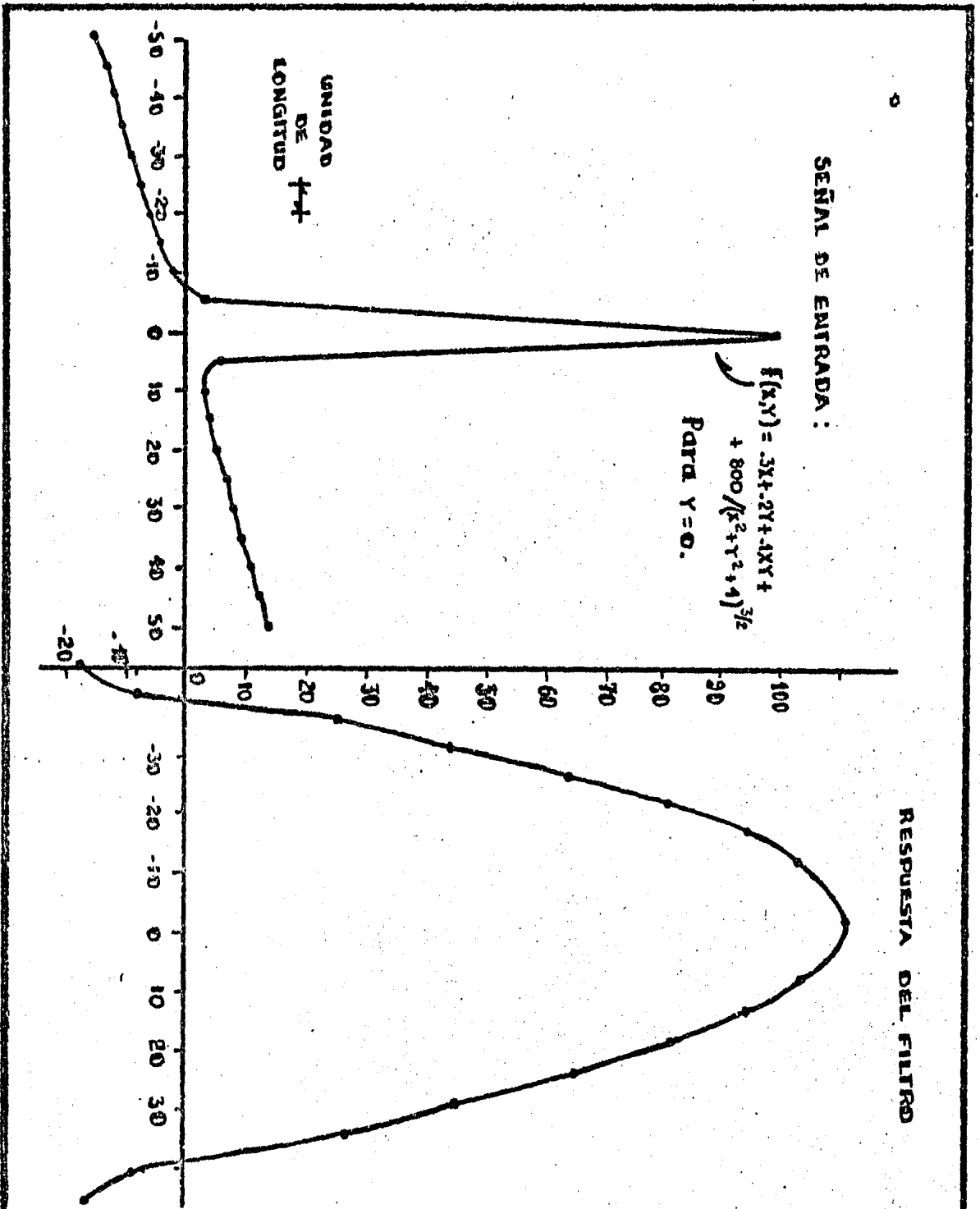


UNAM

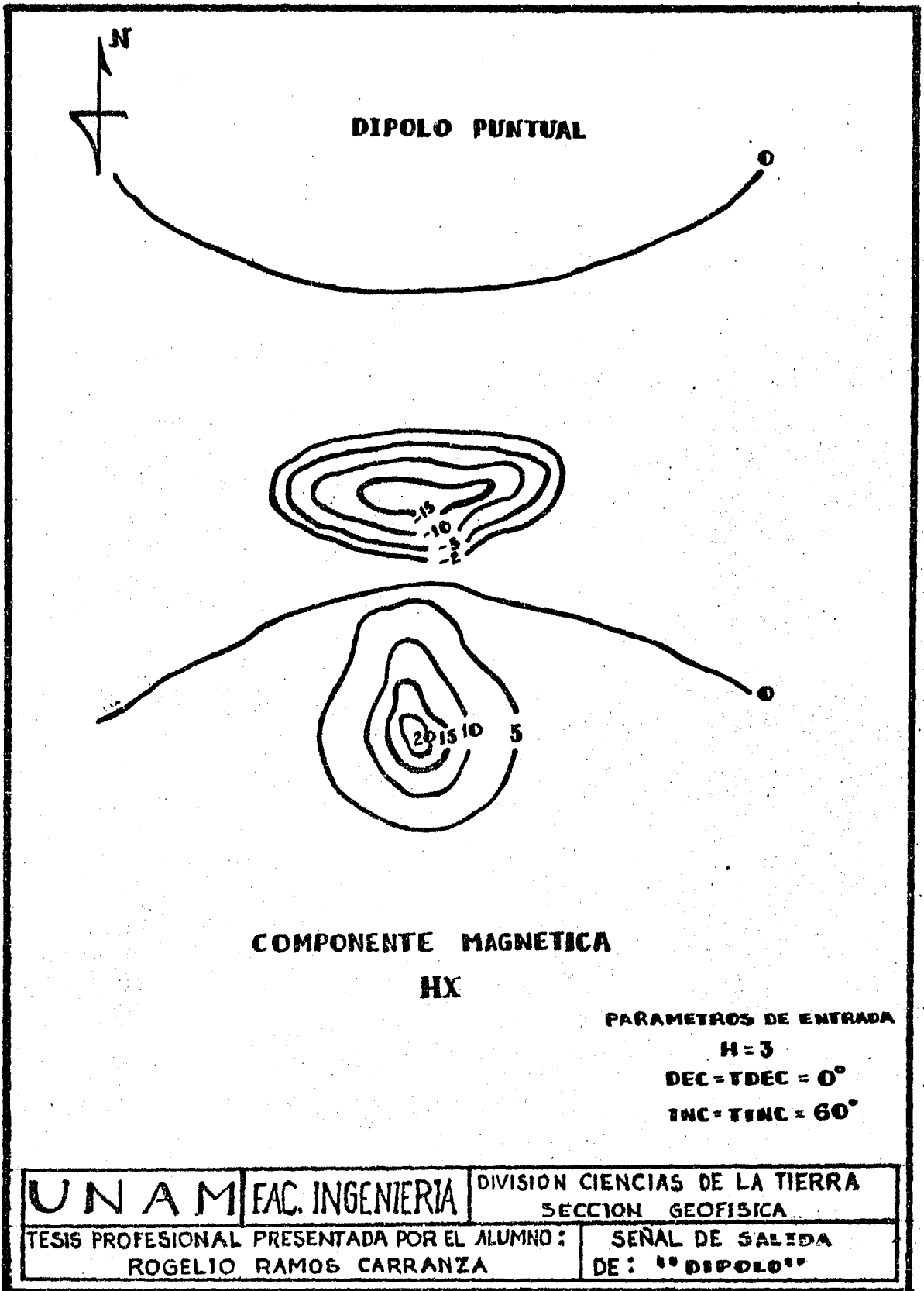
FAC. INGENIERIA

DIVISION CIENCIAS DE LA TIERRA
SECCION GEOFISICATESIS PROFESIONAL PRESENTADA POR EL ALUMNO:
ROGELIO RAMOS CARRANZASEÑAL DE ENTRADA DE:
"REDPOL"



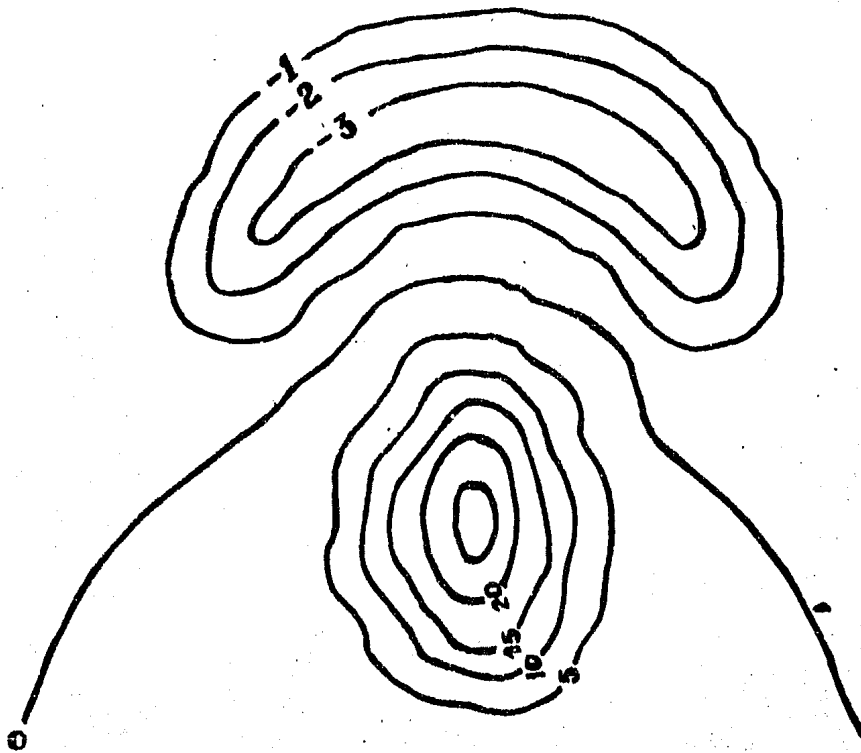


UNAM	FAC. INGENIERIA	DIVISION CIENCIAS DE LA TIERRA	
		SECCION GEOFISICA	
TESIS PROFESIONAL PRESENTADA POR EL ALUMNO:		SEÑAL DE ENTRADA-SALIDA	
ROGELIO RAMOS CARRANZA		DE: "FILTRADO"	





LINEA DE DIPOLOS



CAMPO TOTAL

PARAMETROS DE ENTRADA:

$$A=4 \quad ; \quad H=3$$

$$DEC = TDEC = 0^\circ$$

$$INC = TINC = 60^\circ$$

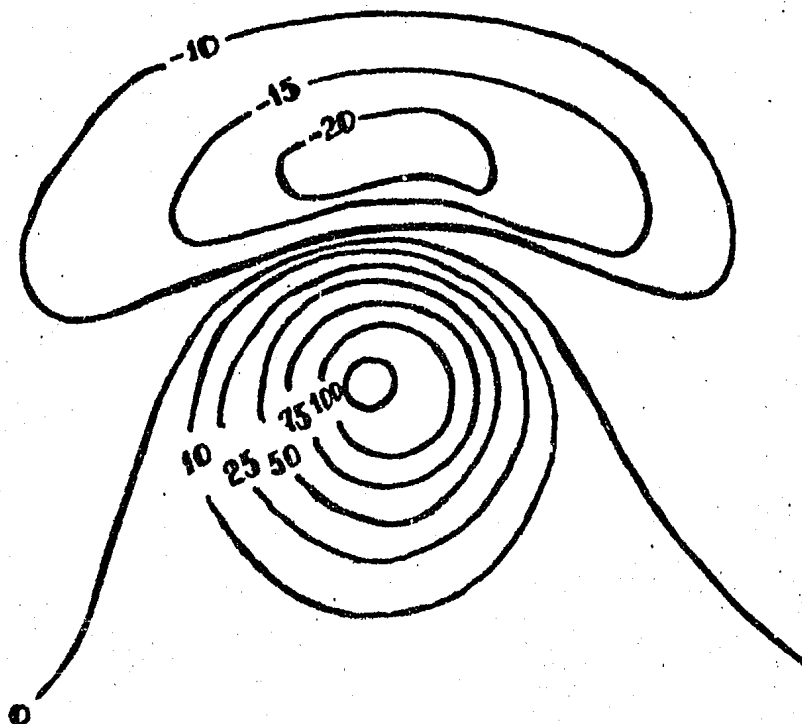
UNAM FAC. INGENIERIA

DIVISION CIENCIAS DE LA TIERRA
SECCION GEOFISICA

TESIS PROFESIONAL PRESENTADA POR EL ALUMNO:
ROGELIO RAMOS CARRANZA

SEÑAL DE SALIDA
DE : " LINEA DP "

PRISMA VERTICAL



CAMPO TOTAL

PARAMETROS DE ENTRADA:

$AO=3$; $BO=2$; $HT=2$; $HB=1$

$DEC=TDEC=0^\circ$

$INC=TINC=60^\circ$

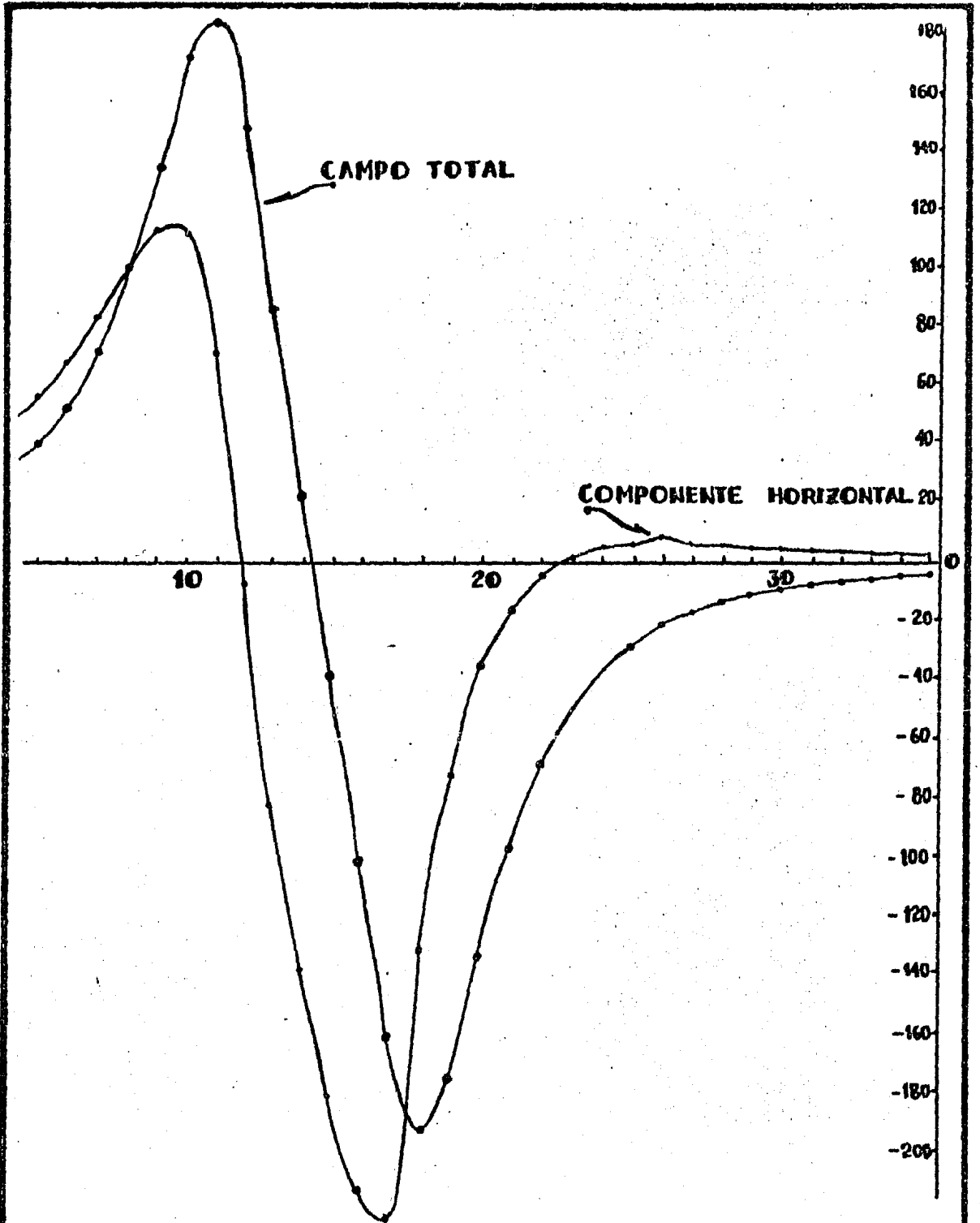
UNAM

EAC. INGENIERIA

DIVISION CIENCIAS DE LA TIERRA
SECCION GEOFISICA

TESIS PROFESIONAL PRESENTADA POR EL ALUMNO:
ROGELIO RAMOS CARRANZA

SEÑAL DE SALIDA
DE : "PRISMV"



UNAM FAC. INGENIERIA

DIVISION CIENCIAS DE LA TIERRA
SECCION GEOFISICA

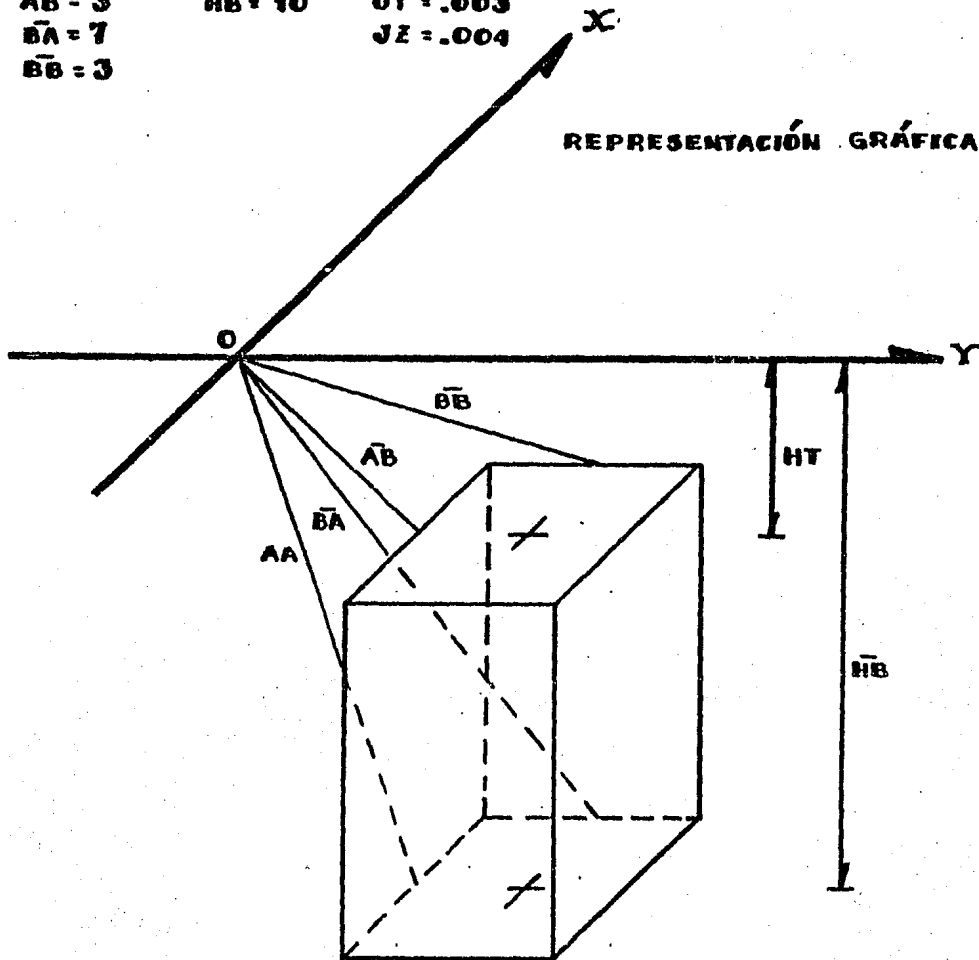
TESIS PROFESIONAL PRESENTADA POR EL ALUMNO:
ROGELIO RAMOS CARRANZA

SEÑAL DE SALIDA
DE: "TALWANI"

PARAMETROS DE ENTRADA

$\bar{A}\bar{A} = 6$ $H_T = 4$ $J_X = .001$
 $\bar{A}\bar{B} = 3$ $H_B = 10$ $J_Y = .003$
 $\bar{B}\bar{A} = 7$ $J_Z = .004$
 $\bar{B}\bar{B} = 3$

REPRESENTACIÓN GRÁFICA



PARAMETROS DE SALIDA

$T_X = -2.3645312E-02$
 $T_Y = 6.4431392E-02$
 $T_Z = -0.1665434$

UNAM FAC. INGENIERIA DIVISION CIENCIAS DE LA TIERRA
 SECCION GEOFISICA

TESIS PROFESIONAL PRESENTADA POR EL ALUMNO:
 ROGELIO RAMOS CARRANZA

SEÑAL DE ENTRADA
 DE: "MPRISM"

VI . CONCLUSIONES Y RECOMENDACIONES

UNA CONCLUSIÓN IMPORTANTE ES EL HECHO DE HABER TENIDO LA OPORTUNIDAD DE CONSULTAR LA BIBLIOGRAFÍA RELATIVA A LA ESTRUCTURA GENERAL DE ESTA TESIS; ES DECIR, PARA PODER CONFORMAR ESTE PAQUETE DE PROGRAMAS, CONSIDERAMOS DIVERSOS CRITERIOS A SEGUIR PARA EL PROCESADO DE LA INFORMACIÓN MAGNETOMÉTRICA Y SU INTERPRETACIÓN, Y PARTIENDO DE AQUI, FORMAR ASI ESTE TRABAJO CON EL CRITERIO PERSONAL, SIEMPRE PENSANDO EN LOS PROGRAMAS FUNDAMENTALES, COMO LOS QUE DESARROLLO W. BARANOV, LOS QUE SUGIERE LA COMPAÑIA GEOMETRICS EN SU DIAGRAMA DE FLUJO PARA EL PROCESADO DE LA INFORMACIÓN MAGNETOMÉTRICA Y OTROS.

DE AQUI, QUE POR LO EXPUESTO LINEAS ARRIBA SE RECOMIENDA, SE CONSULTE LA BIBLIOGRAFÍA RELATIVA, DE MANERA QUE SE PUEDA ADECUAR UN FLUJO DE TRABAJO DE ACUERDO AL OBJETIVO O NECESIDADES ESPECIFICAS, CONTANDO YA CON LOS PROGRAMAS FUNDAMENTALES E INDISPENSABLES.

OTRO ASPECTO IMPORTANTE DE LAS CONCLUSIONES ES, QUE DURANTE LA PRÁCTICA PARA LA CORRIDA DE LOS PROGRAMAS POR COMPUTADORA EXPERIMENTE LA NECESIDAD DE CONTAR CON INFORMACIÓN RELATIVA AL ALGORITMO, DIAGRAMA DE FLUJO Y LISTADO DEL PROGRAMA DEL QUE ESTUVIERAMOS TRATANDO, DESDE LUEGO QUE NO TODA LA INFORMACIÓN ESTABA DISPUESTA EN ESE ORDEN, NI CONTENIA TODOS LOS PUNTOS; DE TAL FORMA QUE UNA VEZ REUNIDA DICHA INFORMACIÓN SIEMPRE SE TENIAN ALTERNATIVAS PARA CHECAR EL CORRECTO FUNCIONAMIENTO DE TODOS Y CADA UNO DE LOS PROGRAMAS QUE PRESENTAMOS, ALGUNAS VECEZ APOYADOS EN LA LÓGICA DEL PROGRAMA, EN EL ALGORITMO O BIEN EN EL LISTADO SIMBÓLICO EN LENGUAJE FORTRAN, LUEGO ENTONCES CADA PROGRAMA ESTA ACQUPLADO PENSANDO EN ESE SENTIDO, CON EL FIN DE CONTAR CON UN PROGRAMA DOCUMENTADO ADECUADAMENTE PARA SU APLICACIÓN Y ASI FACILITAR LA UTILIDAD PRÁCTICA QUE SE PRETENDE CON ESTE TRABAJO.

ES JUSTO MENCIONAR A MANERA DE RECOMENDACIÓN, QUE EL PROGRAMA PARA EL AJUSTE CÚBICO POR MÍNIMOS CUADRADOS (SPLINE) SE HA DEJADO PARA SU DESARROLLO FINAL (CORRIDA POR COMPUTADORA) PARA EL INTERESADO AL RESPECTO; SIN EMBARGO, ESTE FUE CONFORMADO DE LA MISMA FORMA QUE AQUELLOS QUE SE PRESENTAN COMO EJEMPLO.

DE ACUERDO A LAS BASES TEÓRICAS PRESENTADAS EN EL ALGORITMO DE MODELADO DE: POLO PUNTUAL, LÍNEA DE POLOS, DIPOLO PUNTUAL, LÍNEA DE DIPOLOS Y CUERPOS DE FORMA PRISMÁTICA; SE LLEGO A LA CONCLUSIÓN DE PRESENTAR EL PROGRAMA DE CADA UNO DE LOS TRES ÚLTIMOS MODELOS, LOS CUALES CALCULAN LOS VALORES EXACTOS DE LAS COMPONENTES MAGNÉTICAS DEL CAMPO CAUSADO POR LOS MODELOS MENCIONADOS; ESTOS CÁLCULOS SON DE UTILIDAD PRÁCTICA EN LA INTERPRETACIÓN MAGNETOMÉTRICA, EN CUYO CASO RECOMENDAMOS REALIZAR LOS PROGRAMAS POR COMPUTADORA PARA LOS DOS PRIMEROS MODELOS PARA COMPLEMENTAR LA INFORMACIÓN EN ESTE ASPECTO DEL MODELADO.

ES OPORTUNO RECOMENDAR, SE COMPLEMENTE LA INFORMACIÓN EN RELACIÓN AL ANÁLISIS CUALITATIVO Y ESTIMACIÓN DE LA PROFUNDIDAD, CONSIDERANDO LA CONCLUSIÓN A LA QUE SE LLEGO EN EL SENTIDO DE QUE SE PRESENTAN LAS BASES TEÓRICAS SUFICIENTES COMO PARA PODER CONSTRUIR LA LÓGICA Y EL PROGRAMA RESPECTIVO, QUEDANDO ASÍ DISPUESTO PARA SU REALIZACIÓN POR EL INTERESADO EN ESTE PUNTO.

YA SE HABLO DE LA FORMA EN LA QUE SE DOCUMENTARON LOS PROGRAMAS, EN ESE MISMO SENTIDO SE RECOMIENDA ASOCIAR LOS DIAGRAMAS DE FLUJO CON LOS LISTADOS DE LOS PROGRAMAS RESPECTIVOS Y EL PROGRAMA EN SI, YA CARGADO EN LA COMPUTADORA, Y ES EN ESTE MOMENTO CUANDO NOS APOYAMOS EN LOS MENCIONADOS ELEMENTOS PARA SU VERIFICACIÓN Y CORRIDA; POR LO CUAL SE CONCIETE QUE POR LO EXHAUSTIVO DEL PROCESO REQUERIDO HA SIDO BUENA PRÁCTICA EL ASOCIAR DE ÉSTA FORMA LOS ELEMENTOS PRESENTADOS AQUI, ASÍ COMO LOS EJEMPLOS QUE SIRVEN DE GUIA PARA LA COMPROBACIÓN.

BIBLIOGRAFIA

- MALIN. S.R.C Y BARRACLOUGH. D.R.** "AN ALGORITHM FOR SYNTHESIZING THE GEO-
MAGNETIC FIELD."
GEOMAGNETISM UNIT, INSTITUTE OF GEOLOGICAL
SCIENCES. WEST MAINS ROAD, EDINBURGH 31A, U.K.
COMPUTERS AND GEOSCIENCES Vol. 7, No. 4,
PP 401-405, 1981.
PRINTED IN GREAT BRITAIN.
- BULLARD. E.C.** "THE REMOVAL OF TREND FROM MAGNETIC
SURVEYS."
EARTH AND PLANETARY SCIENCE LETTERS 2 (1967)
PP. 293-300.
NORTH-HOLLAND PUBL. COMP., AMSTERDAM.
- CORBIN VICTOR. L.**
Y
QUESADA ANTONIO. F. "LEAS SQUARES CUBIC SPLINES"
PHYSICAL SCIENCES RESEARCH PAPERS, No. 572.
PP. 7-17.
AERONOMY LABORATORY PROJECT 7635
AIR FORCE CAMBRIDGE RESEARCH LABORATORIES.
AIR FORCE SYSTEMS COMMAND, USAF.
- BRAILE. W. LAWRENCE.** "COMPARISON OF FOUR RANDOM TO GRID METHODS"
COMPUTERS AND GEOSCIENCES, Vol. 4, pp. 341-349.
PERGAMON PRESS LTD., 1978. PRINTED IN GREAT BRITAIN.
- KUESTER. J.L y MIZE. J.H.** "OPTIMIZATION TECHNIQUES WITH FORTRAN"
Mc GRAW-HILL, NEW YORK, 500P, 1975. pp. 212-215.
- ERVIN. C. PATRICK.** "REDUCTION TO THE MAGNETIC POLE USING A
FAST FOURIER SERIES ALGORITHM."
COMPUTERS AND GEOSCIENCES, Vol. 2, pp. 211-217
PERGAMON PRESS, 1976. PRINTED IN GREAT BRITAIN.
- HOLROYD. M.T.** "CHANGES OF SOURCE CODING TO PRODUCE A 43
PERCENT INCREASE IN CPU EFFICIENCY IN THE -
PROGRAM FOR REDUCTION TO THE MAGNETIC POLE
USING A FAST FOURIER SERIES ALGORITHM."
COMPUTERS AND GEOSCIENCES Vol. 4, pp. 189-198.
PERGAMON PRESS. LTD. 1978. PRINTED IN GREAT BRITAIN.

BARANOV WLADIMIR

" POTENTIAL FIELDS AND THEIR TRANSFORMATIONS IN APPLIED GEOPHYSICS "

GEOPUBLICATIONS ASSOCIATES
GEOEXPLORATION MONOGRAPHS
SERIES I - No. 6
1975

LAURENCO. S. JOSE

" "

TALWANI. M. y HEITZLER. J. R.

" COMPUTATION OF MAGNETIC ANOMALIES CAUSED BY TWO DIMENSIONAL STRUCTURES OF ARBITRARY SHAPE "

PART I STANFORD UNIV. PUBL. GEOL. SCIENCES,
vol. 9. No. 1, pp. 464 - 480.

TALWANI. M.

" CALCULO DE ANOMALIAS MAGNÉTICAS DE CUERPOS DE FORMA ARBITRARIA CON LA AYUDA DE LA COMPUTADORA DIGITAL "

GEOPHYSICS, vol. XXV, No. 5 (OCT., 1965), pp. 787 - 810.

BHATTACHARYYA. B. K.

" A GENERALIZED MULTIBODY MODEL FOR INVERSION OF MAGNETIC ANOMALIES "

GEOPHYSICS, vol. 45, No. 2 (FEB., 1980), pp. 255 - 270.

BHATTACHARYYA. B. K.

" ANOMALIAS MAGNÉTICAS DEBIDAS A CUERPOS DE FORMA PRISMÁTICA CON POLARIZACIÓN ARBITRARIA. "

GEOPHYSICS, vol. XXIX, No. 4 (AG., 1964), pp. 517 - 531.

APENDICE

CAMPO GEOMAGNETICO INTERNACIONAL DE REFERENCIA (CGIR)

CGIR 1965, EL PRIMER CAMPO GEOMAGNETICO INTERNACIONAL DE REFERENCIA, FUE ADOPTADO POR LA ASOCIACION INTERNACIONAL DE GEOMAGNETISMO Y AERONOMIA (IAGA), EN 1968 (IAGA, COMISION 2, GRUPO DE TRABAJO 4, 1968). ESTE CONSISTE DE UN MODELO DEL CAMPO PRINCIPAL EN 1965.0, PROLONGADO CON UN MODELO DE VARIACION SECULAR USADO CON LA EXTENSION DEL MODELO EN TIEMPO DEL CAMPO PRINCIPAL, TANTO HACIA ATRAS (NO ANTES DE 1955.0) Y HACIA ADELANTE (NO DESPUES DE 1975.0).

CGIR 1975, ADOPTADO DESPUES, CONSISTE DE CGIR 1965 EXTENDIDO A 1975.0, PROLONGADO CON UN MODELO REVISADO DE VARIACION SECULAR PARA USAR EN LA EXTENSION DEL MODELO DEL CAMPO PRINCIPAL ARRIBA DE 1980.0 (IAGA, DIVISION I, 1976)

AL FINAL DE LOS 70's, EL EFECTO ACUMULATIVO DE LA INEVITABLE INCERTIDUMBRE EN LOS MODELOS DE VARIACION SECULAR HA PERMITIDO IMPRECISIONES INACEPTABLES EN EL CGIR. PARA SATISFACER LA NECESIDAD DE UN CAMPO GEOMAGNETICO INTERNACIONAL DE REFERENCIA EXACTO, ESTE GRUPO DE TRABAJO RECOMIENDA LAS ADICIONES SIGUIENTES:

1. UN CAMPO GEOMAGNETICO INTERNACIONAL DE REFERENCIA PARA EL INTERVALO DE 1980.0 A 1985.0 ("CGIR 1980"), CONSISTIENDO DE UN MODELO DEL CAMPO PRINCIPAL EN 1980.0, CON UN MODELO DE VARIACION SECULAR PARA USAR EN EXTENSION DEL MODELO DE CAMPO PRINCIPAL ARRIBA DE 1985.0.

2. UN CAMPO GEOMAGNETICO INTERNACIONAL DE REFERENCIA DEFINITIVO PARA EL INTERVALO DE 1965.0 A 1975.0, CONSISTIENDO DE MODELOS DEL CAMPO PRINCIPAL EN: 1965.0, 1970.0, Y 1975.0 CON INTERPOLACION LINEAL DE LOS COEFICIENTES DEL MODELO PARA LAS FECHAS QUE INTERVIENEN.

3. UN CAMPO GEOMAGNETICO INTERNACIONAL DE REFERENCIA PROVISIONAL PARA EL INTERVALO DE 1975.0 A 1980.0, DEFINIDO POR LA INTERPOLACION LINEAL DEL CAMPO DEFINITIVO EN 1975.0 Y EL CGIR 1980.0. (DEL CAMPO PRINCIPAL)

EL GRUPO DE TRABAJO TAMBIEN RECOMIENDA QUE EL PATRON DE ESSAS ADICIONES DEBE SER SEGUIDO EN FECHAS FUTURAS. LAS RECOMENDACIONES, PROPUESTAS COMO RESOLUCION 13, FUERON ADOPTADAS POR IAGA EN AGOSTO 15 DE 1981, EN LA CUARTA ASAMBLEA CIENTIFICA EN EDIMBURGO.

LOS CAMPOS DE REFERENCIA DEFINITIVOS EN 1965, 1970, 1975 Y EL CGIR 1980

(INCLUYENDO LA VARIACIÓN SEGLAR DEL MODELO PREVISTO) SON DADOS EN FORMA DE EXPANSIÓN DE ARMÓNICAS ESFÉRICAS CUYOS COEFICIENTES SON LISTADOS EN LA TABLA SIGUIENTE. CADA MODELO DEL CAMPO PRINCIPAL TIENE 120 COEFICIENTES (GRADO Y ORDEN DECIMO). EL MODELO PREVISTO DE VARIACIÓN SEGLAR TIENE 80 COEFICIENTES (GRADO Y ORDEN OCTAVO). LOS COEFICIENTES UTILIZADOS SON LOS CUASI-NORMALIZADOS DE SCHMIDT (CHAPMAN Y BARTELS, 1940) Y REFERIDOS A UN RADIO DE 6371.2 Km. PARA CONVERTIR COORDENADAS GEOGRÁFICAS A COORDENADAS POLARES ESFÉRICAS, EL USO DEL ELIPSOIDE INTERNACIONAL ES RECOMENDADO: RADIO ECUATORIAL DE 6378.160 Km. Y FACTOR DE ACHATAMIENTO DE $1/298.25$ (UNION ASTRONÓMICA INTERNACIONAL, 1966).

Tabla. COEFICIENTES ARMÓNICOS ESFÉRICOS DEL CAMPO GEOMAGNÉTICO INTERNACIONAL DE REFERENCIA 1980.

n	m	DGRF			IGRF		
		1965	1970	1975	1980	1980-85	
		nT	nT	nT	nT	nT/yr	
g	1	0	-30334	-30220	-30100	-29988	22.4
g	1	1	-2119	-2068	-2013	-1957	11.3
h	1	1	5776	5737	5675	5606	-15.9
g	2	0	-1662	-1781	-1902	-1997	-18.3
g	2	1	2997	3000	3010	3028	3.2
h	2	1	-2016	-2047	-2067	-2129	12.7
g	2	2	1594	1611	1632	1662	7.0
h	2	2	114	25	-68	-199	-25.2
g	3	0	1297	1287	1276	1279	0.0
g	3	1	-2038	-2091	-2144	-2181	-6.5
h	3	1	-404	-366	-333	-335	0.2
g	3	2	1292	1278	1260	1251	-0.7
h	3	2	240	251	262	271	2.7
g	3	3	856	838	830	835	1.0
h	3	3	-165	-196	-223	-252	-7.9
g	4	0	967	962	946	938	-1.4
g	4	1	804	806	791	785	-1.4
h	4	1	148	167	191	212	4.6
g	4	2	479	461	438	398	-8.2
h	4	2	-269	-266	-265	-257	1.6
g	4	3	-390	-395	-405	-419	-1.8
h	4	3	13	26	39	53	2.9
g	4	4	252	234	216	199	-5.0
h	4	4	-269	-279	-288	-298	0.4
g	5	0	-219	-216	-218	-219	1.5
g	5	1	358	359	356	357	0.4
h	5	1	19	26	31	46	1.8
g	5	2	254	262	264	261	-0.8
h	5	2	128	139	148	149	-0.4
g	5	3	-31	-42	-55	-74	-3.3

h	3	3	-126	-139	-152	-150	0.0
g	5	4	-137	-160	-159	-162	0.2
h	5	4	-97	-91	-83	-78	1.3
g	5	5	-62	-56	-49	-46	1.4
h	5	5	81	83	86	92	2.1
g	6	0	45	43	45	49	0.4
g	6	1	61	64	66	65	0.0
h	6	1	-11	-12	-13	-15	-0.5
g	6	2	8	15	28	42	3.4
h	6	2	100	100	99	95	-1.4
g	6	3	-228	-212	-198	-192	0.8
h	6	3	48	72	75	71	0.0
g	6	4	4	3	1	4	0.8
h	6	4	-32	-37	-41	-43	-1.6
g	6	5	1	3	6	14	0.3
h	6	5	-8	-6	-4	-2	0.5
g	6	6	-111	-112	-111	-108	-0.1
h	6	6	-7	1	11	17	0.0
g	7	0	75	72	71	70	-1.0
g	7	1	-57	-57	-56	-59	-0.8
h	7	1	-61	-70	-77	-85	-0.4
g	7	2	4	1	1	2	0.4
h	7	2	-27	-27	-26	-28	0.4
g	7	3	13	14	16	20	0.5
h	7	3	-2	-4	-5	-5	0.2
g	7	4	-26	22	-14	-13	1.6
h	7	4	6	8	10	16	1.4
g	7	5	-6	-2	0	1	0.1
h	7	5	26	23	23	18	-0.5
g	7	6	13	13	12	11	0.1
h	7	6	-23	-23	-23	-23	-0.1
g	7	7	1	-2	-5	-2	0.0
h	7	7	-12	-11	-12	-10	1.1
g	8	0	13	14	14	20	0.8
h	8	1	5	6	6	7	-0.2
g	8	1	7	7	6	7	-0.1
h	8	2	-4	-2	-1	1	-0.3
g	8	2	-12	-15	-16	-18	-0.7
h	8	3	-14	-13	-12	-11	0.3
g	8	3	9	6	4	4	0.0
h	8	4	0	-3	-8	-7	-0.8
g	8	4	-16	-17	-19	-22	-0.8
h	8	5	8	5	4	4	-0.2
g	8	5	4	6	6	9	0.2
h	8	6	-1	0	0	3	0.7
g	8	6	24	21	18	16	0.2
h	8	7	11	11	10	7	-0.3
g	8	7	-3	-6	-10	-13	-1.1
h	8	8	4	3	1	-1	1.2
g	8	8	-17	-16	-17	-15	0.8
h	9	0	8	8	7	6	
g	9	1	10	10	10	11	
h	9	1	-22	-21	-21	-21	
g	9	2	2	2	2	2	
h	9	2	15	16	16	16	
g	9	3	-13	-12	-12	-12	
h	9	3	7	6	7	9	
g	9	4	10	10	10	9	
h	9	4	-4	-4	-4	-5	
g	9	5	-1	-1	-1	-3	
h	9	5	-5	-5	-5	-7	
g	9	6	-1	0	-1	-1	
h	9	6	10	10	10	9	
g	9	7	5	3	4	7	

h	9	7	10	11	11	10
g	9	8	1	1	1	1
h	9	8	-4	-2	-3	-6
g	9	9	-2	-1	-	-5
h	9	9	1	1		2
g	10	0	-2	-3	-3	-3
g	10	1	-3	-3	-	-4
h	10	1	2	1	1	1
g	10	2	2	2	2	2
h	10	2	1	1	1	1
g	10	1	-3	-5	-5	-5
h	10	3	2	3	3	2
g	10	4	-3	-1	-2	-2
h	10	4	4	4	4	5
g	10	5	4	6	8	5
h	10	5	-4	-4	-4	-4
g	10	6	4	4	4	3
h	10	6	0	0	-1	-1
g	10	7	0	1	1	1
h	10	7	-2	-1	-1	-2
g	10	8	2	0	0	2
h	10	8	3	3	3	4
g	10	9	2	3	3	3
h	10	9	0	1	1	-1
g	10	10	0	-1	-1	0
h	10	10	-6	-4	-5	-6
